

Analogowe Układy Elektroniczne

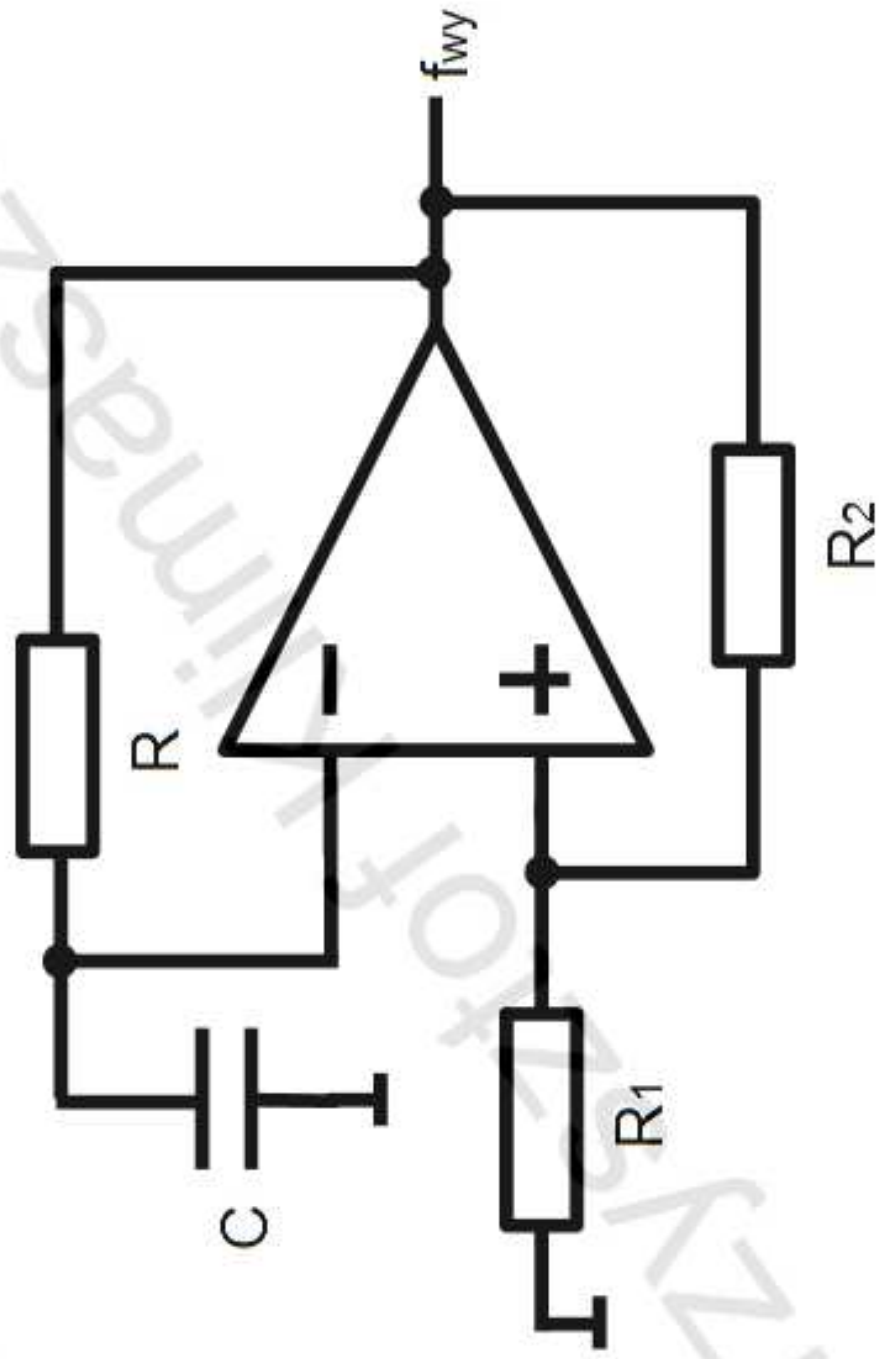
Krzysztof Klimaszewski

kklima@et.put.poznan.pl

Polanka 3, pokój 118

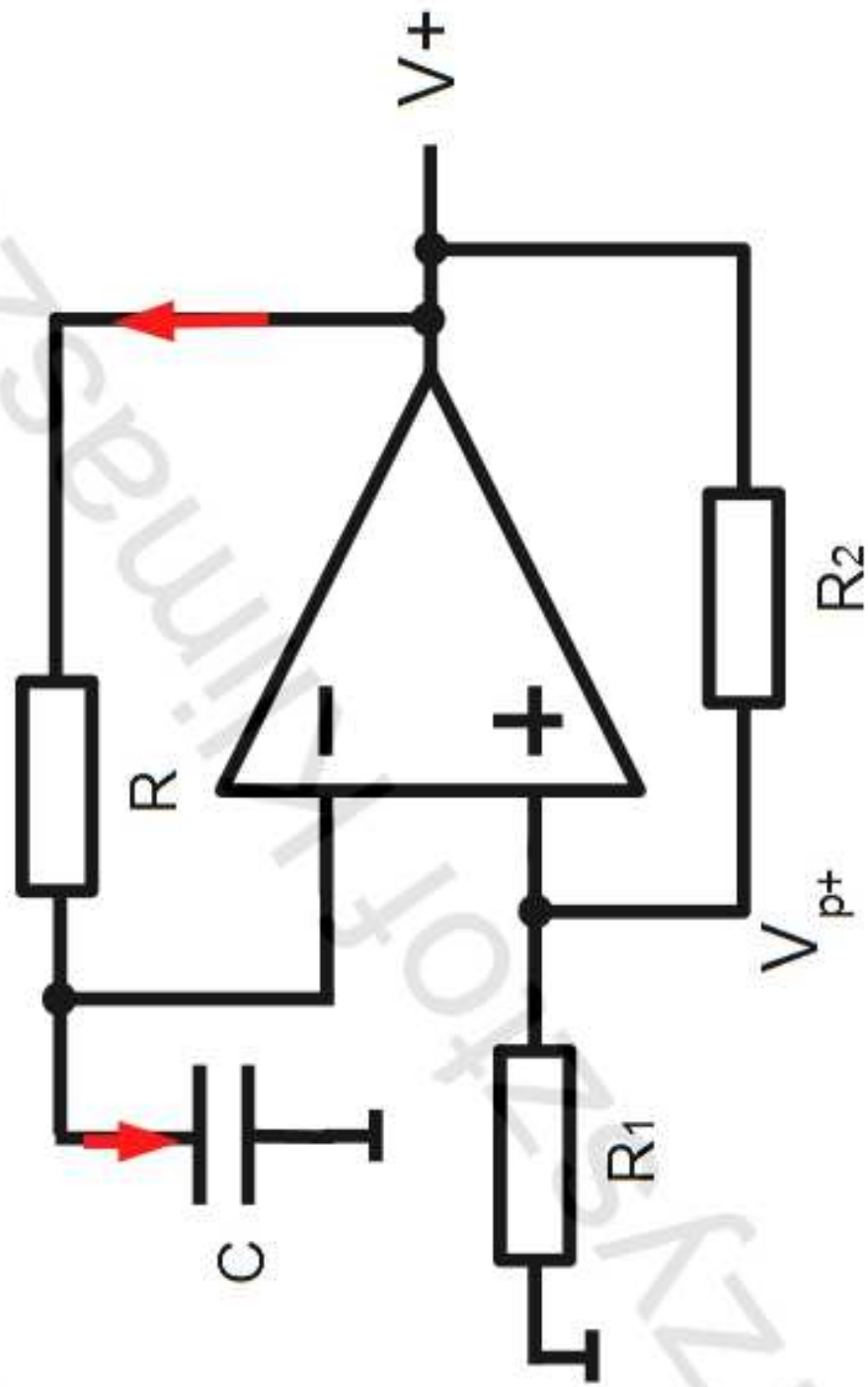
Generator przebiegu prostokątnego

- przerzutnik Schmitta odwracający fazę + układ RC



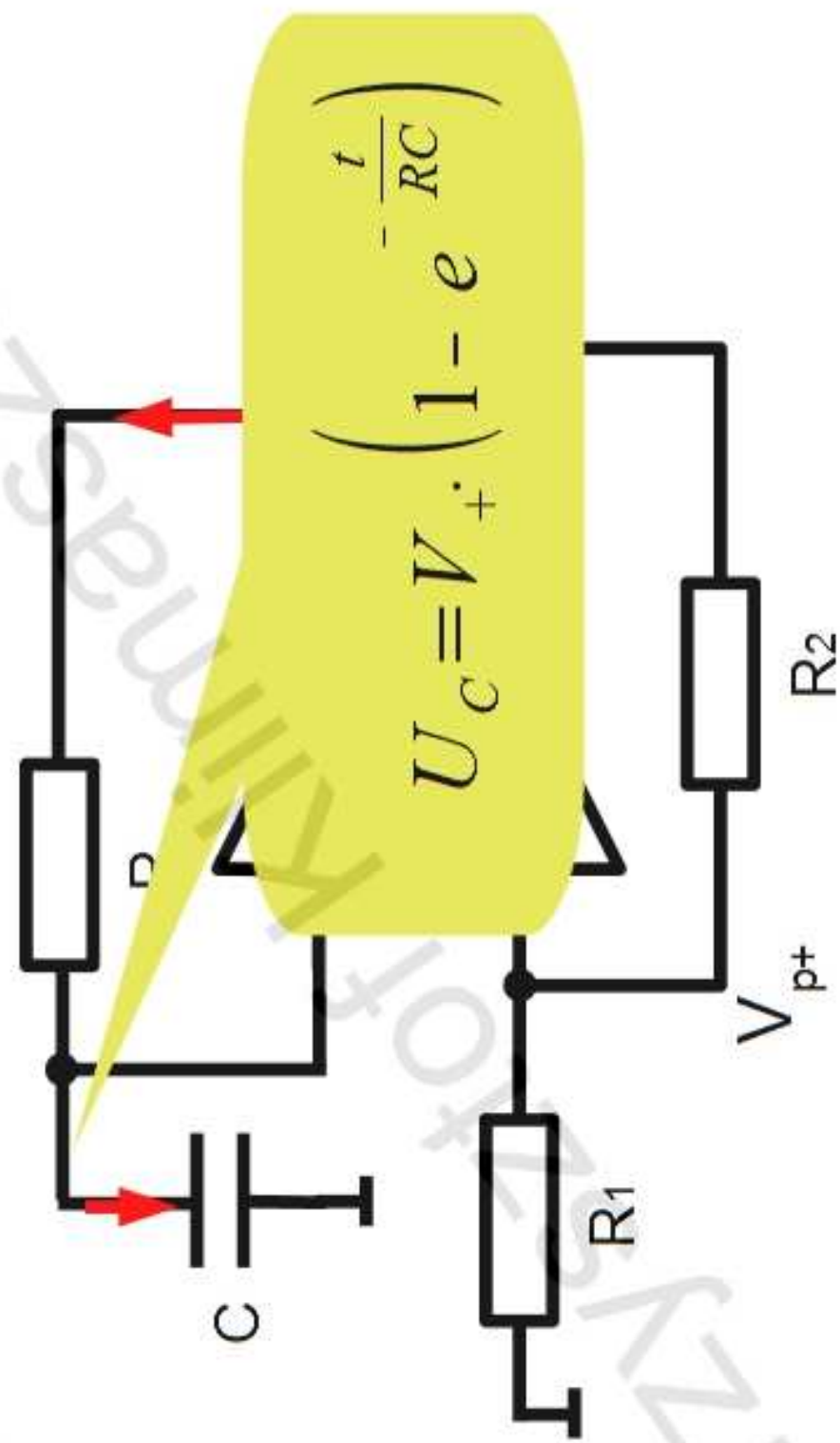
Generator przebiegu prostokątnego

- przerzutnik Schmitta odwracający fazę + układ RC



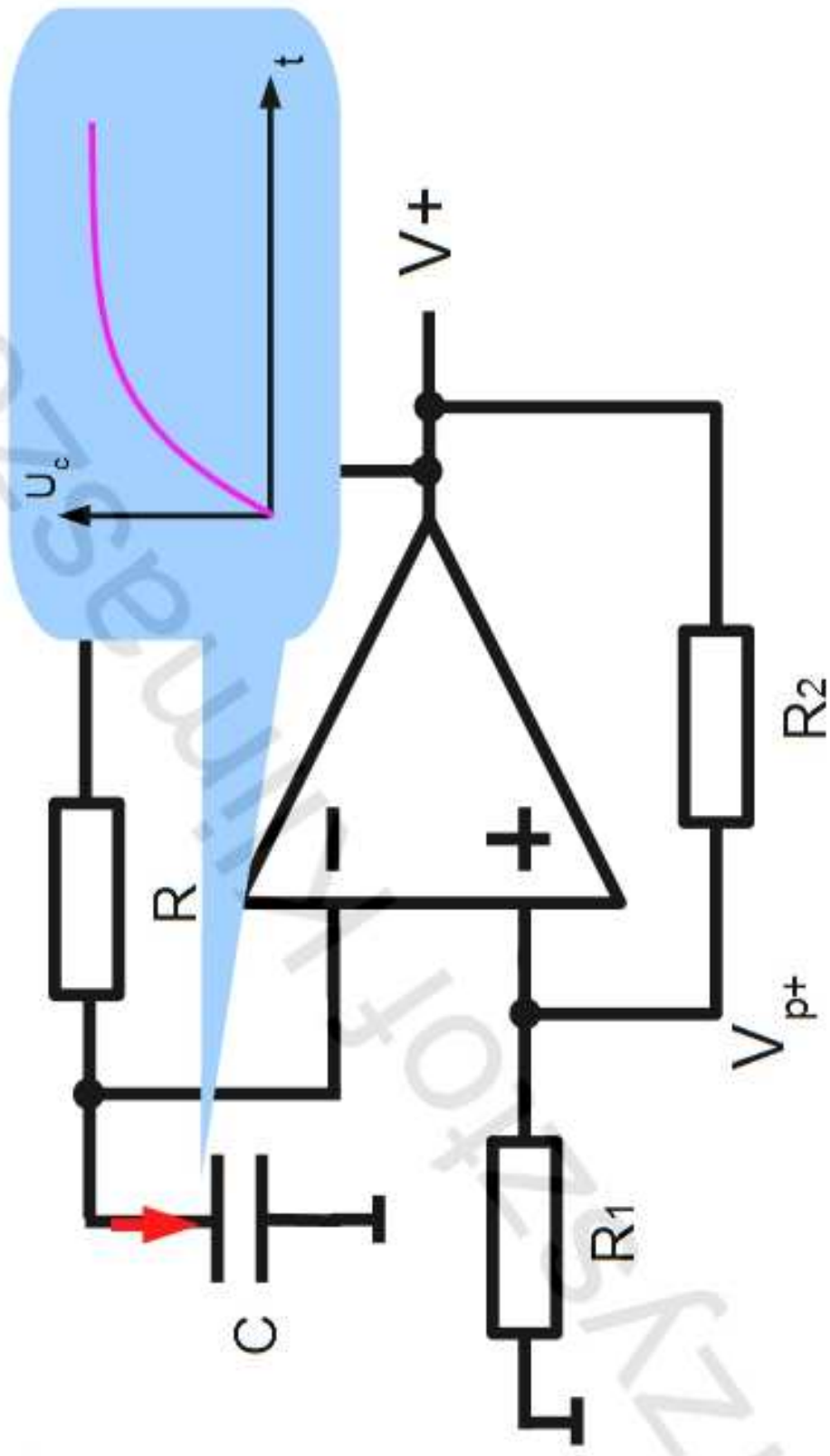
Generator przebiegu prostokątnego

- przerzutnik Schmitta odwracający fazę + układ RC



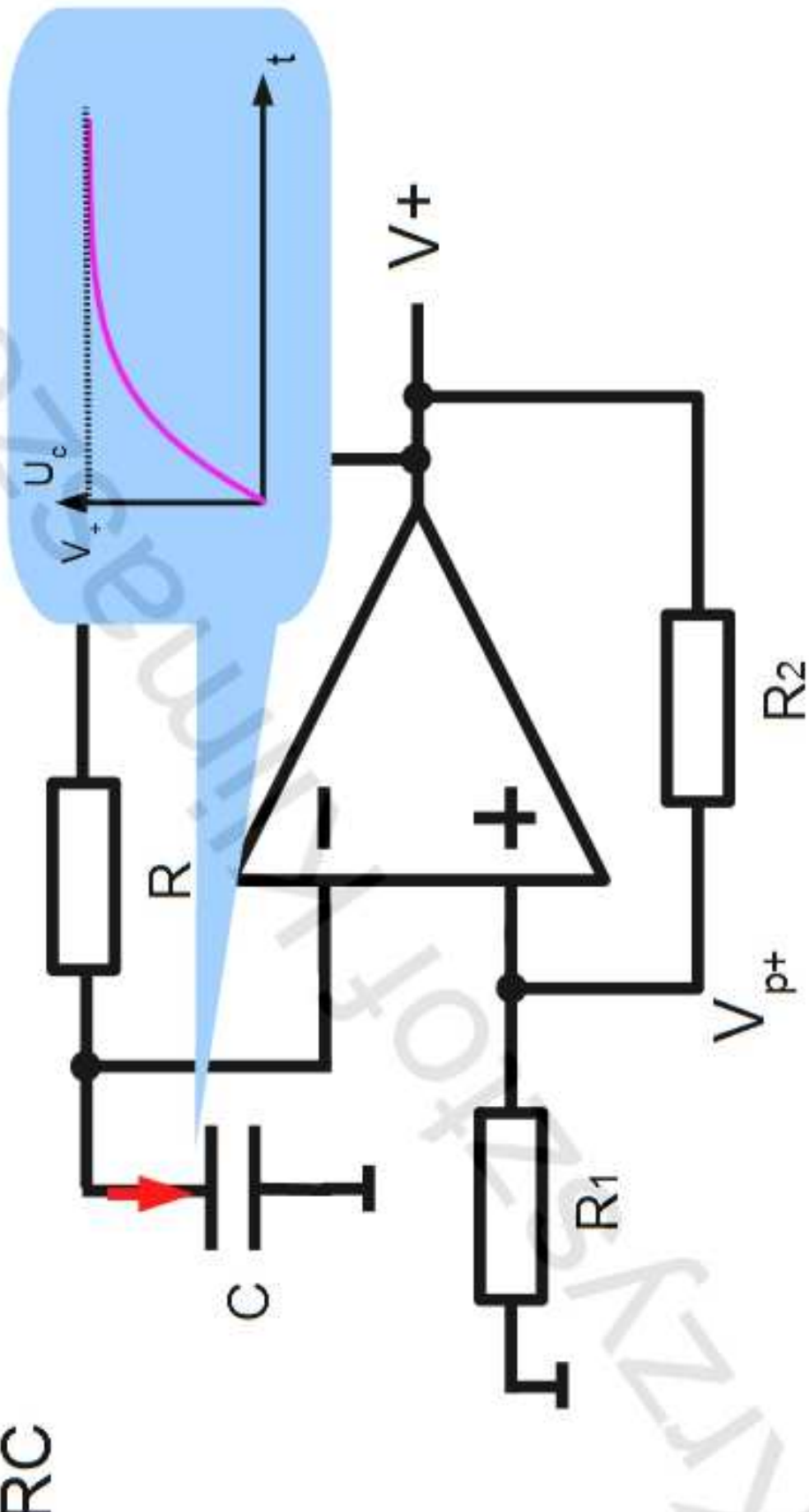
Generator przebiegu prostokątnego

- przerzutnik Schmitta odwracający fazę + układ RC



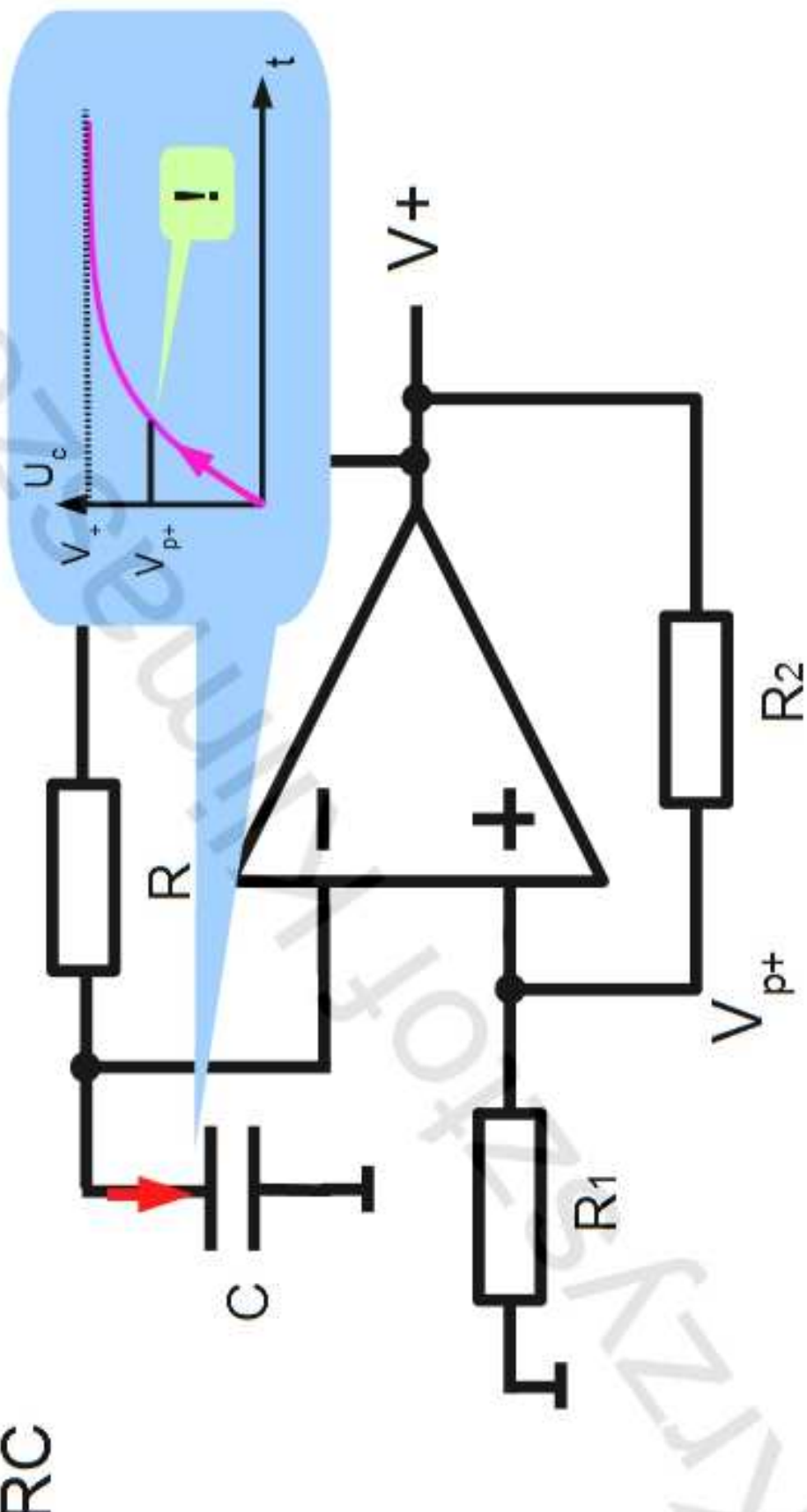
Generator przebiegu prostokątnego

- przerzutnik Schmitta odwracający fazę + układ RC



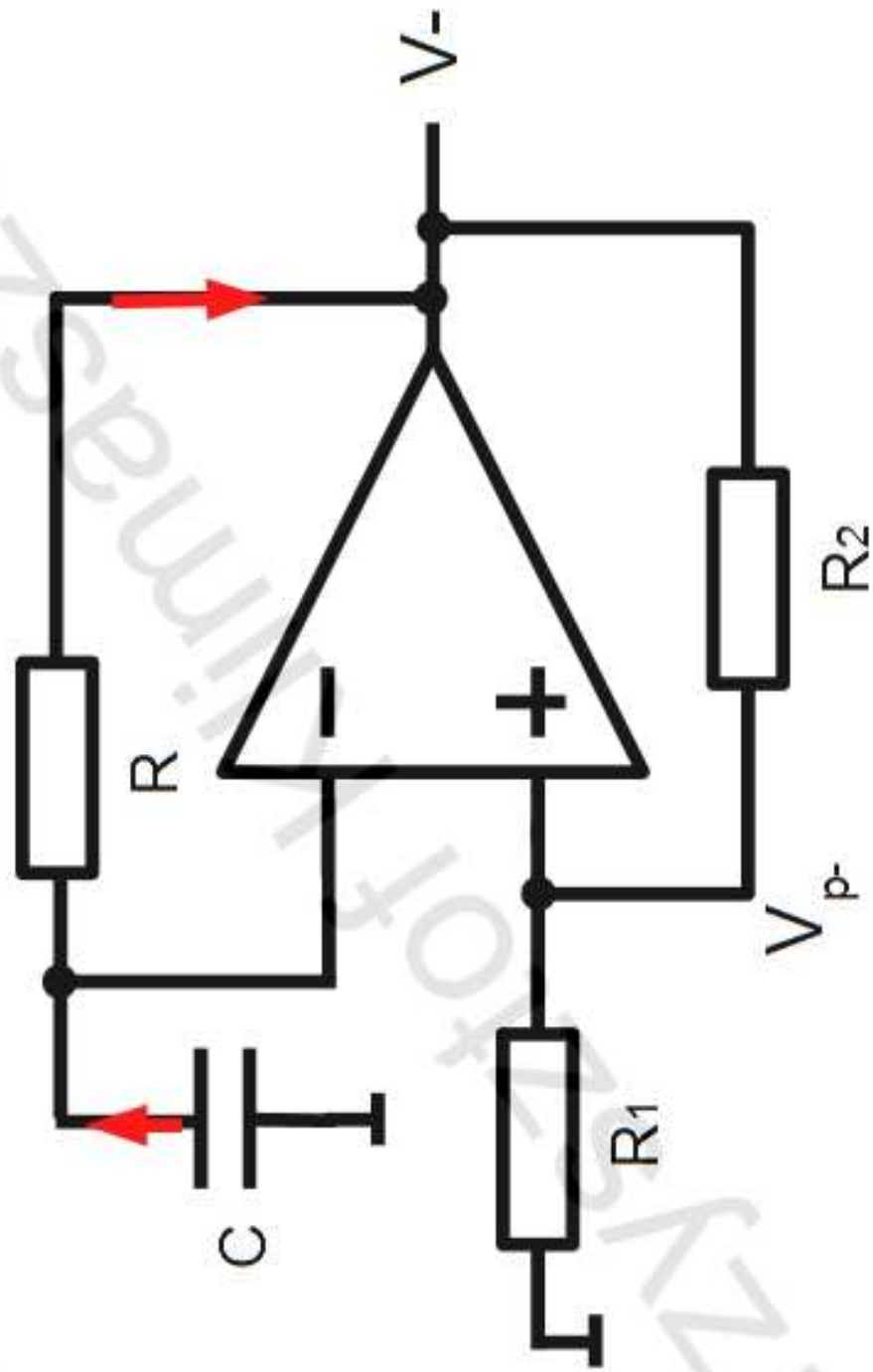
Generator przebiegu prostokątnego

- przerzutnik Schmitta odwracający fazę + układ RC



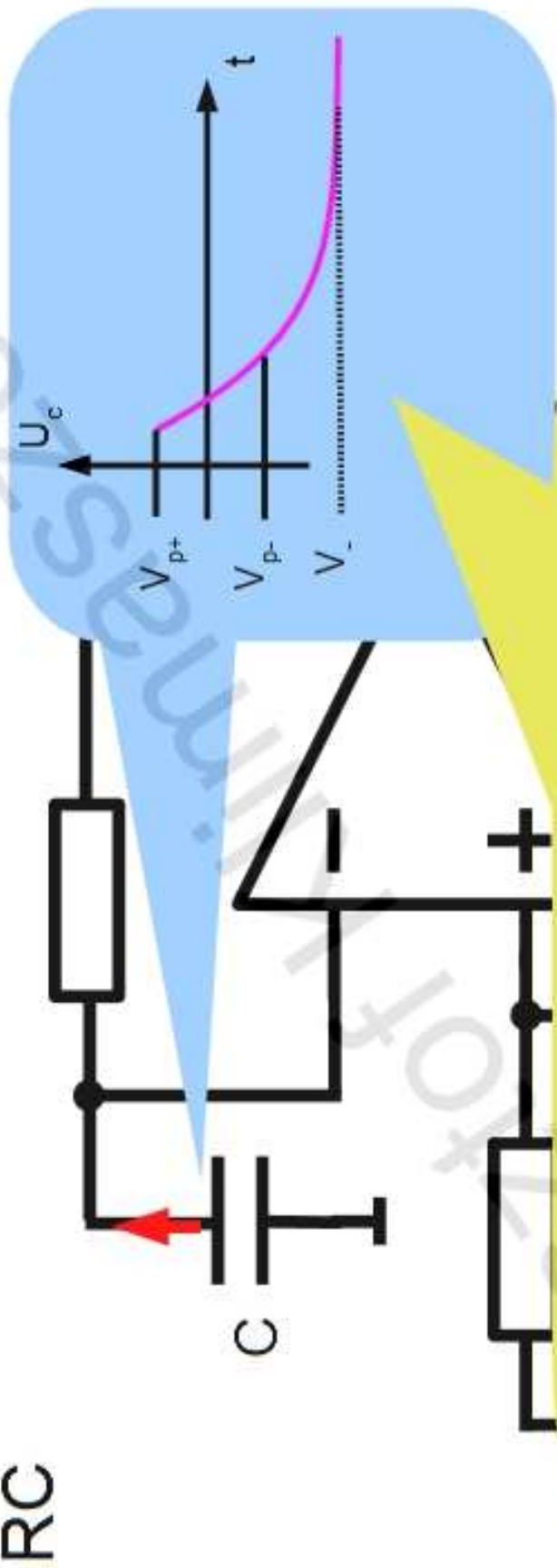
Generator przebiegu prostokątnego

- przerzutnik Schmitta odwracający fazę + układ RC



Generator przebiegu prostokątnego

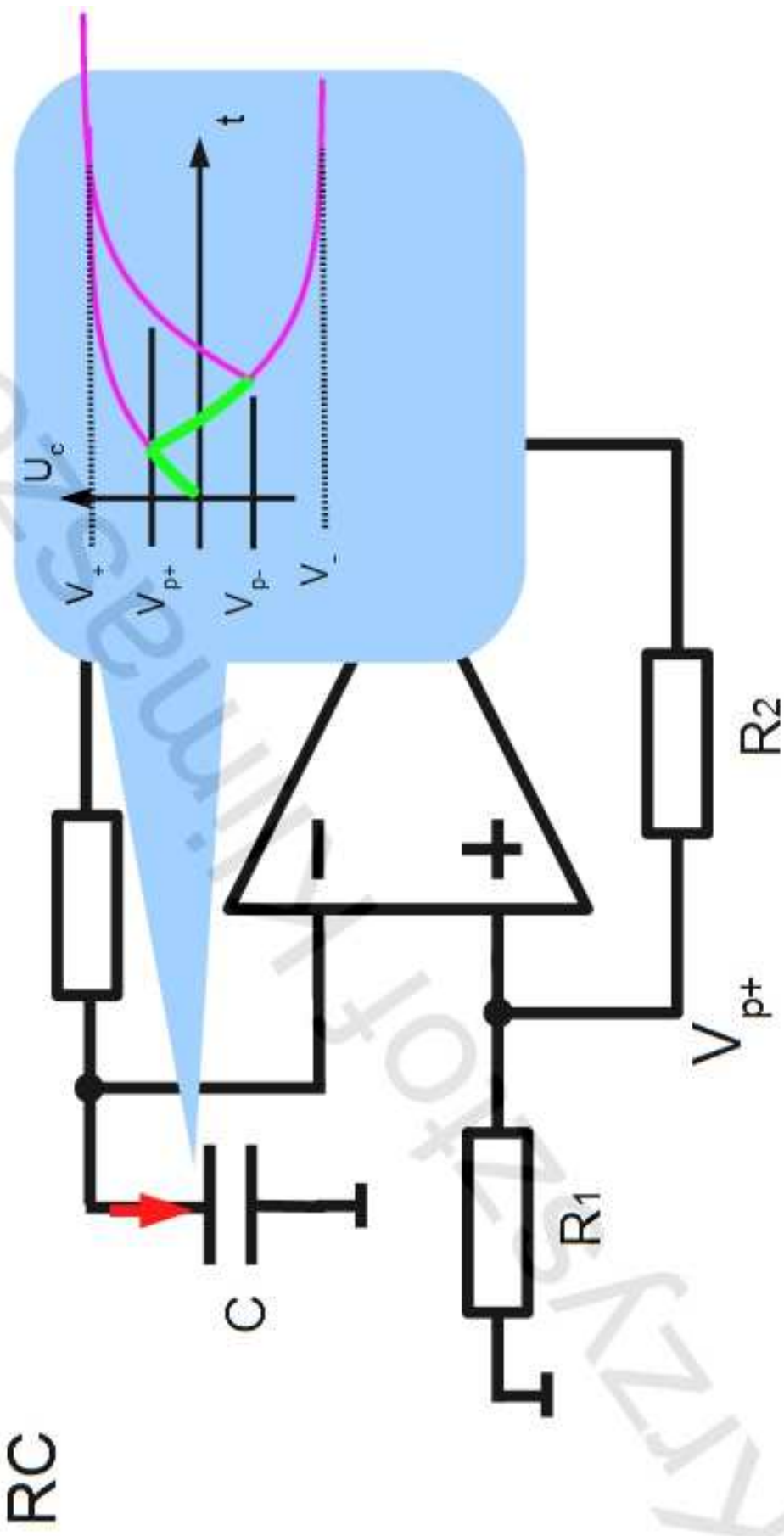
- przerzutnik Schmitta odwracający fazę + układ RC



$$U_C = (V_- - V_{p+}) \cdot \left(1 - e^{-\frac{t}{RC}} \right) + V_{p+}$$

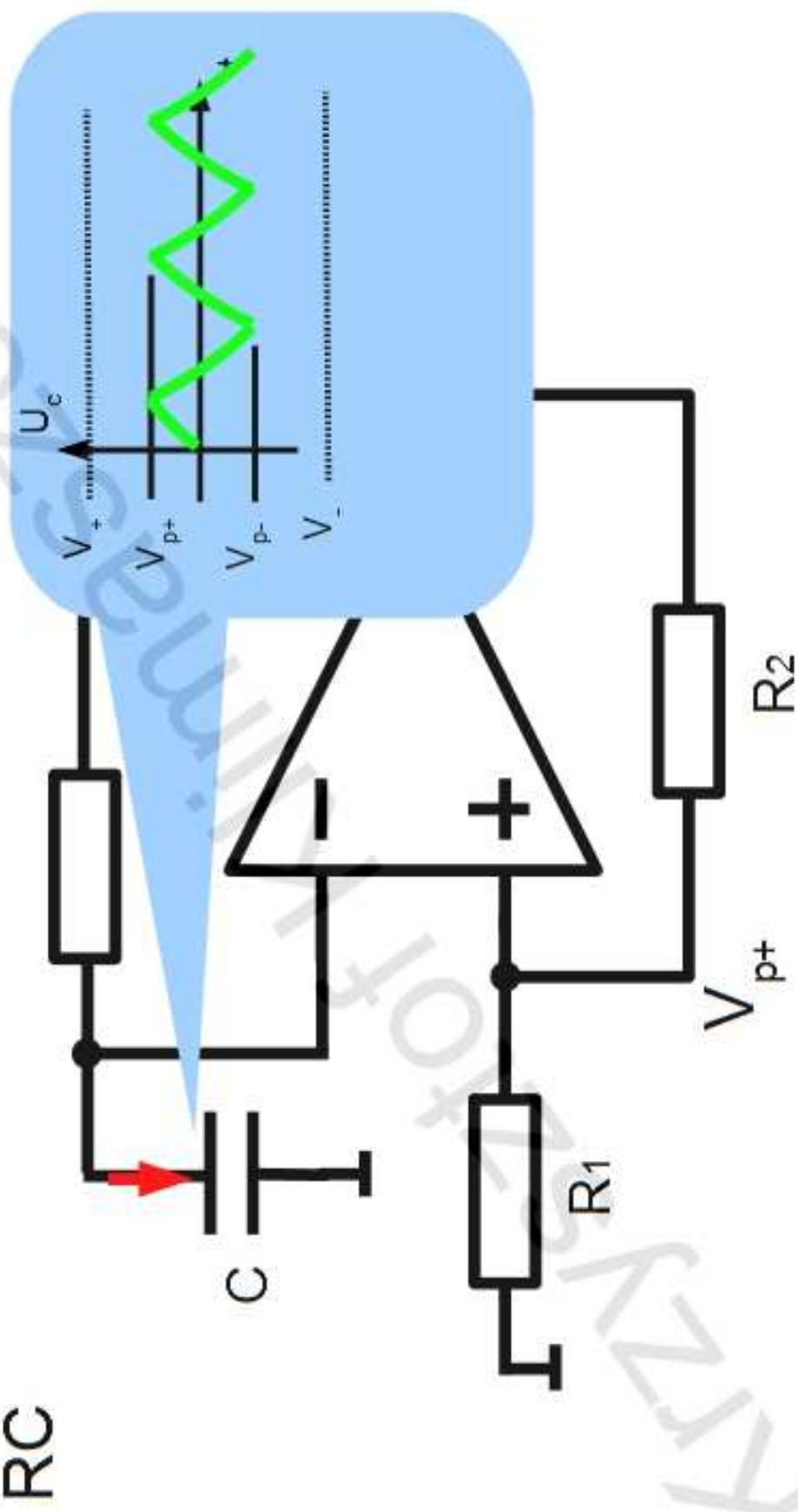
Generator przebiegu prostokątnego

- przerzutnik Schmitta odwracający fazę + układ RC



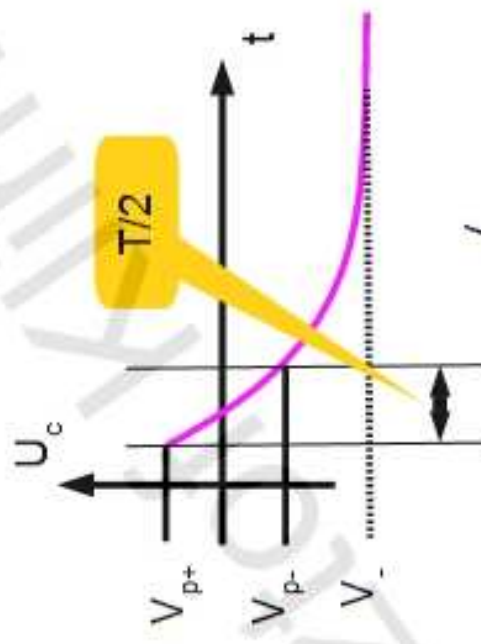
Generator przebiegu prostokątnego

- przerzutnik Schmitta odwracający fazę + układ RC



Generator przebiegu prostokątnego

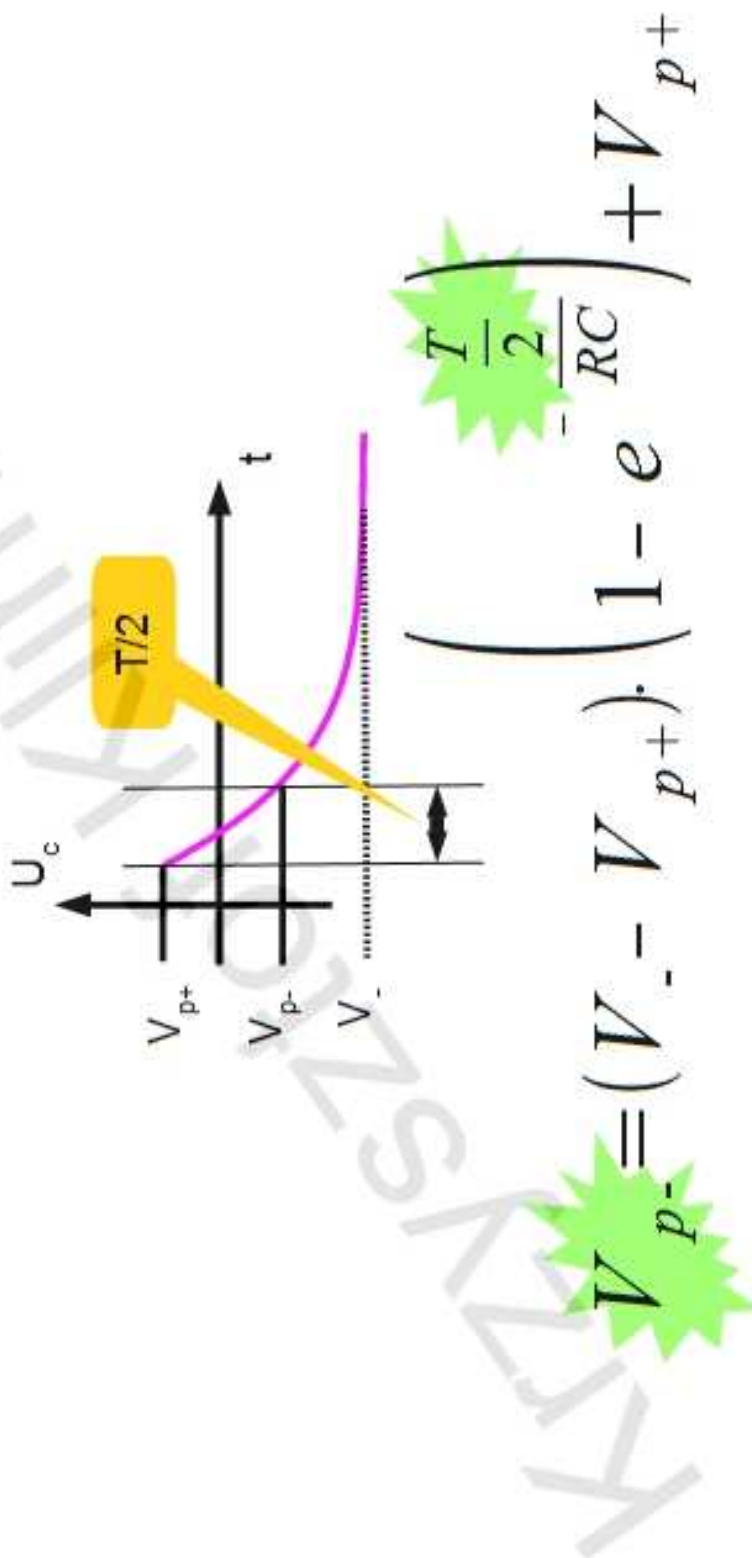
- Wzór na częstotliwość przebiegu
 - Poza pierwszym półokresem, kondensator przeładowuje się od V_{p+} do V_{p-} i na odwrót



$$U_C = (V_- - V_{p+}) \cdot \left(1 - e^{-\frac{t}{RC}} \right) + V_{p+}$$

Generator przebiegu prostokątnego

- Wzór na częstotliwość przebiegu
 - Poza pierwszym półokresem, kondensator przeładowuje się od V_{p+} do V_{p-} i na odwrót



Generator przebiegu prostokątnego

$$V_{p^-} = (V_{\cdot -} - V_{p^+}) \cdot \left(1 - e^{-\frac{T}{RC}} \right) + V_{p^+}$$

$$\frac{V_{p^-} - V_{p^+}}{V_{\cdot -} - V_{p^+}} = 1 - e^{-\frac{T}{2RC}}$$

$$\frac{V_{p^-} - V_{p^+}}{V_{\cdot -} - V_{p^+}} - 1 = -e^{-\frac{T}{2RC}}$$

$$-\frac{T}{2RC} = \ln \left(1 - \frac{V_{p^-} - V_{p^+}}{V_{\cdot -} - V_{p^+}} \right)$$

Generator przebiegu prostokątnego

$$\frac{-T}{2RC} = \ln \left(1 - \frac{V_{p-} - V_{p+}}{V_{-} - V_{p+}} \right)$$

$$T = -2RC \ln \left(1 - \frac{V_{p-} - V_{p+}}{V_{-} - V_{p+}} \right)$$

$$\frac{1 - \frac{V_{p-} - V_{p+}}{V_{-} - V_{p+}}}{\frac{V_{-} - V_{p+} - V_{p-} + V_{p+}}{V_{-} - V_{p+}}} = \frac{V_{-} - V_{p+}}{V_{-} - V_{p+}}$$

Generator przebiegu prostokątnego

$$\frac{-T}{2RC} = \ln \left(1 - \frac{V_{p-} - V_{p+}}{V_{-} - V_{p+}} \right)$$

$$V_{p-} = V_{-} \cdot \frac{R_1}{R_1 + R_2}$$

$$T = -2RC \ln \left(1 - \frac{V_{p-} - V_{p+}}{V_{-} - V_{p+}} \right)$$

$$V_{p+} = V_{+} \cdot \frac{R_1}{R_1 + R_2}$$

$$\frac{1 - \frac{V_{p-} - V_{p+}}{V_{-} - V_{p+}}}{\frac{V_{-} - V_{p+} - V_{p-} + V_{p+}}{V_{-} - V_{p+}}} = \frac{V_{-} - V_{p-}}{V_{-} - V_{p+}}$$

$$V_{+} = -V_{-}$$

Generator przebiegu prostokątnego

$$\frac{-T}{2RC} = \ln \left(1 - \frac{V_{p-} - V_{p+}}{V_{-} - V_{+}} \right)$$

$$T = -2RC \ln \left(1 - \frac{V_{p-} - V_{p+}}{V_{-} - V_{+}} \right)$$

$$\frac{V_{-} - V_{p-}}{V_{-} - V_{p+}} = \frac{V \cdot \left(1 - \frac{R_1}{R_1 + R_2} \right)}{V \cdot \left(1 + \frac{R_1}{R_1 + R_2} \right)}$$

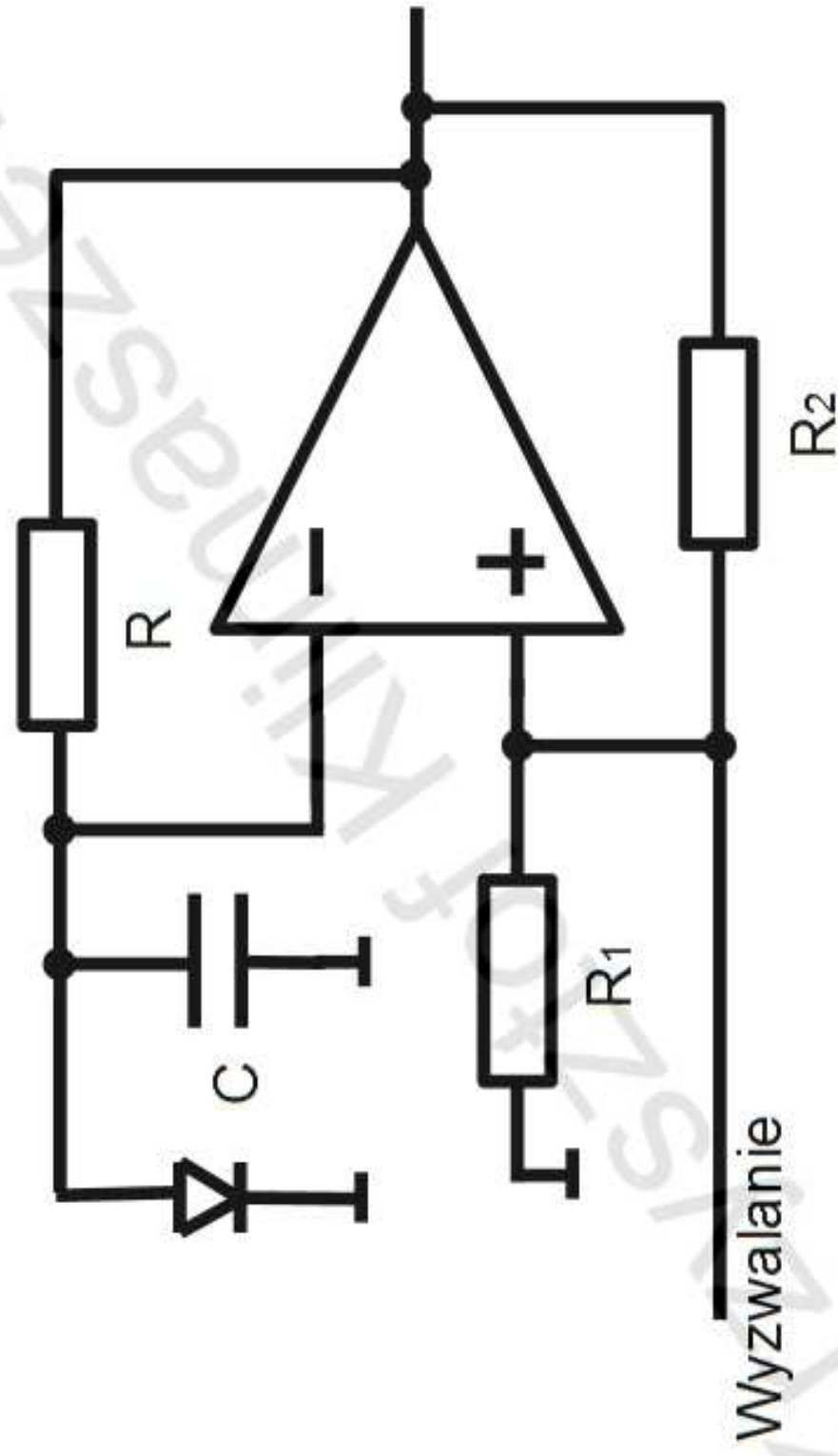
Generator przebiegu prostokątnego

$$\frac{-T}{2RC} = \ln \left(1 - \frac{V_{p-} - V_{p+}}{V_{p-} + V_{p+}} \right)$$

$$\frac{V_{p-} - V_{p+}}{V_{p-} + V_{p+}} = \frac{\frac{R_1}{1 - \frac{R_1 + R_2}{R_1 + R_2}} - \frac{R_1}{1 + \frac{R_1 + R_2}{R_1 + R_2}}}{\frac{R_1}{1 - \frac{R_1 + R_2}{R_1 + R_2}} + \frac{R_1}{1 + \frac{R_1 + R_2}{R_1 + R_2}}}$$
$$T = -2RC \ln \left(1 - \frac{V_{p-} - V_{p+}}{V_{p-} + V_{p+}} \right)$$

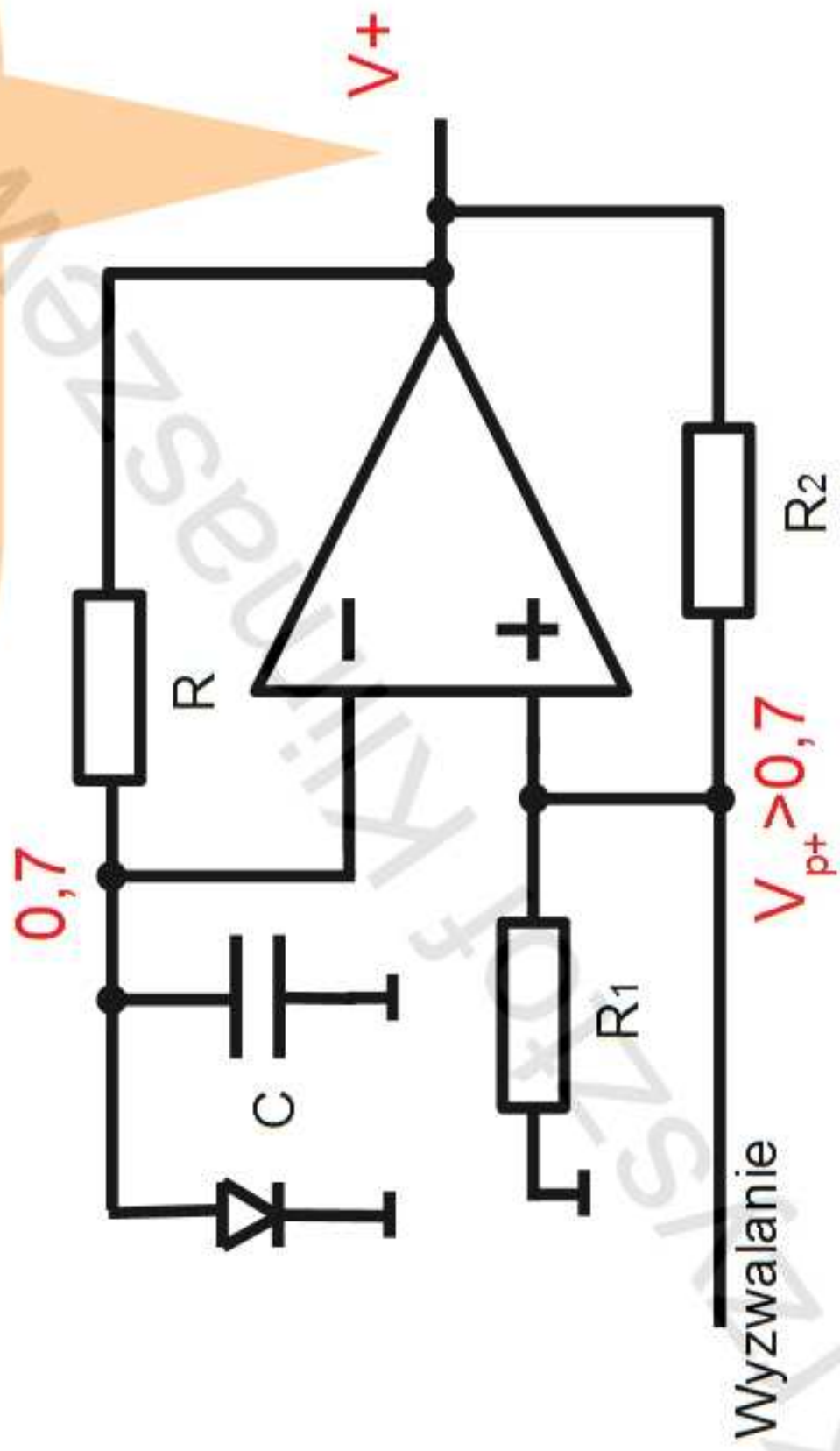
$$T = 2RC \ln \left(\frac{\frac{R_1}{1 + \frac{R_1 + R_2}{R_1 + R_2}} - \frac{R_1}{1 + \frac{R_1 + R_2}{R_1 + R_2}}}{\frac{R_1}{1 - \frac{R_1 + R_2}{R_1 + R_2}} + \frac{R_1}{1 + \frac{R_1 + R_2}{R_1 + R_2}}} \right) = 2RC \ln \left(\frac{2 \frac{R_1 + R_2}{R_1 + R_2}}{\frac{R_1}{R_2}} \right)$$

Multivibrator monostabilny



Multiwibrator mc

Stan stabilny

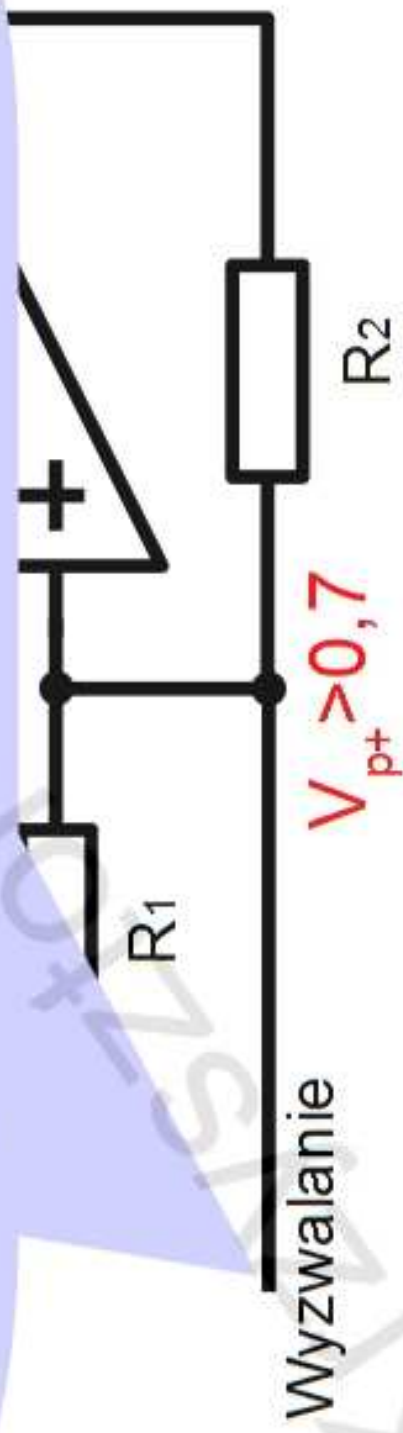


Multiwibrator monostabilny

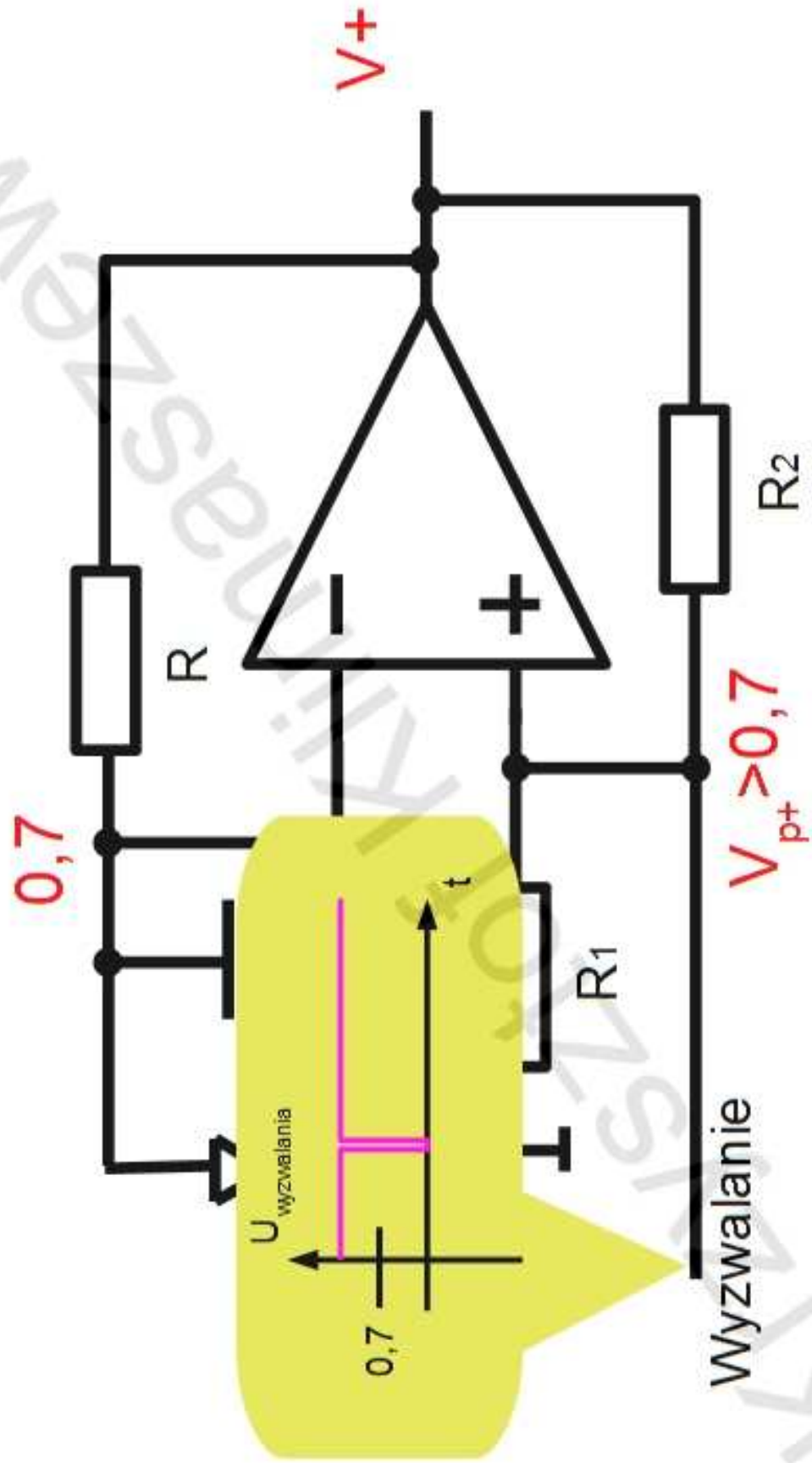


Wyzwolenie impulsem ujemnym
 $<0,7$

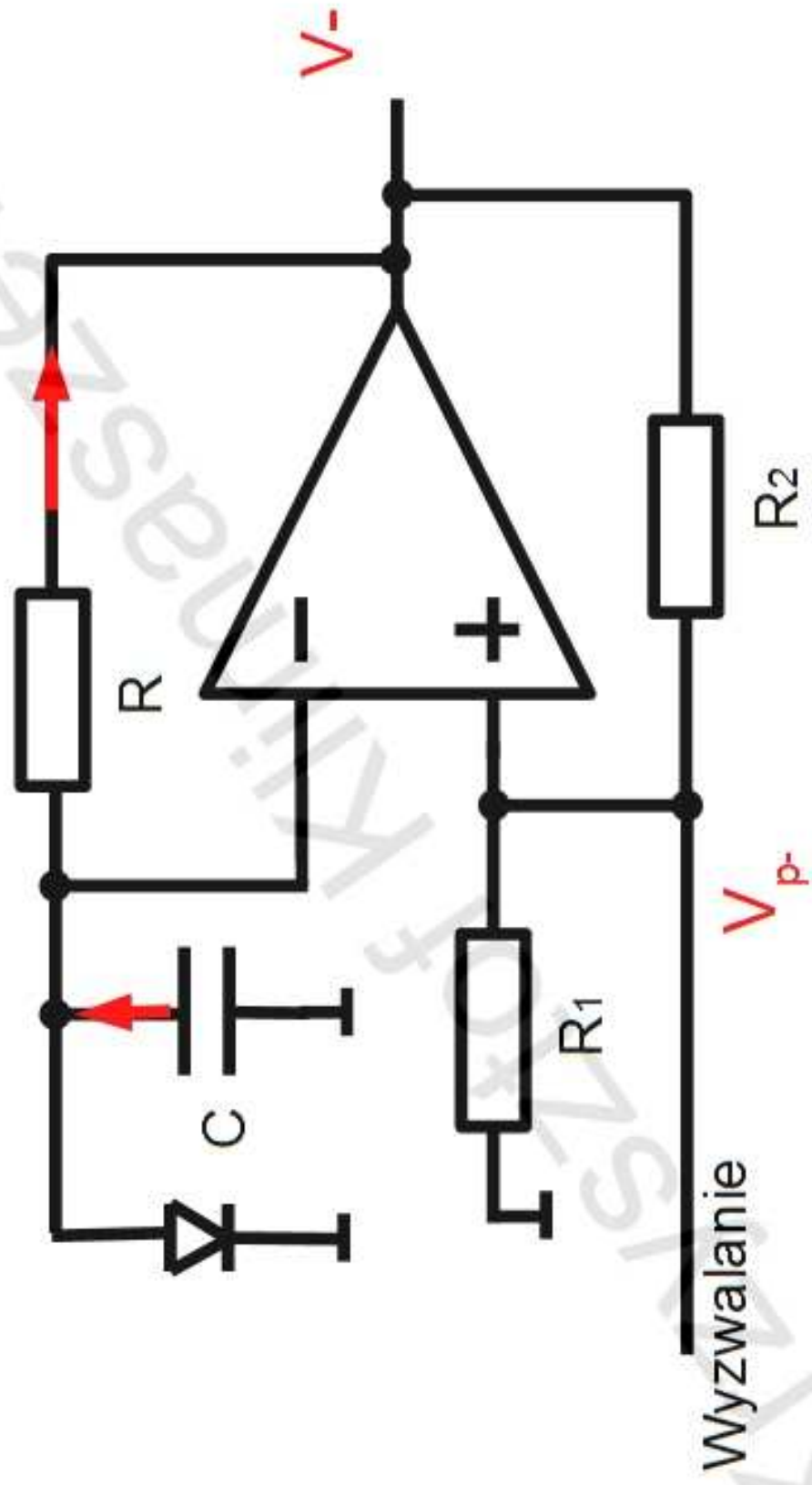
(na przykład OV przez krótką chwilę)



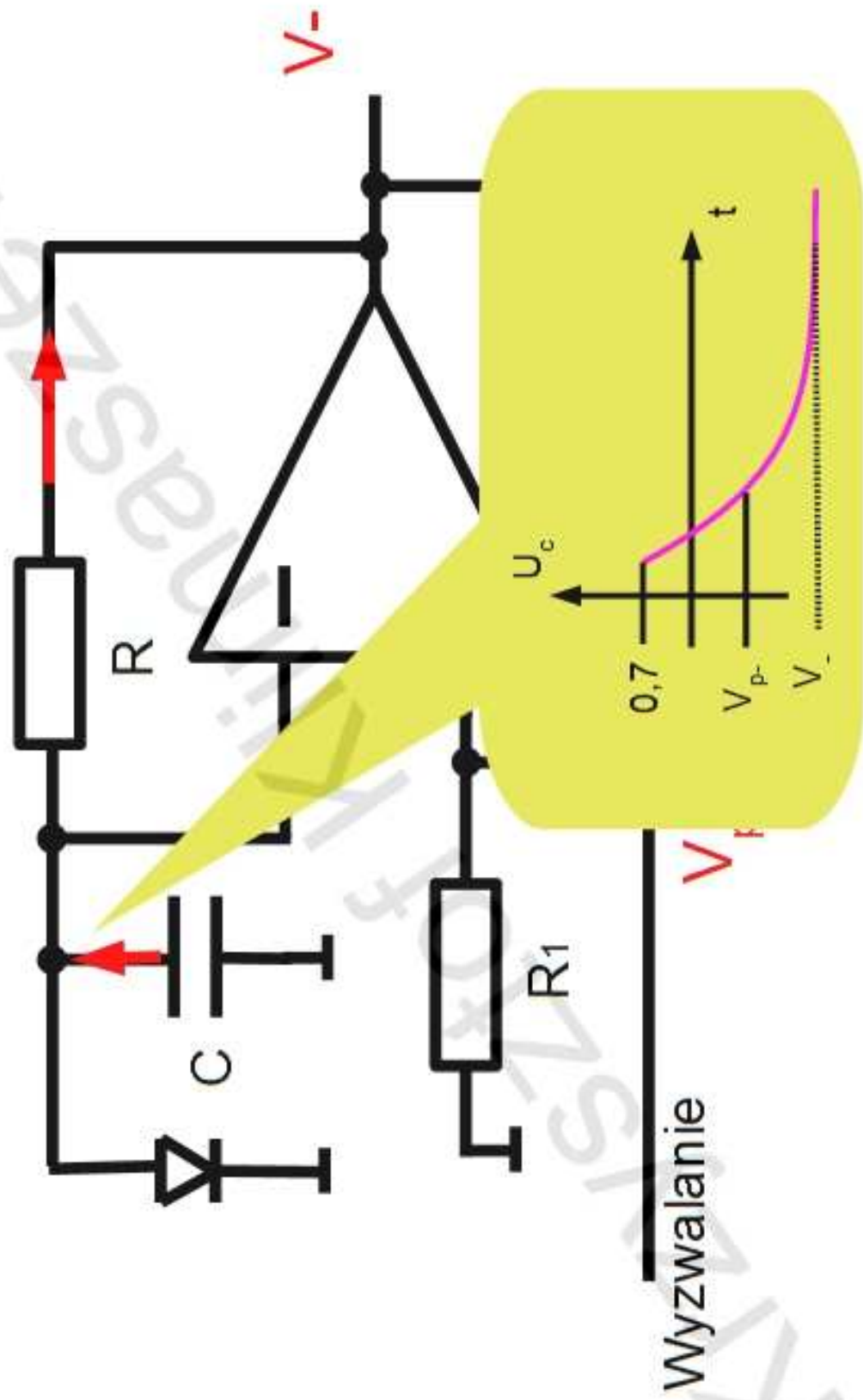
Multiwibrator monostabilny



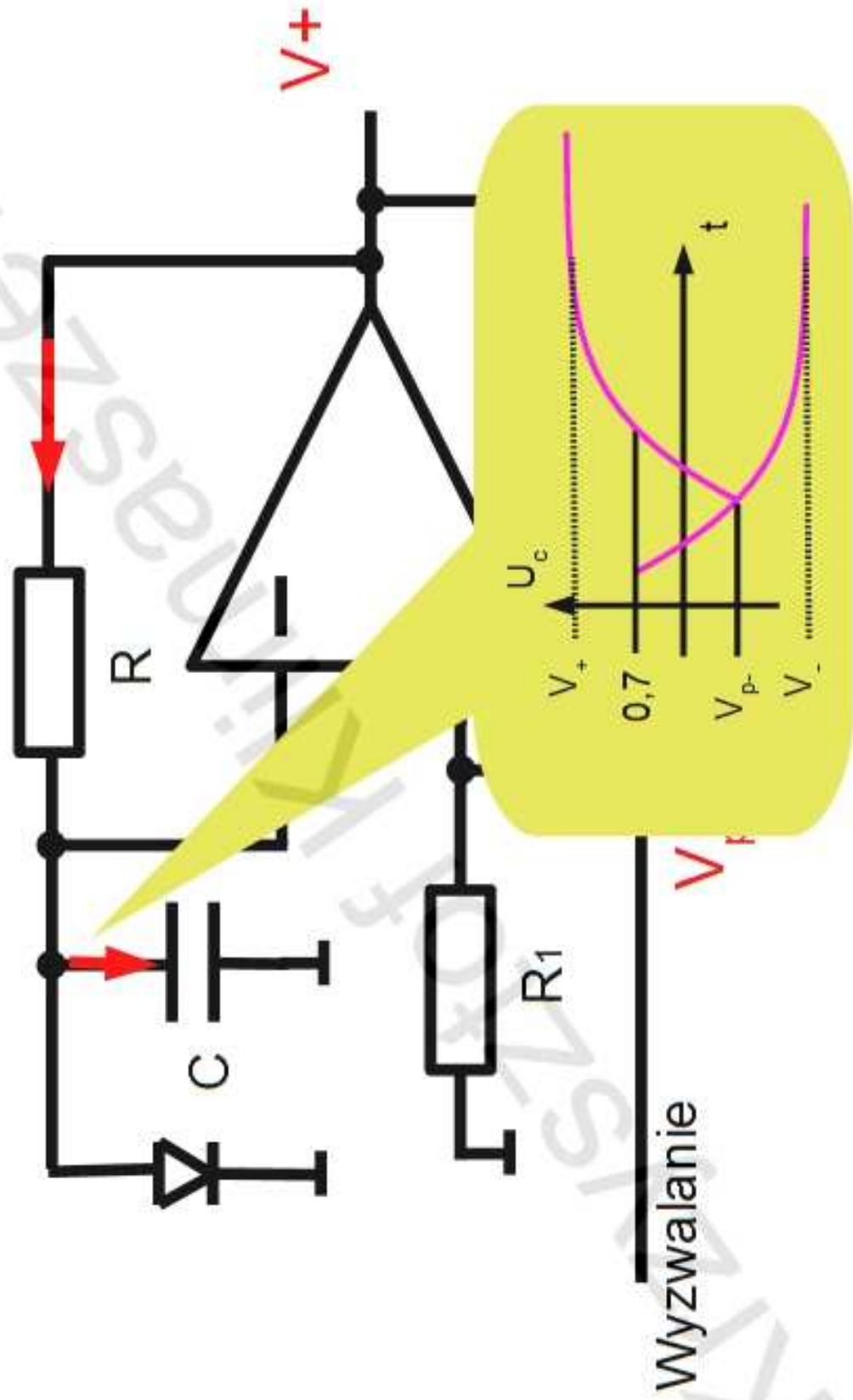
Multivibrator monostabilny



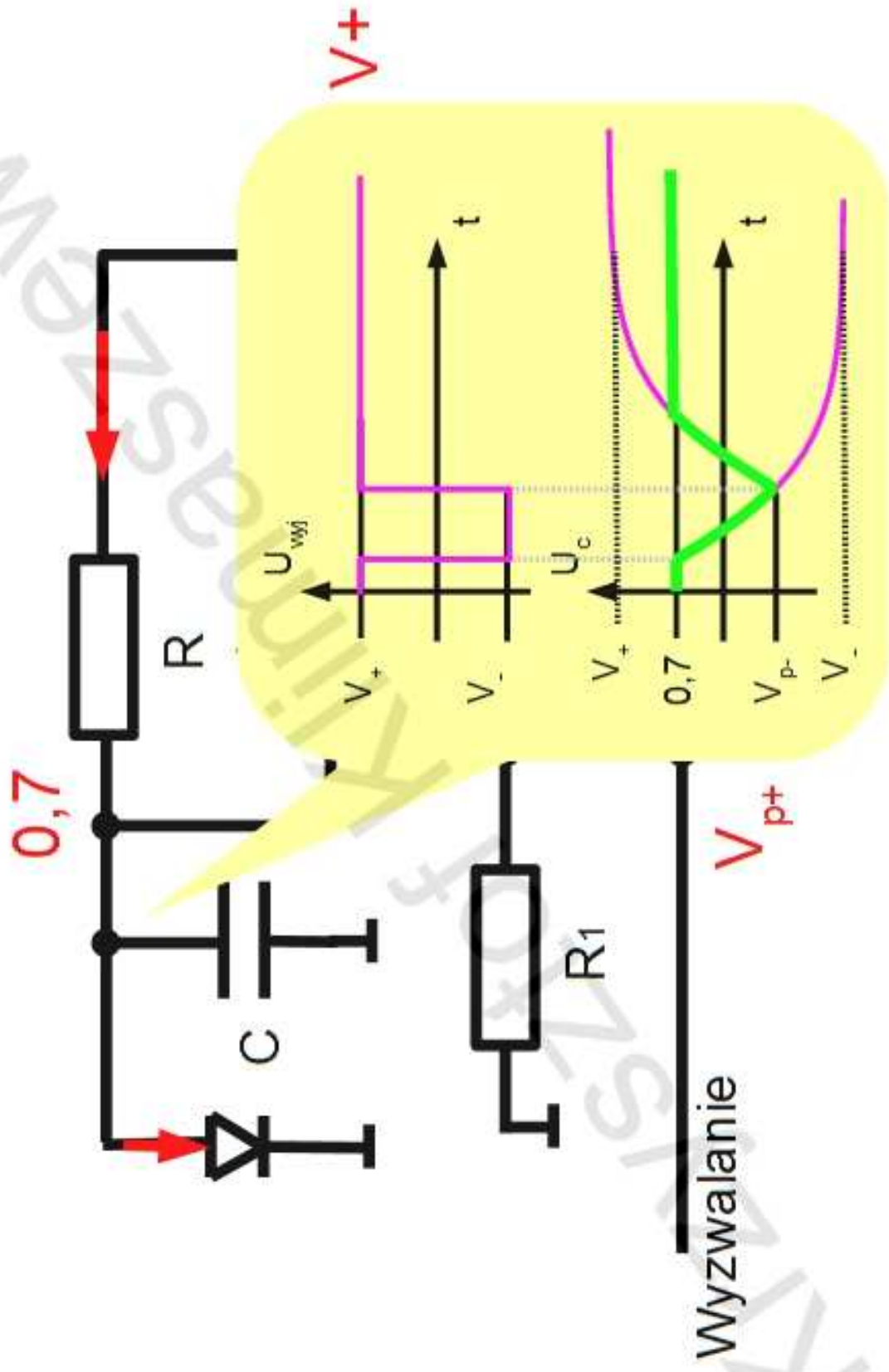
Multiwibrator monostabilny



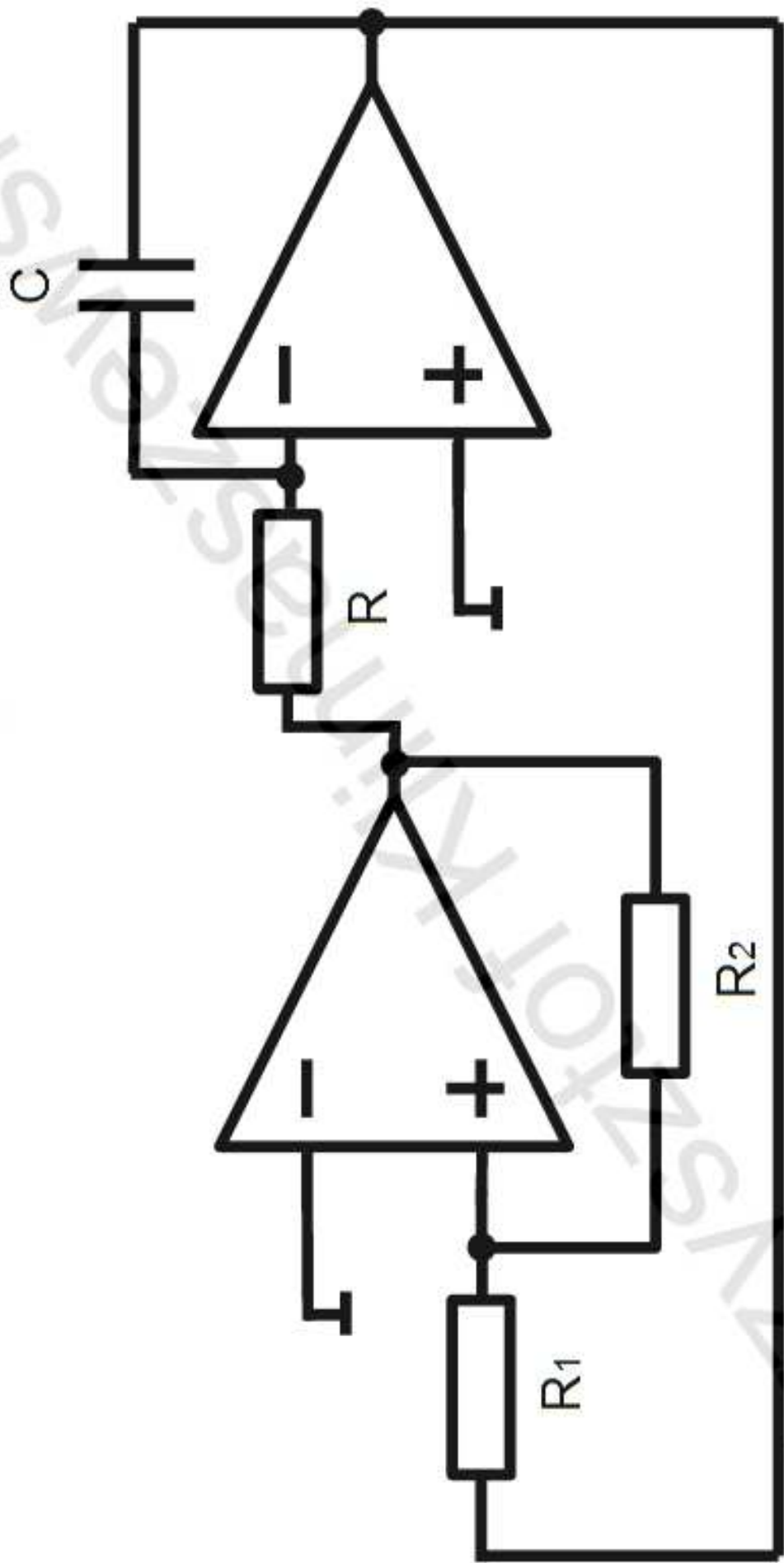
Multiwibrator monostabilny



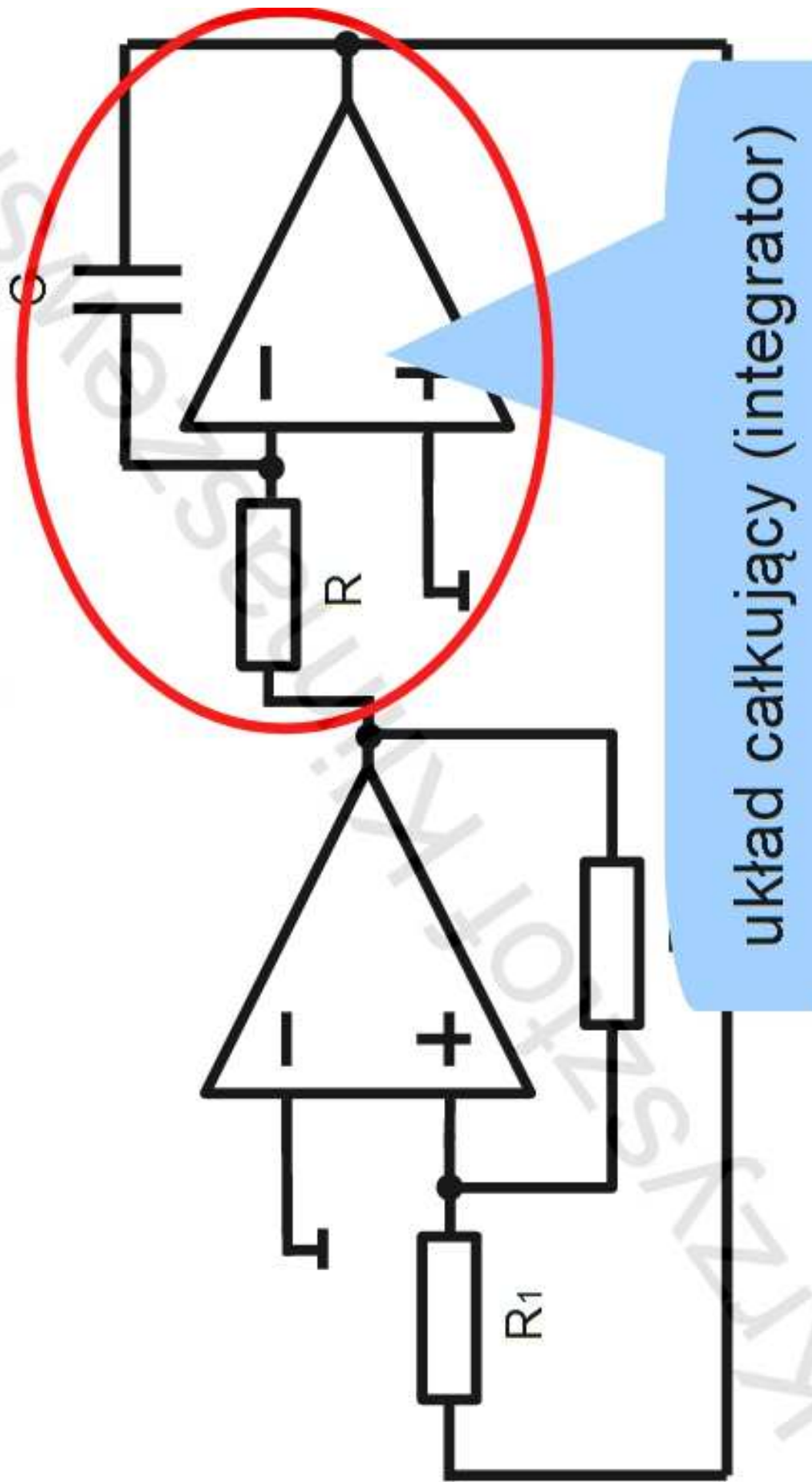
Multiwibrator monostabilny



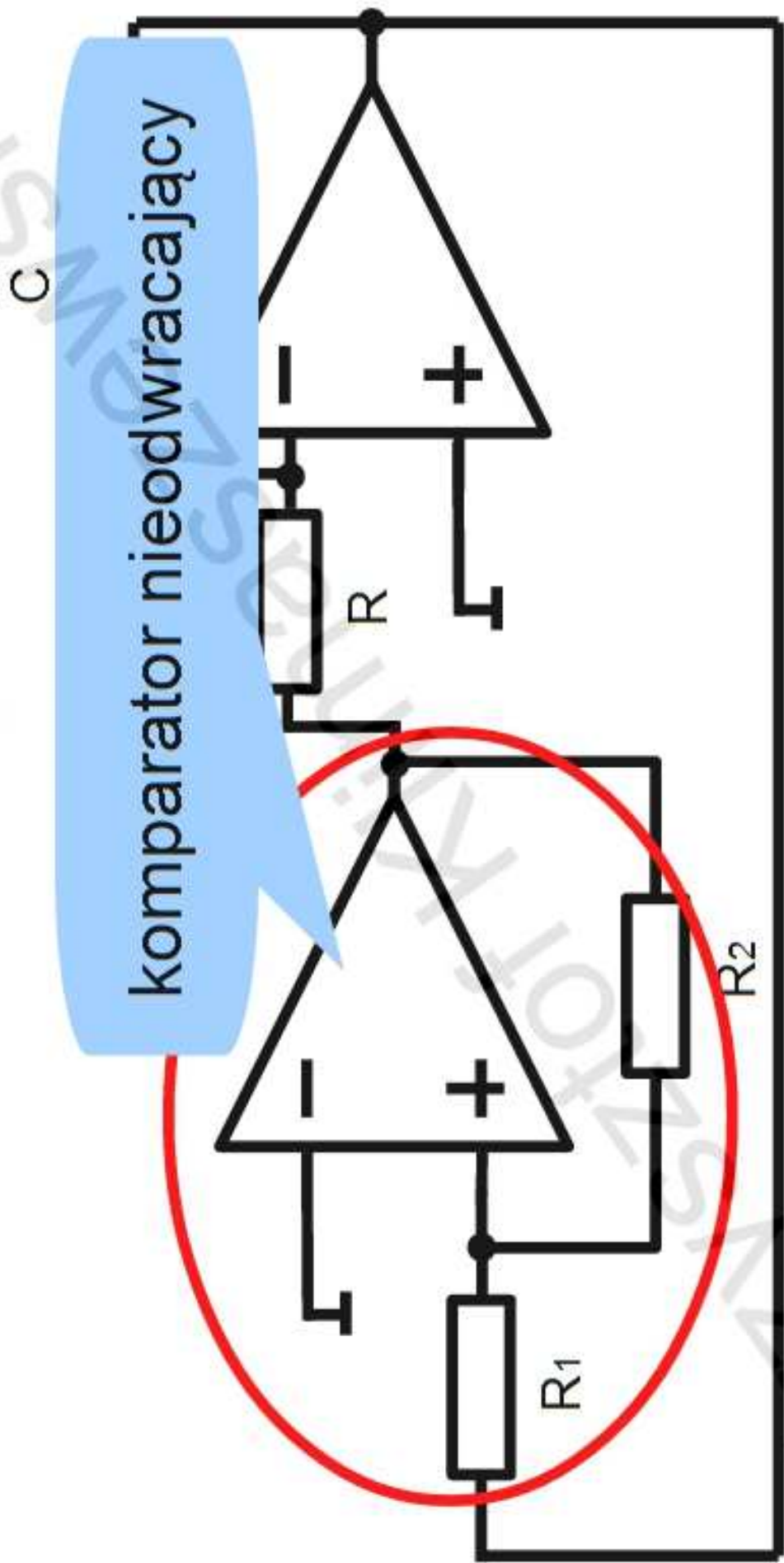
Generator przebiegu trójkątnego



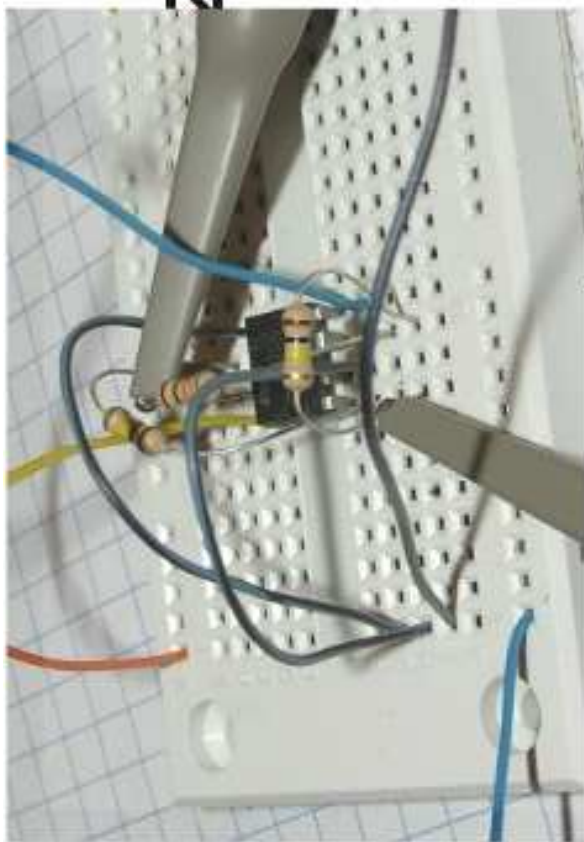
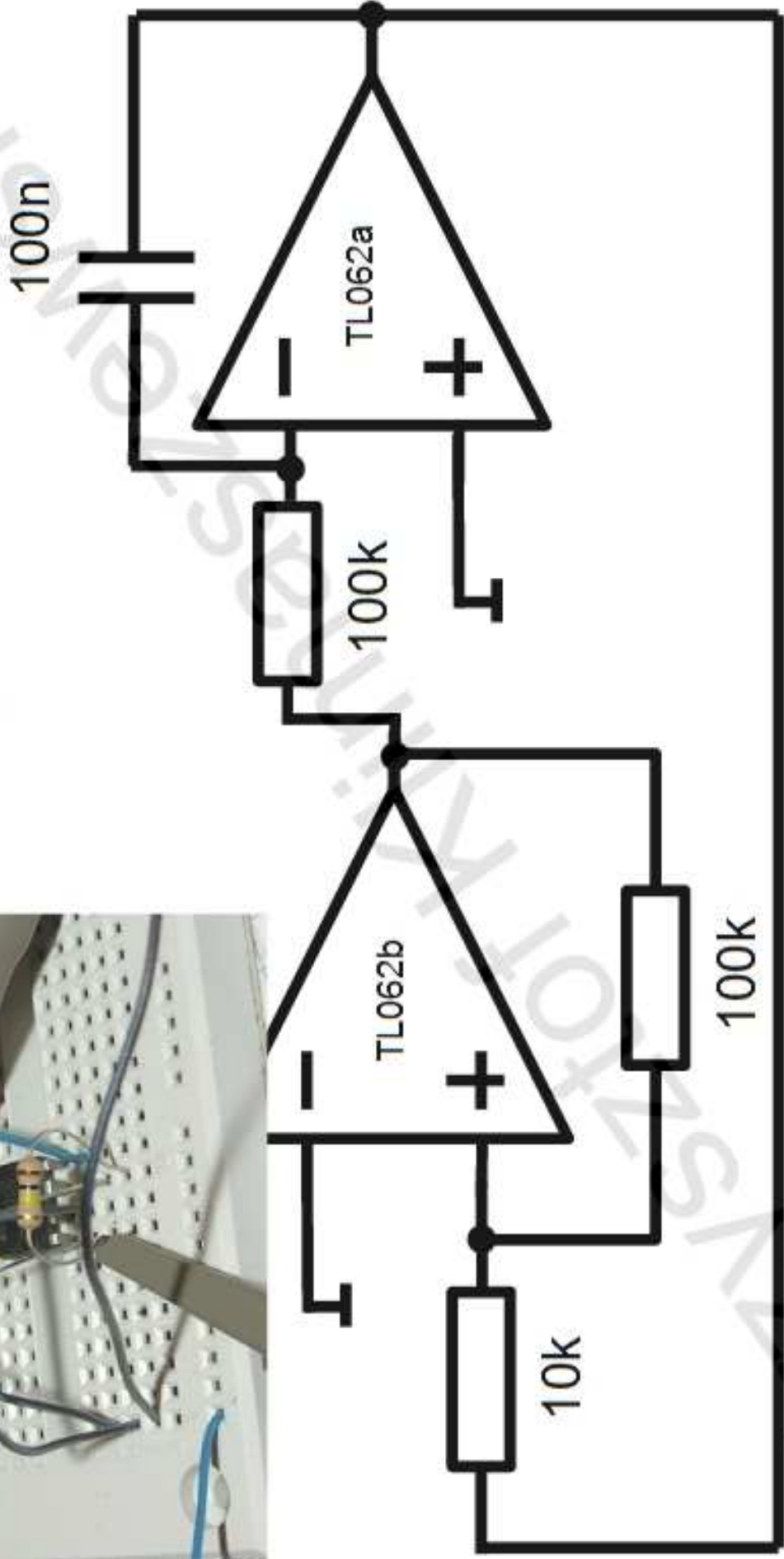
Generator przebiegu trójkątnego



Generator przebiegu trójkątnego



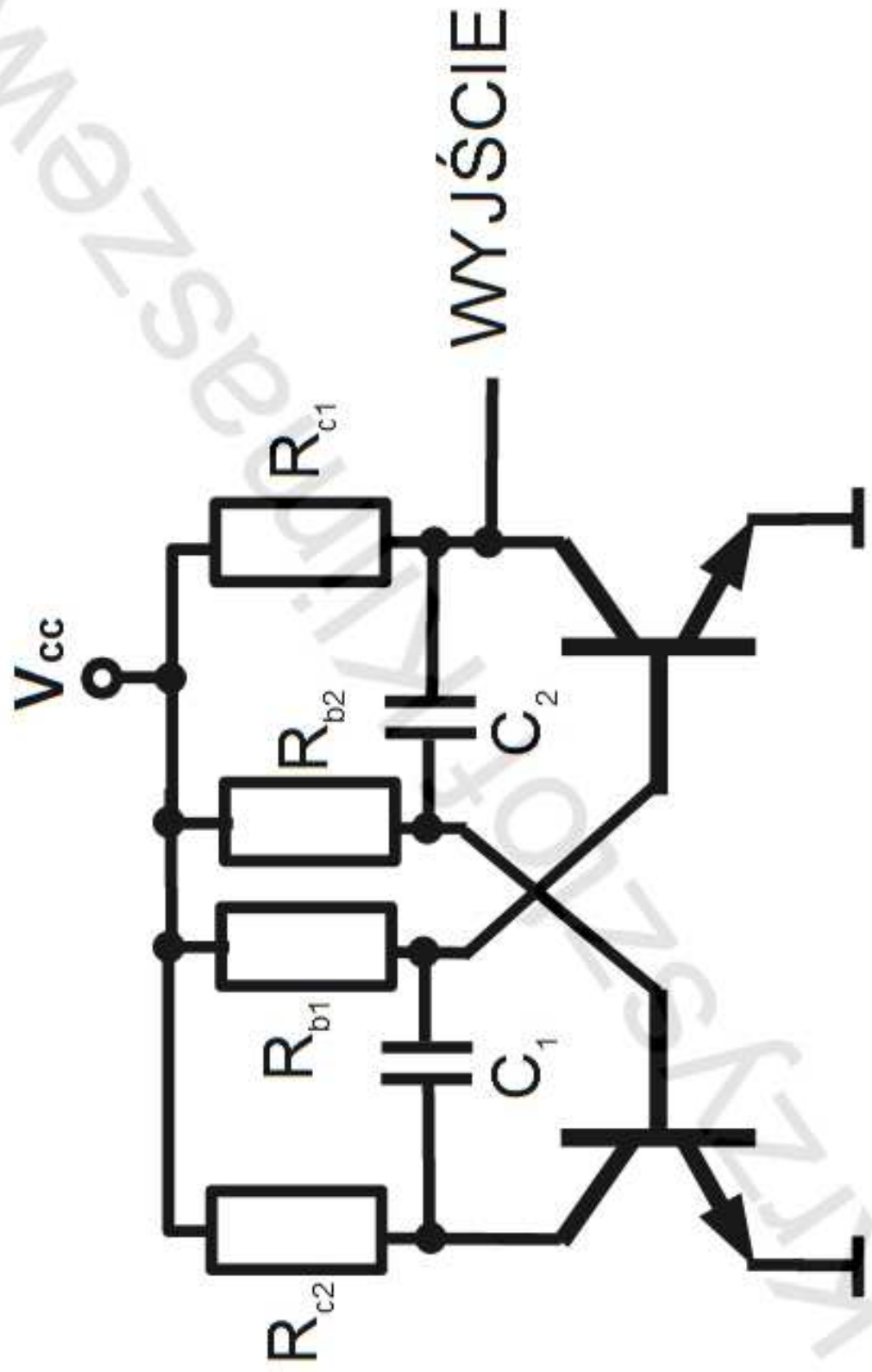
zobiegu trójkątnego



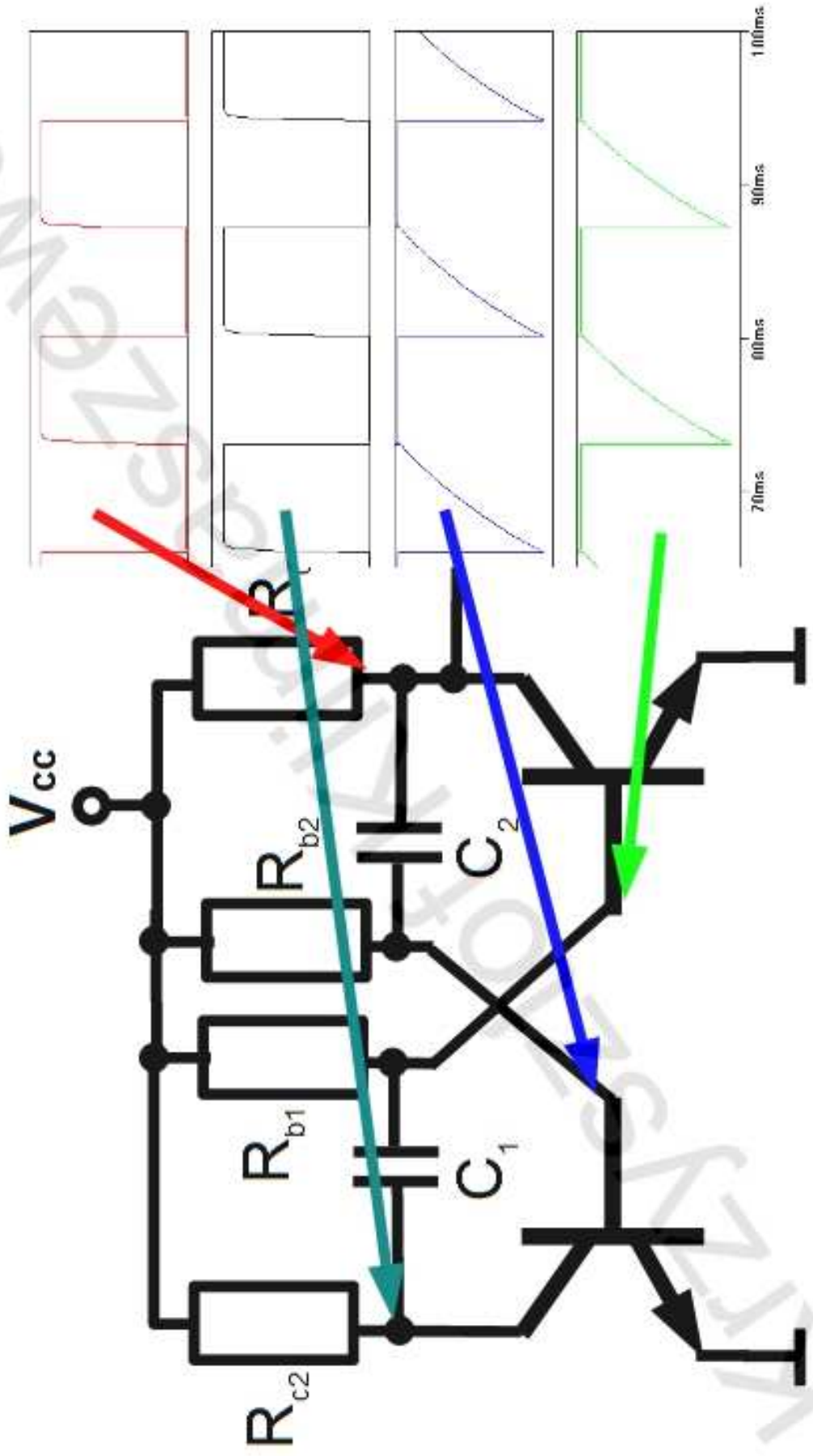
e-gu trójka tnego



Układ astabilny z tranzystorami

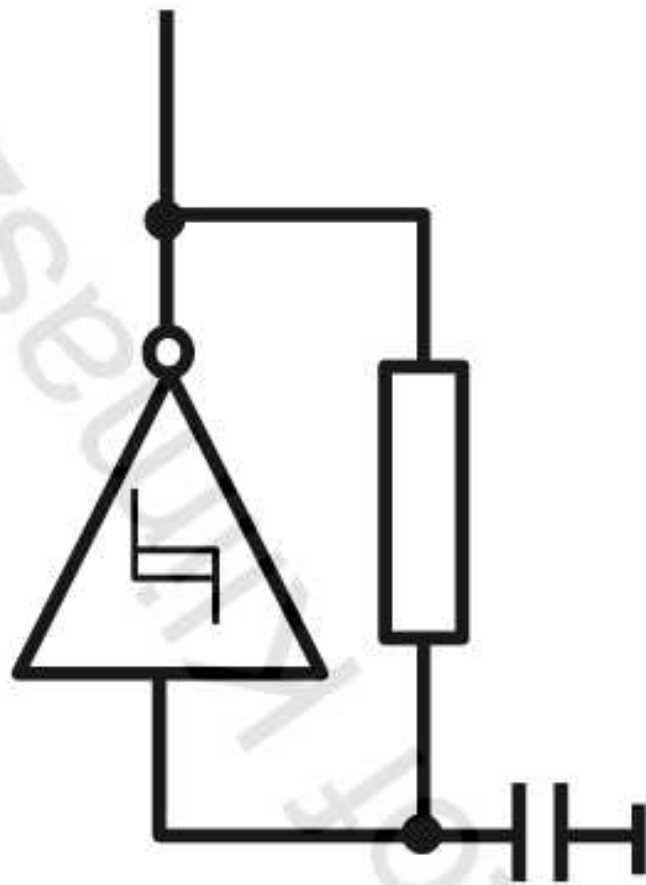


Układ astabilny z tranzystorami



(Chyba) najprostszy generator

74xx14 (np. 74HC14)

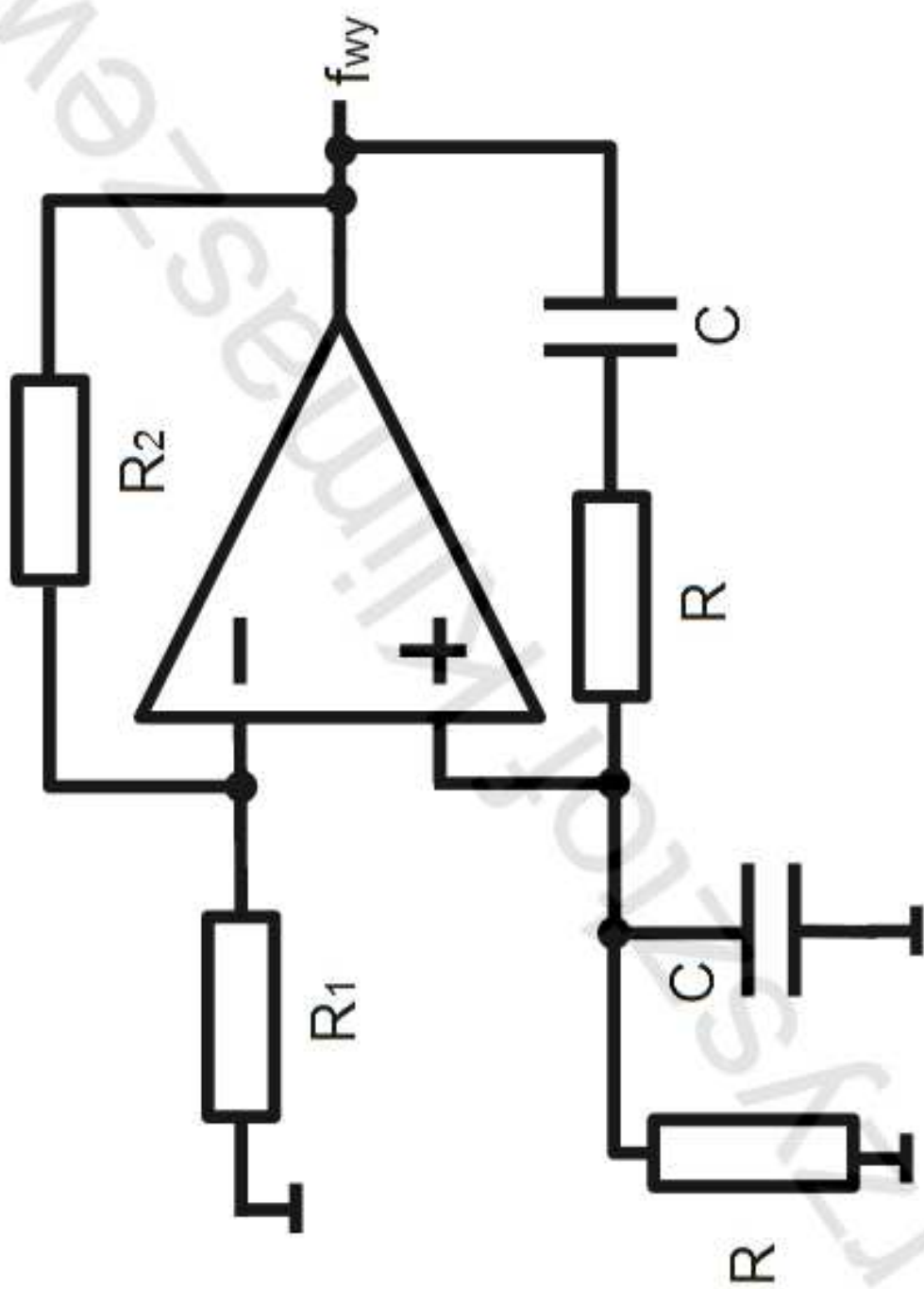


podobne, a nawet lepsze:

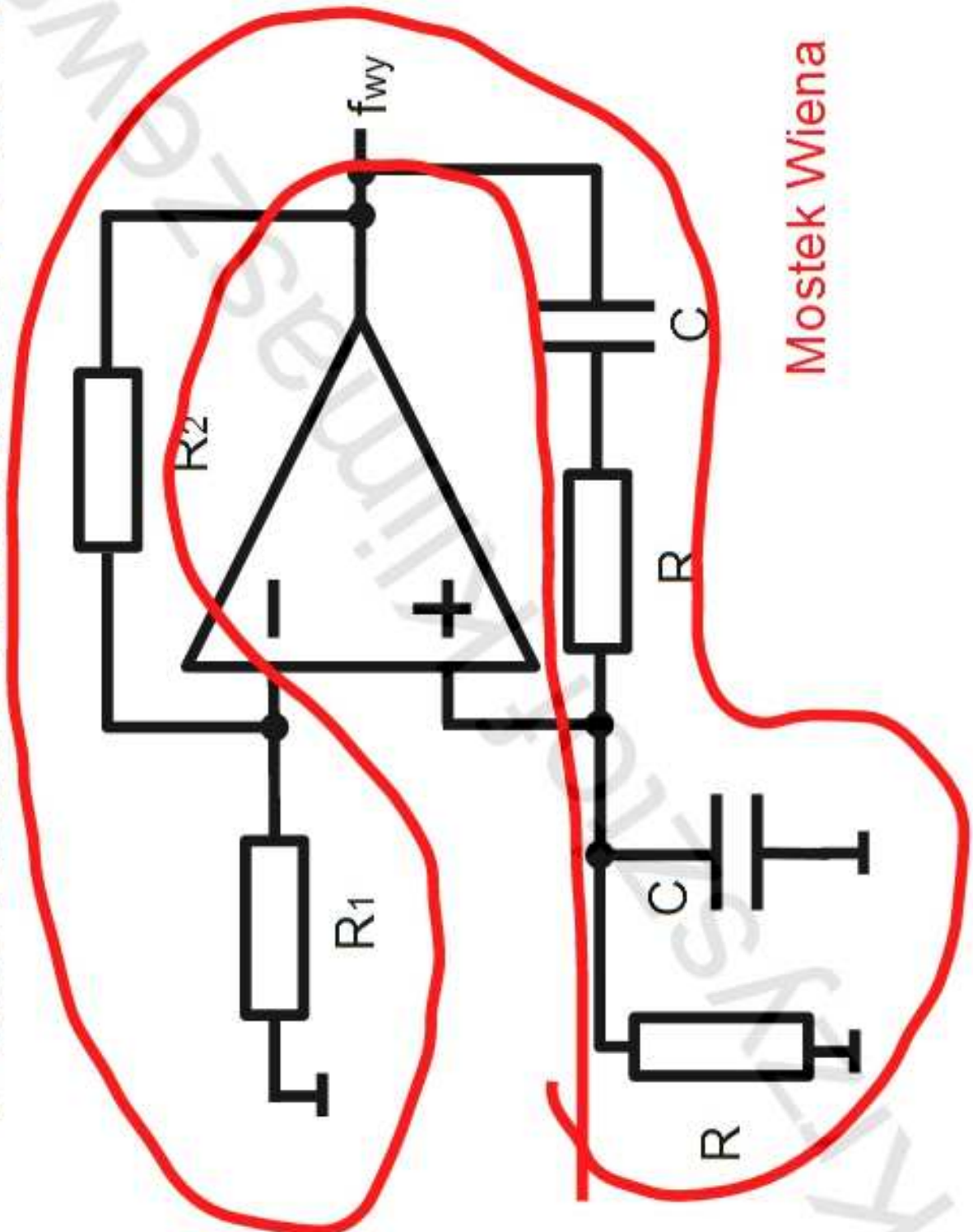
CD4093

74xx132

Generator z mostkiem Wienna

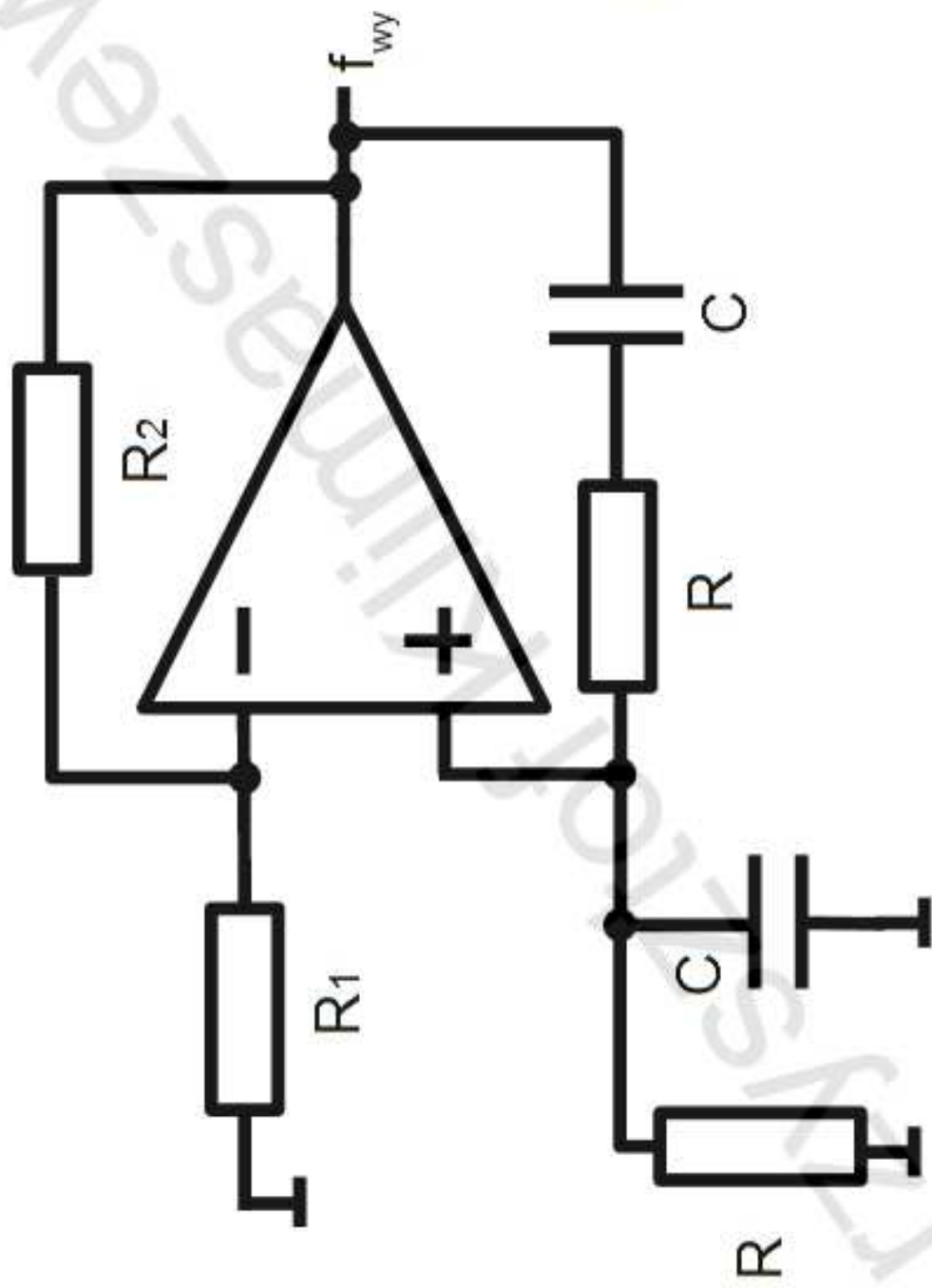


Generator z mostkiem Wienna



Mostek Wiena

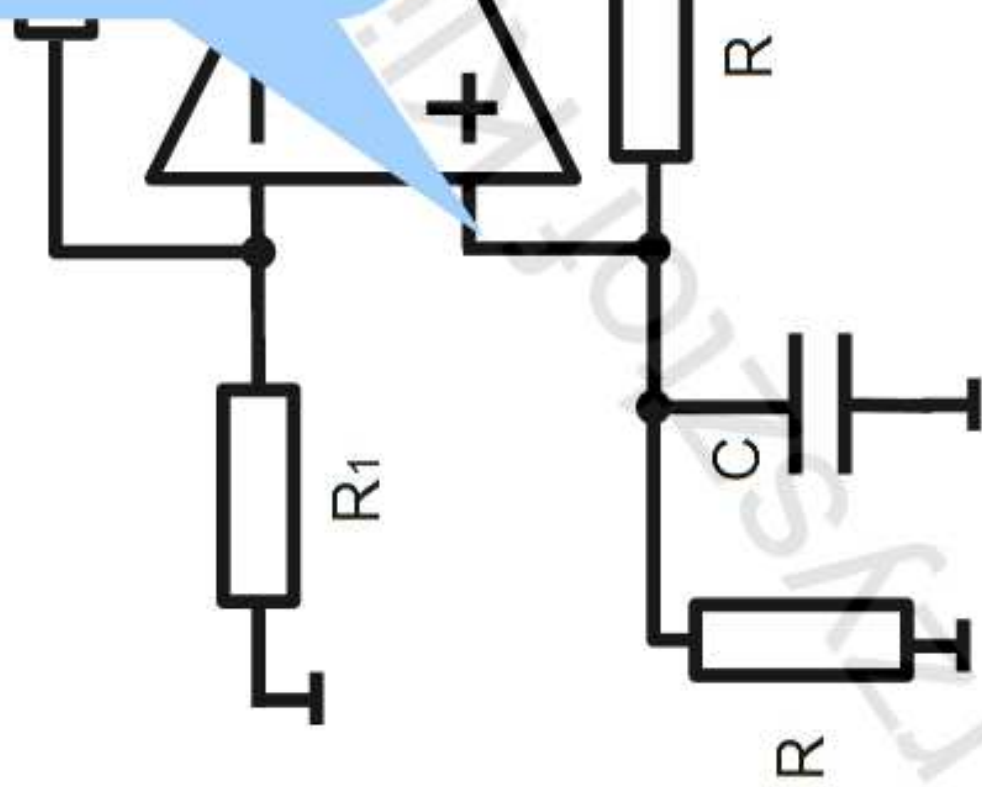
Generator z mostkiem Wienna



$$k \cdot \beta = 1$$

$$k = 1 + \frac{R_2}{R_1}$$

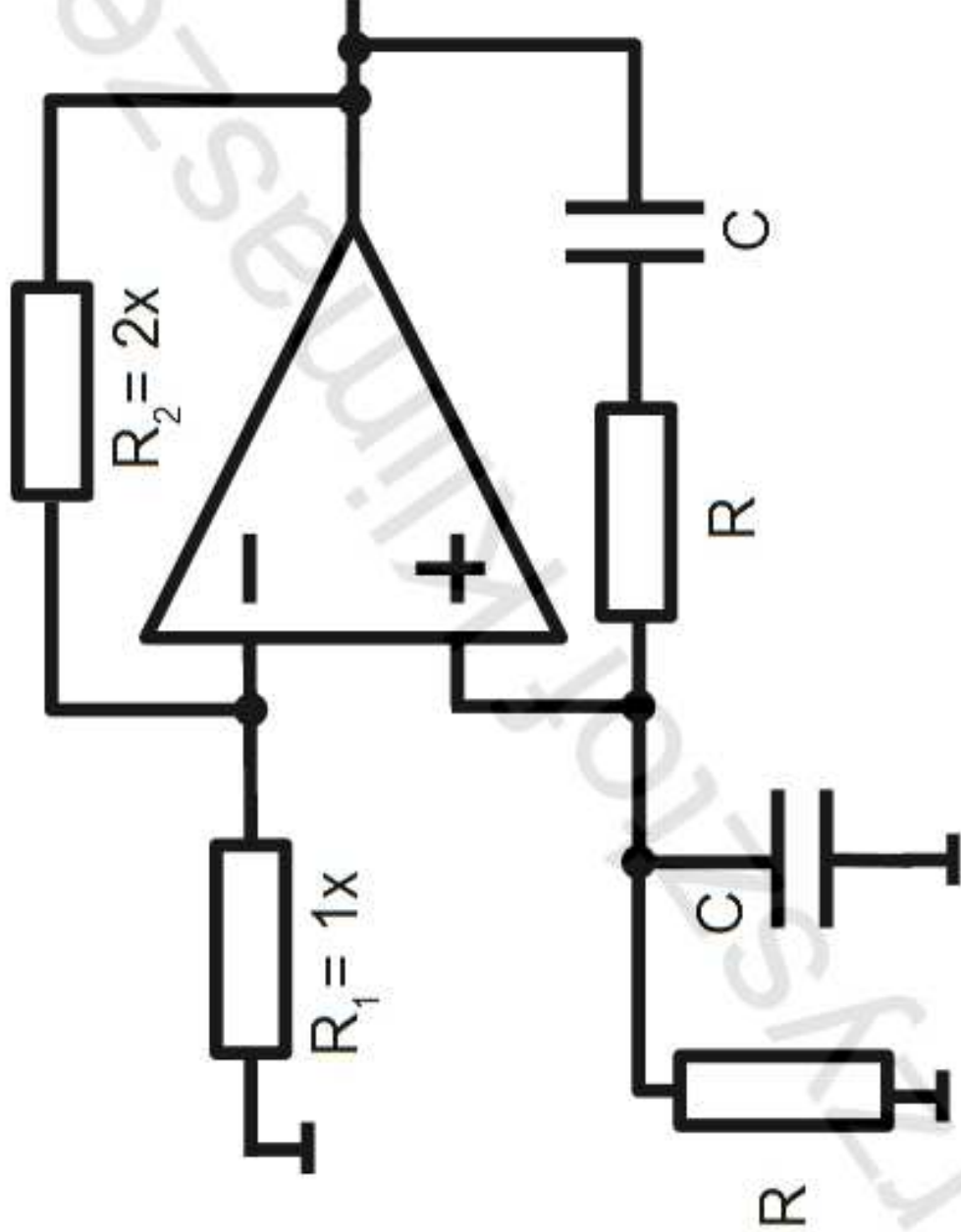
Generator z mc



$$\beta = \frac{R \cdot \frac{1}{j\omega C}}{R + \frac{1}{j\omega C}}$$
$$\beta = \frac{\frac{1}{j\omega C}}{R \cdot \frac{1}{j\omega C} + R + \frac{1}{j\omega C}}$$

$$k \cdot \beta = 1 + \frac{R_2}{R_1}$$

Generator z mostkiem Wienna



$$f_{wy} = \frac{1}{2\pi RC}$$

Generator z mostkiem Wienna



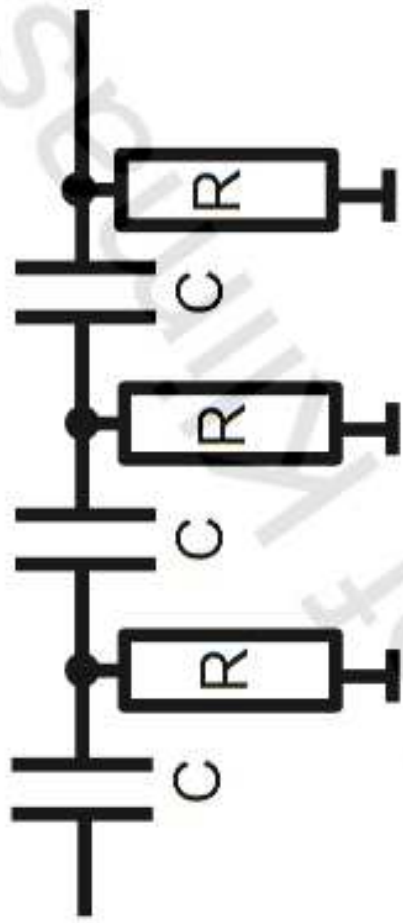
$$f_{\text{wyr}} = \frac{1}{2\pi RC}$$

Aby uruchomić oscylacje, potrzeba wzmacnienia większego niż 3, ale stabilne drgania wymagają wzmacnienia równego 3.

UWAGA:

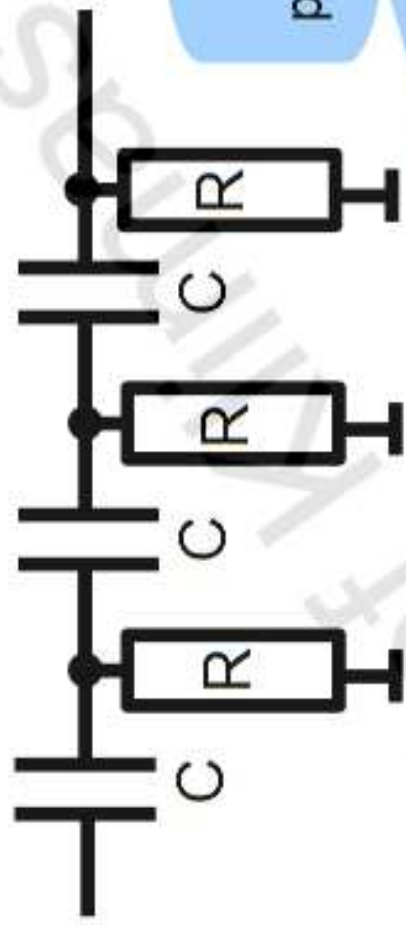
Wartości R i C nie są w rzeczywistym układzie identyczne
(bo R i C nie są idealne)

Generator z przesuwnikiem fazowym



$$H(\omega) = \frac{1}{1 + \frac{6}{j\omega RC} + \frac{5}{(j\omega RC)^2} + \frac{1}{(j\omega RC)^3}}$$

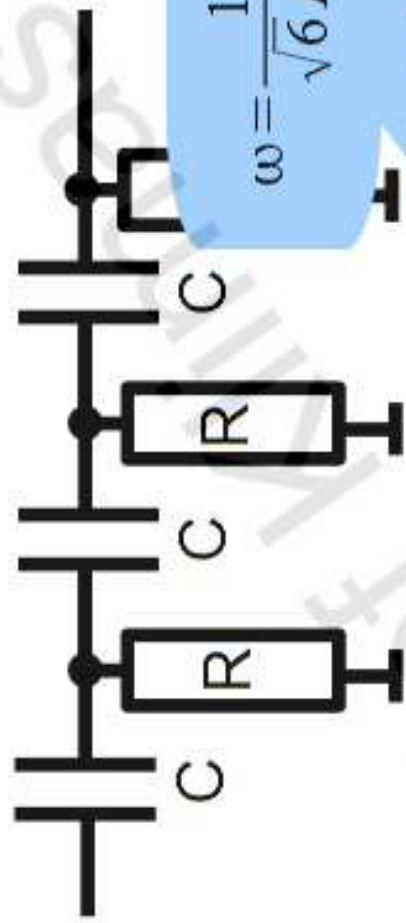
Generator z przesuwnikiem fazowym



interesuje nas
przesunięcie o 180°

$$H(\omega) = \frac{1}{1 + \frac{6}{j\omega RC} + \frac{5}{(j\omega RC)^2} + \frac{1}{(j\omega RC)^3}}$$

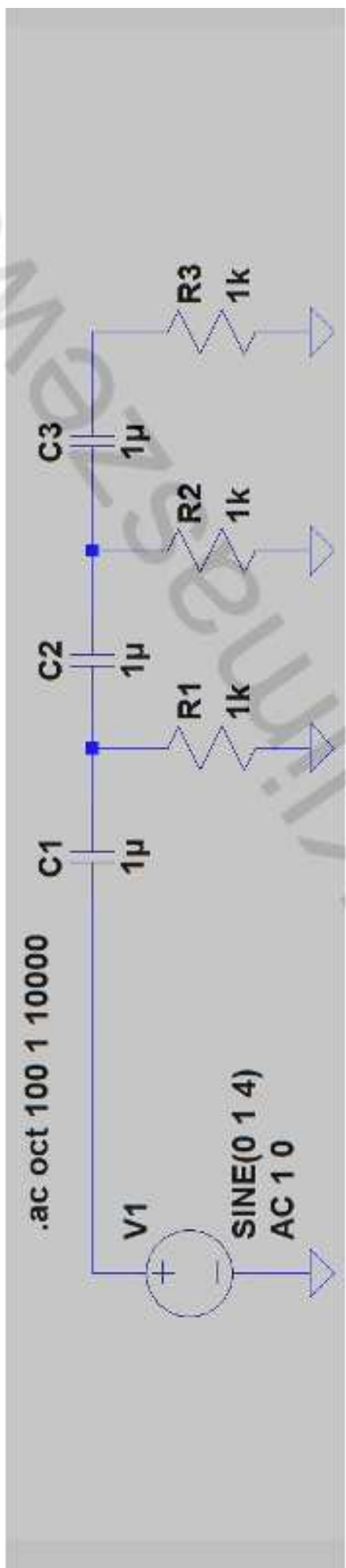
Generator z przesuwnikiem fazowym



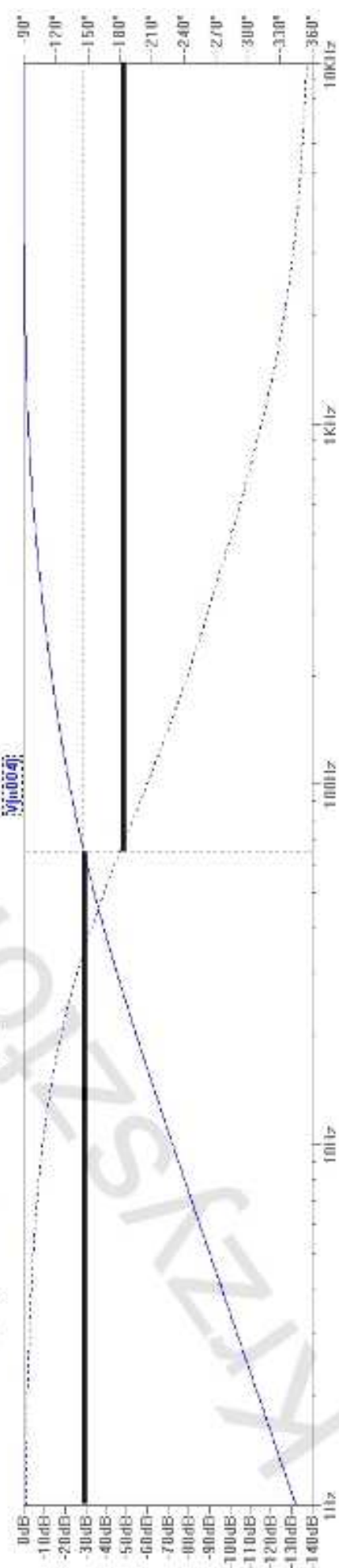
$$\omega = \frac{1}{\sqrt{6}RC} \rightarrow H(\omega) = -\frac{1}{29}$$

$$H(\omega) = \frac{1}{1 + \frac{6}{j\omega RC} + \frac{5}{(j\omega RC)^2} + \frac{1}{(j\omega RC)^3}}$$

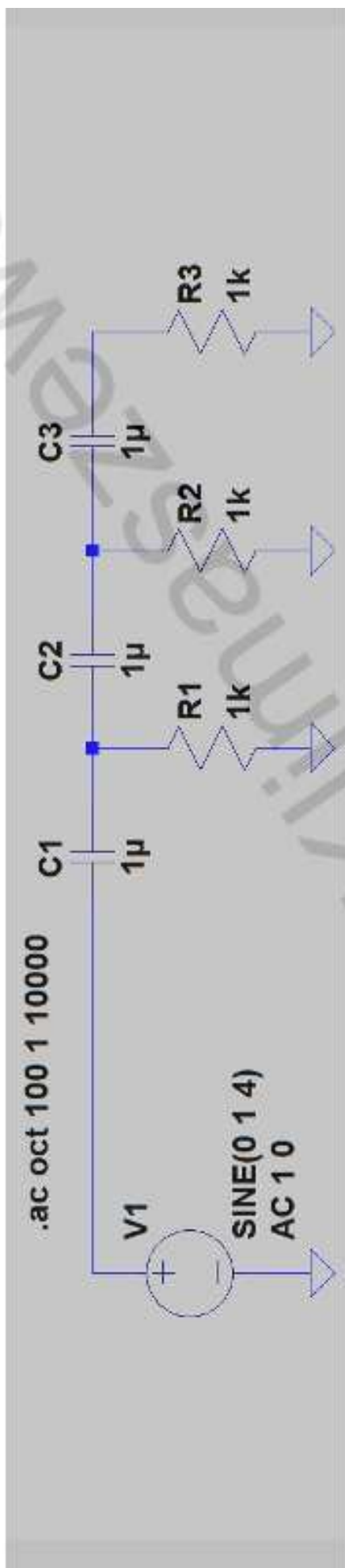
Generator z przesuwnikiem fazowym



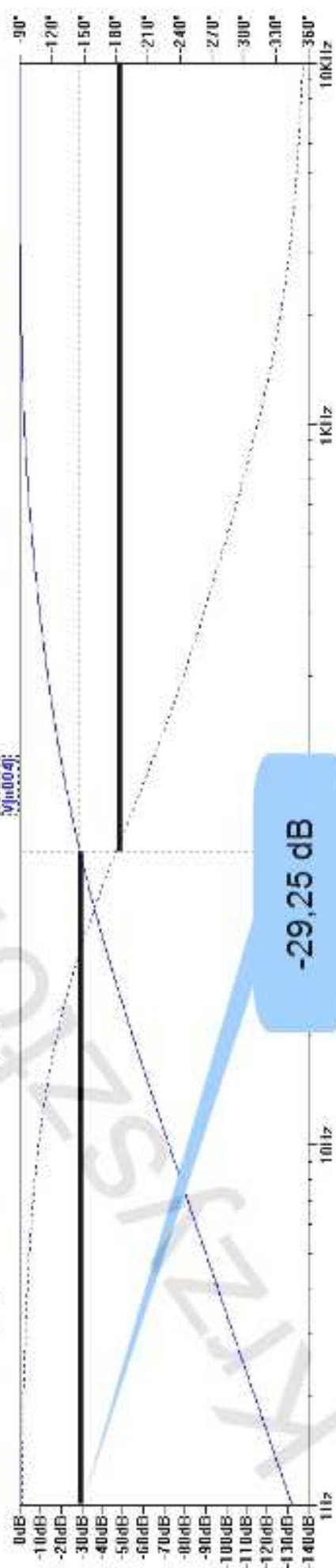
$$f_0 = \frac{1}{2\pi\sqrt{(6)RC}} = \frac{1}{2\pi\sqrt{(6)10^3 \cdot 10^{-6}}} = 64,975 \text{ Hz}$$



Generator z przesuwnikiem fazowym

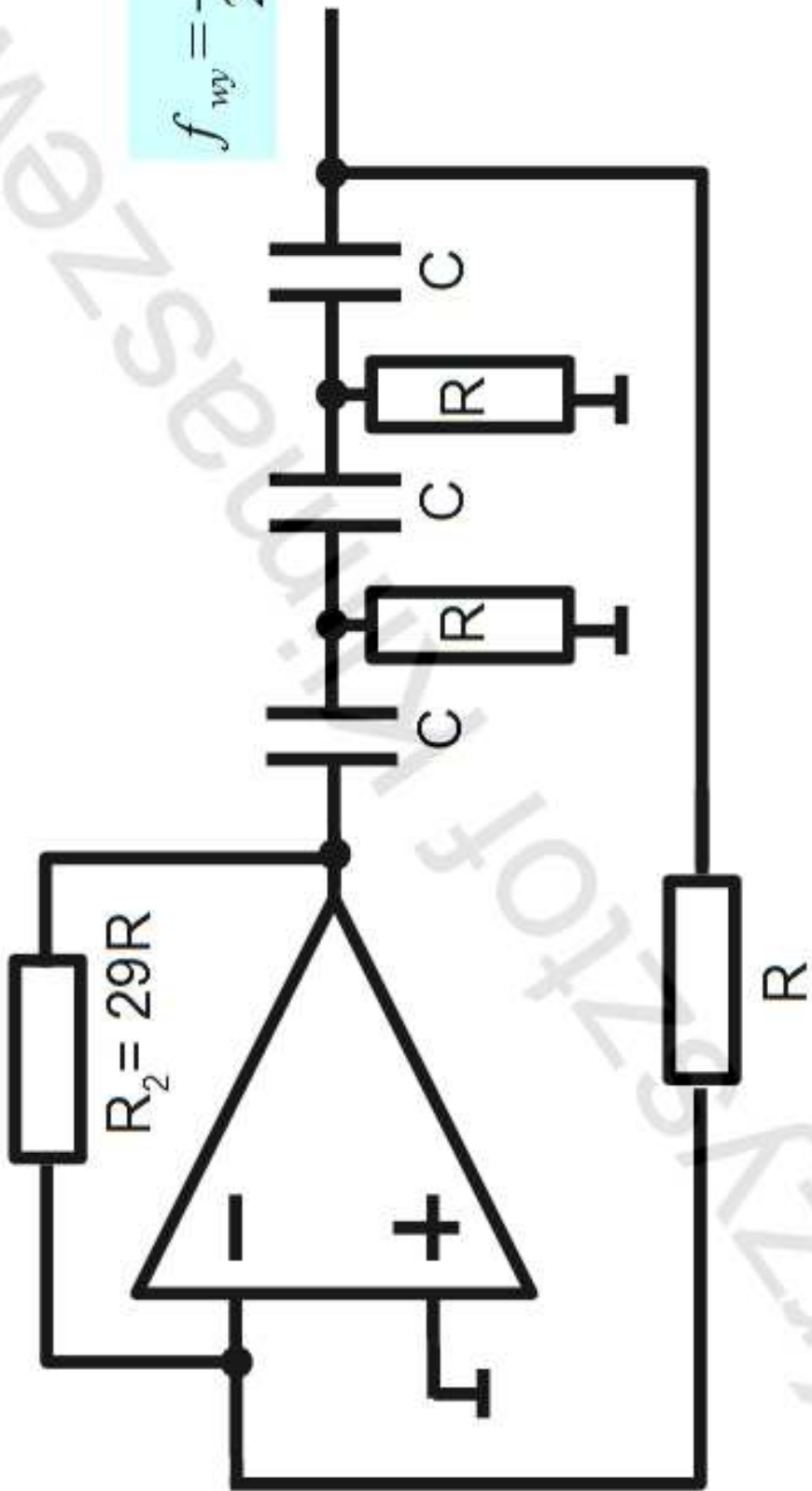


$$f_0 = \frac{1}{2\pi\sqrt{(6)RC}} = \frac{1}{2\pi\sqrt{(6)10^3 \cdot 10^{-6}}} = 64,975 \text{ Hz}$$



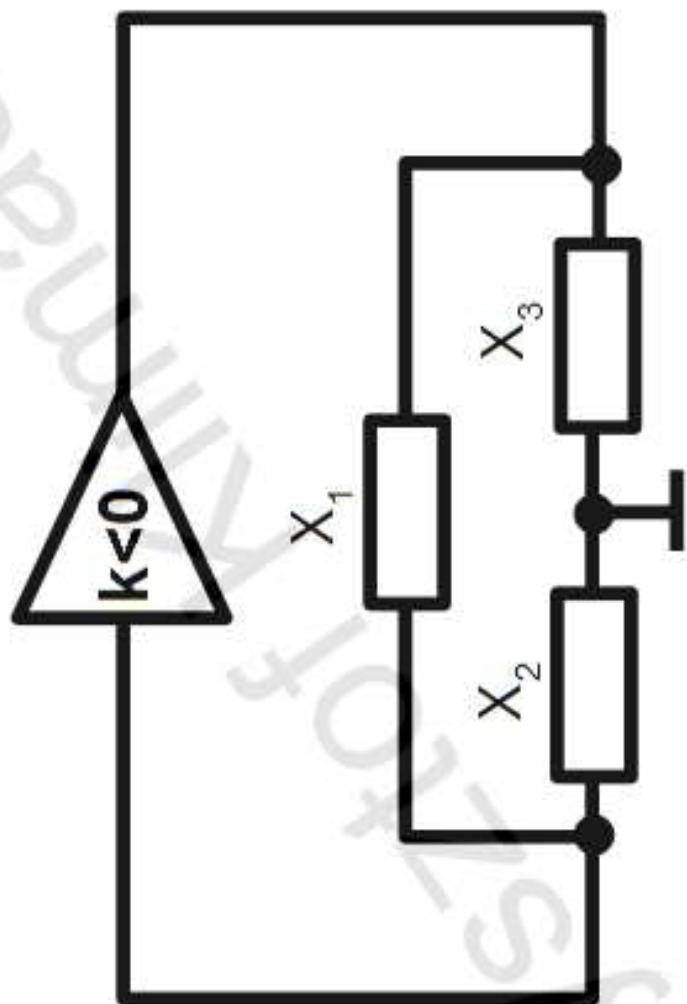
Generator z przesuwnikiem fazowym

$$f_{wy} = \frac{1}{2\pi\sqrt{6}RC}$$



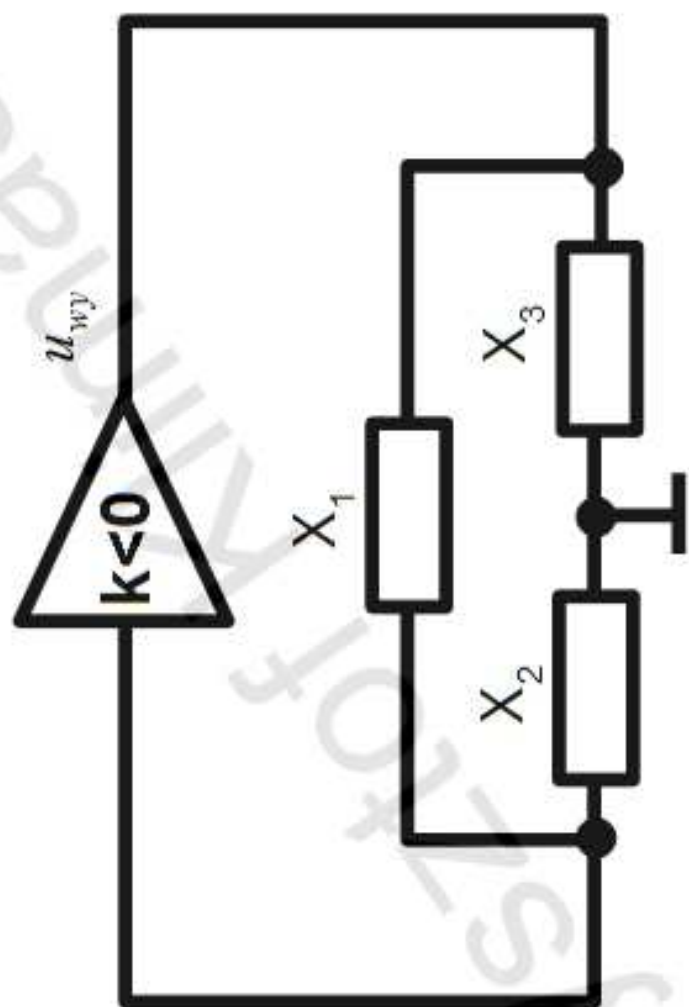
Generatory LC - ogólnie

- ogólny układ generatora LC



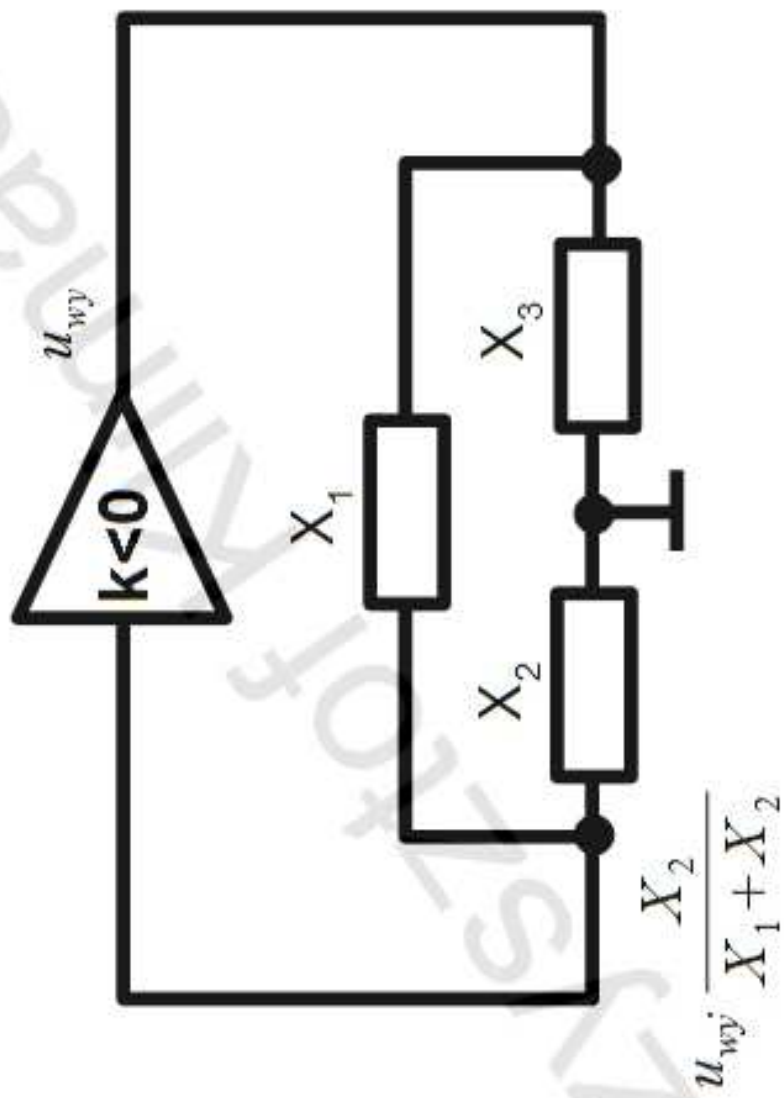
Generatory LC - ogólnie

- ogólny układ generatora LC



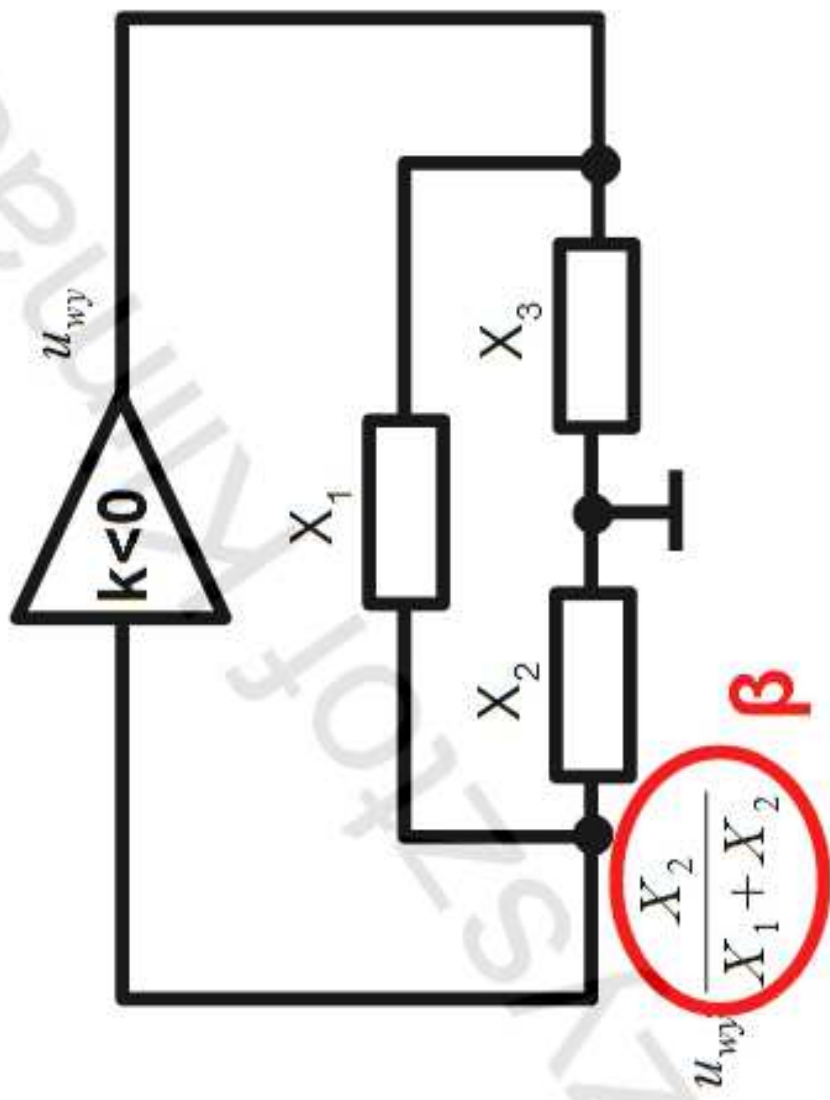
Generatory LC - ogólnie

- ogólny układ generatora LC



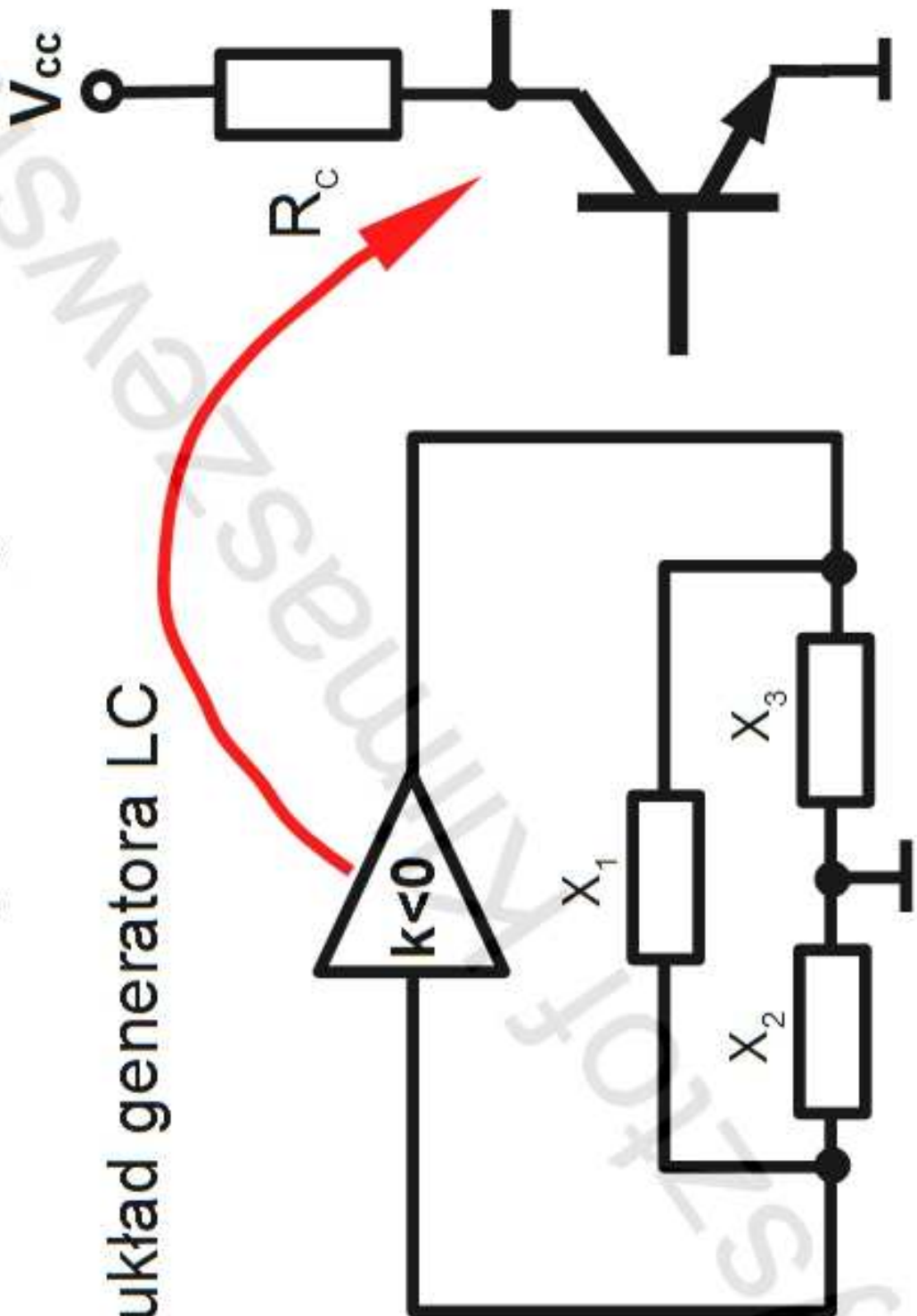
Generatory LC - ogólnie

- ogólny układ generatora LC



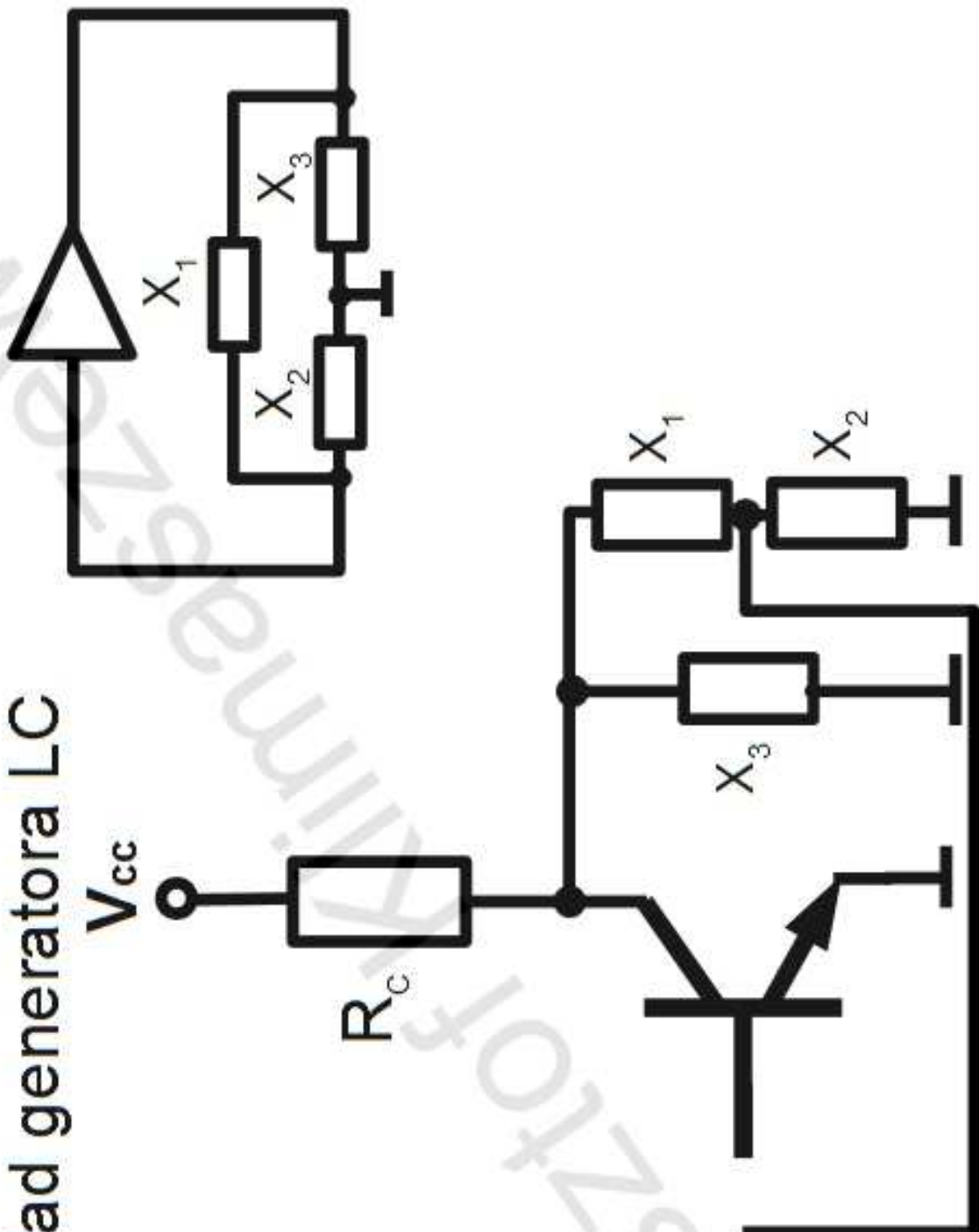
Generatory LC - ogólnie

- ogólny układ generatora LC



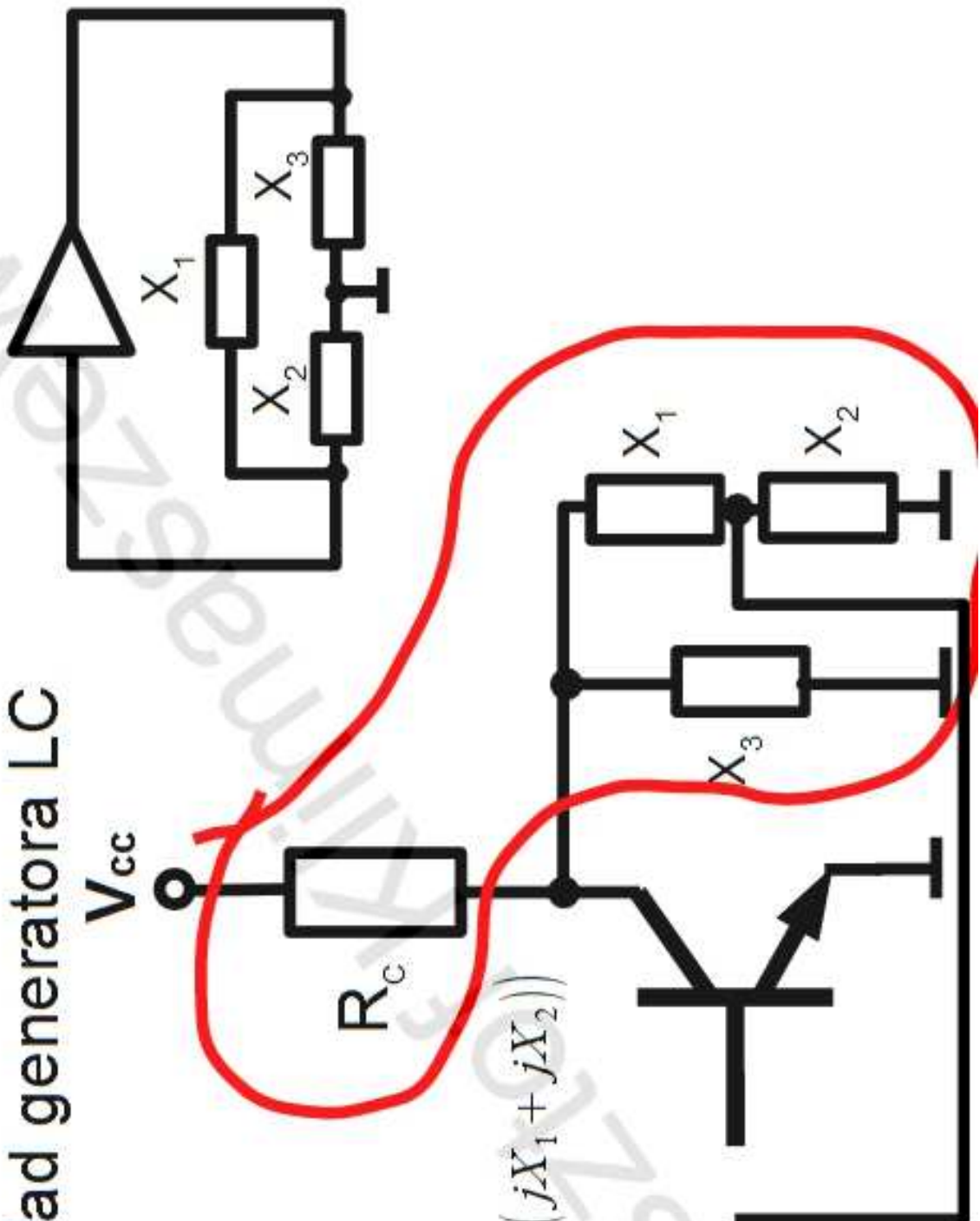
Generatory LC - ogólnie

- ogólny układ generatora LC



Generatory LC - ogólnie

- ogólny układ generatora LC



$$K_u = -g_m R_C \parallel (jX_3 \parallel (jX_1 + jX_2))$$

Generatory LC - ogólnie

$$k_u \beta = 1$$

$$X = \frac{1}{B} \quad (\text{reaktancja} = 1 / \text{susceptancja})$$

$$k_u = -\frac{g_m}{G_C + j \left(B_3 + \left(\frac{jB_1 jB_2}{jB_1 + jB_2} \right) \right)} = -\frac{g_m}{G_C + j \left(B_3 + \left(\frac{B_1 B_2}{B_1 + B_2} \right) \right)}$$

A red circle highlights the term $\left(\frac{B_1 B_2}{B_1 + B_2} \right)$, and a red arrow points from it to the result $= 0$.

$$= 0$$

Generatory LC - ogólnie

$$k_u \beta = 1$$

$$X = \frac{1}{B} \quad (\text{reaktancja} = 1 / \text{susceptancia})$$

$$k_u = -\frac{g_m}{G_C + j \left(B_3 + \left(\frac{jB_1 jB_2}{jB_1 + jB_2} \right) \right)} = -\frac{g_m}{G_C + j \left(B_3 + \left(\frac{B_1 B_2}{B_1 + B_2} \right) \right)}$$

$$X_1 + X_2 + X_3 = 0 = 0$$

Generatory LC - ogólnie

- Ostatecznie:

$$k_u \beta = 1 \text{ zatem } -\frac{g_m}{G_C} \frac{X_2}{X_1 + X_2} = 1$$

po podstawieniu $X_1 + X_2 + X_3 = 0$ czyli $X_1 + X_2 = -X_3$

$$\frac{g_m}{G_C} \frac{X_2}{X_3} = 1$$

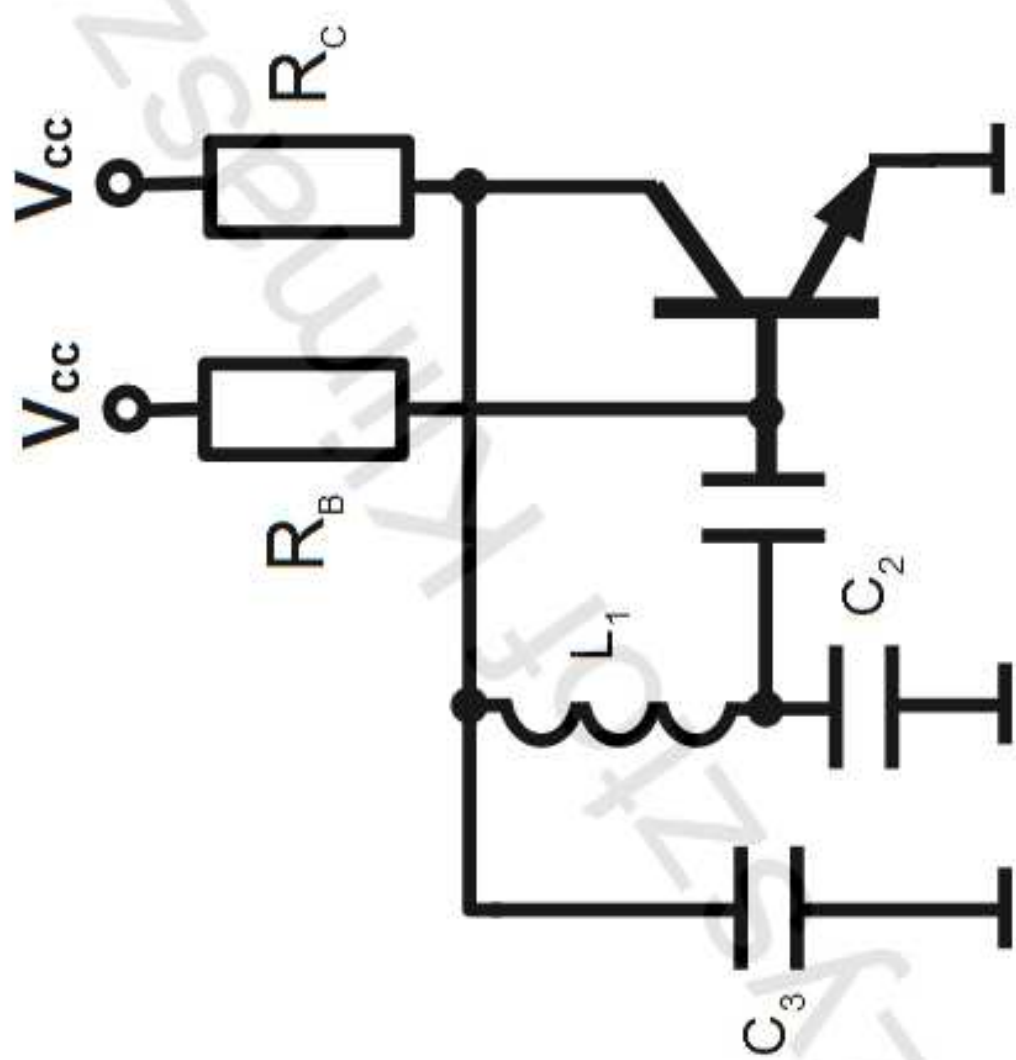
- X_2 i X_3 tego samego znaku (np. kondensatory),
 X_1 innego (cewka)

Generatory LC - ogólnie

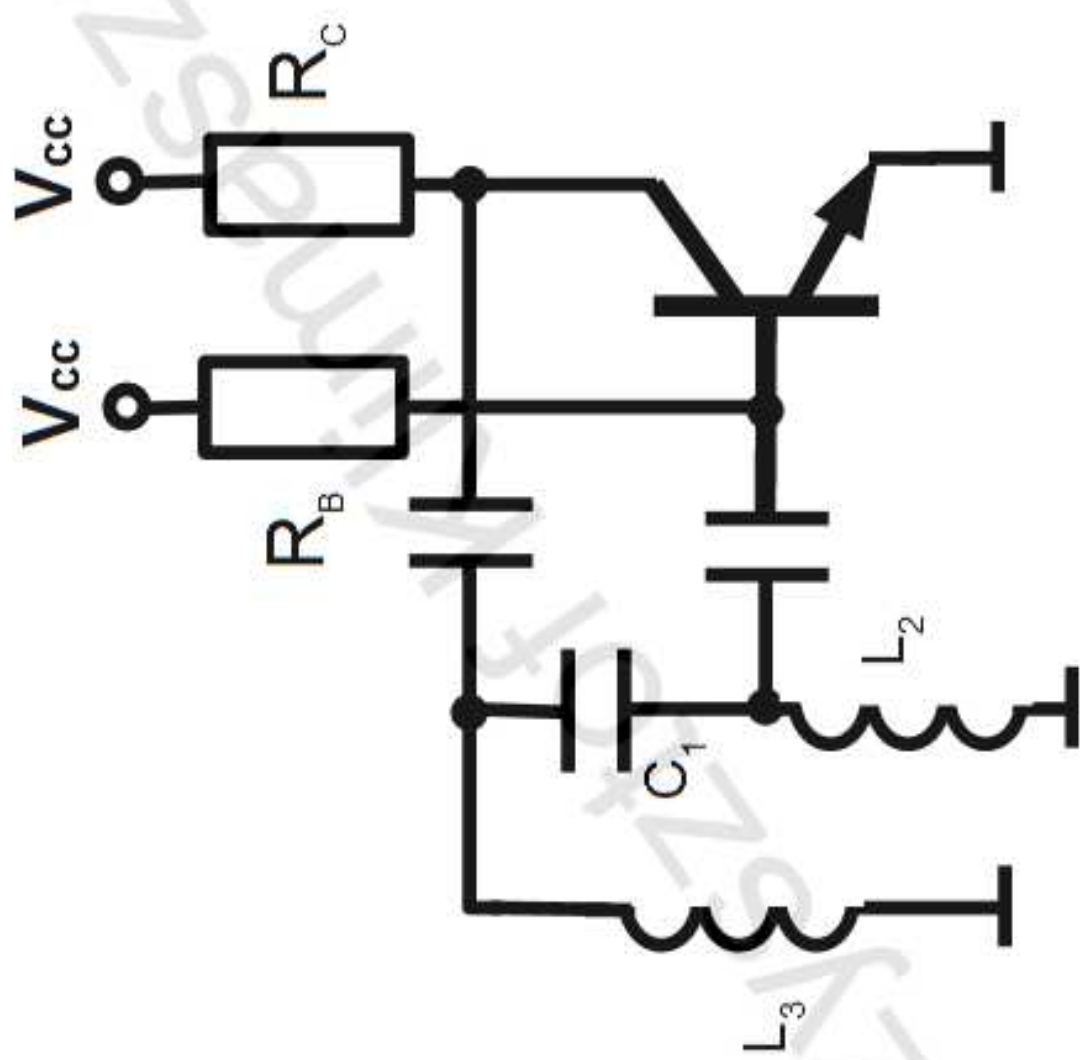
- zwykłe wzmacnienie g_m : R_C jest duże, wtedy:

- $X_2 \ll X_3$
- $X_1 \approx -X_3$

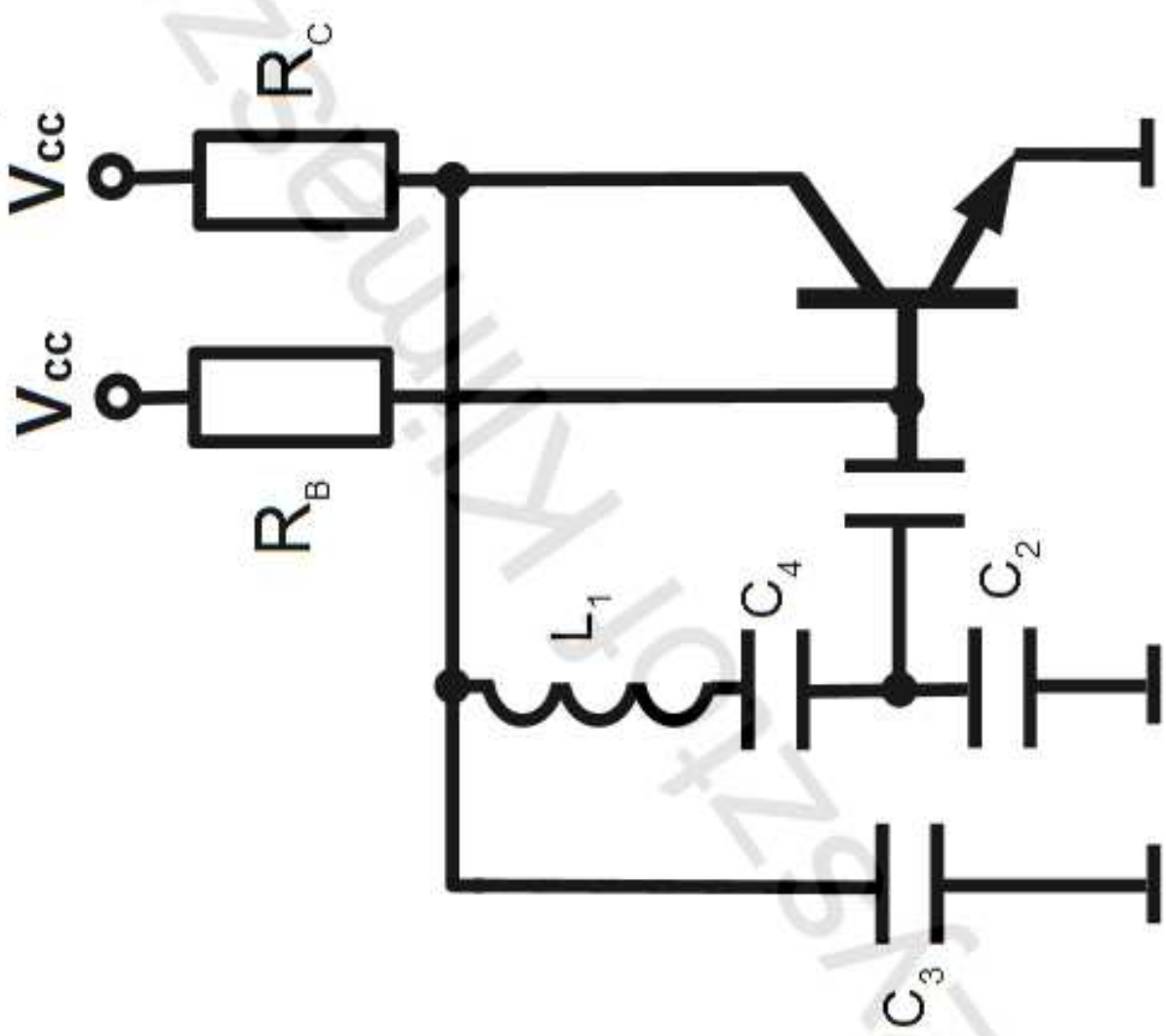
Generator Colpitts



Generator Hartleya

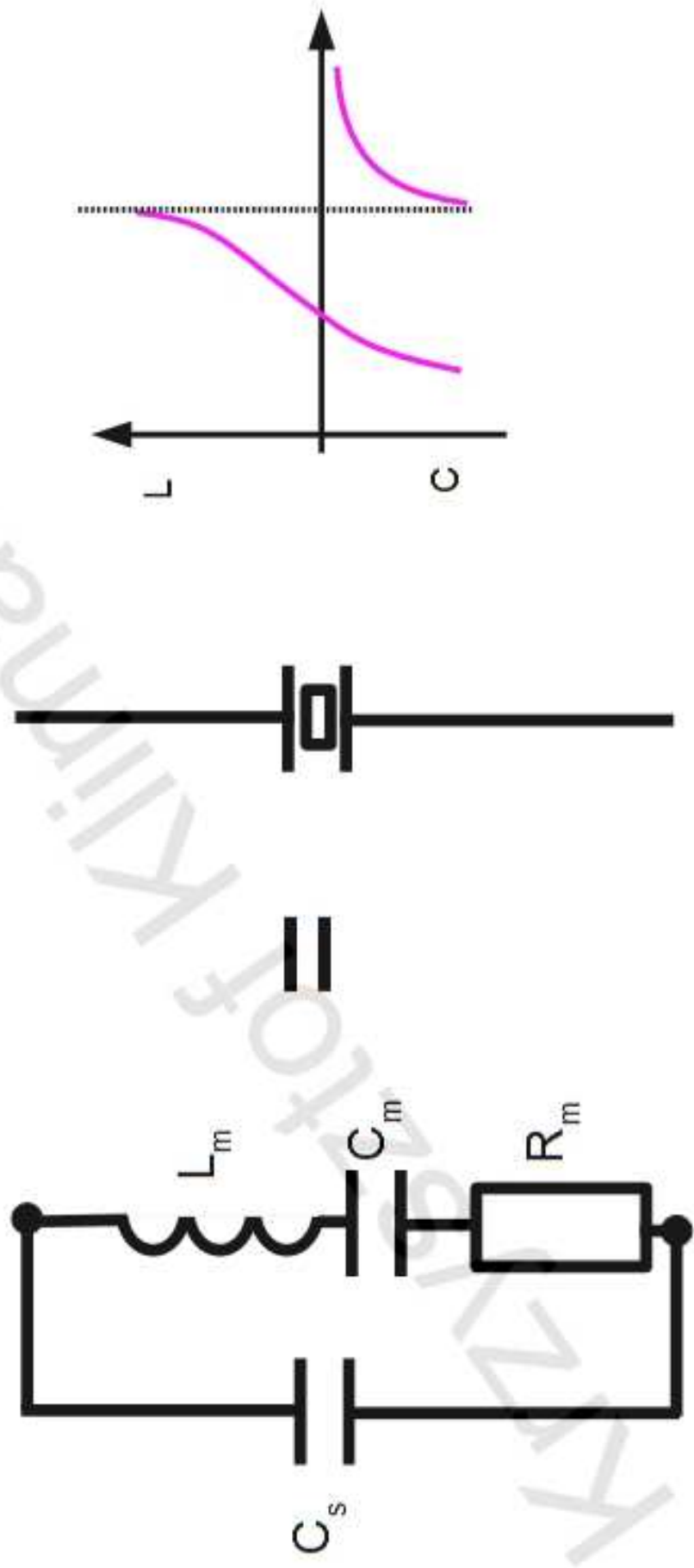


Generator Clappa



Generatory kwarcowe

- Mała dobroć obwodów LC
- Zamiast obwodu LC można użyć kwarca



Generatory

Przykładowe wartości:

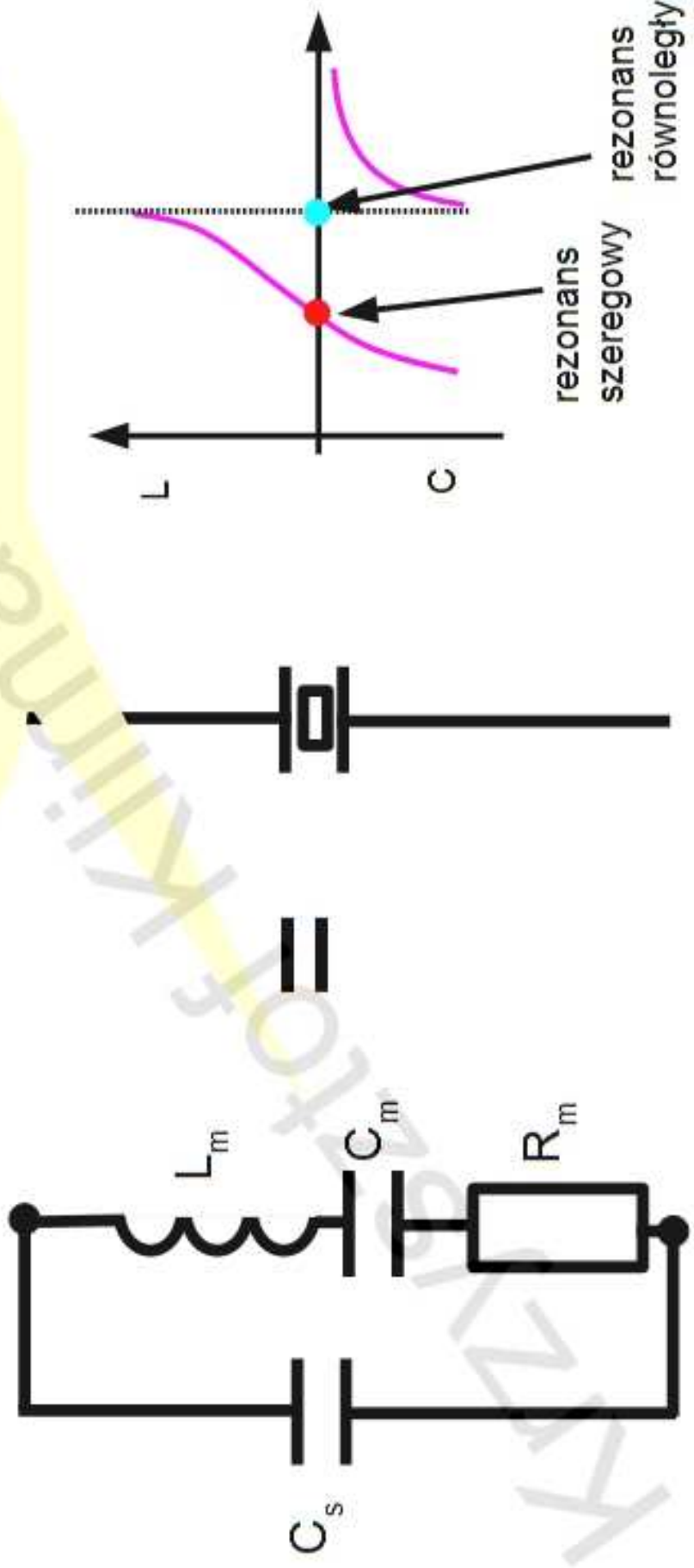
$$L_m = 2,49 \text{ mH}$$

$$C_m = 25,4 \text{ fF}$$

$$R_m = 5,5 \Omega$$

$$C_s = 5,4 \text{ pF}$$

- Mała dobroć obwodów
- Zamiast obwodu LC m



Generatory

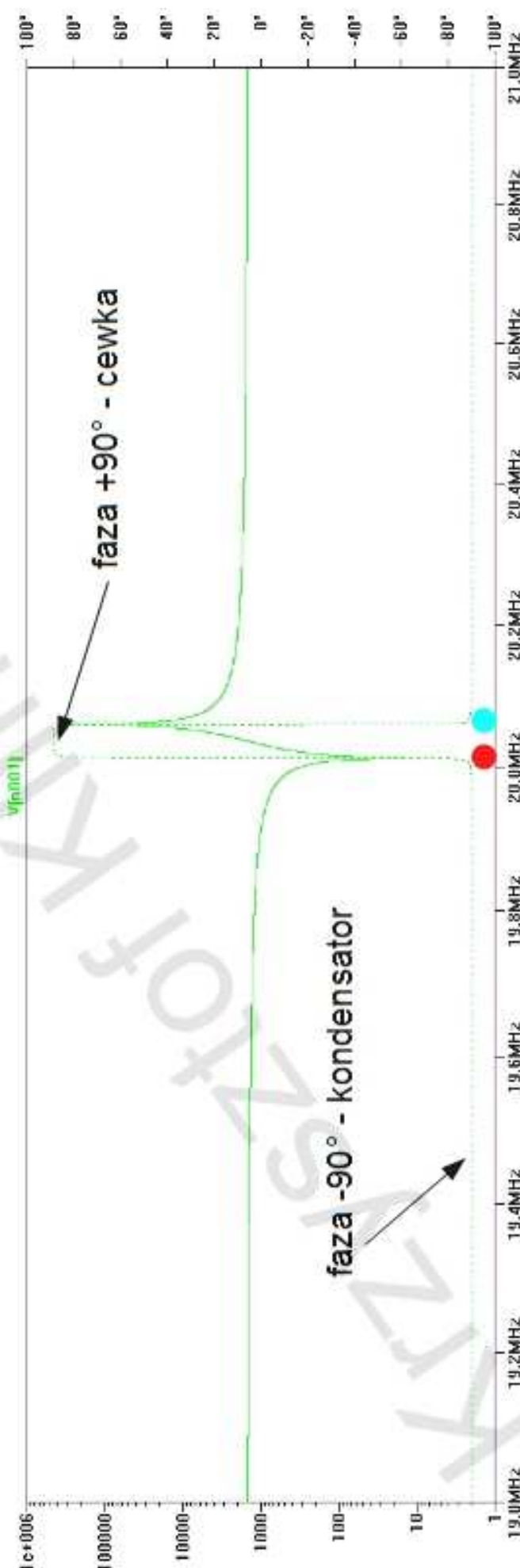
Przykładowe wartości:

$$L_m = 2,49 \text{ mH}$$

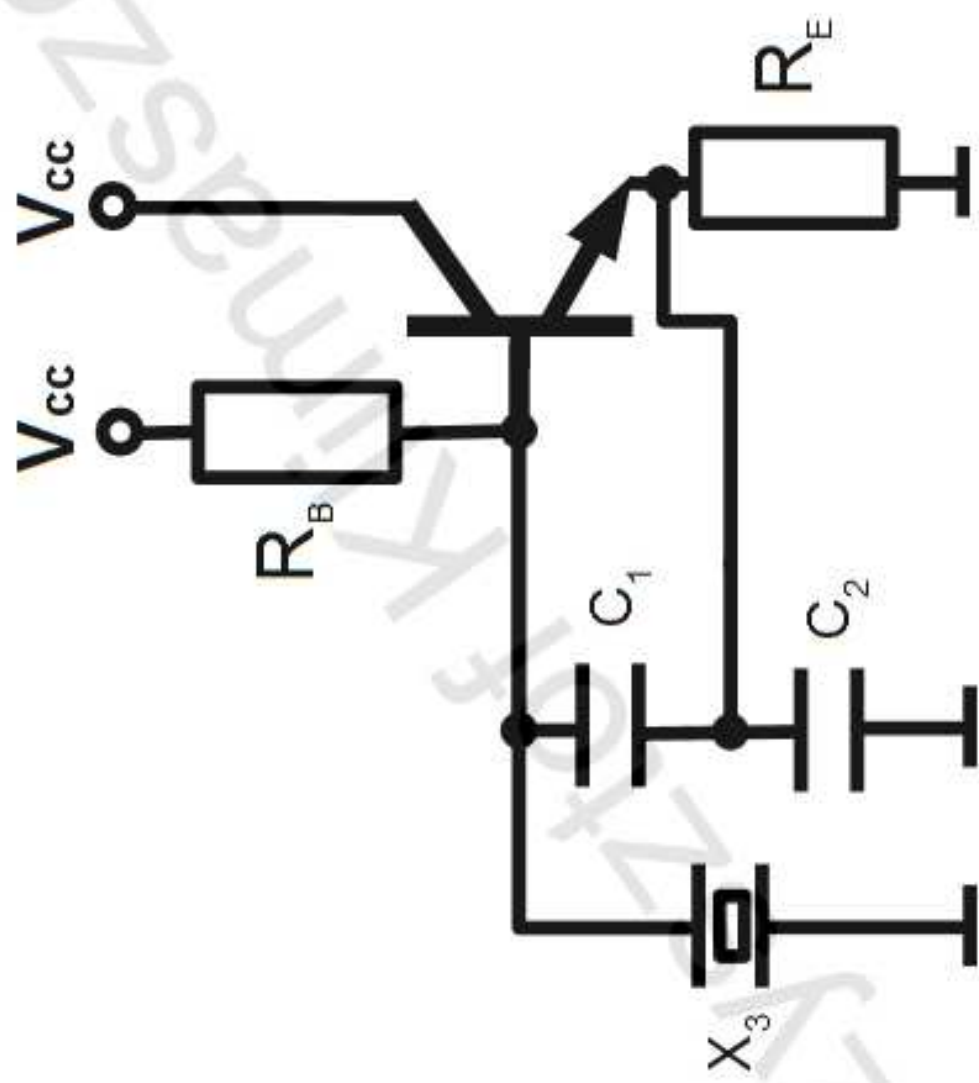
$$C_m = 25,4 \text{ fF}$$

$$R_m = 5,5 \Omega$$

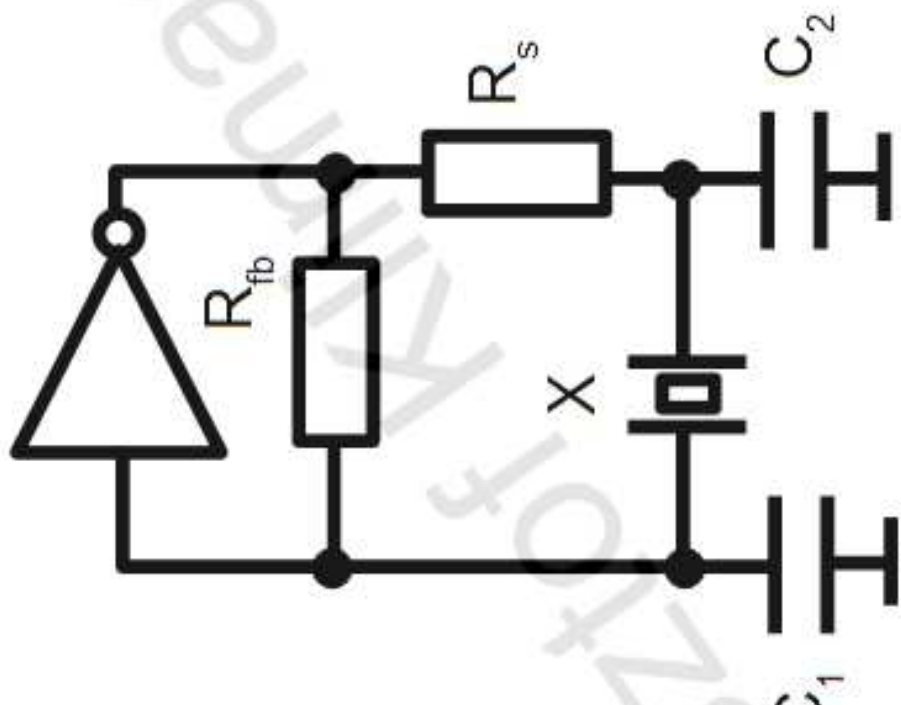
$$C_s = 5,4 \text{ pF}$$



Generator kwarcowy (przykład)



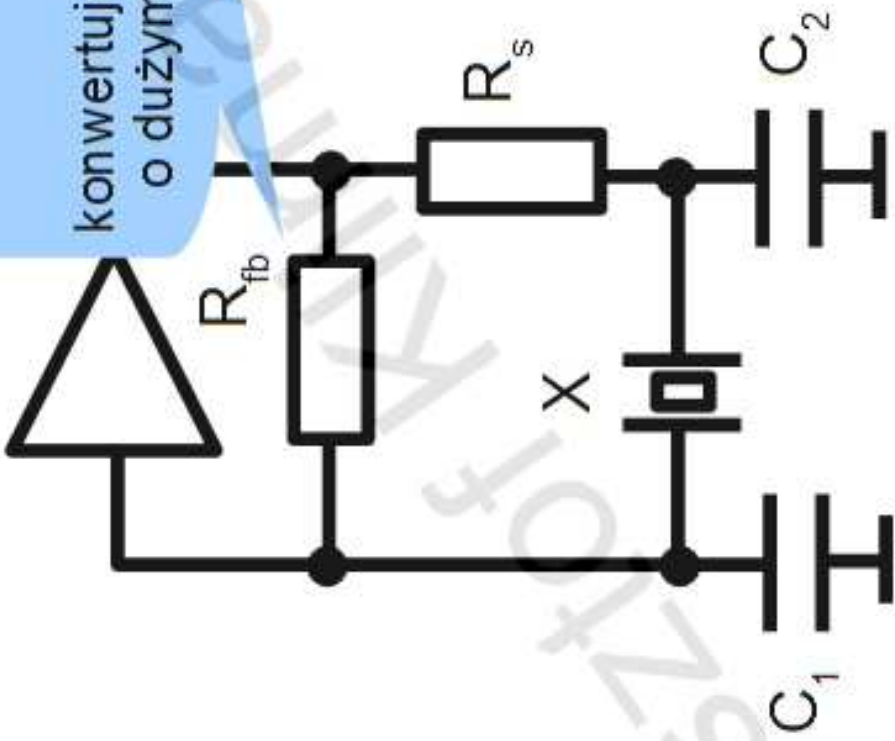
Generator na negatorze



Generator na negatorze

Rzęd 1 MΩ

konwertuje negator we wzmacniacz
o dużym ujemnym wzmacnieniu



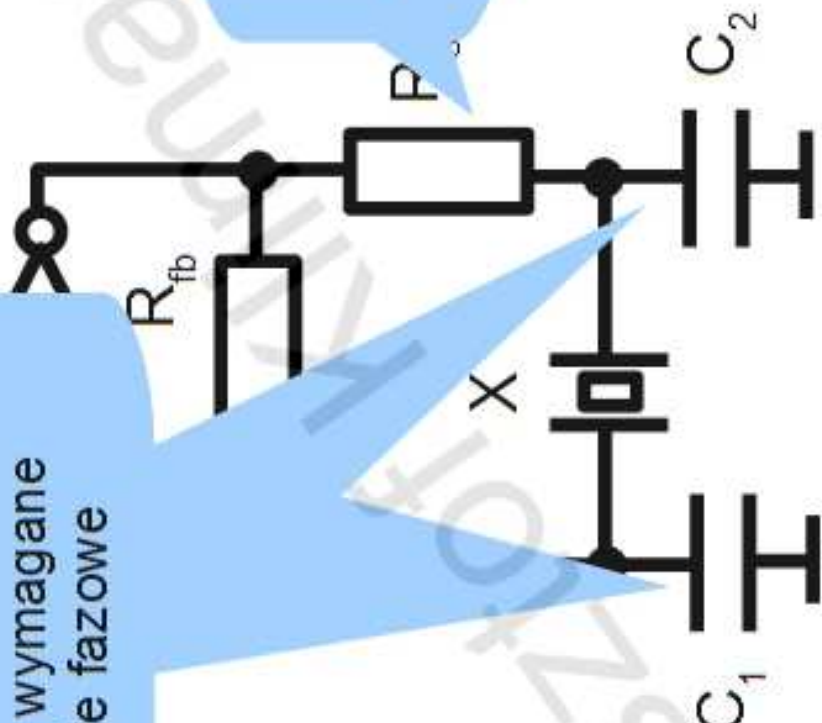
Generator na negatorze

Rz \acute{e}

wprowadzaj \acute{a} wymagane
przesunięcie fazowe

Rz $\acute{e}\Omega$

wprowadza wymagane
przesunięcie fazowe



rodzaje oscylatorów

- OCXO – oven controlled crystal oscillator
- VCO – voltage controlled oscillator
- VXO – variable crystal oscillator
- VFO – variable frequency oscillator
- TCXO – temperature compensated crystal oscillator
- ...

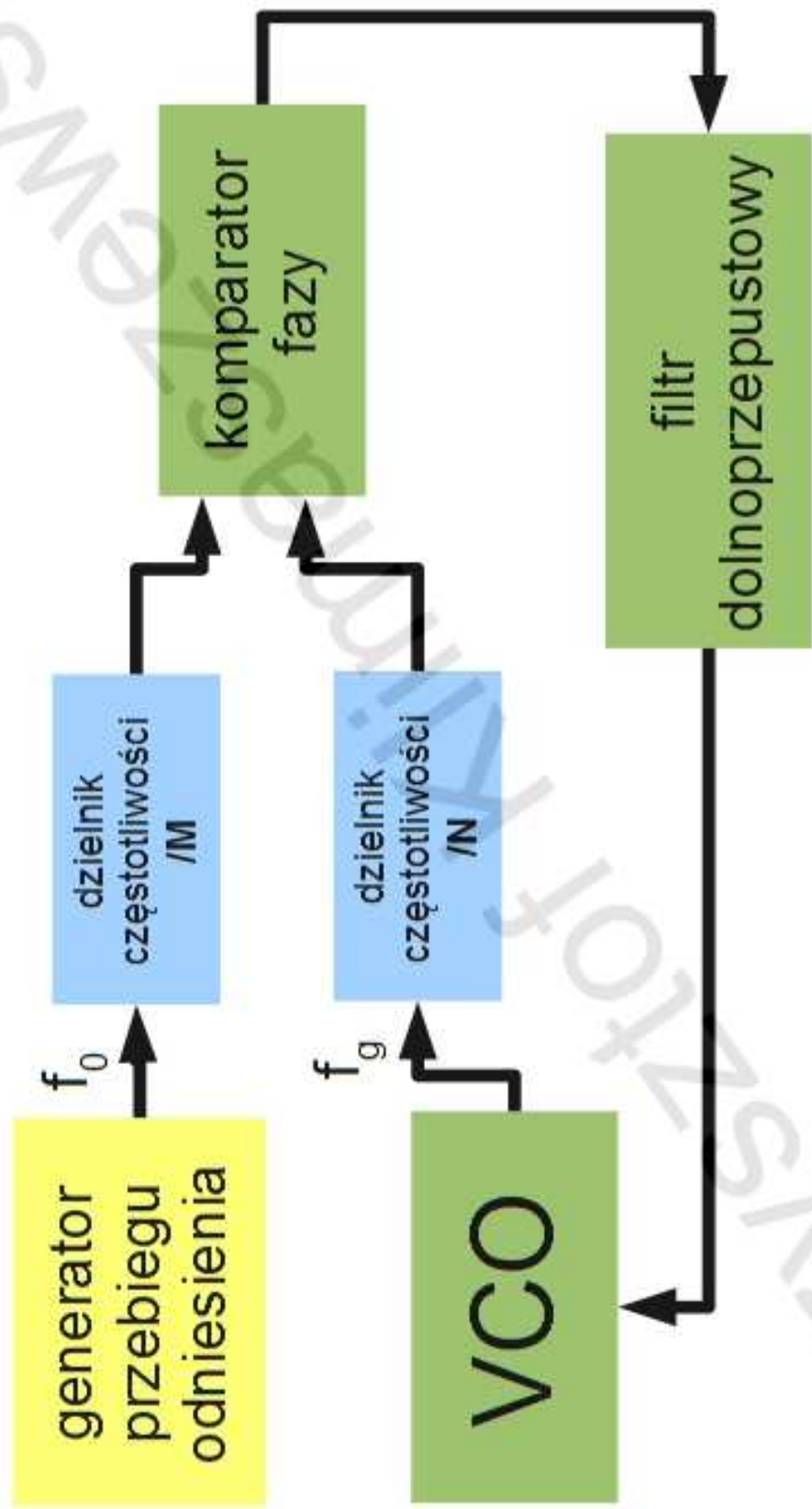
Analogowe Układy Elektroniczne

Krzysztof Klimaszewski

kklima@et.put.poznan.pl

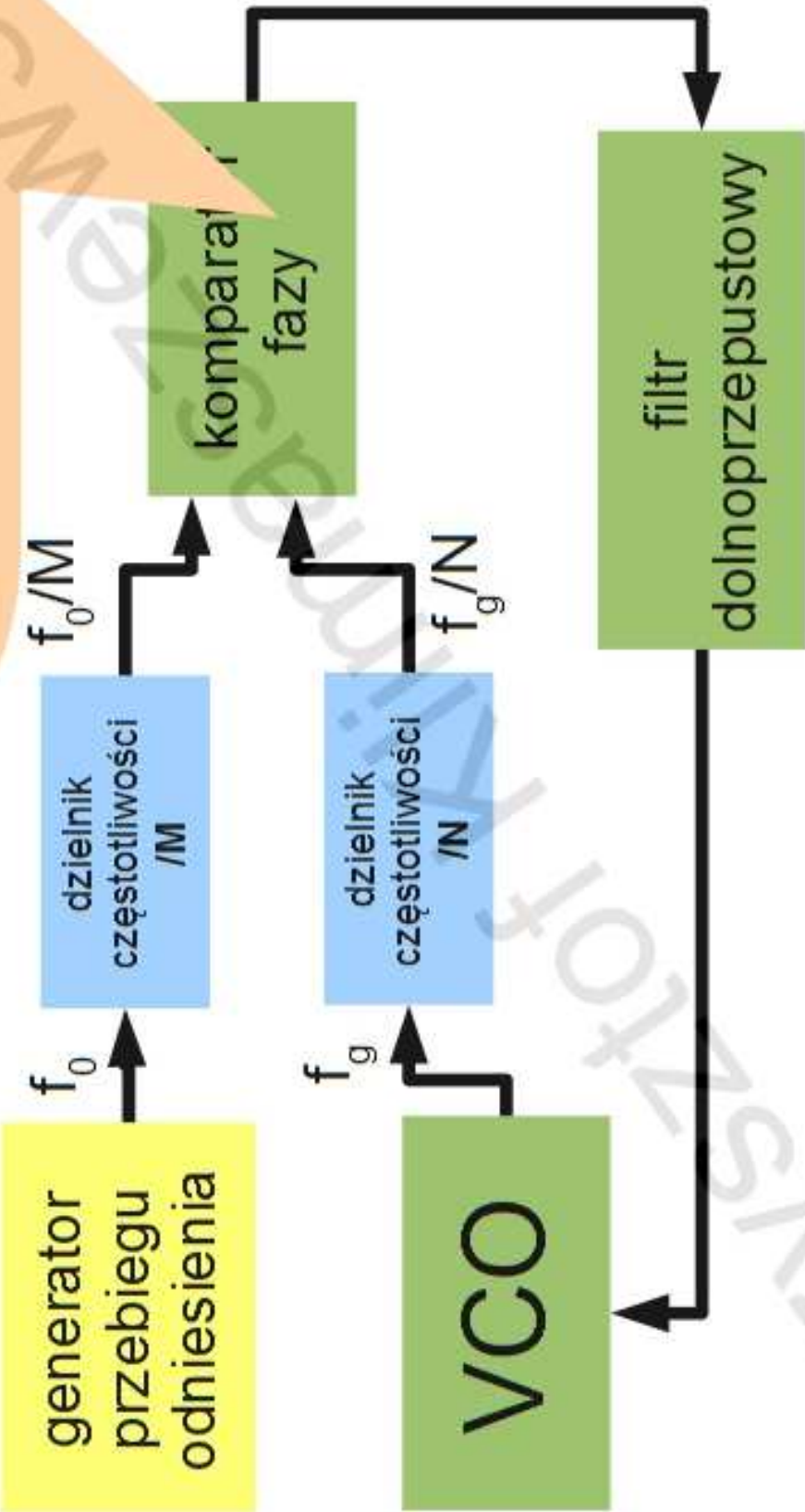
Polanka 3, pokój 118

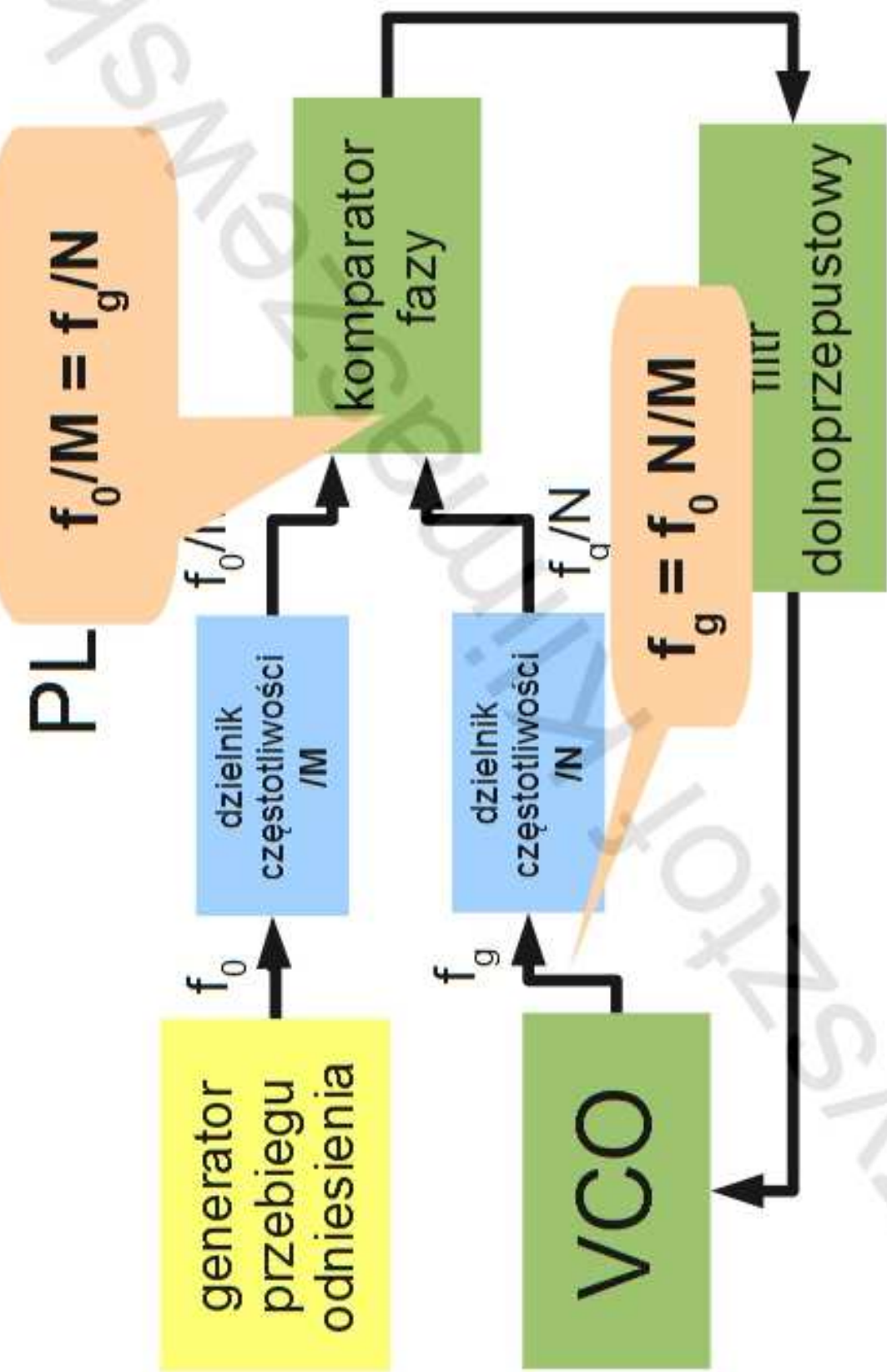
PLL



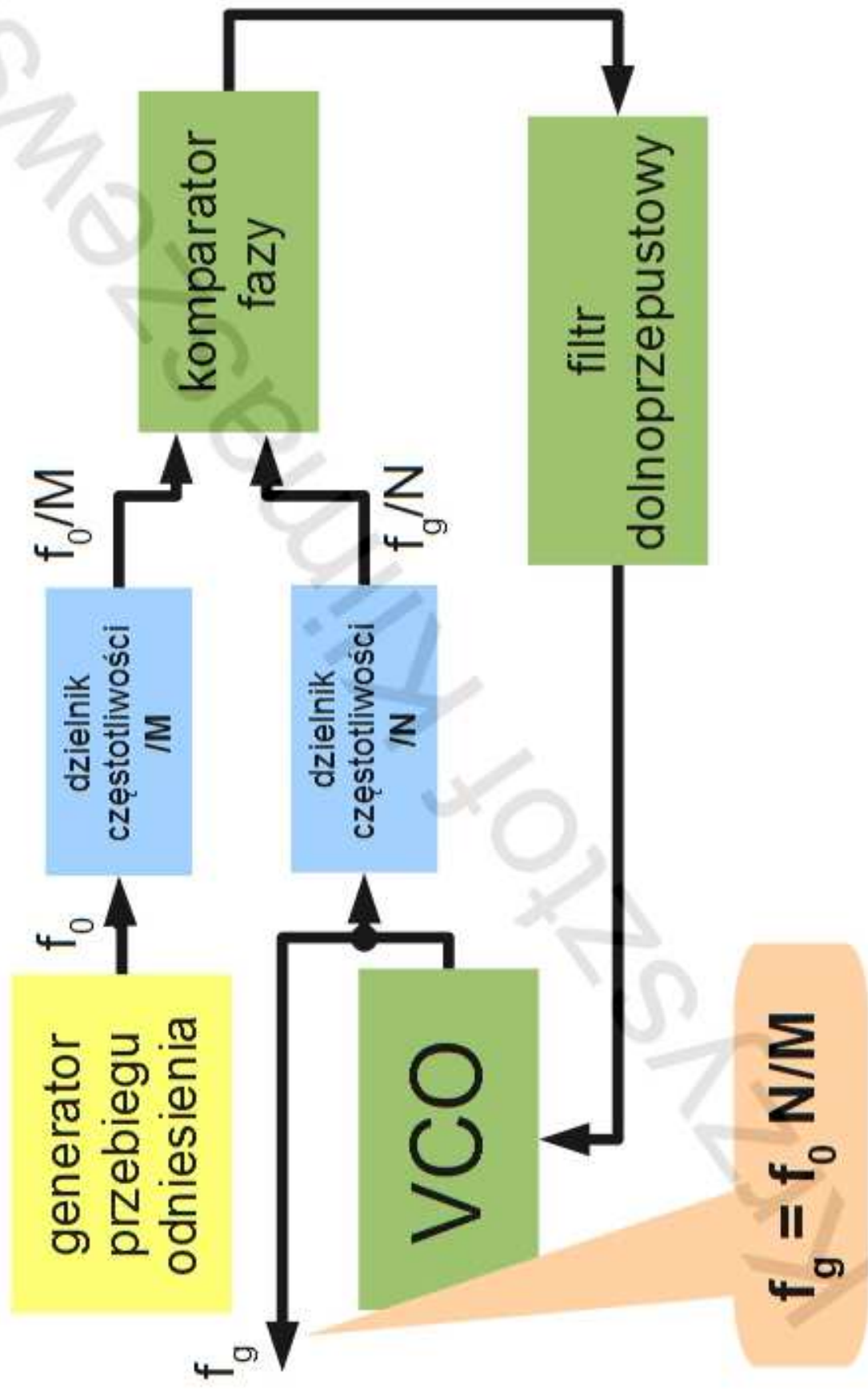
PL

petla dająca do uzyskania stałego przesunięcia fazowego między sygnałami wejściowymi

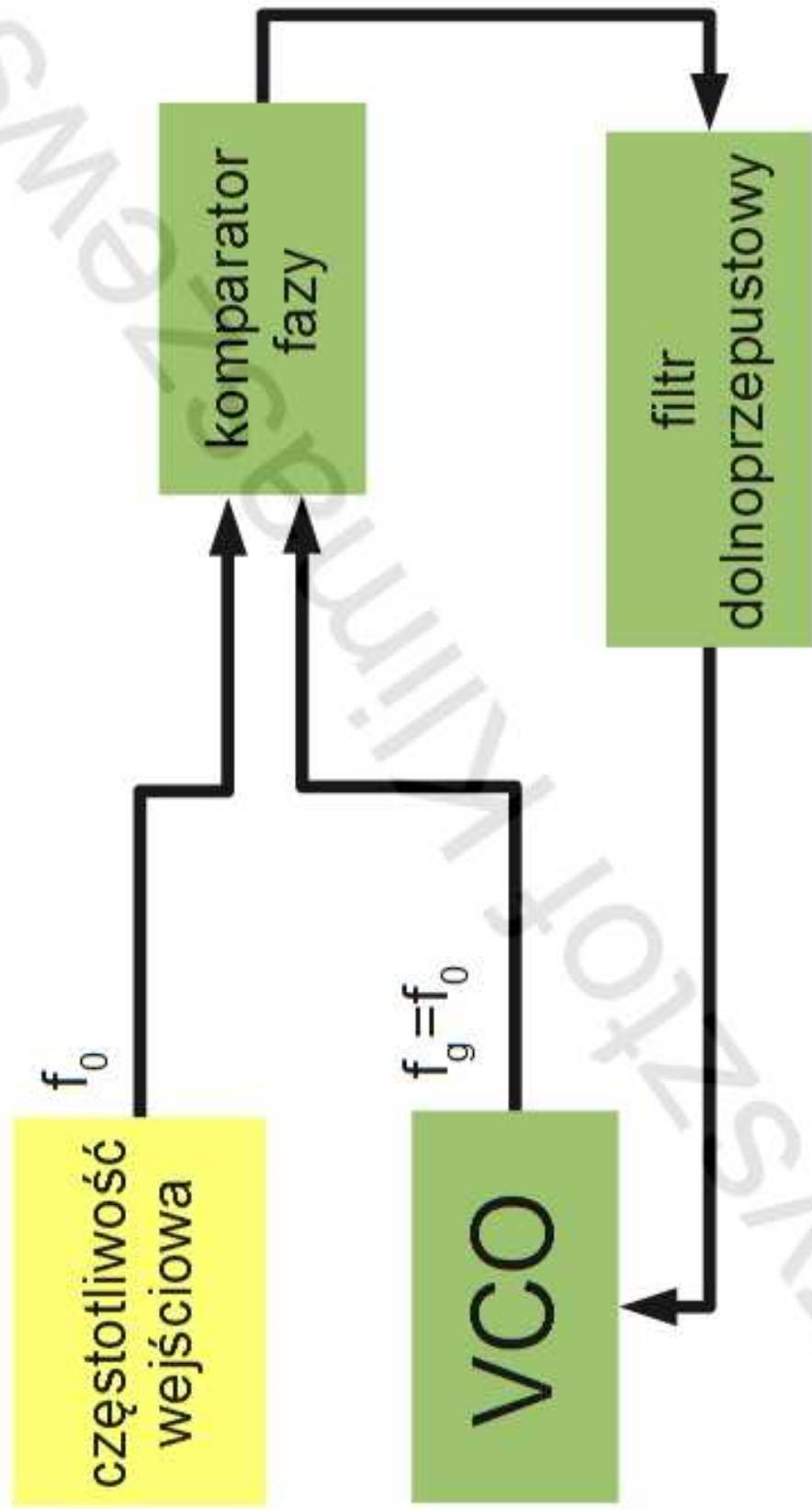




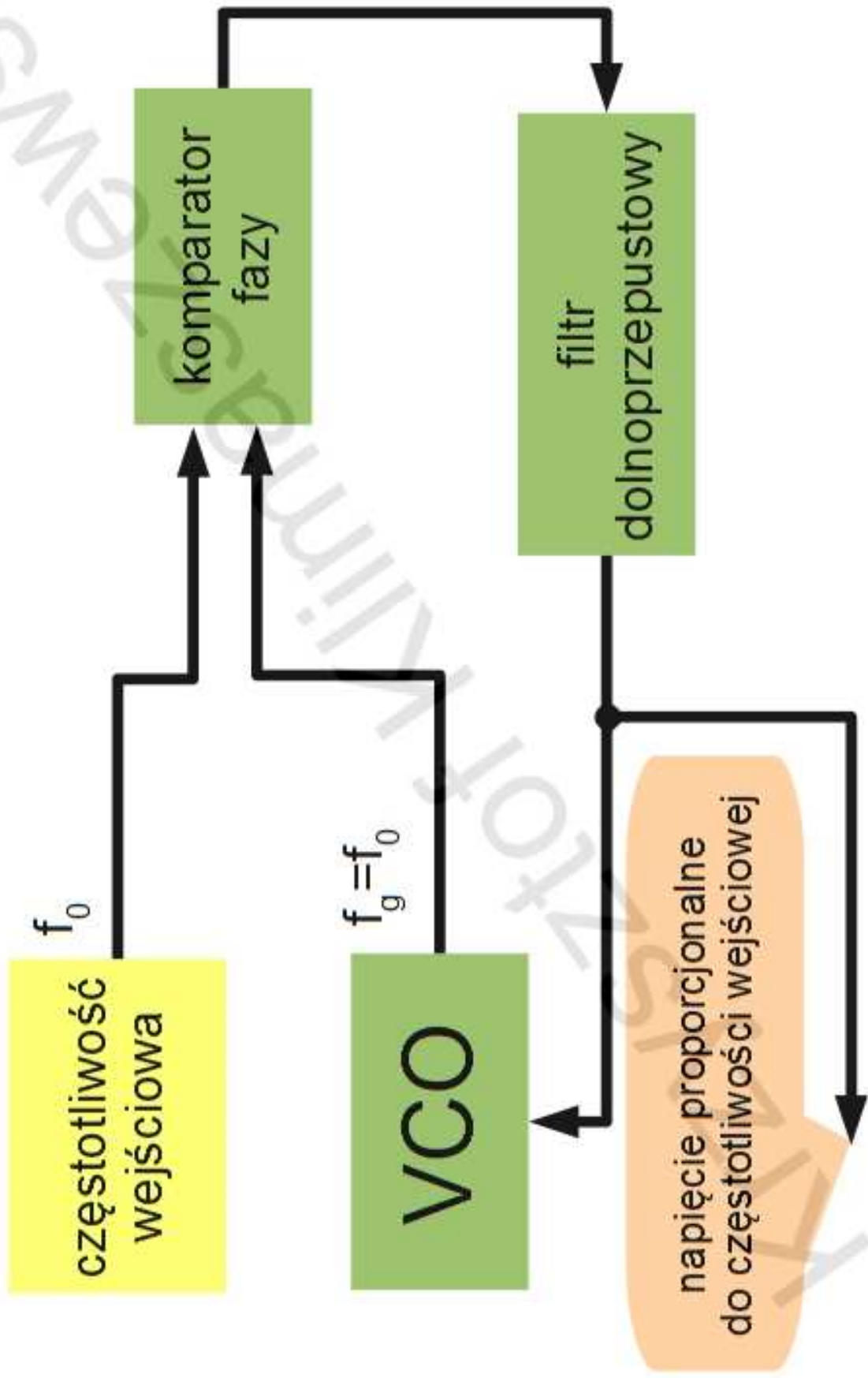
Synteza częstotliwości



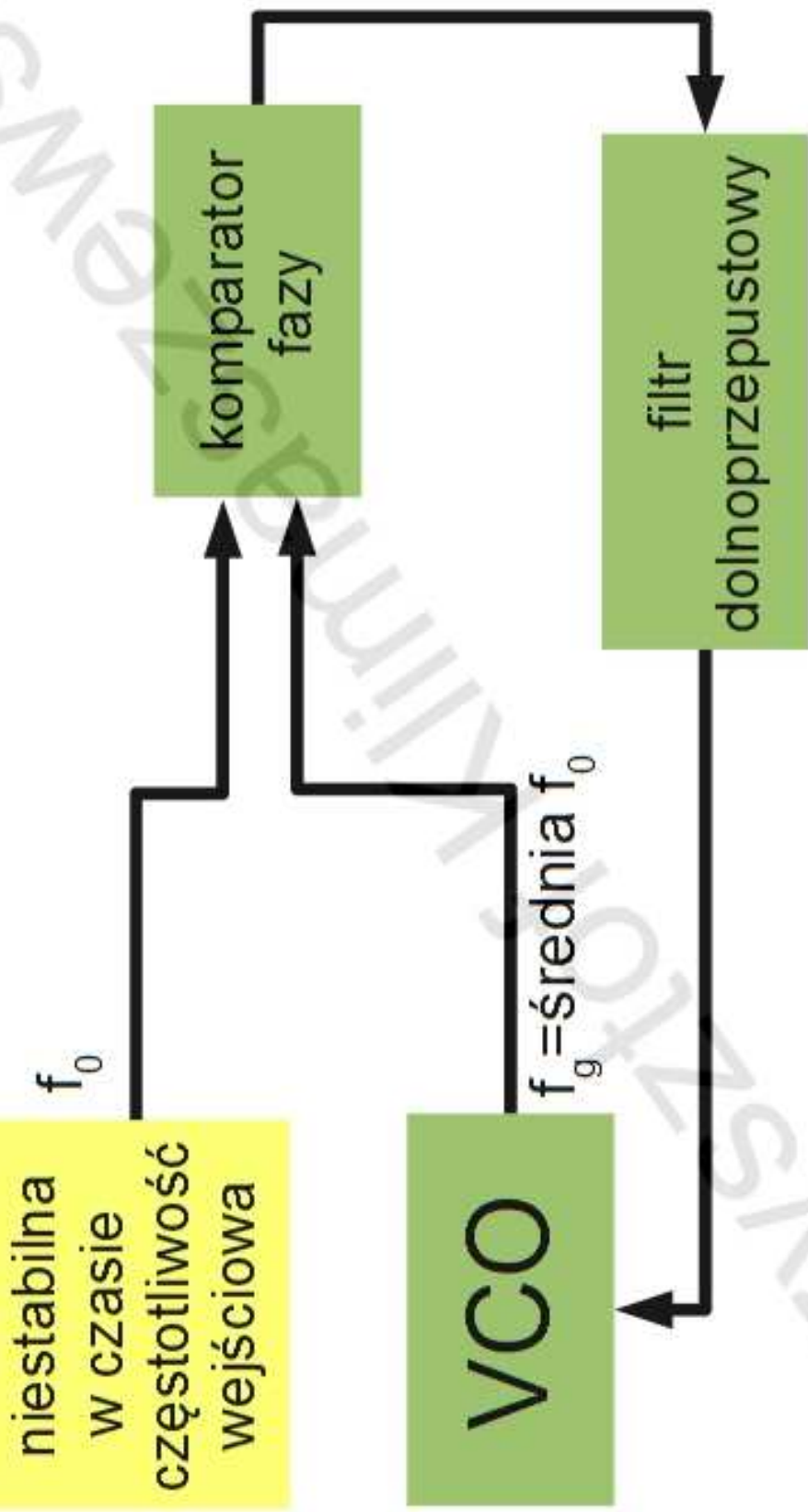
Przetwornik częstotliwości-napięcie



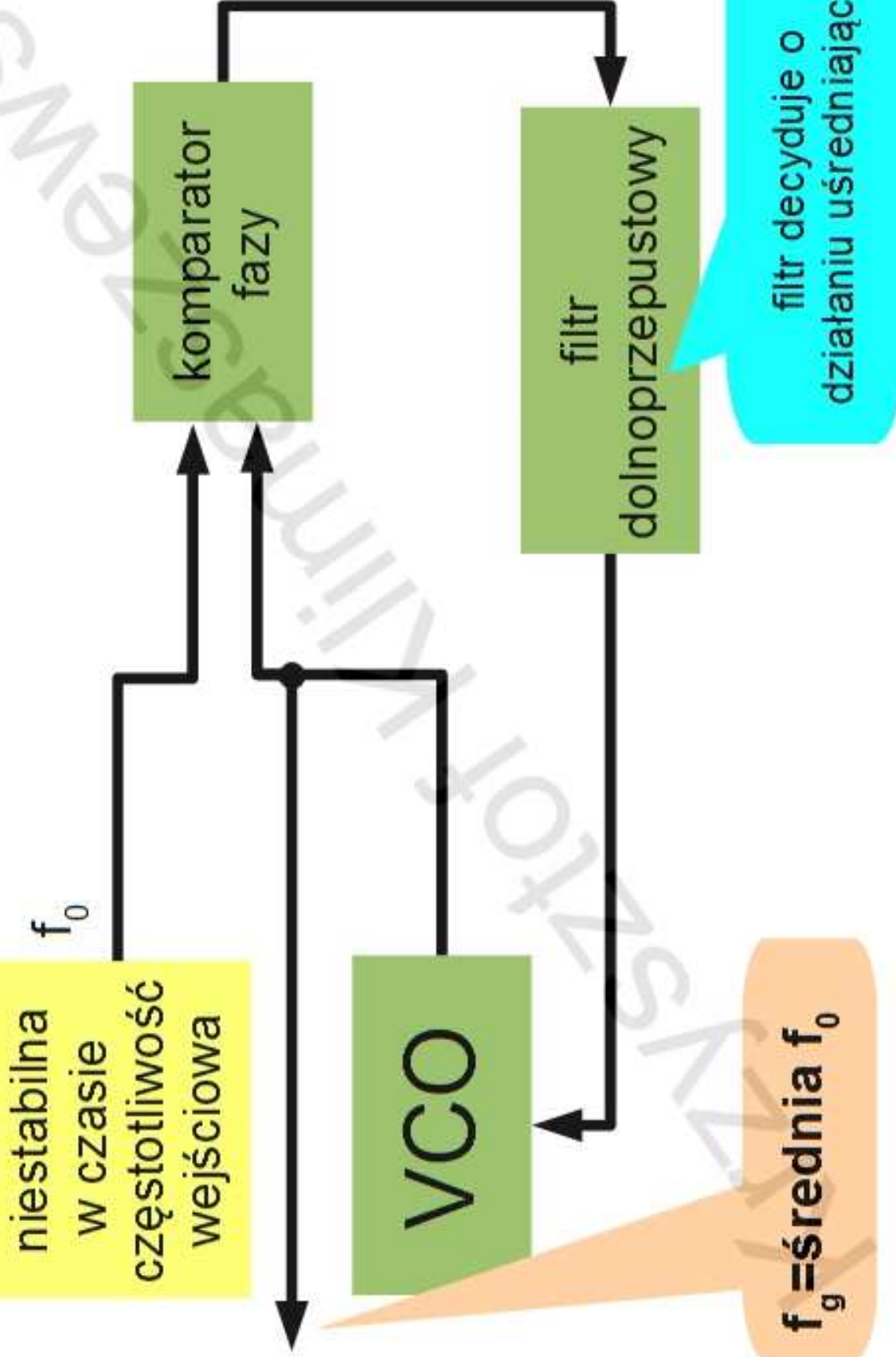
Przetwornik częstotliwości-napięcie



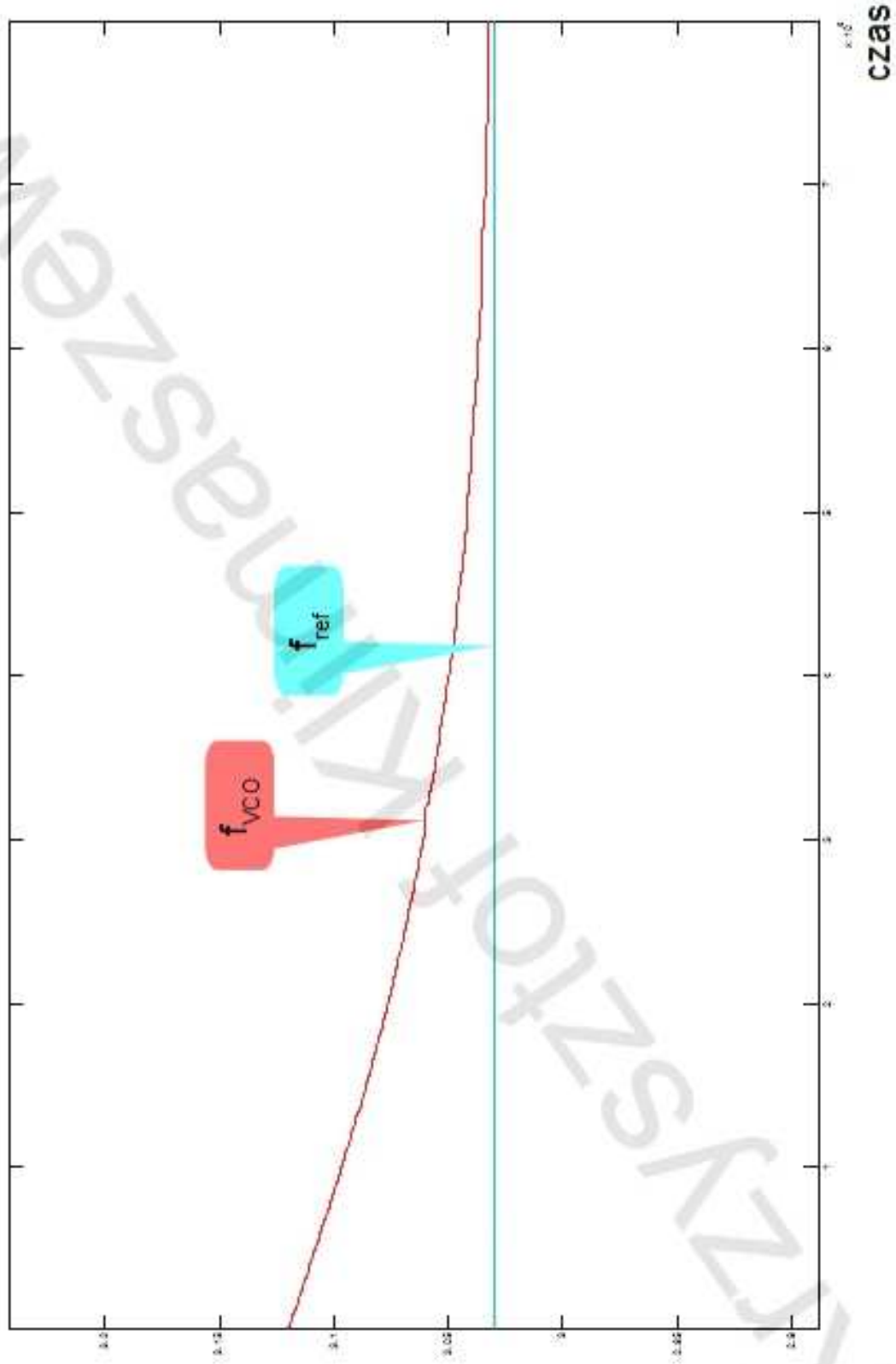
Stabilizacja częstotliwości



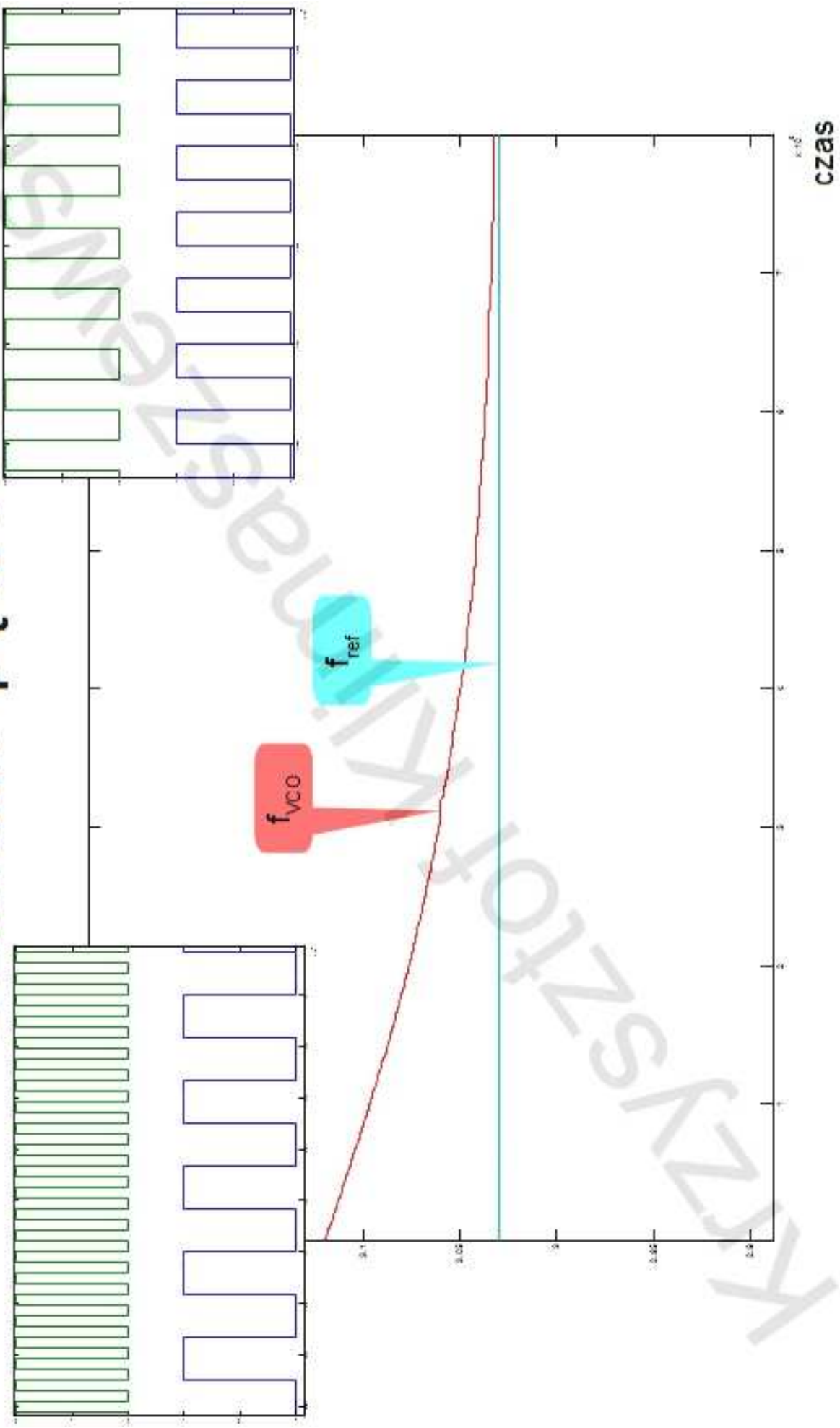
Stabilizacja częstotliwości



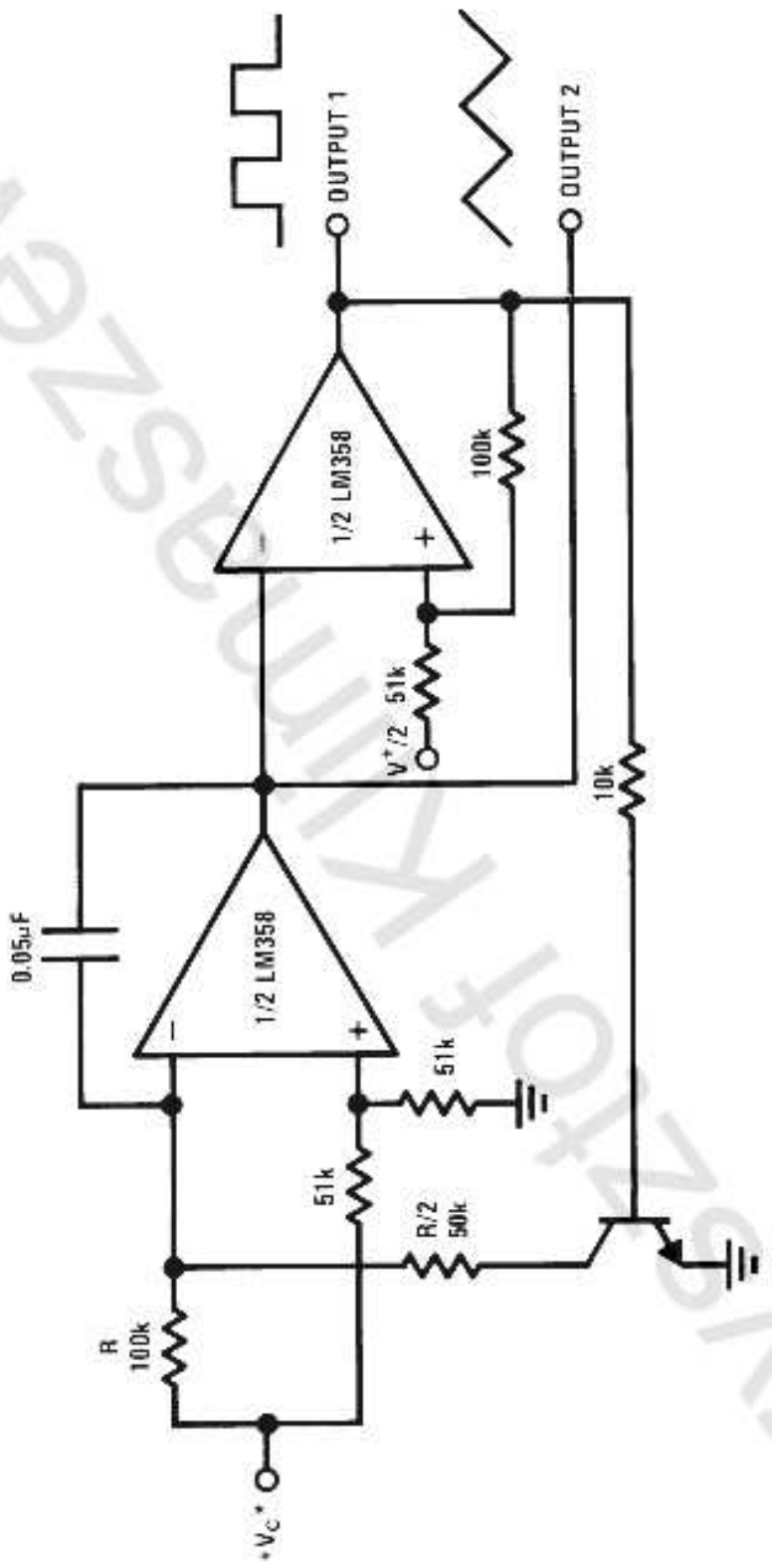
Działanie pętli PLL



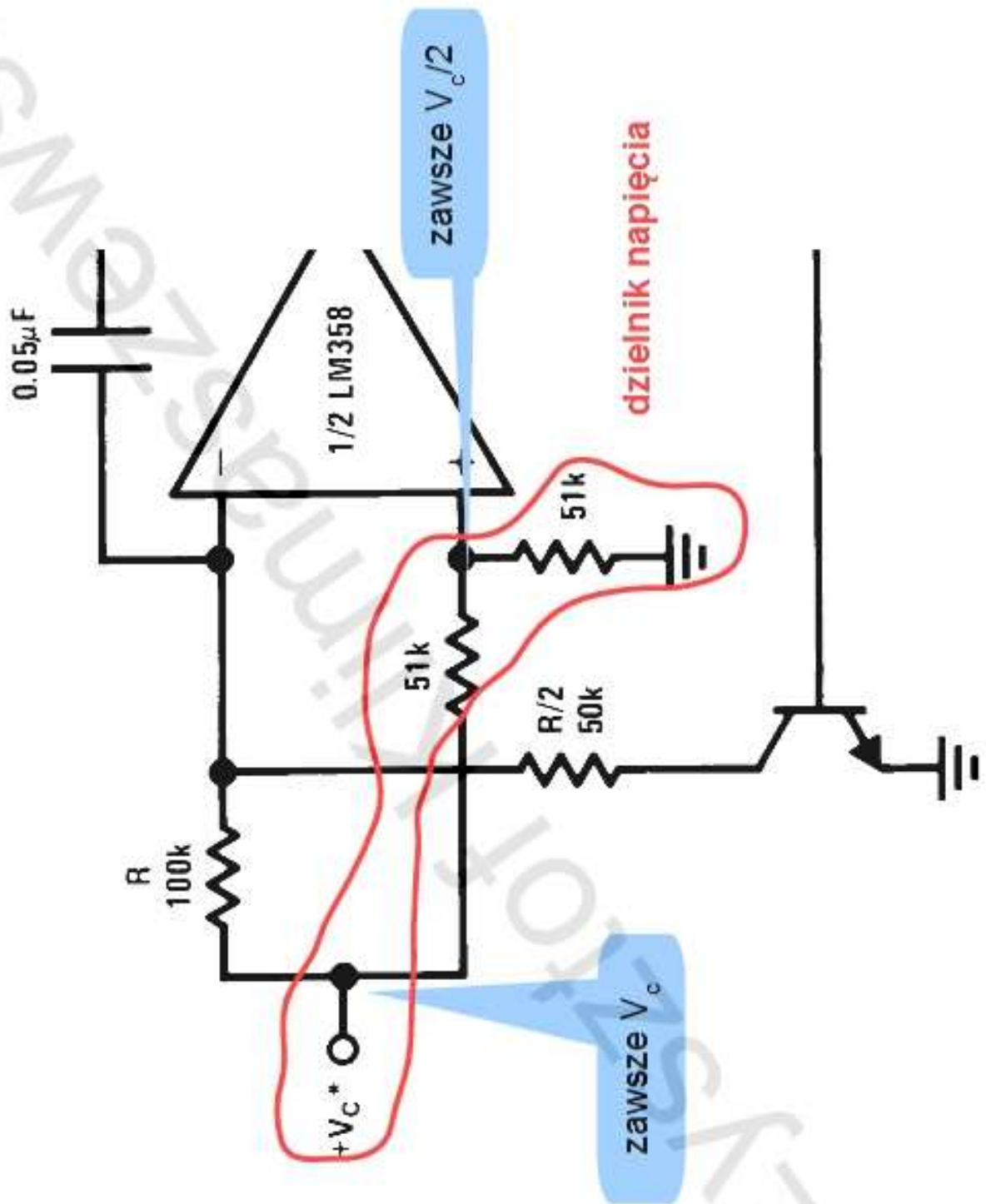
Działanie pętli PLL



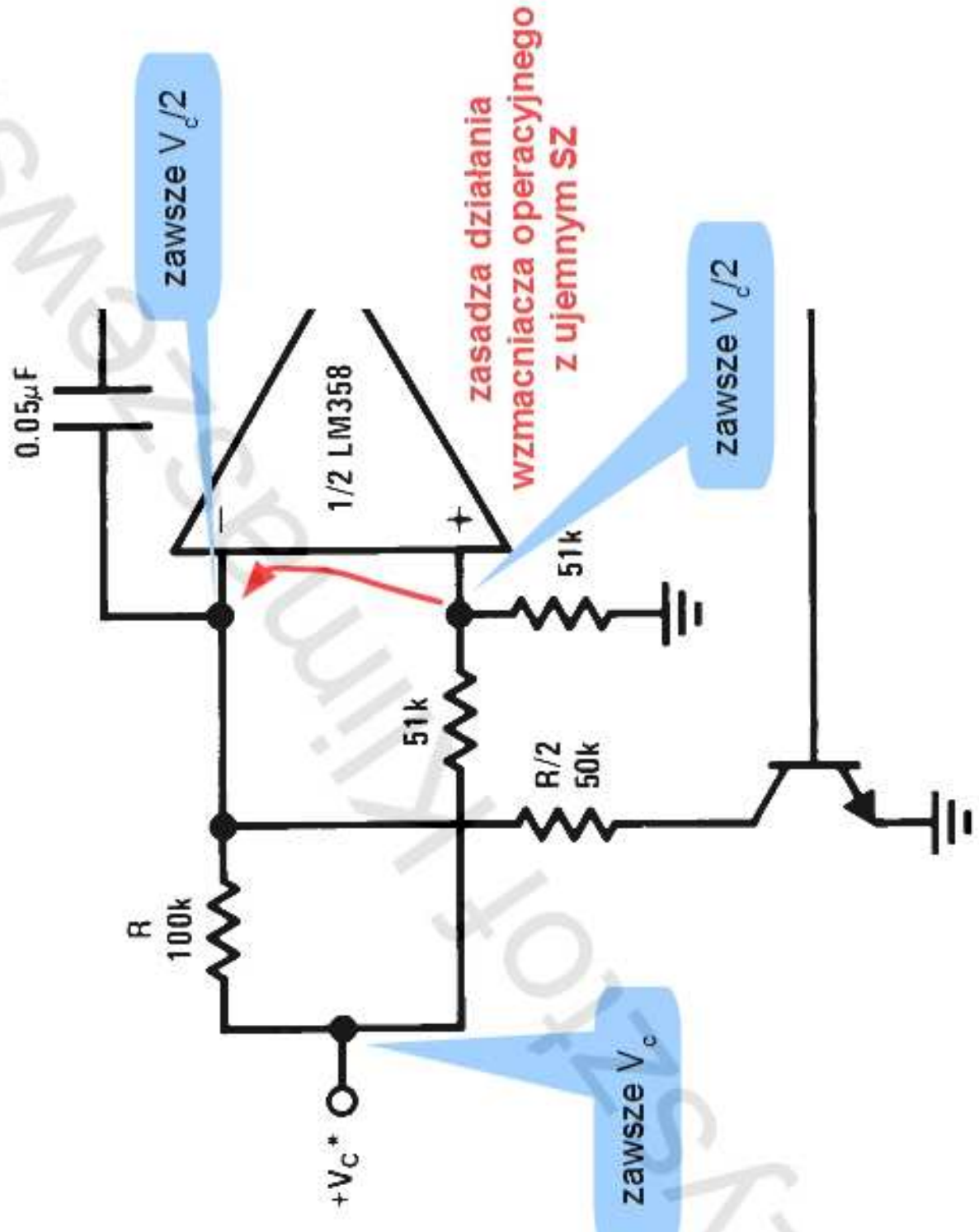
VCO - przykład



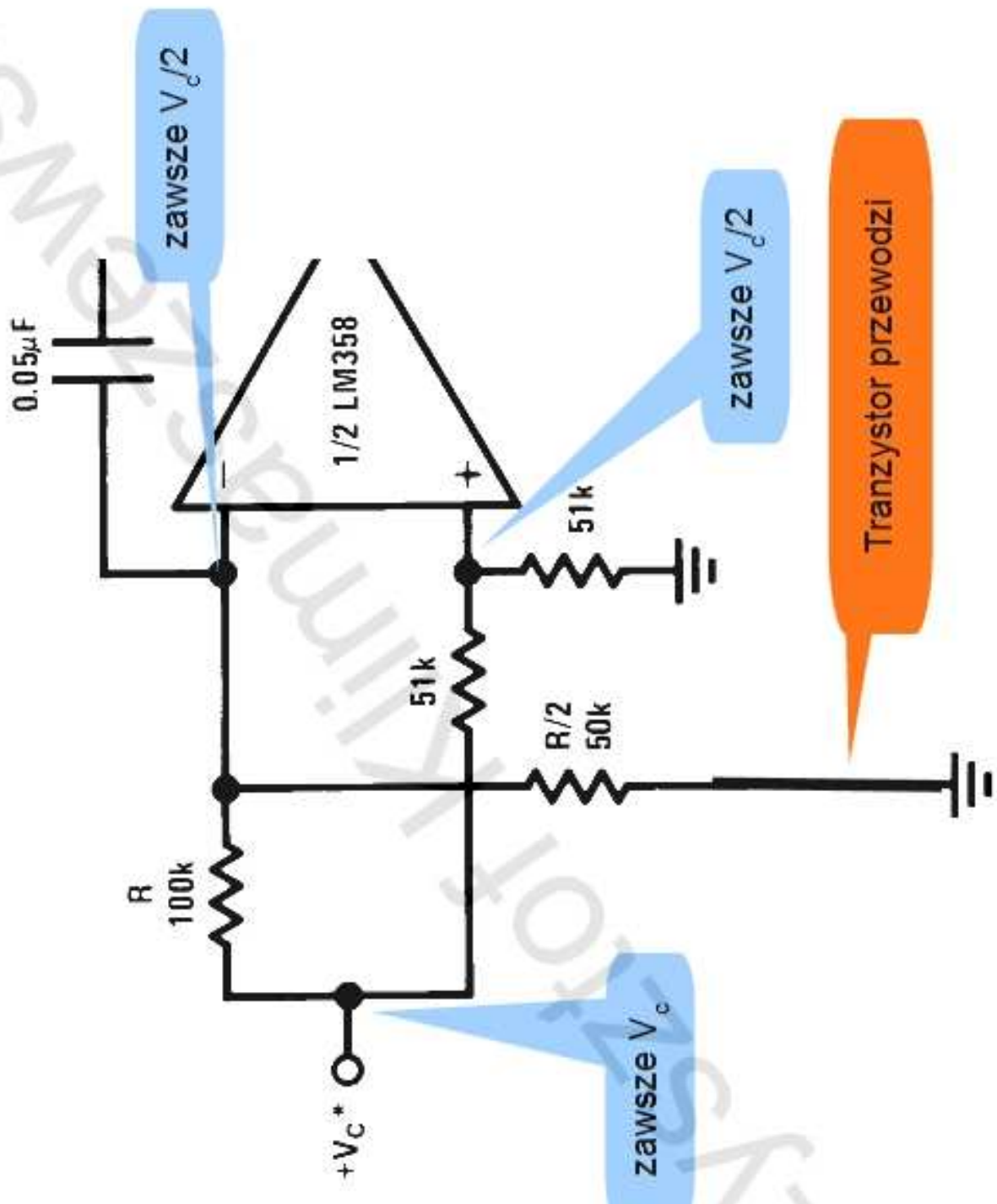
VCO - przykład



VCO - przykład



VCO - przykład



VCO - przykład

$$I_1 = \frac{V_C}{R} = \frac{V_C}{2R}$$

$0.05\mu F$

zawsze $V_c/2$

1/2 LM358

$51k$

zawsze $V_c/2$

Tranzystor przewodzi

I_2

zawsze V_c

$$I_2 = \frac{V_C}{R} = \frac{V_C}{2R}$$

R

$100k$

$51k$

$R/2$

$50k$

VCO - przykład

$$I_1 = \frac{V_C}{R} - \frac{V_C}{2} = \frac{1}{2} \frac{V_C}{R}$$



zawsze $V_c/2$

$$I_3 = I_2 - I_1 = \frac{1}{2} \frac{V_C}{R}$$

+ V_C *

I_2

I_1

I_3

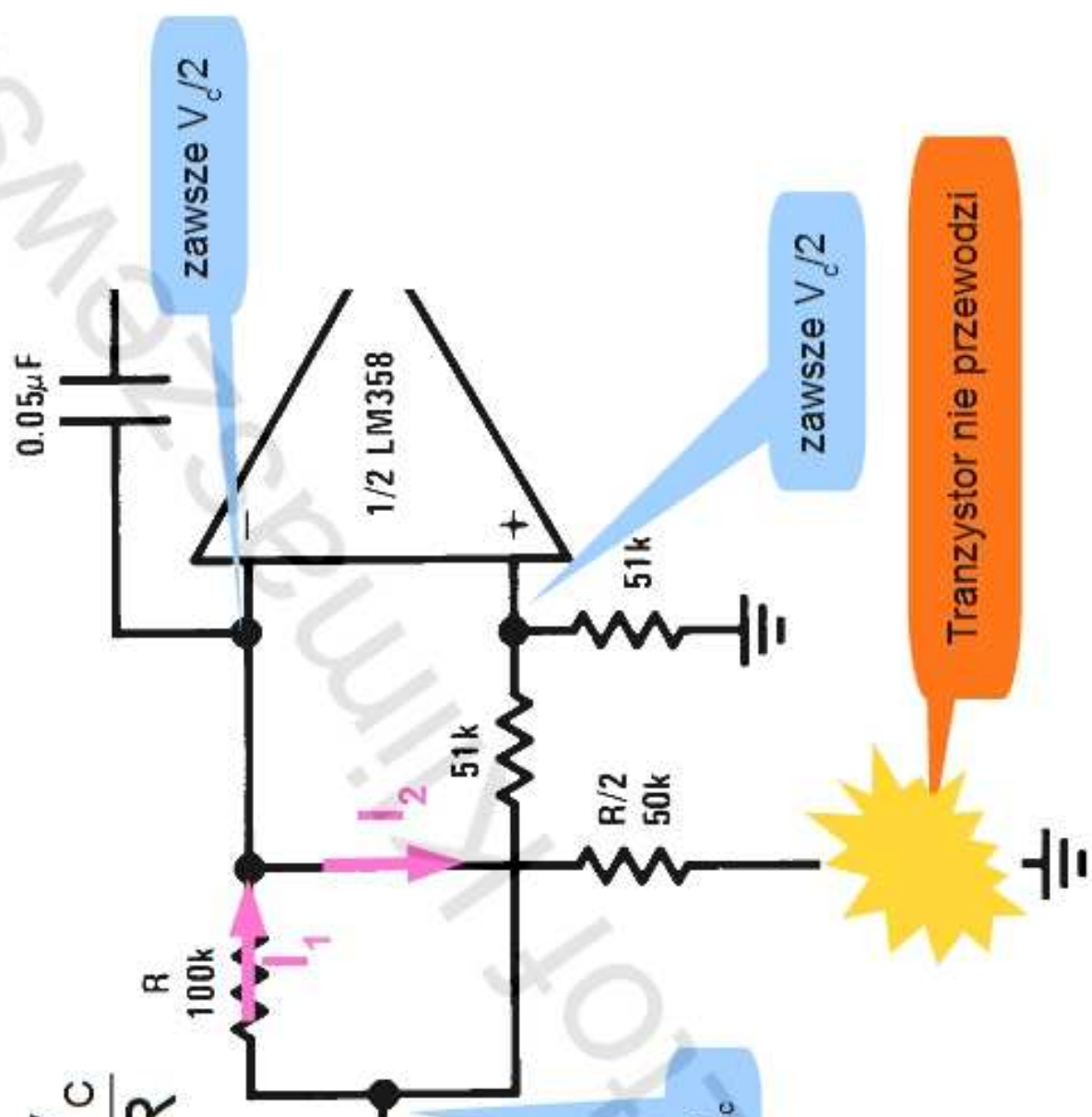
zawsze $V_c/2$

$$I_2 = \frac{V_C}{R} - \frac{V_C}{2} = \frac{V_C}{2}$$

Tranzystor przewodzi

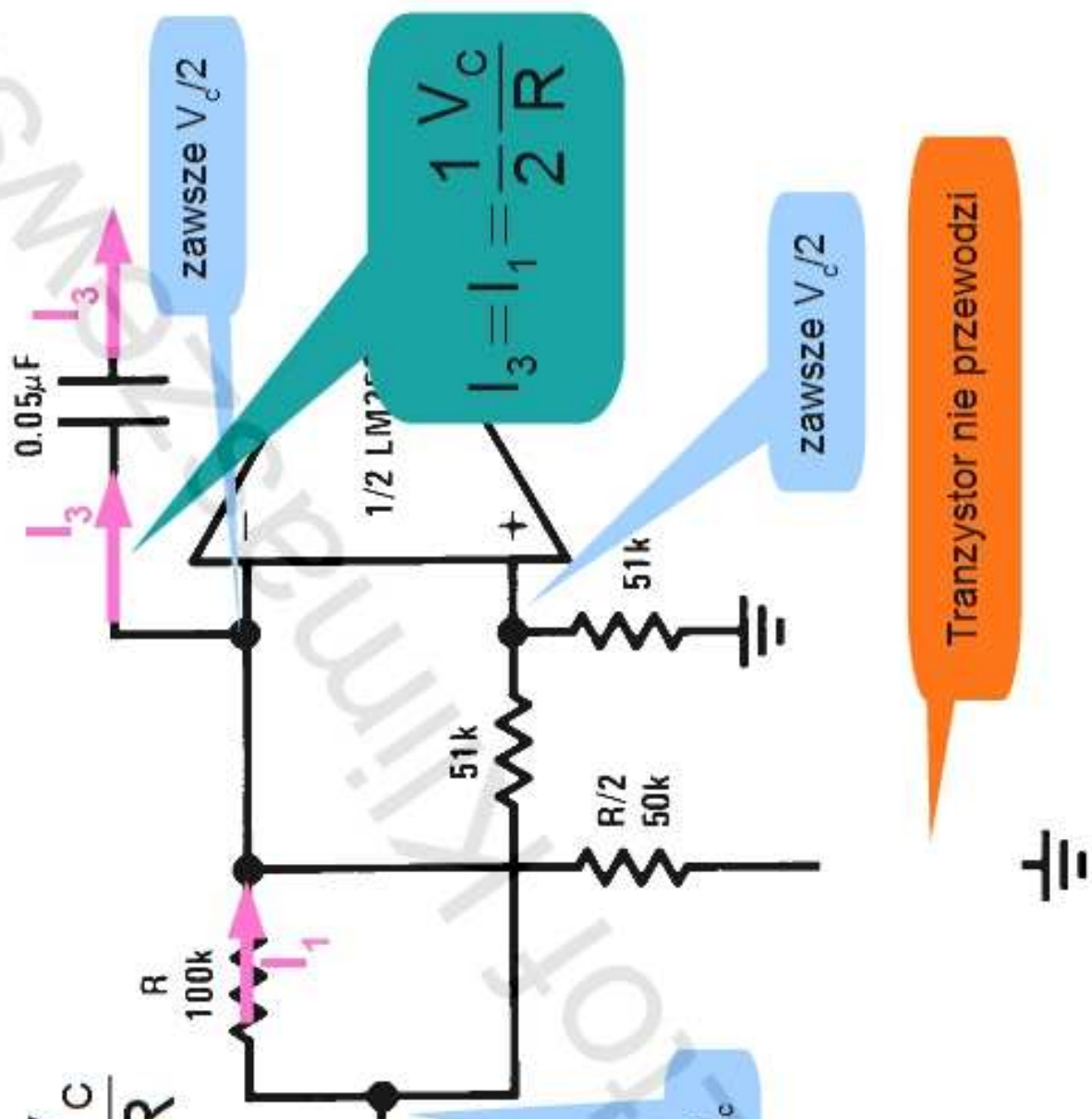
VCO - przykład

$$I_1 = \frac{V_{C^-} - \frac{V_C}{2}}{R} = \frac{1}{2} \frac{V_C}{R}$$



VCO - przykład

$$I_1 = \frac{V_{C^-} - \frac{V_C}{2}}{R} = \frac{1}{2} \frac{V_C}{R}$$



$$I_2 = 0$$

Inne układy o podobnych funkcjach

- FLL – *Frequency Locked Loop*
- DLL – *Delay Locked Loop* – do uzyskiwania przebiegów o stałym przesunięciu fazowym względem siebie
- DDS – *Direct Digital Synthesis* – bezpośrednia synteza cyfrowa

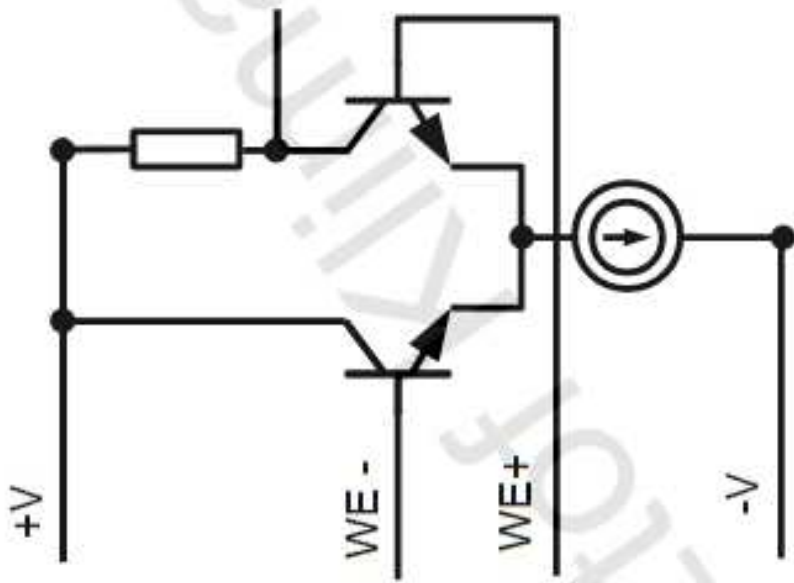
Analogowe Układy Elektroniczne

Krzysztof Klimaszewski

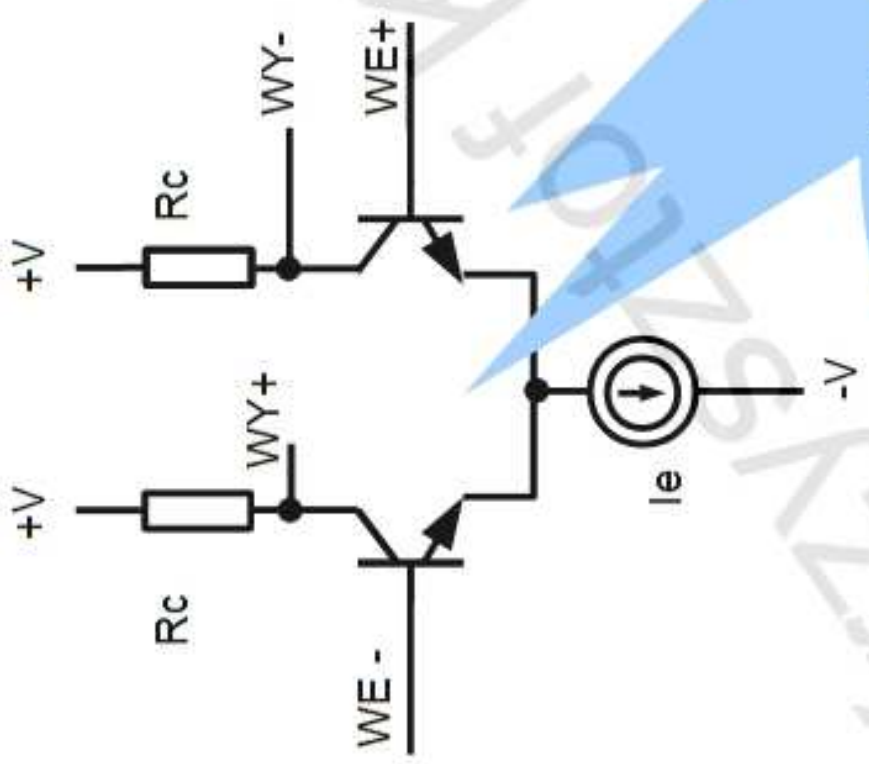
kklima@et.put.poznan.pl

Polanka 3, pokój 118

Wzmacniacz różnicowy



Wzmacniacz różnicowy



Identyczne tranzystory
o tej samej temperaturze

Wzmacniacz różnicowy

- **zasada działania**

- suma prądów kolektora jest stała
- różnica napięć na wejściach zmienia rozkład prądów
- wykorzystamy prosty model Shockleya do określenia prądu diody B-E

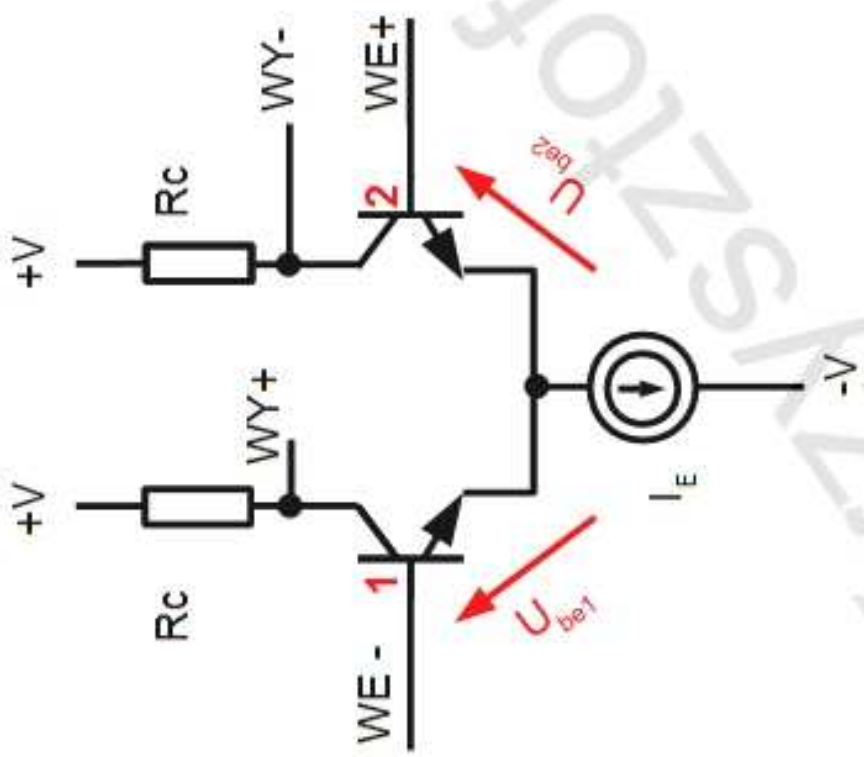
Nie wykorzystujemy tu na razie modelu małosygnalowego tranzystora

Zachowanie dla dużych sygnałów

$$I_E = I_{E1} + I_{E2}$$

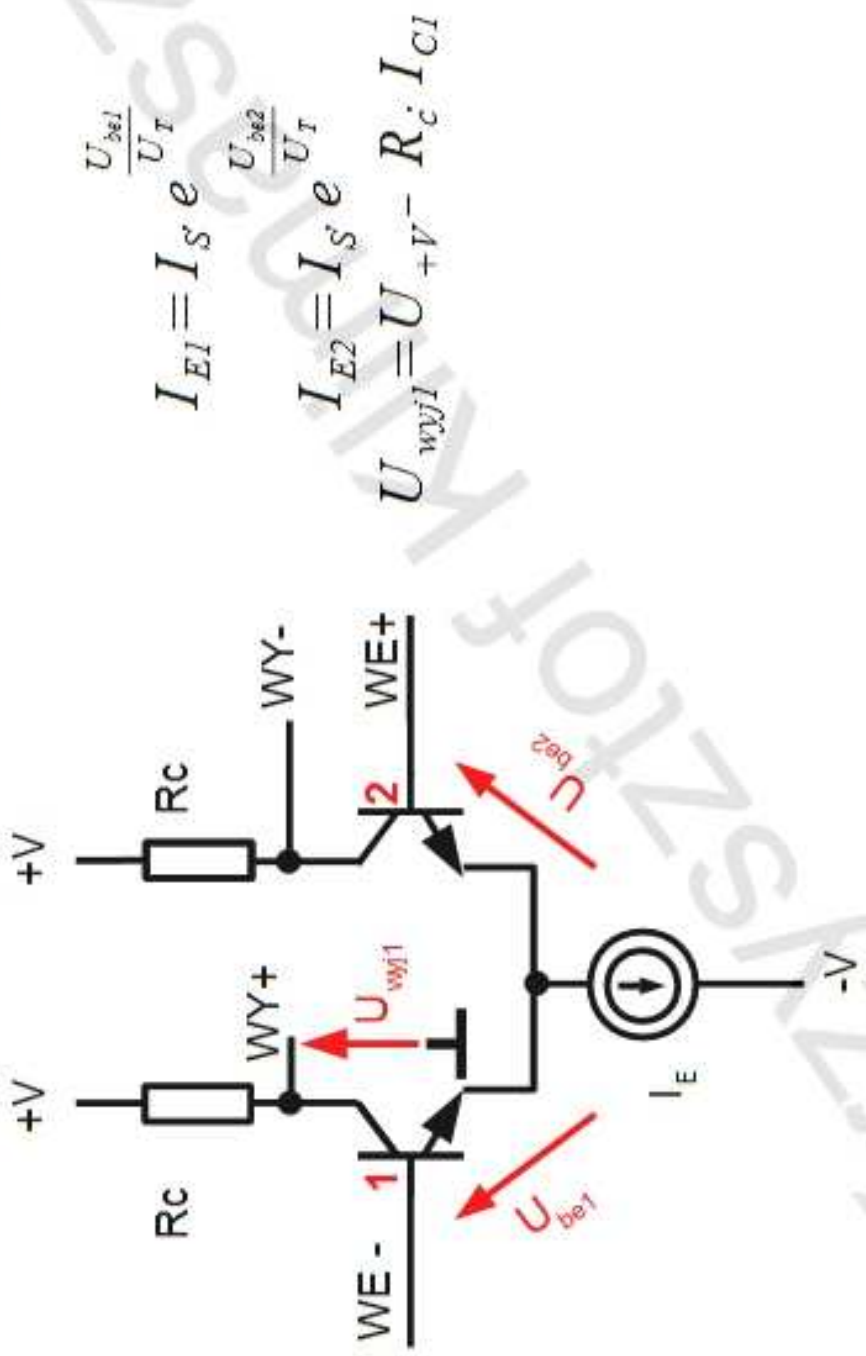
$$I_{E1} = I_S e^{\frac{U_{be1}}{U_T}}$$

$$I_{E2} = I_S e^{\frac{U_{be2}}{U_T}}$$



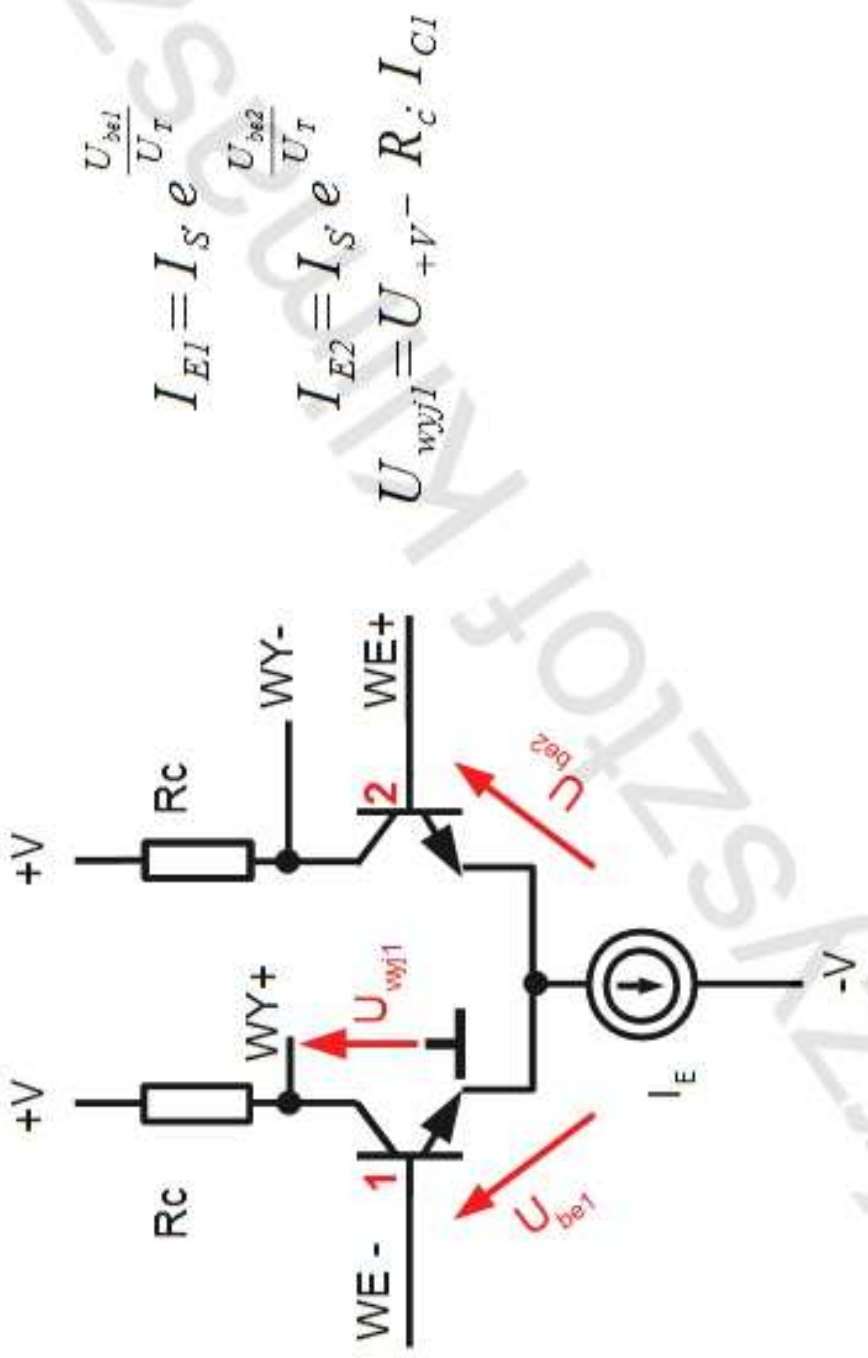
Zachowanie dla dużych sygnałów

$$I_E = I_{E1} + I_{E2}$$

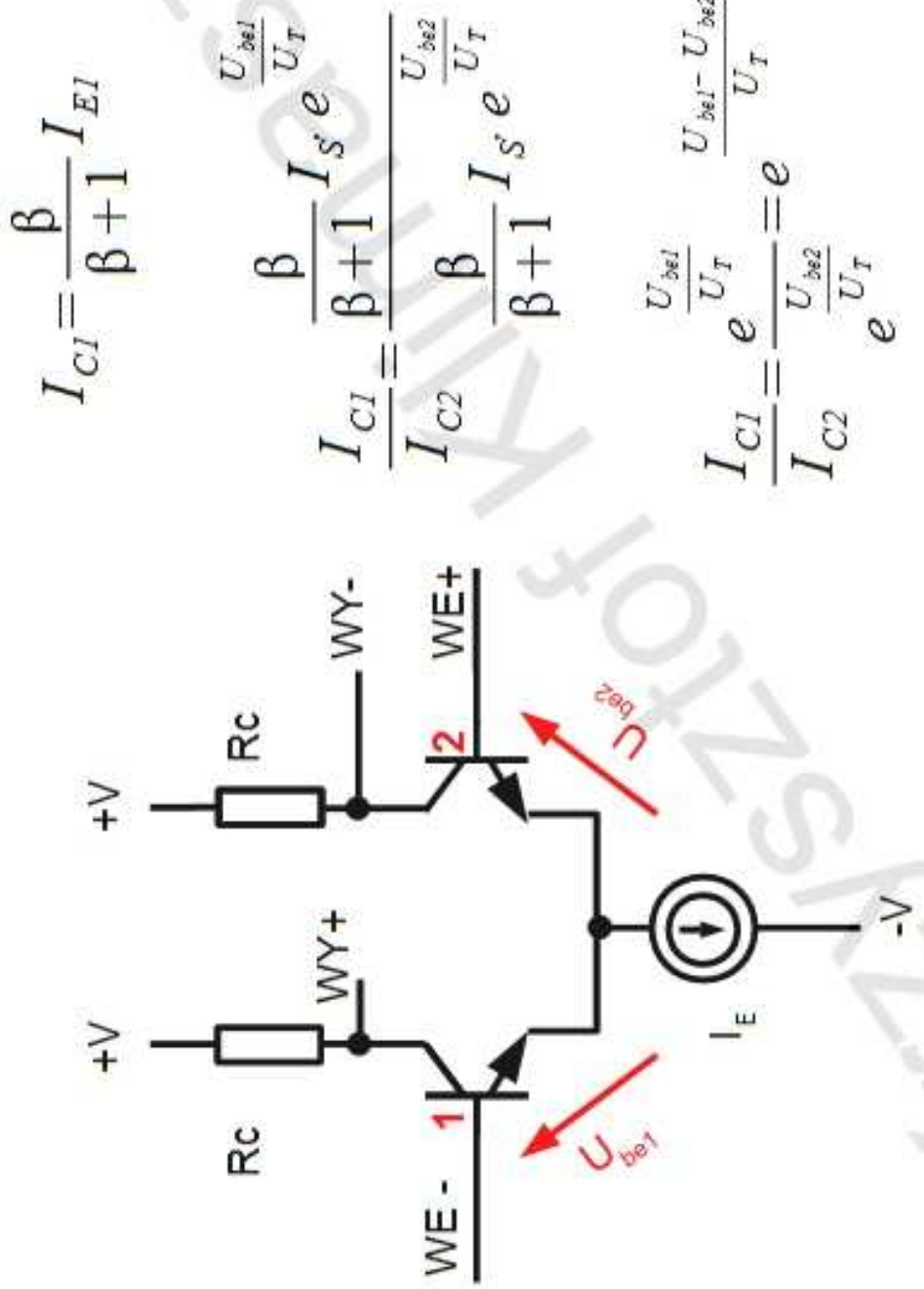


Zachowanie dla dużych sygnałów

$$I_E = I_{E1} + I_{E2}$$

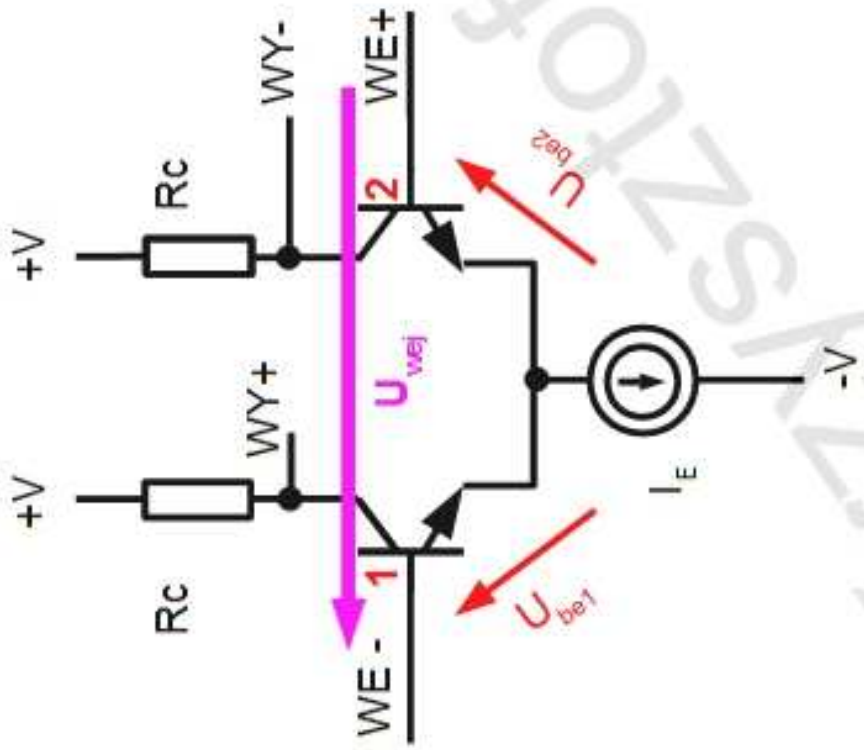


Zachowanie dla dużych sygnałów



Zachowanie dla dużych sygnałów

$$\frac{I_{C1}}{I_{C2}} = e^{\frac{U_{be1} - U_{be2}}{U_T}} = e^{\frac{U_{wej}}{U_T}}$$

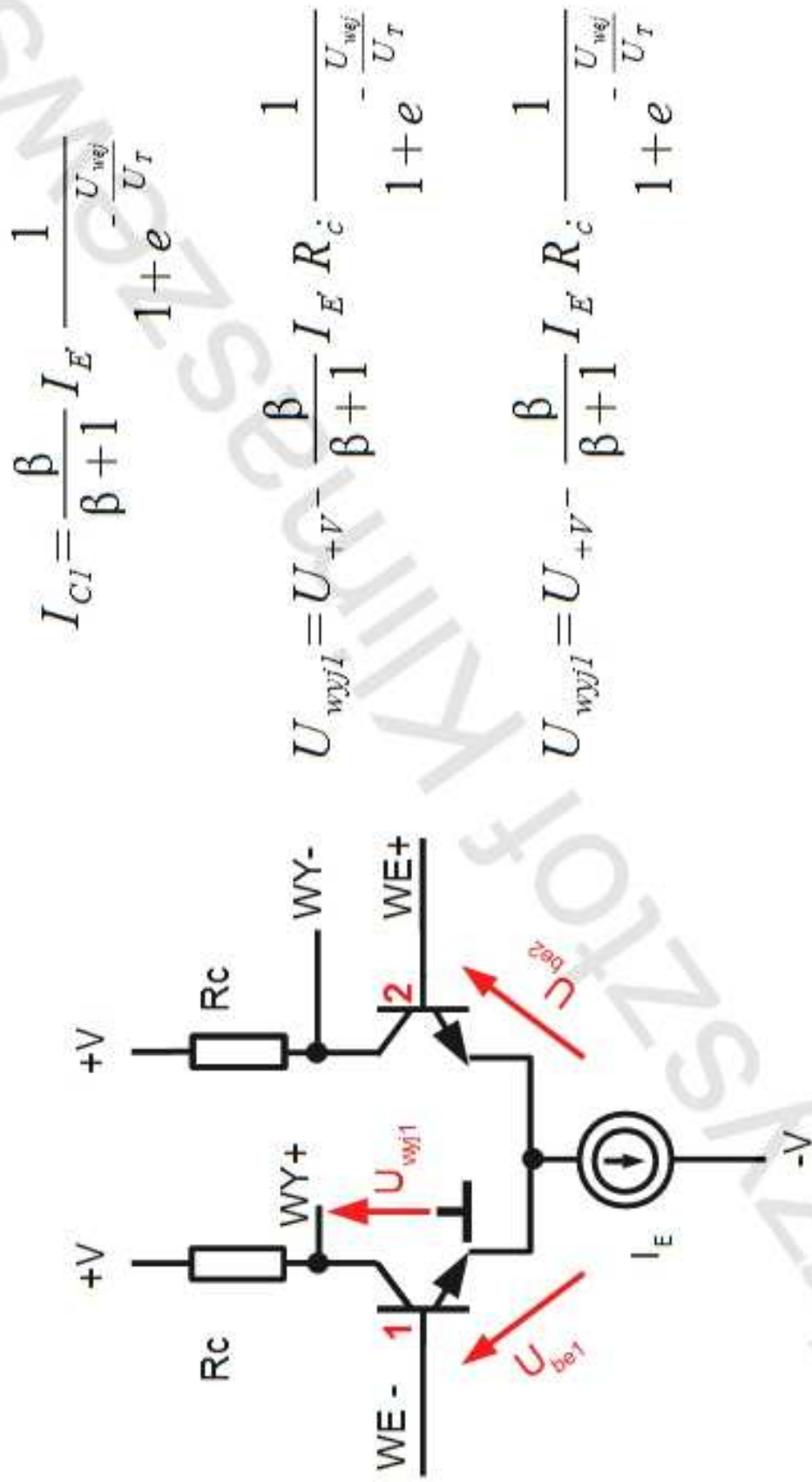


$$I_{C1} + I_{C2} = \frac{\beta}{\beta+1} I_E$$

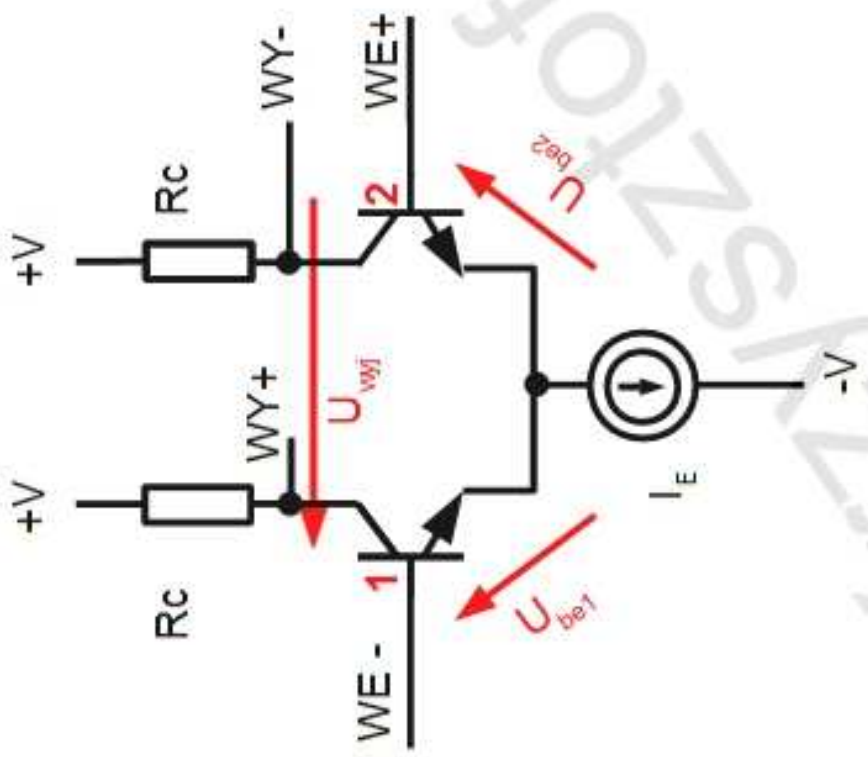
$$I_{C1} e^{-\frac{U_{wej}}{U_T}} + I_{C2} = \frac{\beta}{\beta+1} I_E$$

$$I_{C1} = \frac{\beta}{\beta+1} I_E \frac{1}{1 + e^{-\frac{U_{wej}}{U_T}}}$$

Zachowanie dla dużych sygnałów



Zachowanie dla dużych sygnałów



$$U_{wyj1} = U_{+V} - \frac{\beta}{\beta + 1} I_{E'} R_c \cdot \frac{1}{1 + e^{-\frac{U_{wyj}}{U_T}}} - \frac{U_{wyj}}{U_T}$$

$$U_{wyj2} = U_{+V} - \frac{\beta}{\beta + 1} I_{E'} R_c \cdot \frac{1}{1 + e^{\frac{U_{wyj}}{U_T}}} - \frac{U_{wyj}}{U_T}$$

$$U_{wyj} = U_{wyj1} - U_{wyj2}$$

Zachowanie dla dużych sygnałów

$$U_{wyj} = U_{+V^-} - \frac{\beta}{\beta + 1} I_E R_c \cdot \frac{1}{1 + e^{-\frac{U_{wyj}}{U_T}}} - U_{+V^-} - \frac{\beta}{\beta + 1} I_E' R_c \cdot \frac{1}{1 + e^{\frac{U_{wyj}}{U_T}}}$$

$$U_{wyj} = -\frac{\beta}{\beta + 1} I_E' R_C \left(\frac{1}{1 + e^{-\frac{U_{wyj}}{U_T}}} \right)$$

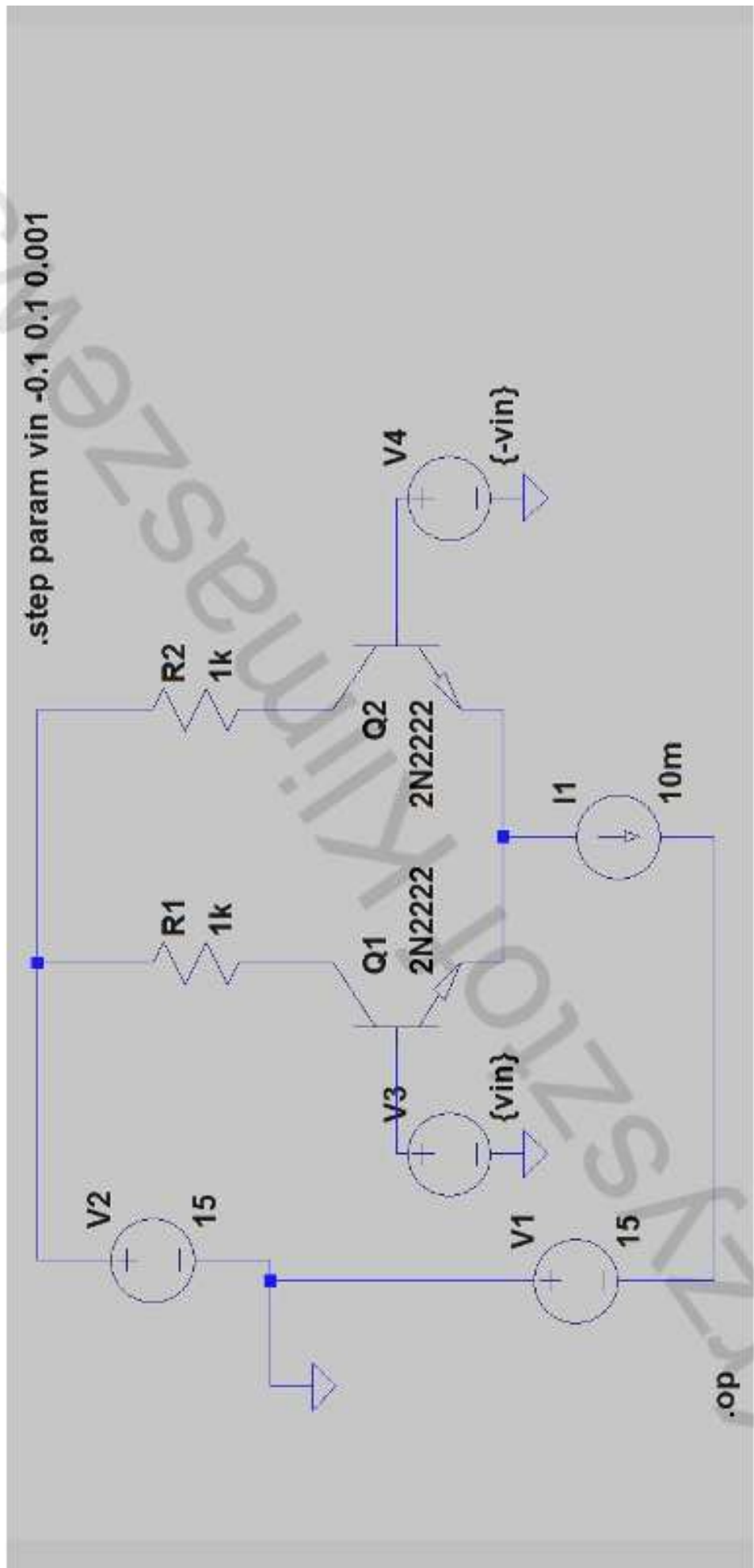
$$\frac{1}{1 + e^{-\frac{U_{wyj}}{U_T}}} = \frac{1}{1 + e^{\frac{U_{wyj}}{2U_T}} \left(e^{\frac{U_{wyj}}{2U_T}} + e^{-\frac{U_{wyj}}{2U_T}} \right)} = \frac{1}{e^{\frac{U_{wyj}}{2U_T}} \left(e^{\frac{U_{wyj}}{2U_T}} + e^{-\frac{U_{wyj}}{2U_T}} \right)}$$

$$= \frac{\frac{U_{wyj}}{2U_T} - e^{\frac{-U_{wyj}}{2U_T}}}{e^{\frac{U_{wyj}}{2U_T}} + e^{\frac{-U_{wyj}}{2U_T}}} = \tanh\left(\frac{U_{wyj}}{2U_T}\right)$$

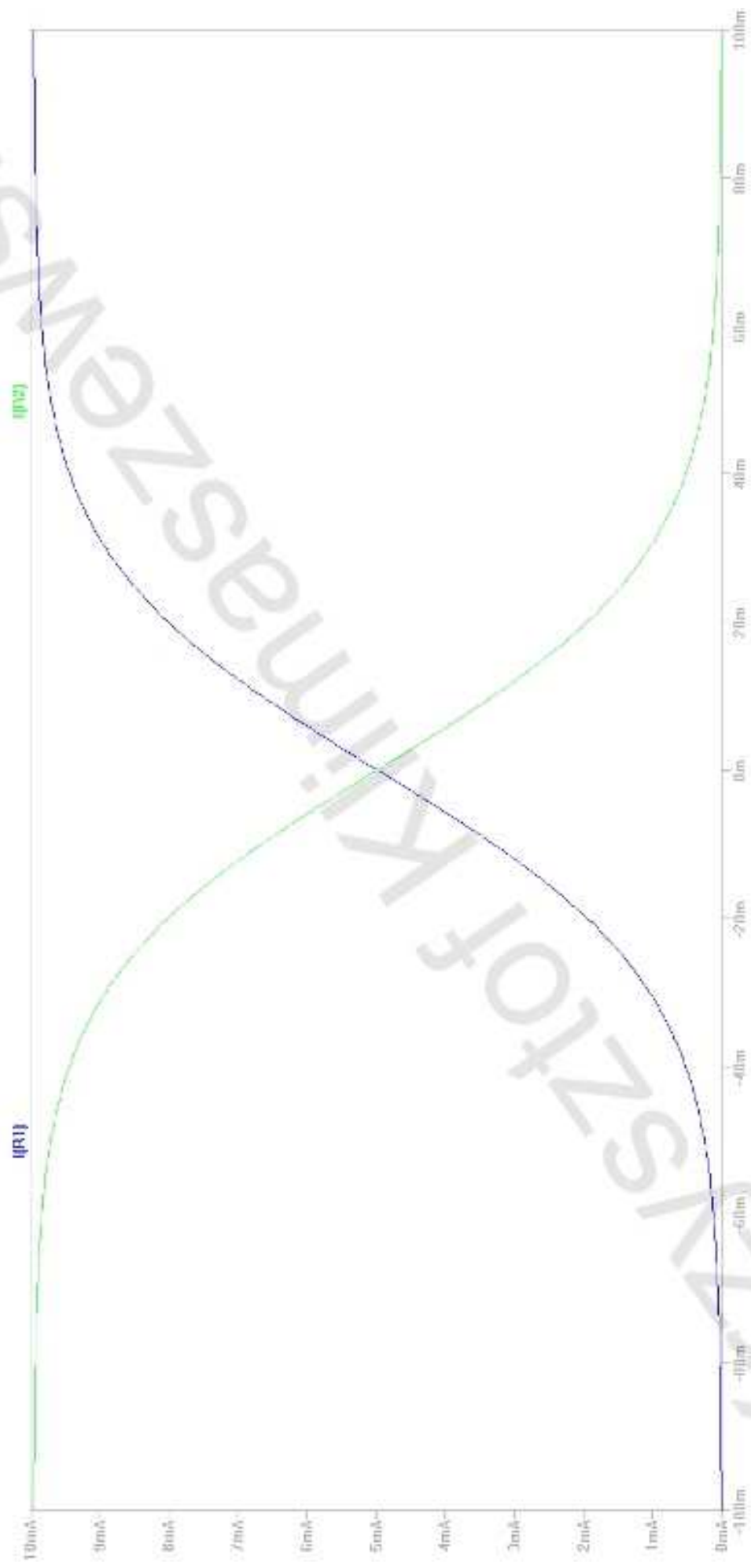
Zachowanie dla dużych sygnałów

$$U_{wyj} = \frac{-\beta}{\beta+1} I_E R_C \tanh\left(\frac{U_{wej}}{2 \cdot U_T}\right)$$

Wzmacniacz różnicowy

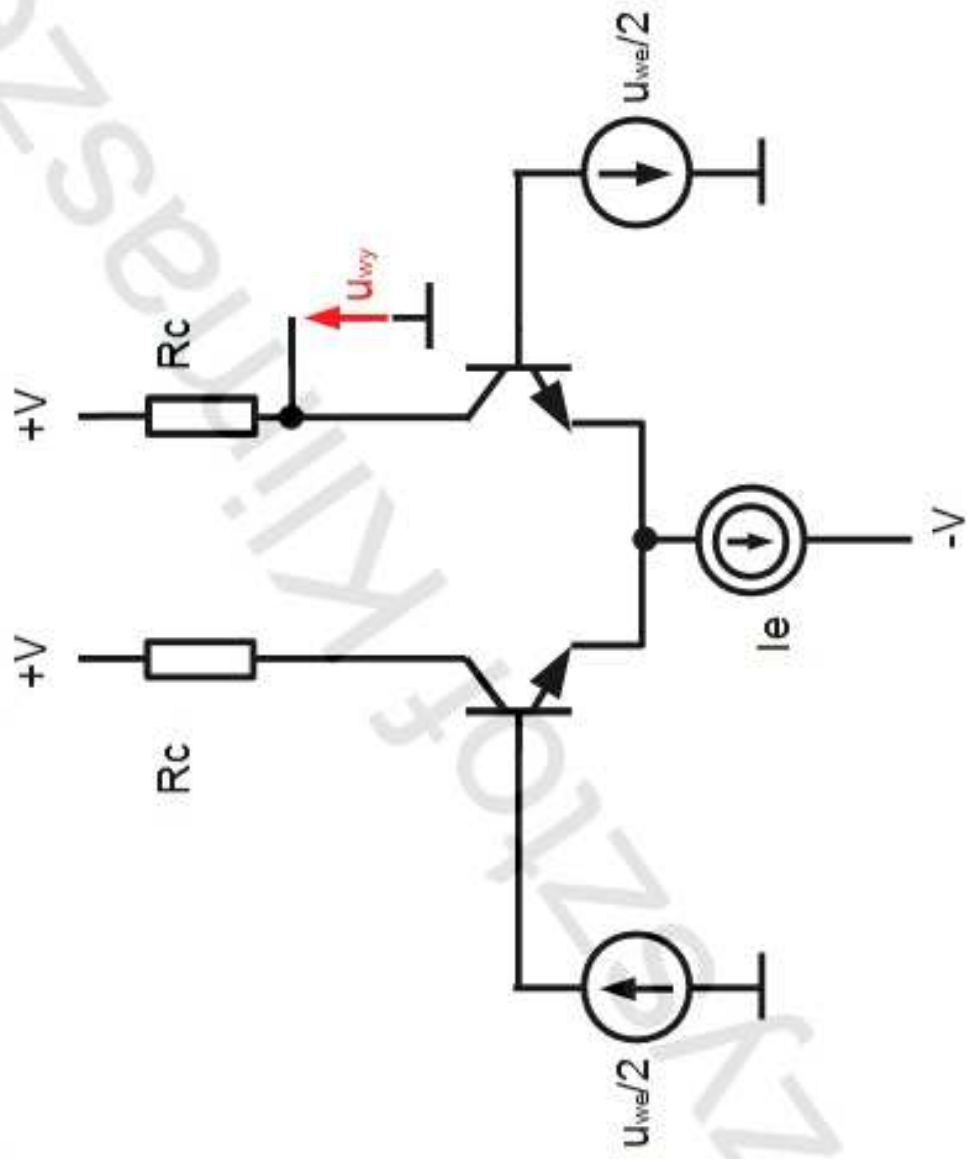


Wzmacniacz różnicowy



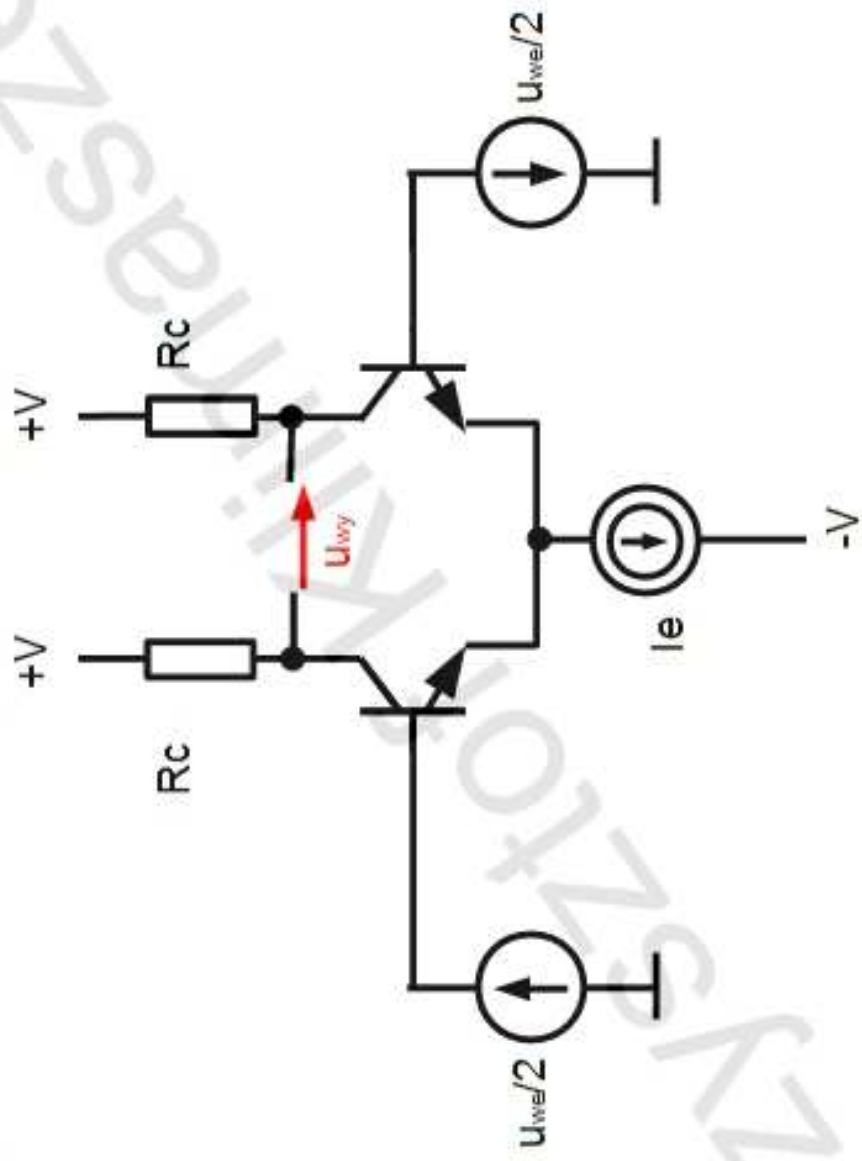
Wzmacniacz różnicowy

- Przypadek 1 – wyjście niesymetryczne



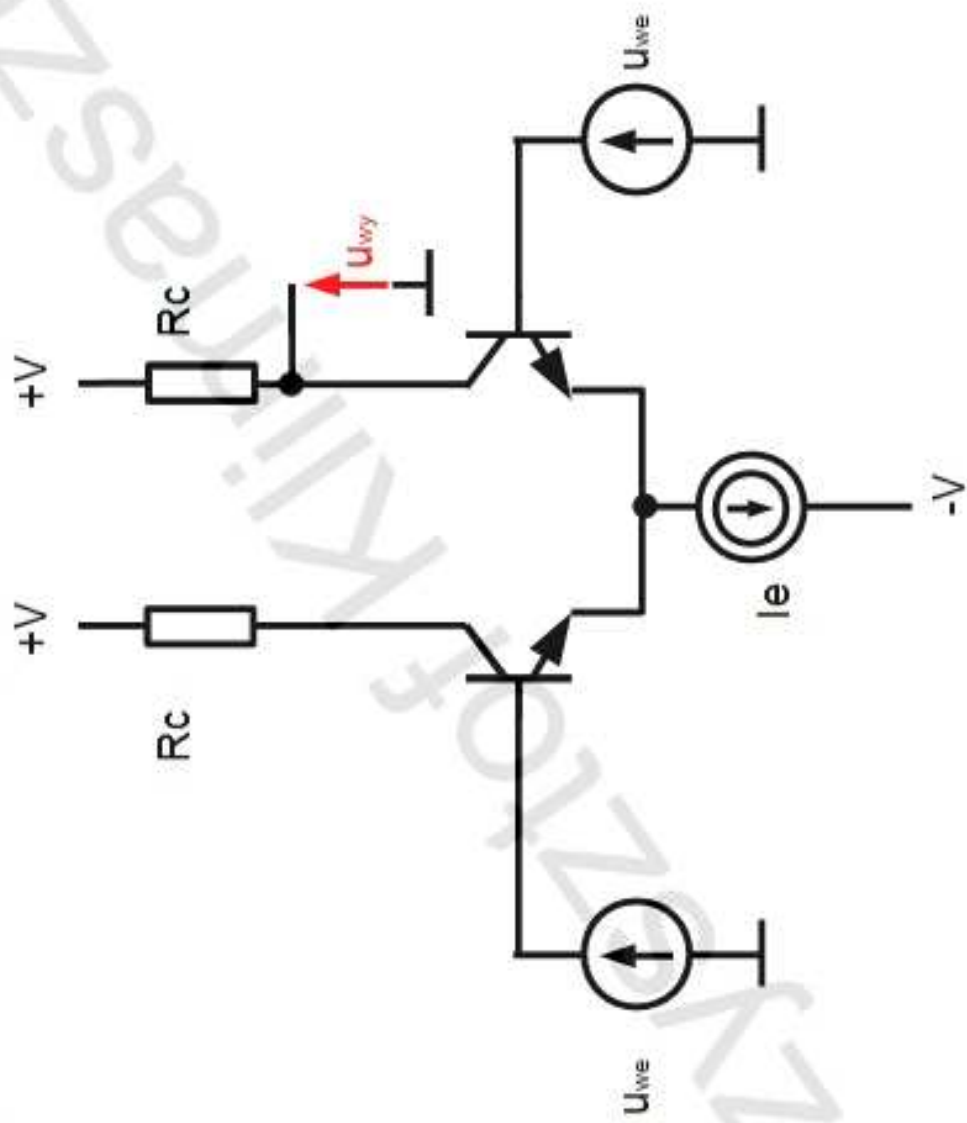
Wzmacniacz różnicowy

- Przypadek 1 – wyjście symetryczne



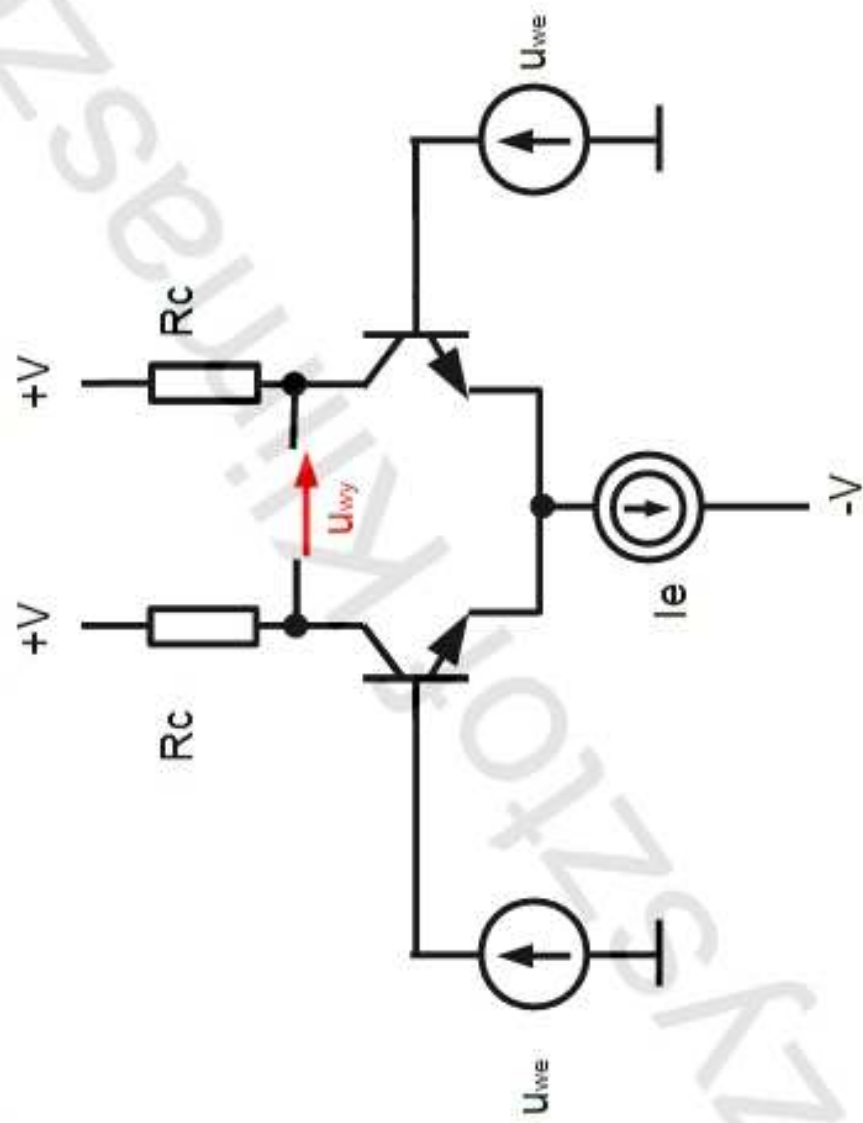
Wzmacniacz różnicowy

- Przypadek 2 – wyjście niesymetryczne



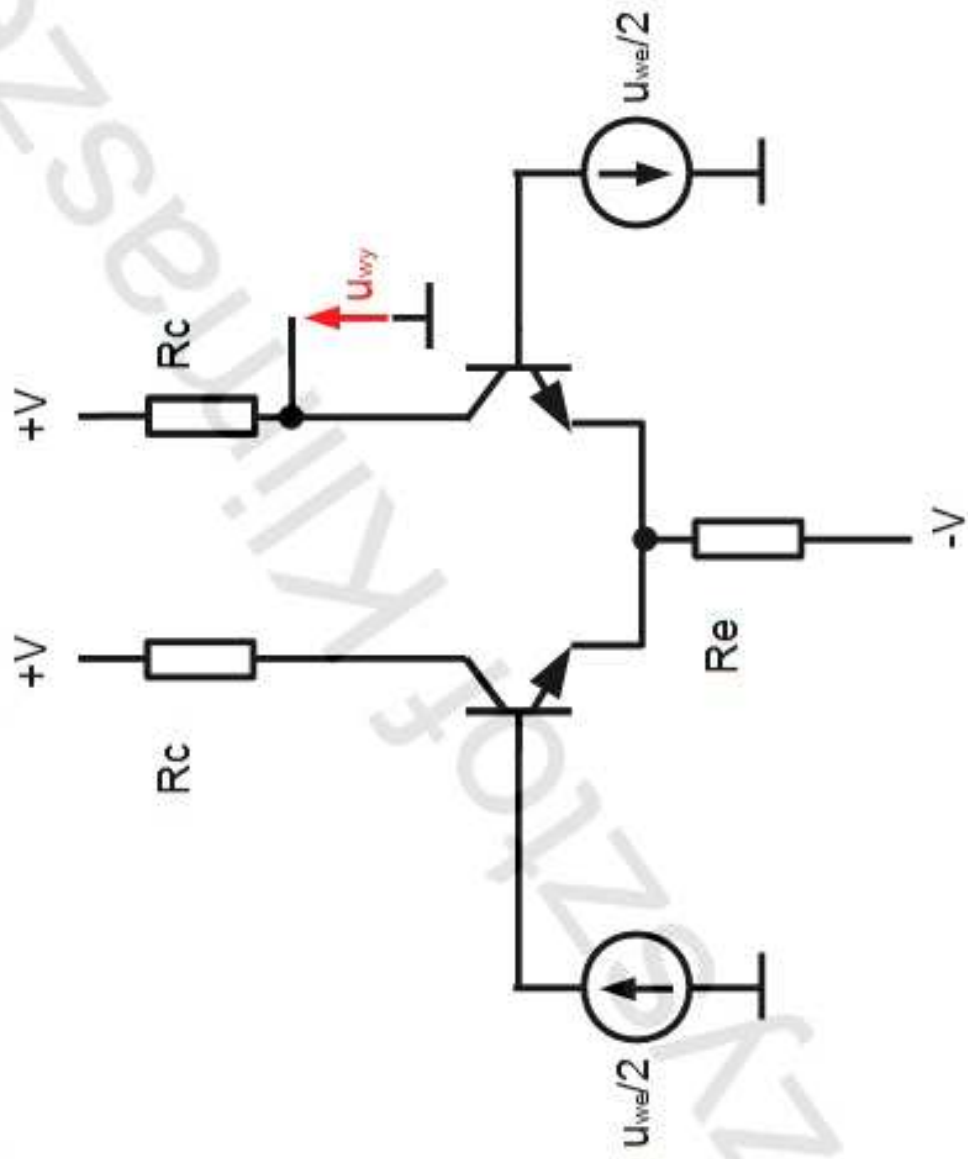
Wzmacniacz różnicowy

- Przypadek 2 – wyjście symetryczne



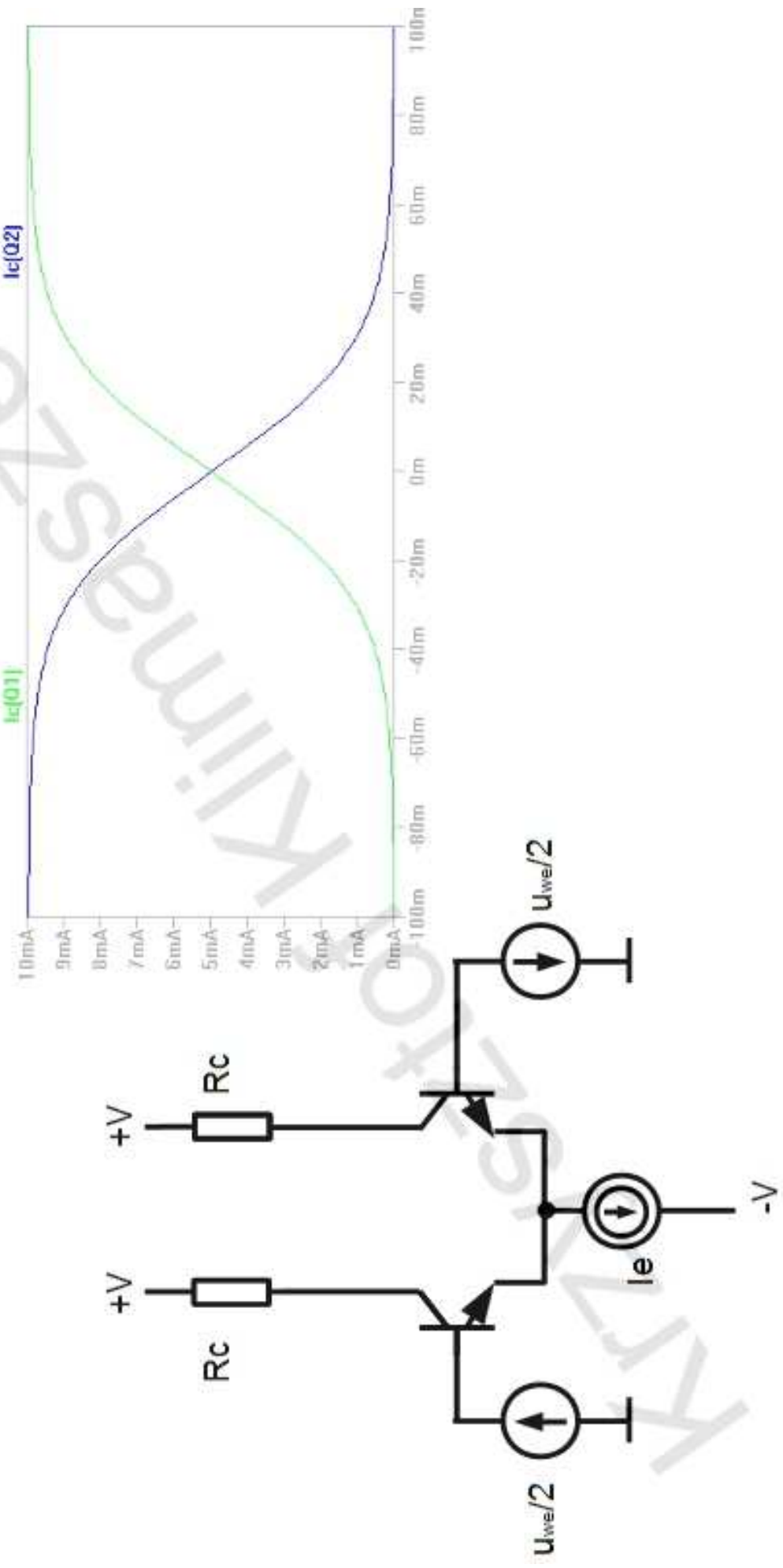
Wzmacniacz różnicowy

- Przypadek 3 – wyjście niesymetryczne



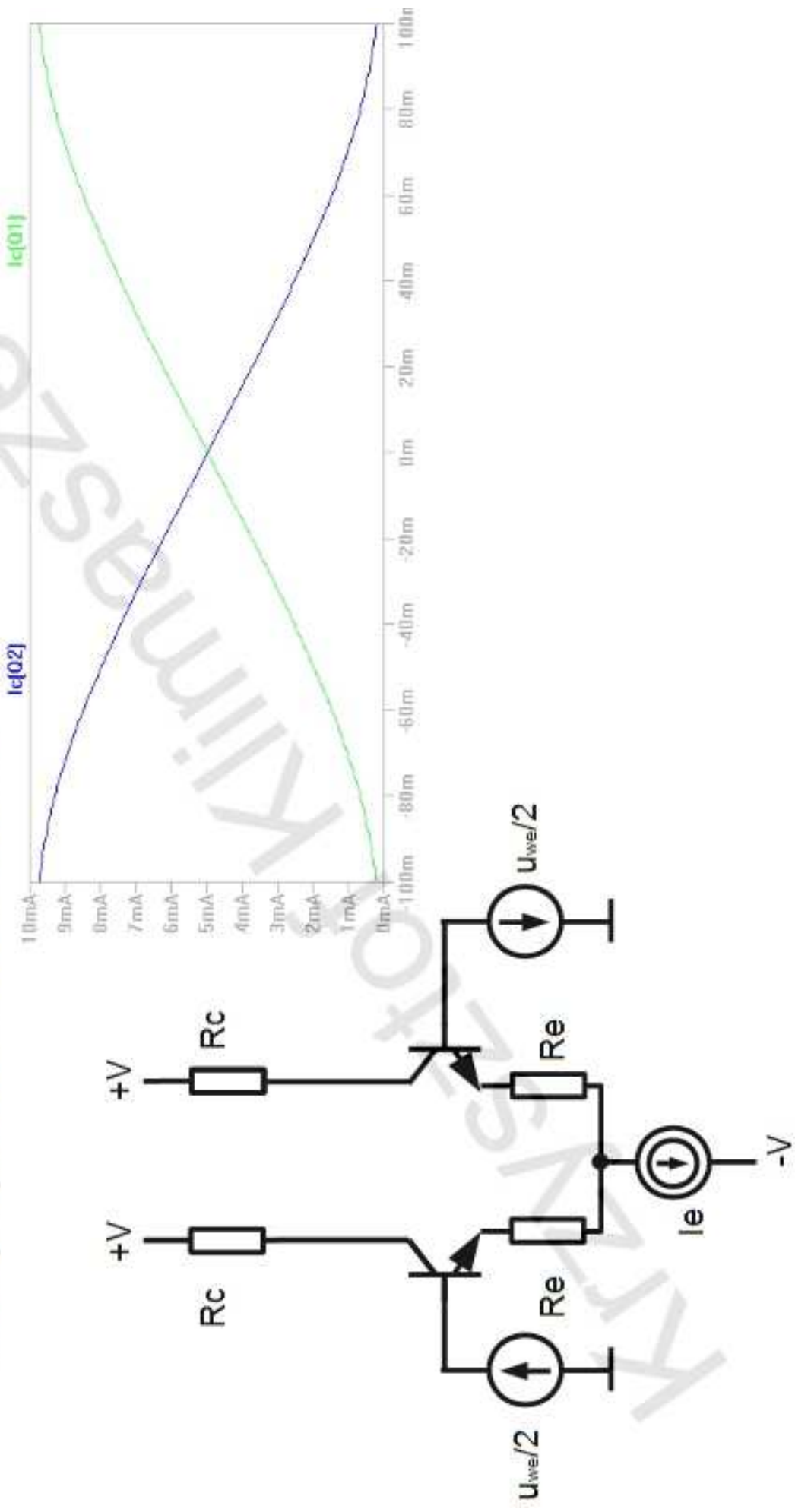
Wzmacniacz różnicowy

- Jak poprawić liniowość?



Wzmacniacz różnicowy

- Jak poprawić liniowość?

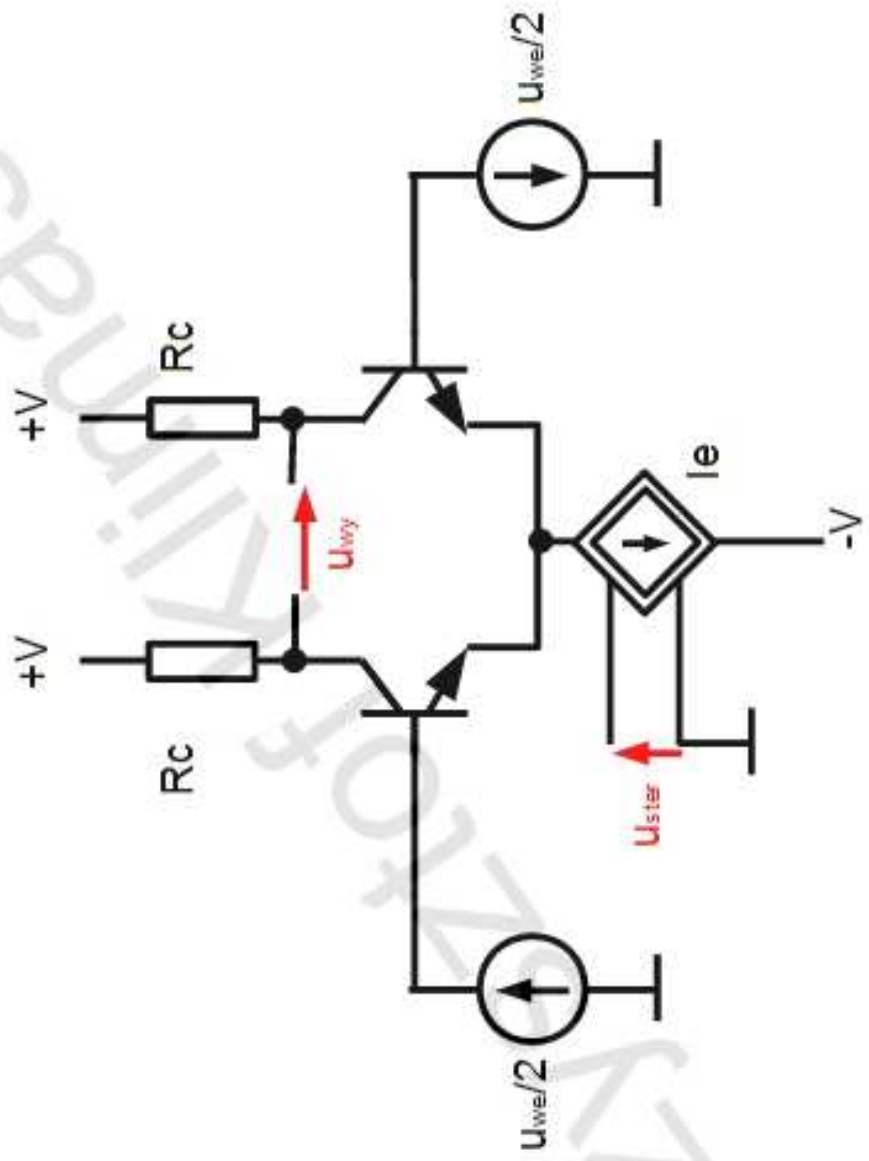


Tranzystory

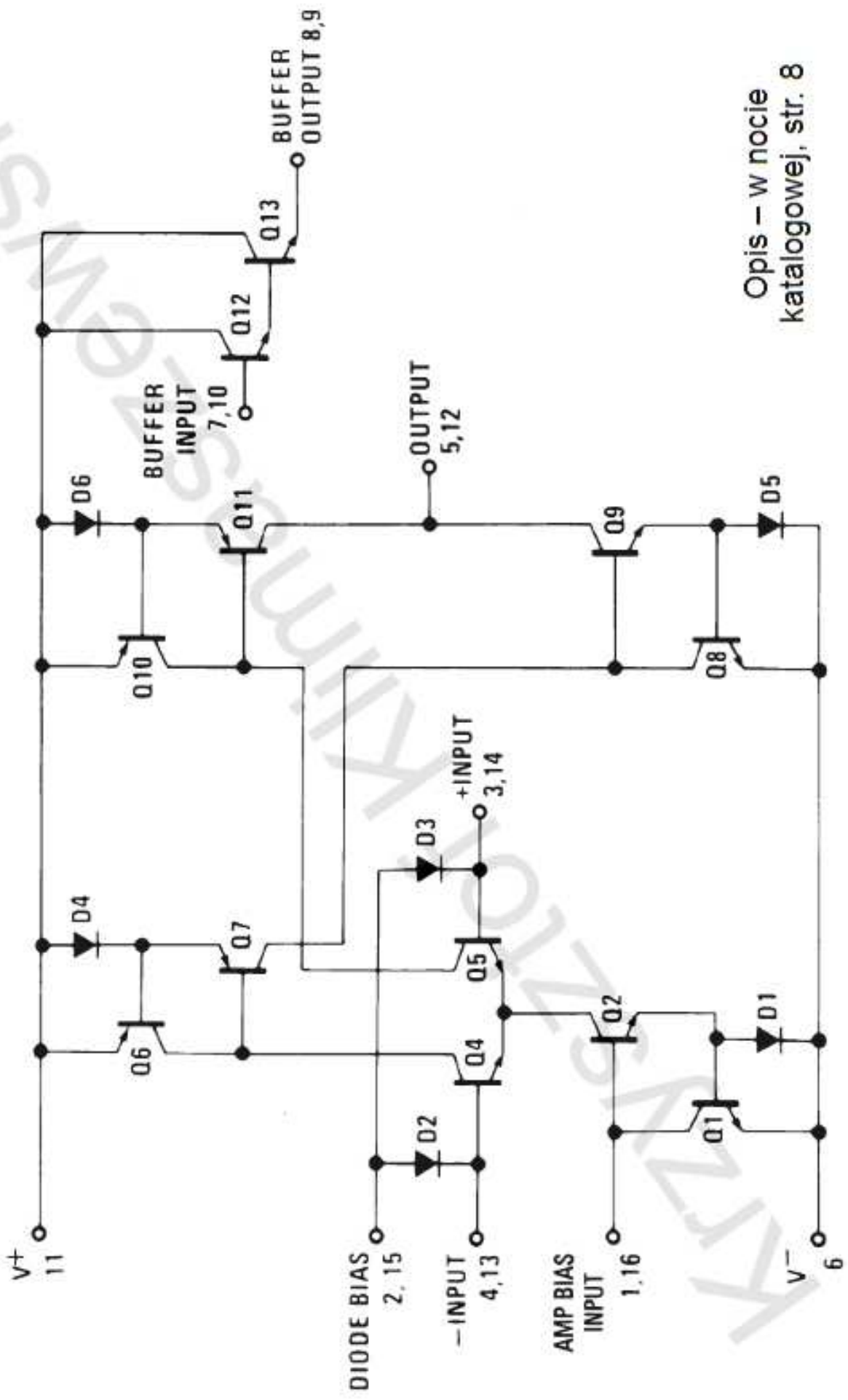
- Do poprawnej pracy pary różnicowej potrzebne są tranzystory o jak najbardziej zbliżonych parametrach
- Łatwiej o te same parametry, jeśli tranzystory są wykonywane na tej samej płytce krzemowej
 - tzw. matryce tranzystorów

Regulacja wzmacnienia

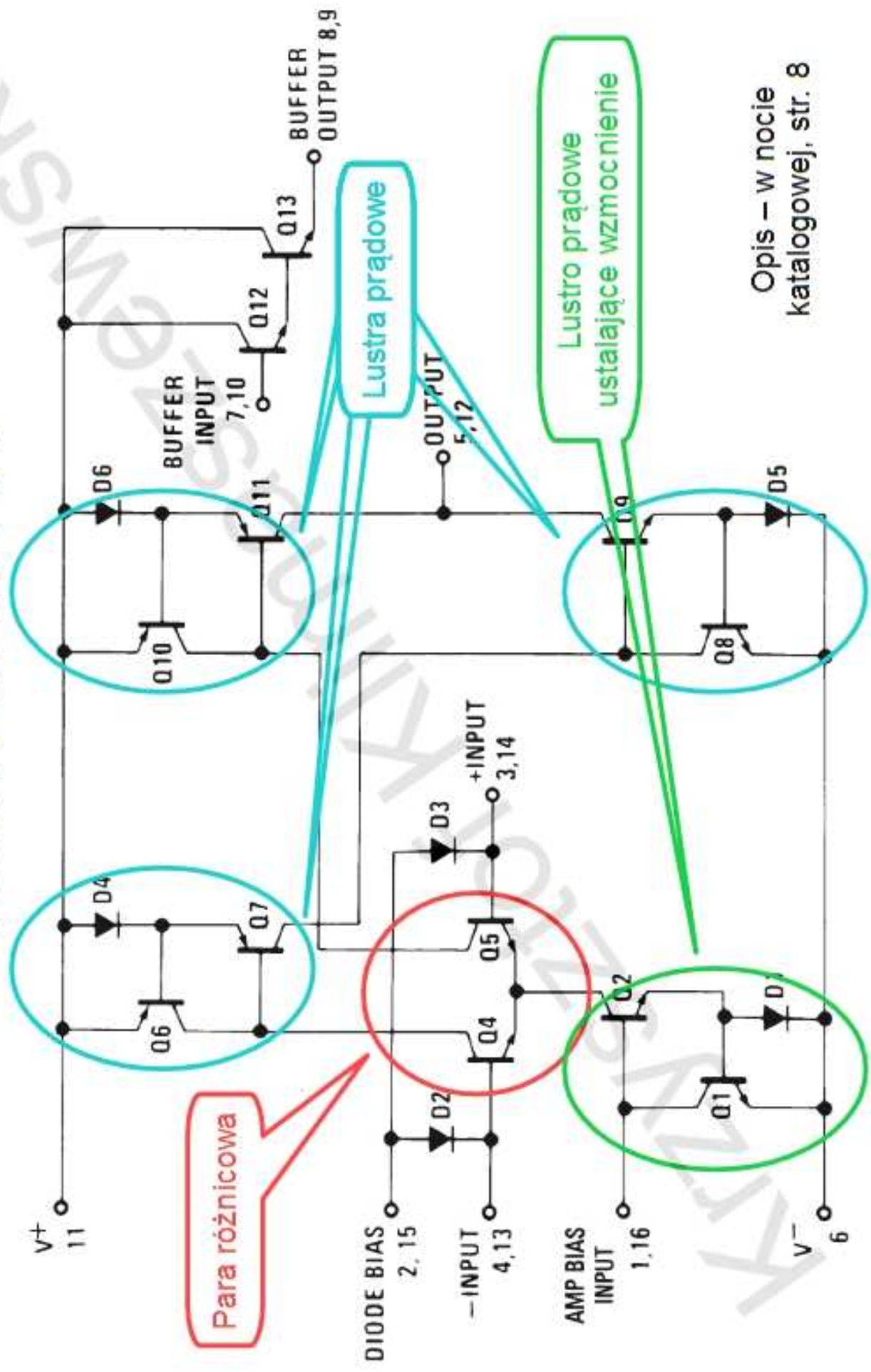
- Można regulować wzmacnienie pary różnicowej poprzez zmianę prądu źródła prądowego



Układ LM13700



Układ LM13700



Układ LM13700

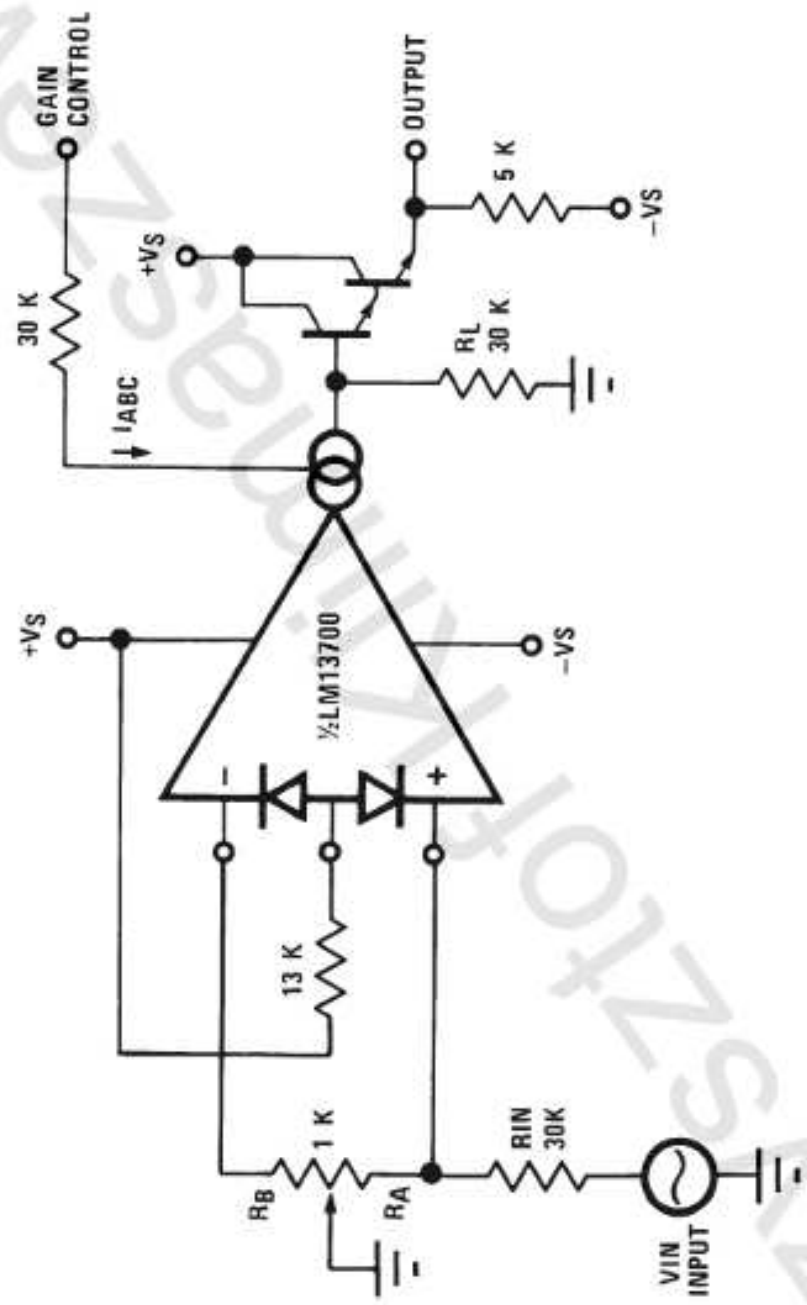


FIGURE 2. Voltage Controlled Amplifier

CORRIGENDA

Użycie JFET-ów

- Zamiast tranzystorów bipolarnych z powodzeniem można użyć JFET-ów
 - na przykład wzmacniacze TL081 / TL082 / TL084
 - Znacznie większa rezystancja wejściowa

Użycie MOSFET-ów

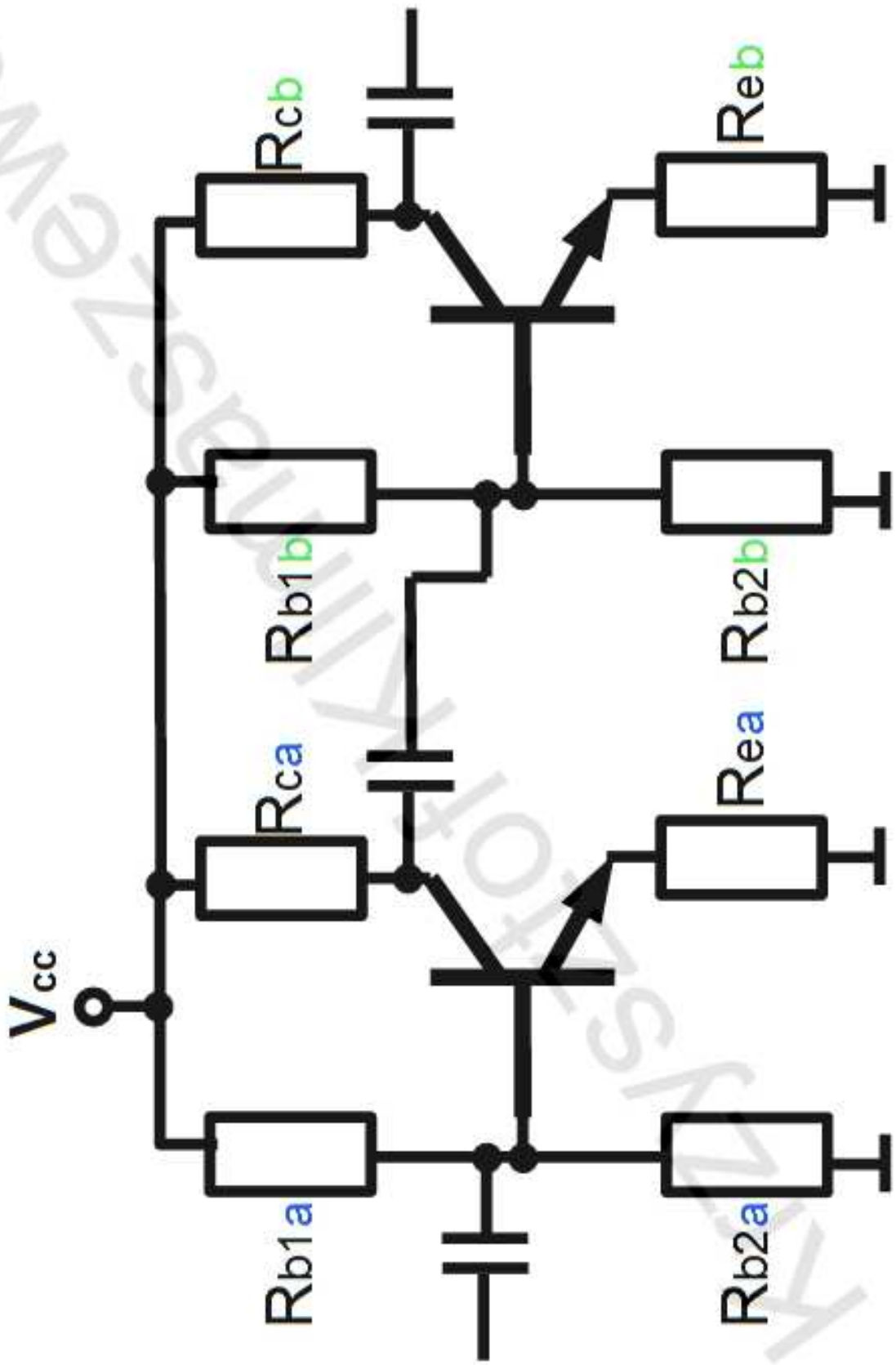
- Współcześnie większość wzmacniaczy wykorzystuje MOSFET-y
 - jeszcze większa rezystancja wejściowa
 - prądy polaryzacji typowo rzędu pA, a w precyzyjnych wykonaniach – fA (np. LMP7721)

Wzmacniacze wielostopniowe

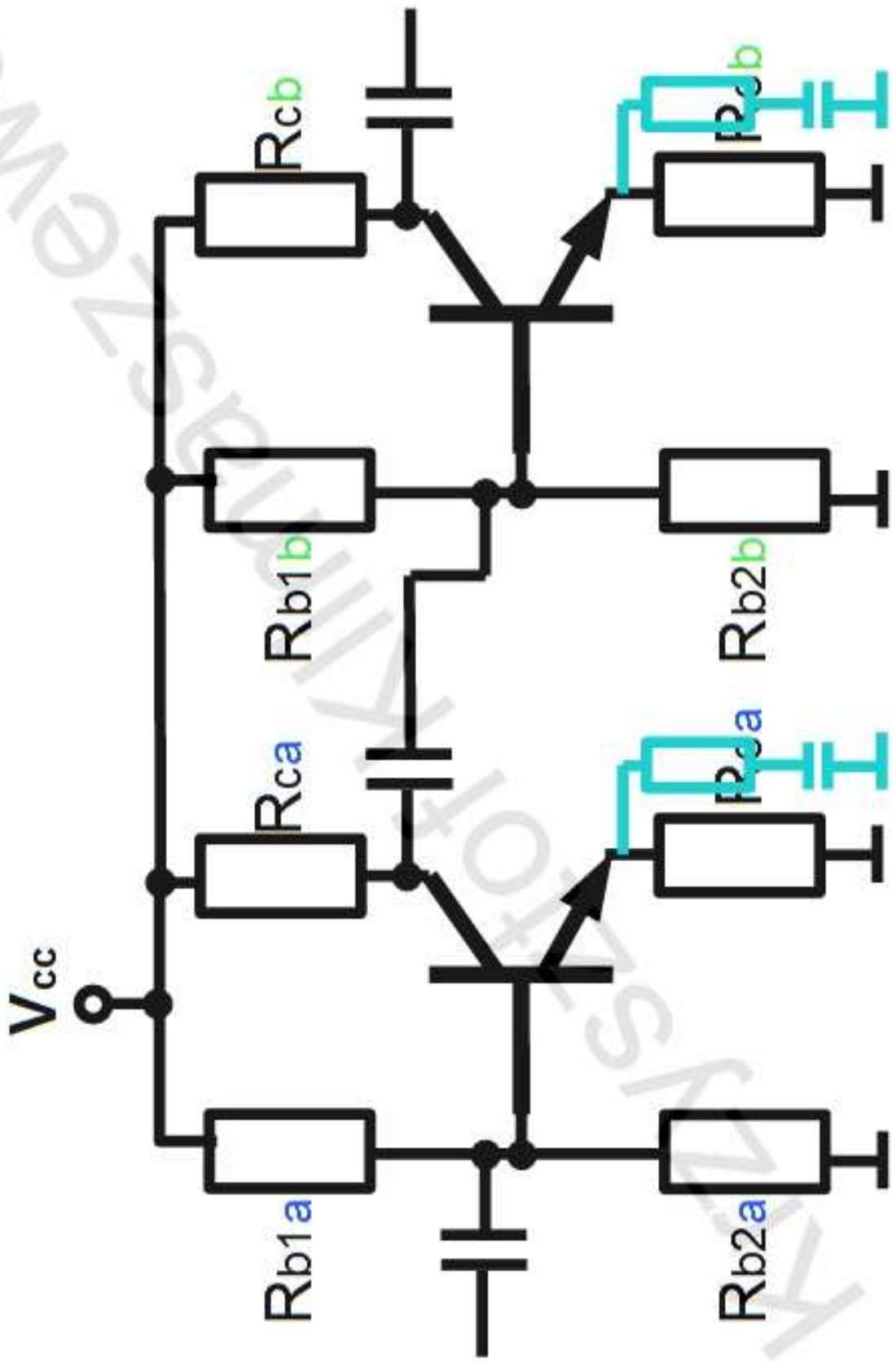
Wzmacniacze wielostopniowe

- Wzmacniacz na 1 tranzystorze może z reguły dostarczyć wzmacnienia rzędu nawet kilkuset razy
- Jeśli potrzebne jest większe wzmacnienie – trzeba użyć kilku stopni wzmacniających

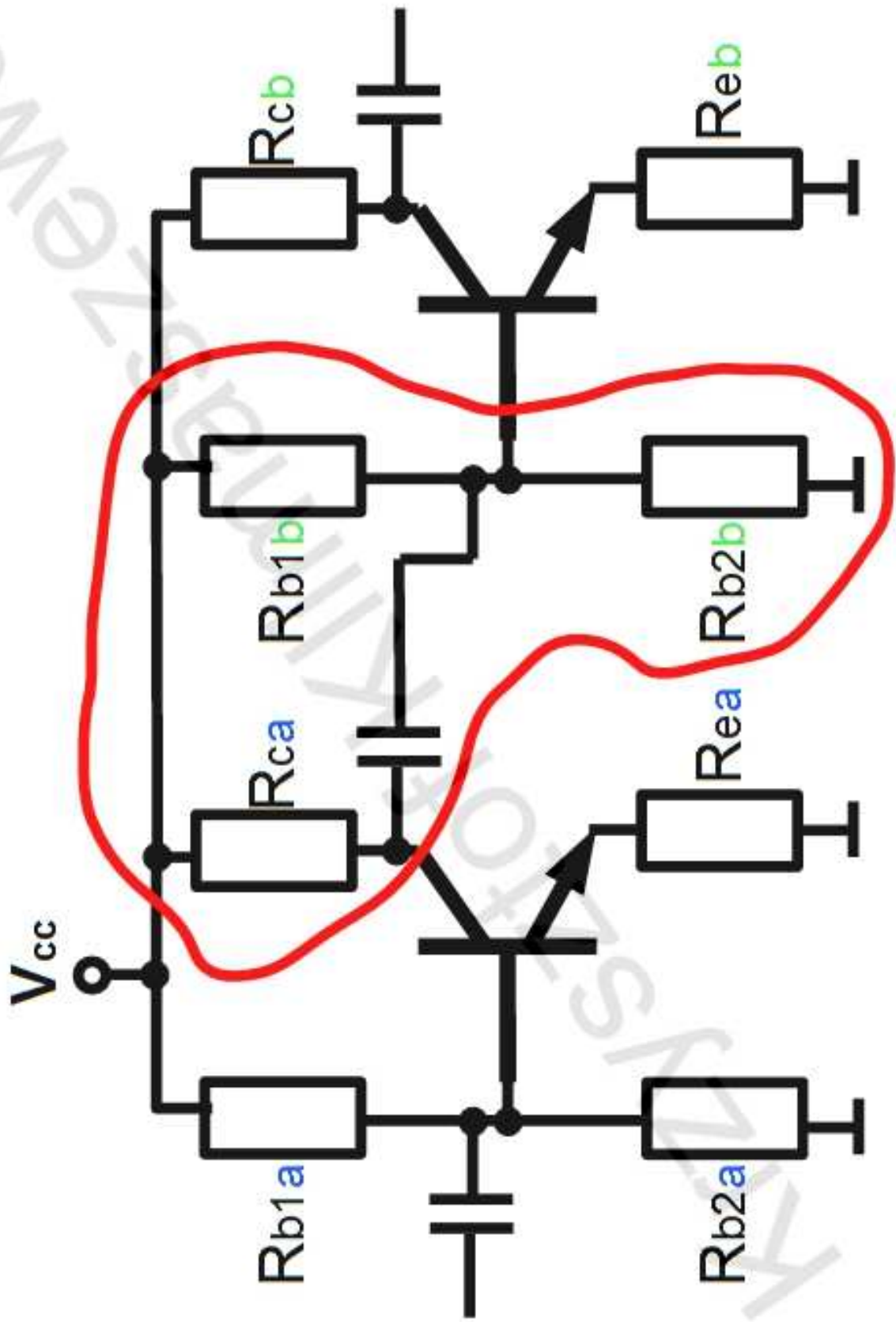
Lączanie stopni wzmacniaczy



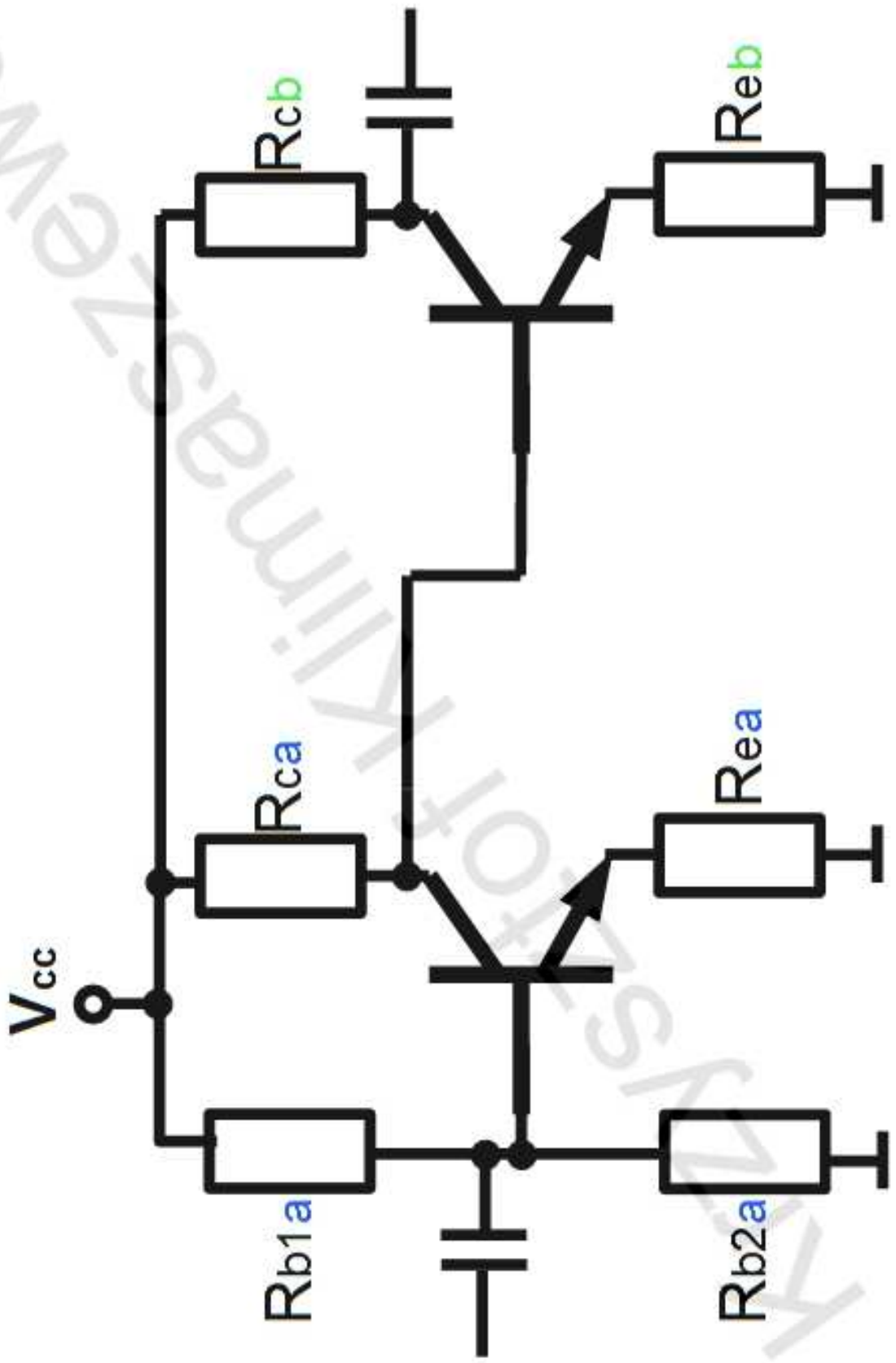
Lączanie stopni wzmacniaczy



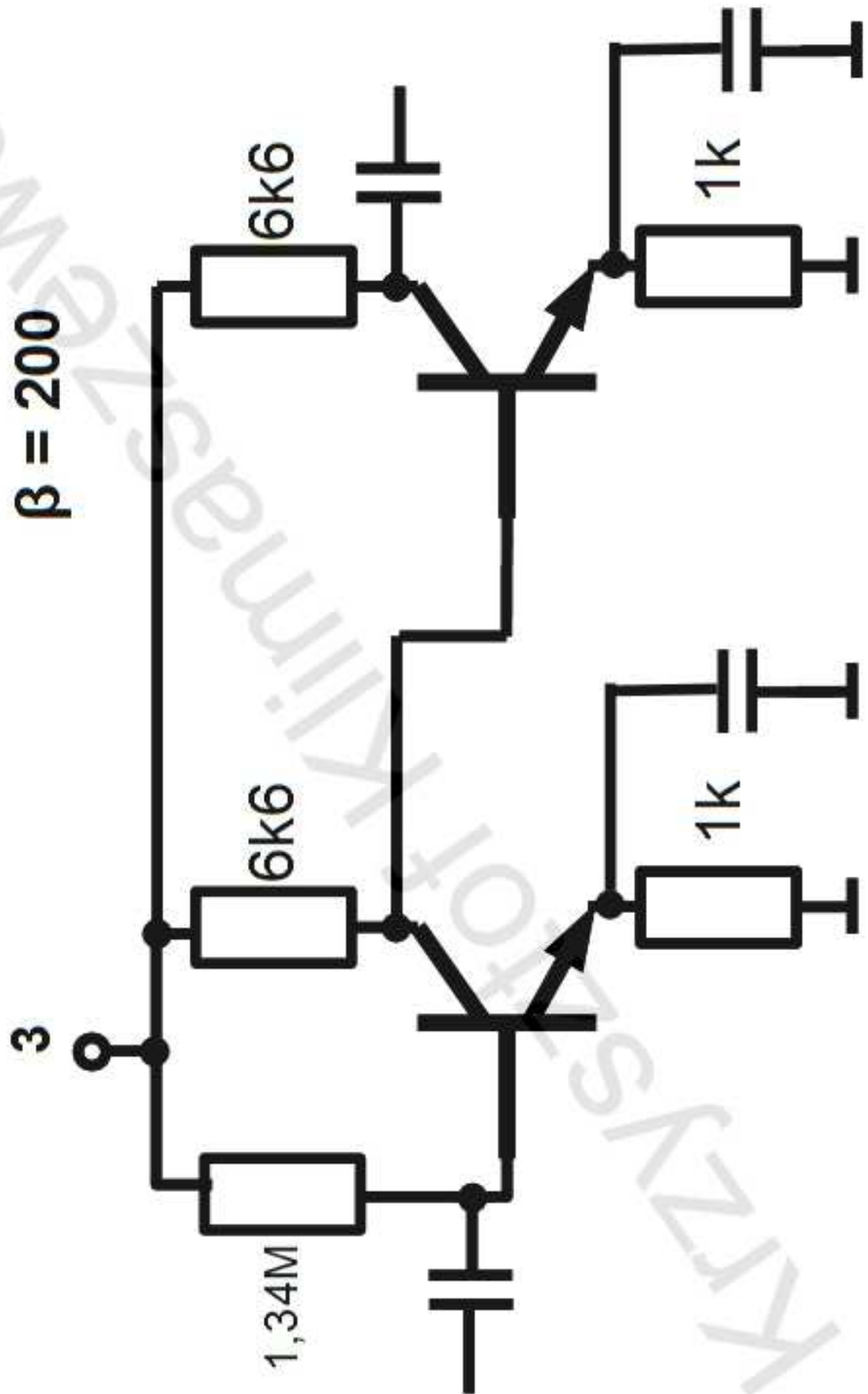
Lączanie stopni wzmacniaczy



Lączanie stopni wzmacniaczy

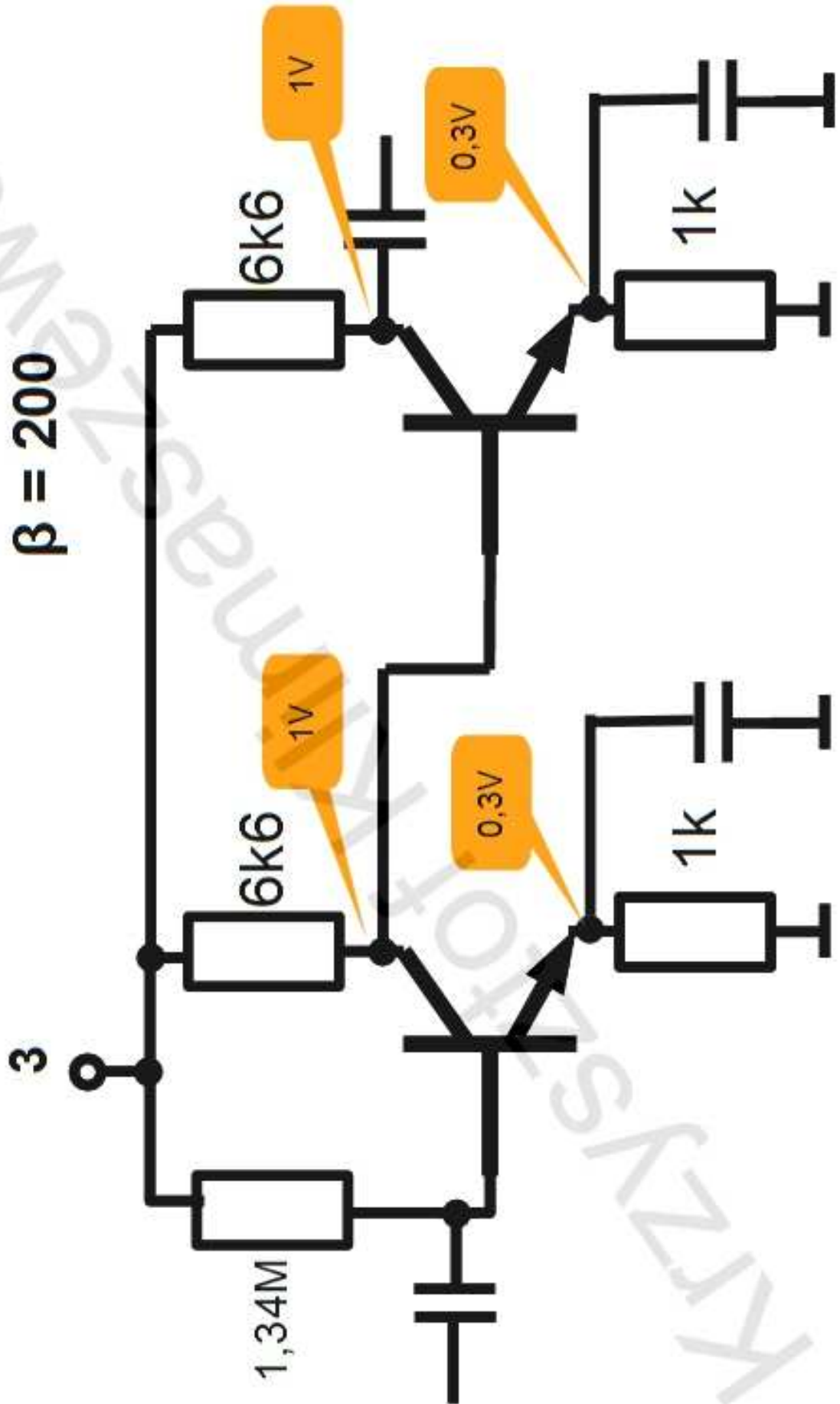


Lączanie stopni wzmacniaczy



Łączanie stopni wzmacniający

$$\beta = 200$$

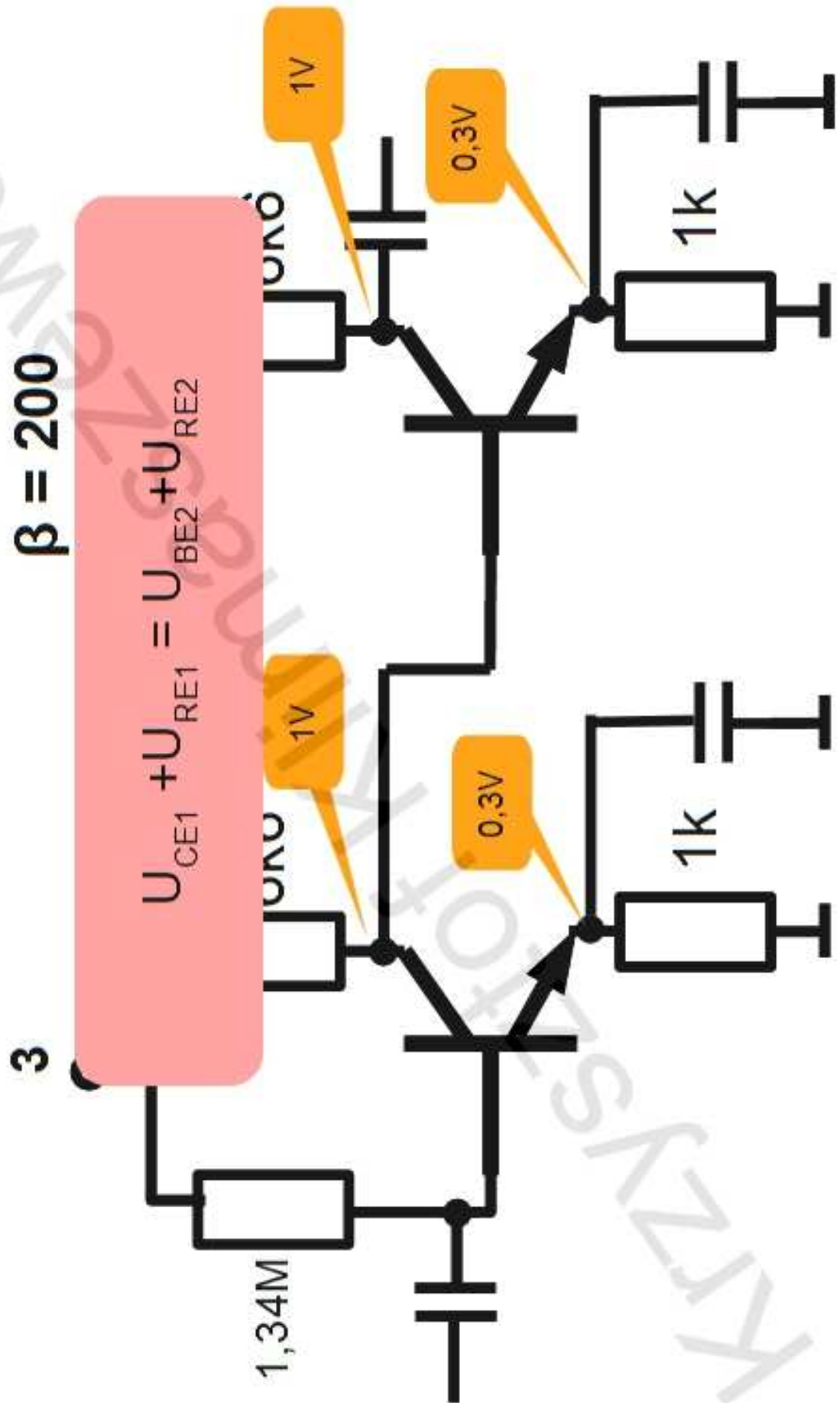


Lączanie stopni wzmacniaczy

$$\beta = 200$$

$$U_{CE1} + U_{RE1} = U_{BE2} + U_{RE2}$$

3



Lączanie stopni wzmacniających

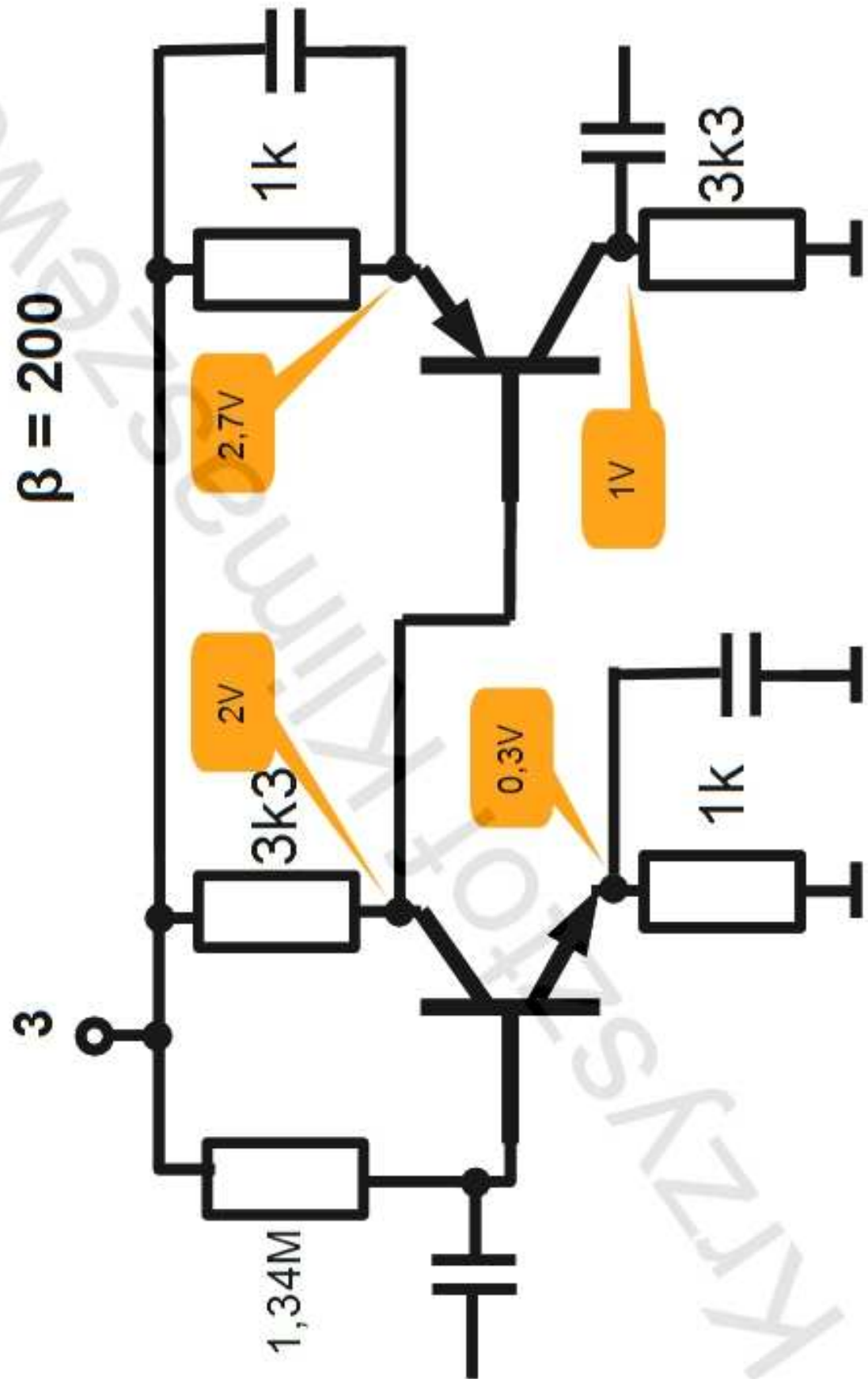
$$3 \quad \varnothing$$

$$\beta = 200$$

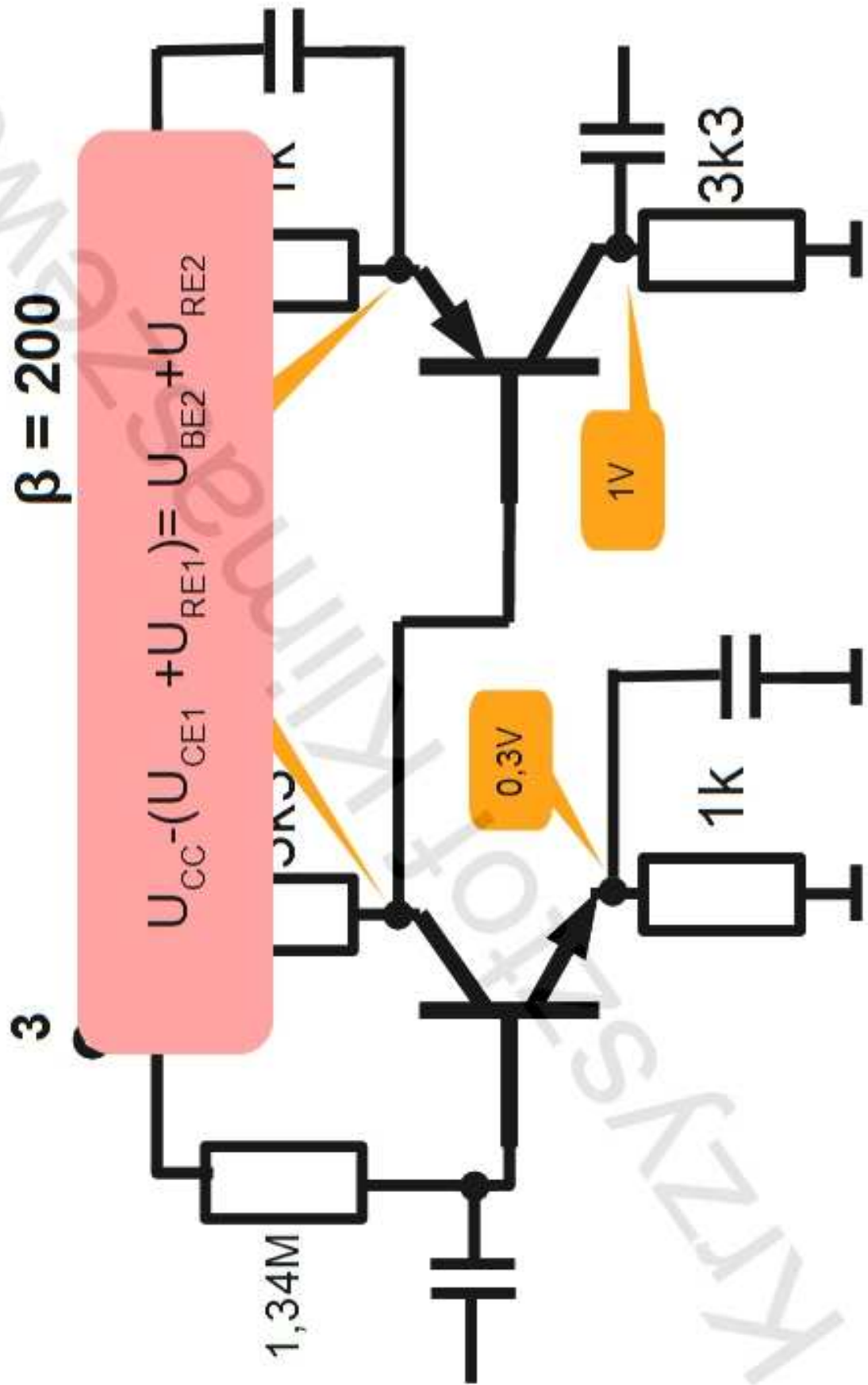
Jeśli stopni jest więcej, można użyć naprzemienne stopni z tranzystorami NPN i PNP, co pozwoli na łatwiejsze uzyskanie odpowiedniej polaryzacji (np. większe napięcie U_{CE}).



Lączanie stopni wzmacniaczy



Lączanie stopni wzmacniaczy



Wzmacniacze wielostopniowe

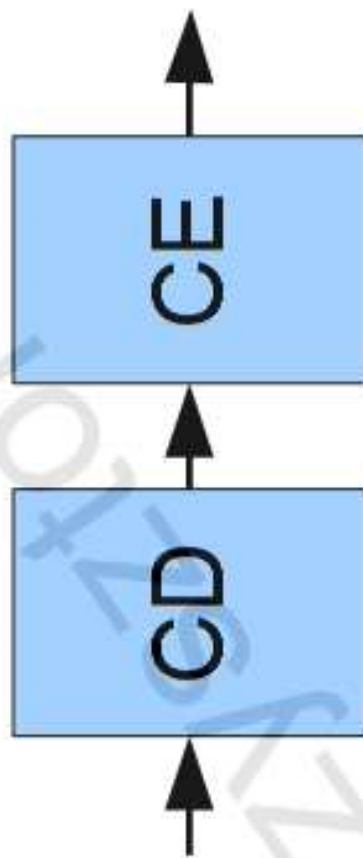
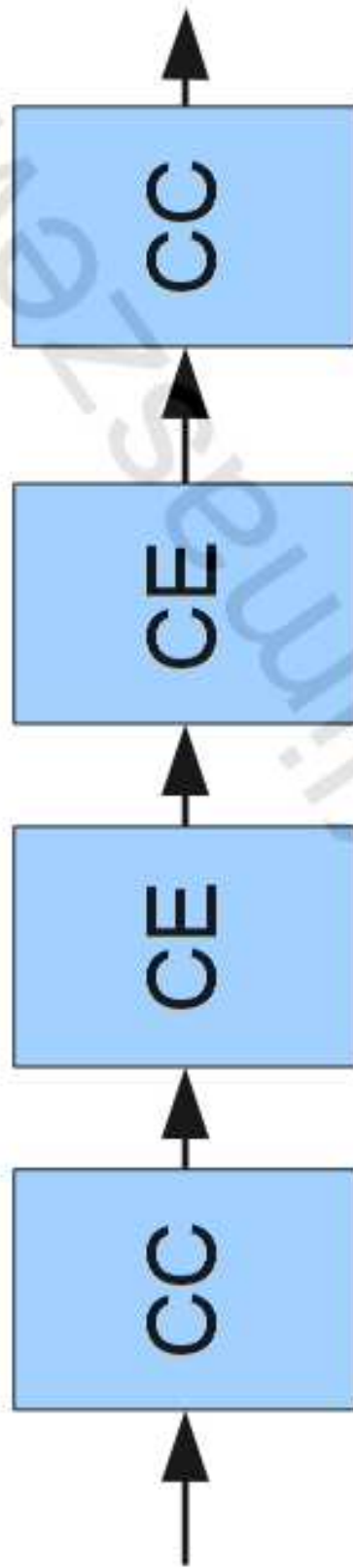
- Używając różnych konfiguracji (CE, CC, CD, CS) (CB i CG używane są rzadziej, w specjalnych zastosowaniach), możemy uzyskać żąданie wzmacnienie i rezystancje wejściowe i wyjściowe

Wzmacniacze wielostopniowe

- Używając różnych konfiguracji (CE, CC, CD, CS) (CB i CG używane są rzadziej, w specjalnych zastosowaniach), możemy uzyskać żąданie wzmacnienie i rezystancje wejściowe i wyjściowe

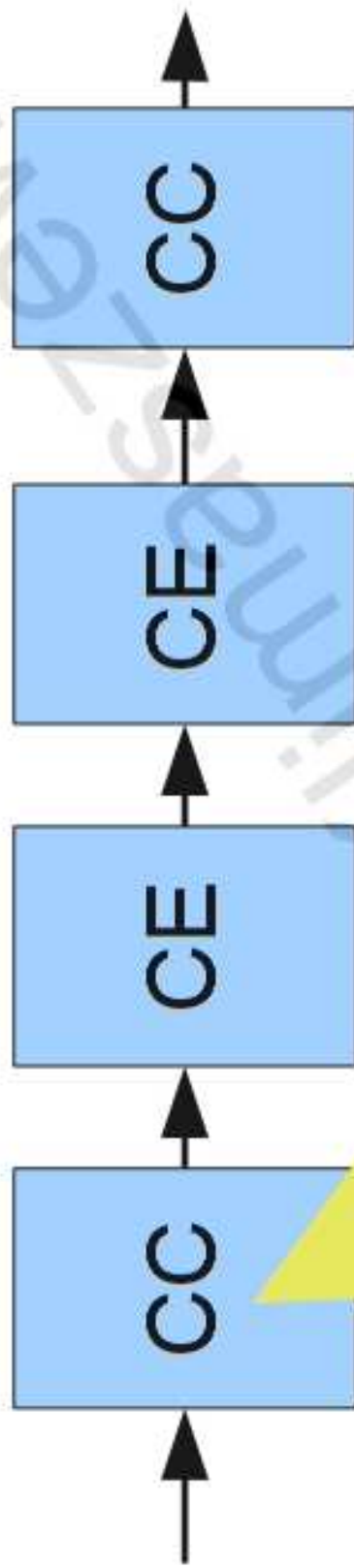
wzmocnienie napięciowe	R _{we}	R _{wy}
CE duże odwraca fazę	średnie	średnie
CC ~1	duże	małe
CB duże	małe	duże

Wzmacniacze wielostopniowe



Ku	Rw _e	Rwy
CE - duże	średnie	średnie
CC	~1	duże
CB	duże	małe
		duże

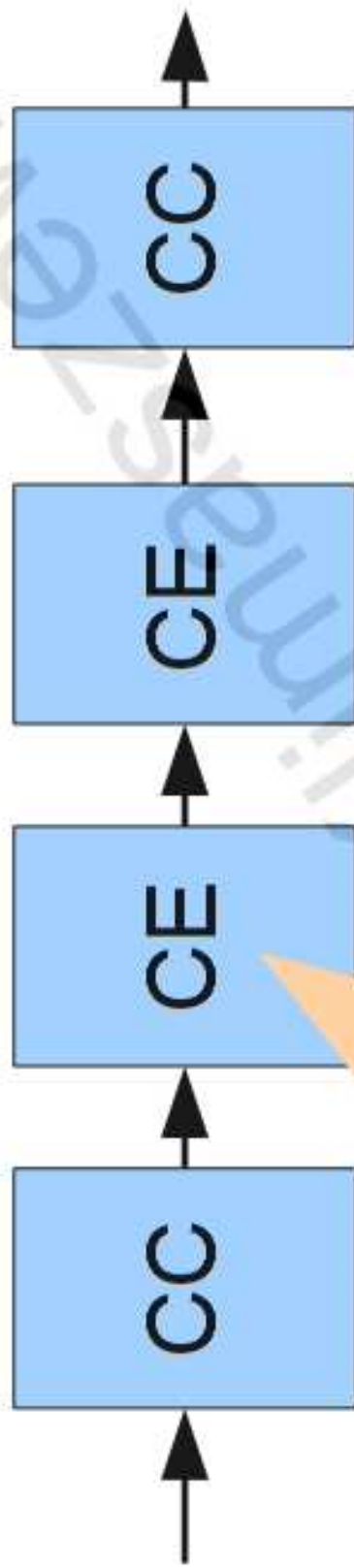
Wzmacniacze wielostopniowe



Duża rezystancja wejściowa

	Ku	Rwe	Rwy
CE - duże	- duże	średnie	średnie
CC	~1	duże	małe
CB	duże	małe	duże

Wzmacniacze wielostopniowe

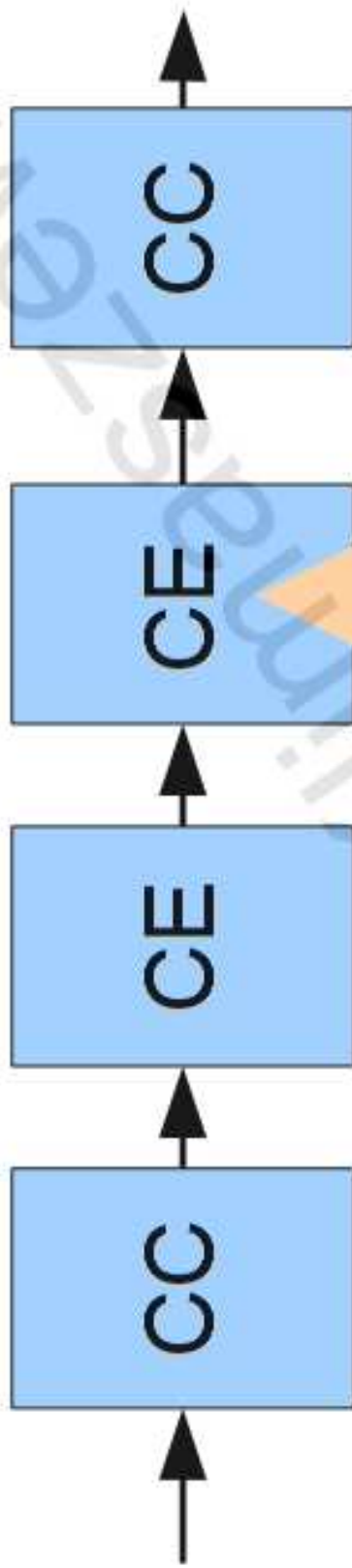


wzmocnienie napięciowe



	Ku	Rw _e	Rwy
CE - duże	- duże	średnie	średnie
CC	~1	duże	małe
CB	duże	małe	duże

Wzmacniacze wielostopniowe

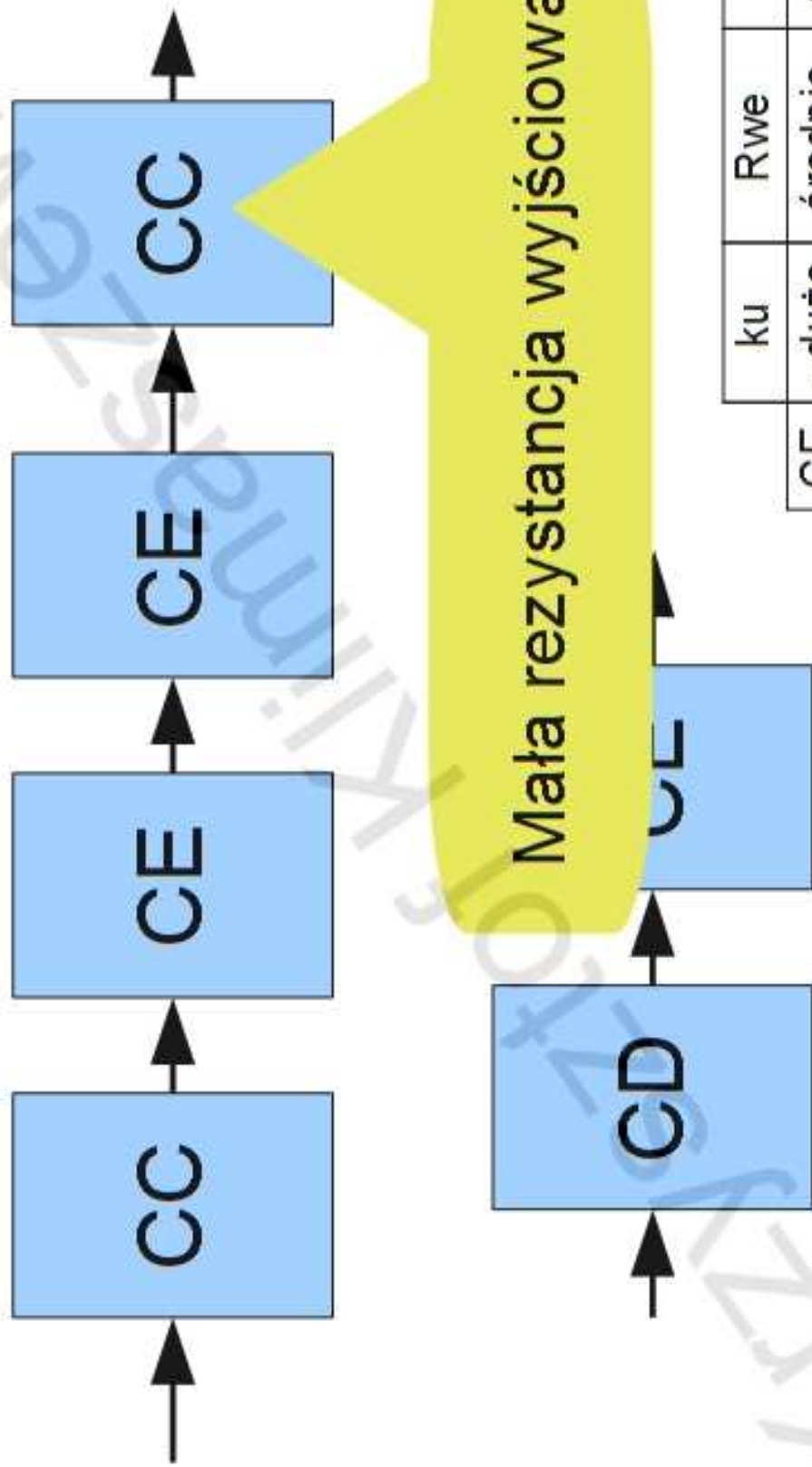


wzmacnienie napięciowe



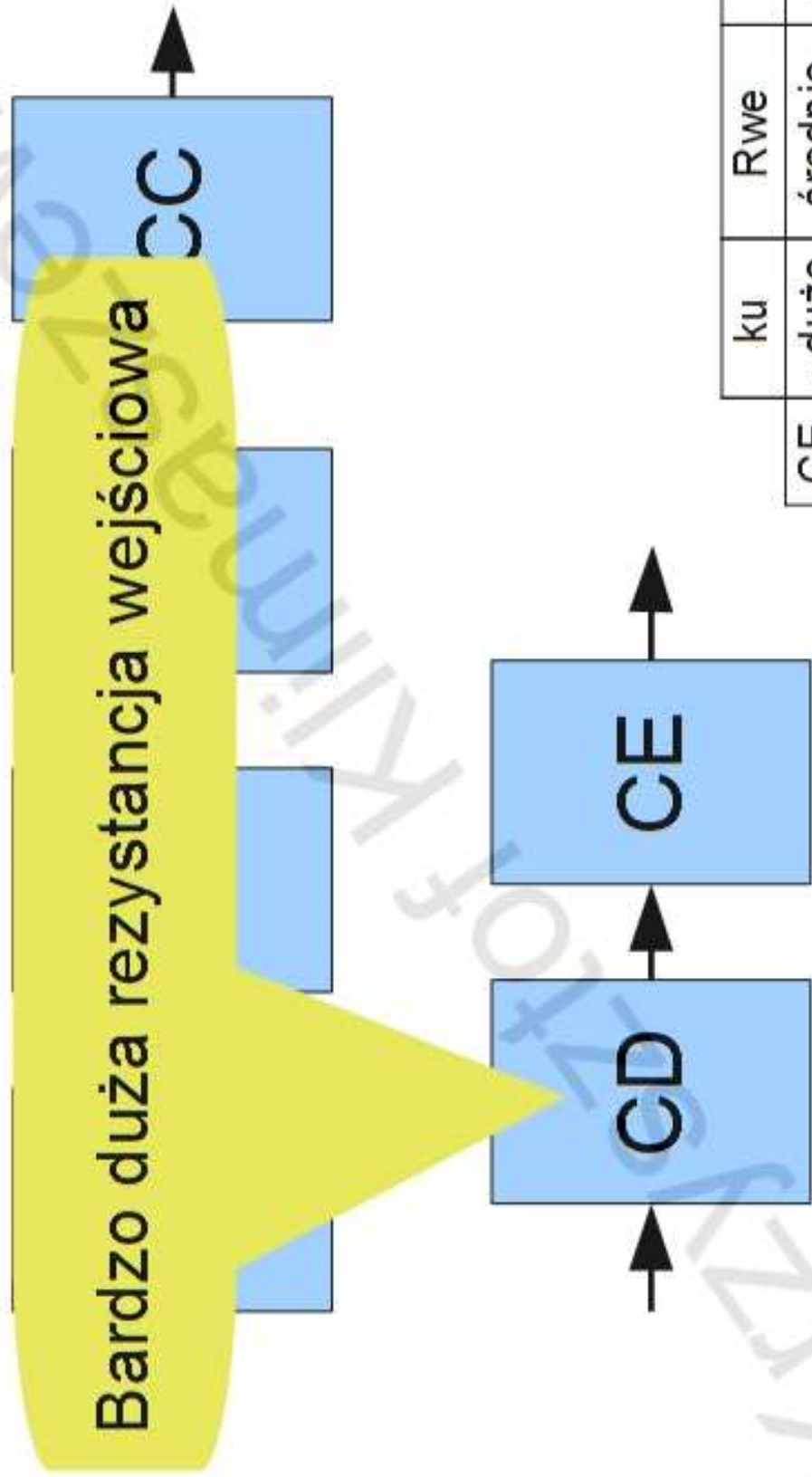
	Ku	R _{we}	Rwy
CE - duże	- duże	średnie	średnie
CC	~1	duże	małe
CB	duże	małe	duże

Wzmacniacze wielostopniowe



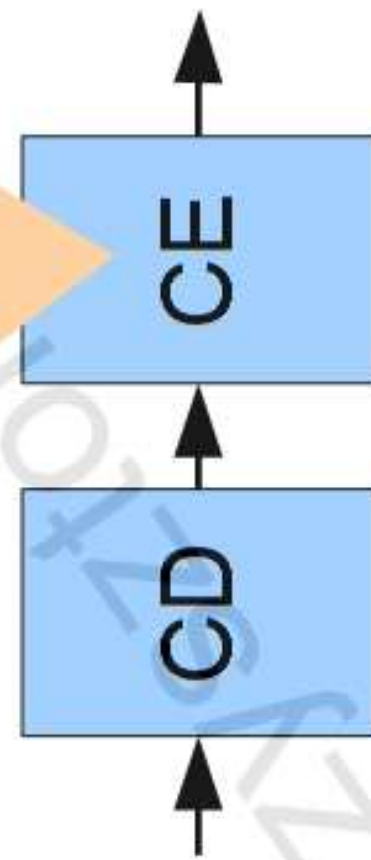
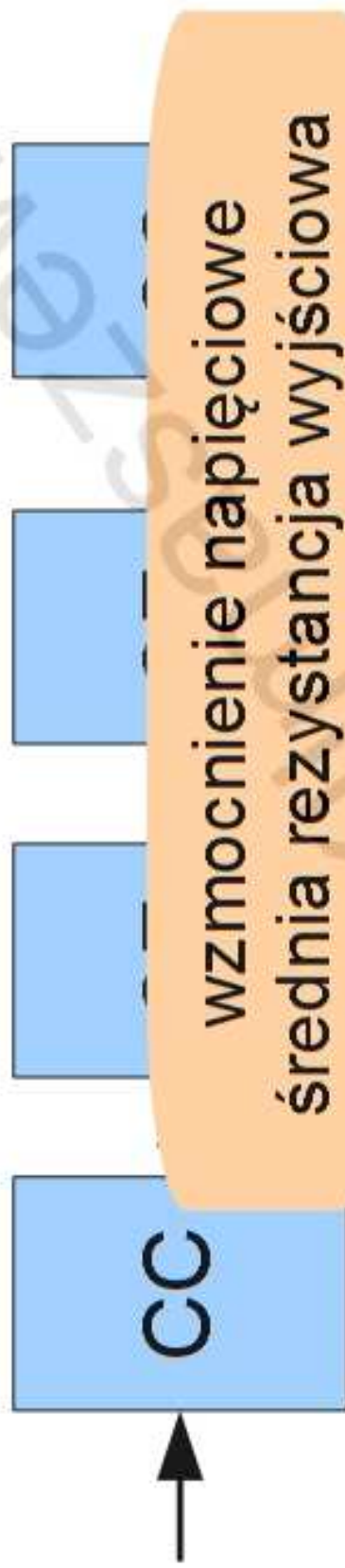
	Ku	Rw _e	Rwy
CE - duże	- duże	średnie	średnie
CC	~1	duże	małe
CB	duże	małe	duże

Wzmacniacze wielostopniowe



	Ku	R _{we}	Rwy
CE - duże	- duże	średnie	średnie
CC	~1	duże	małe
CB	duże	małe	duże

Wzmacniacze wielostopniowe

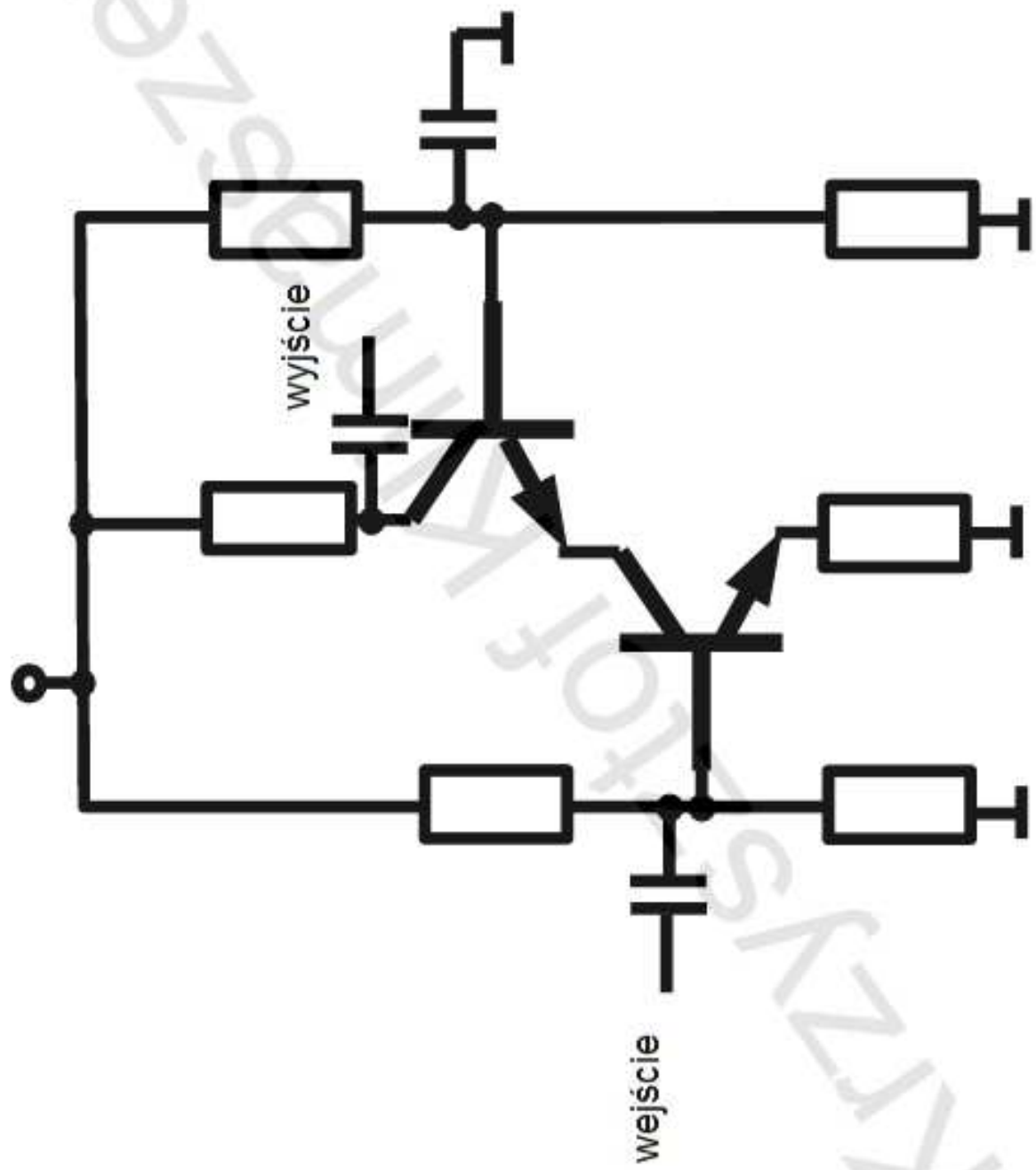


	Ku	R _{we}	Rwy
CE - duże	średnie	średnie	średnie
CC	~1	duże	małe
CB	duże	małe	duże

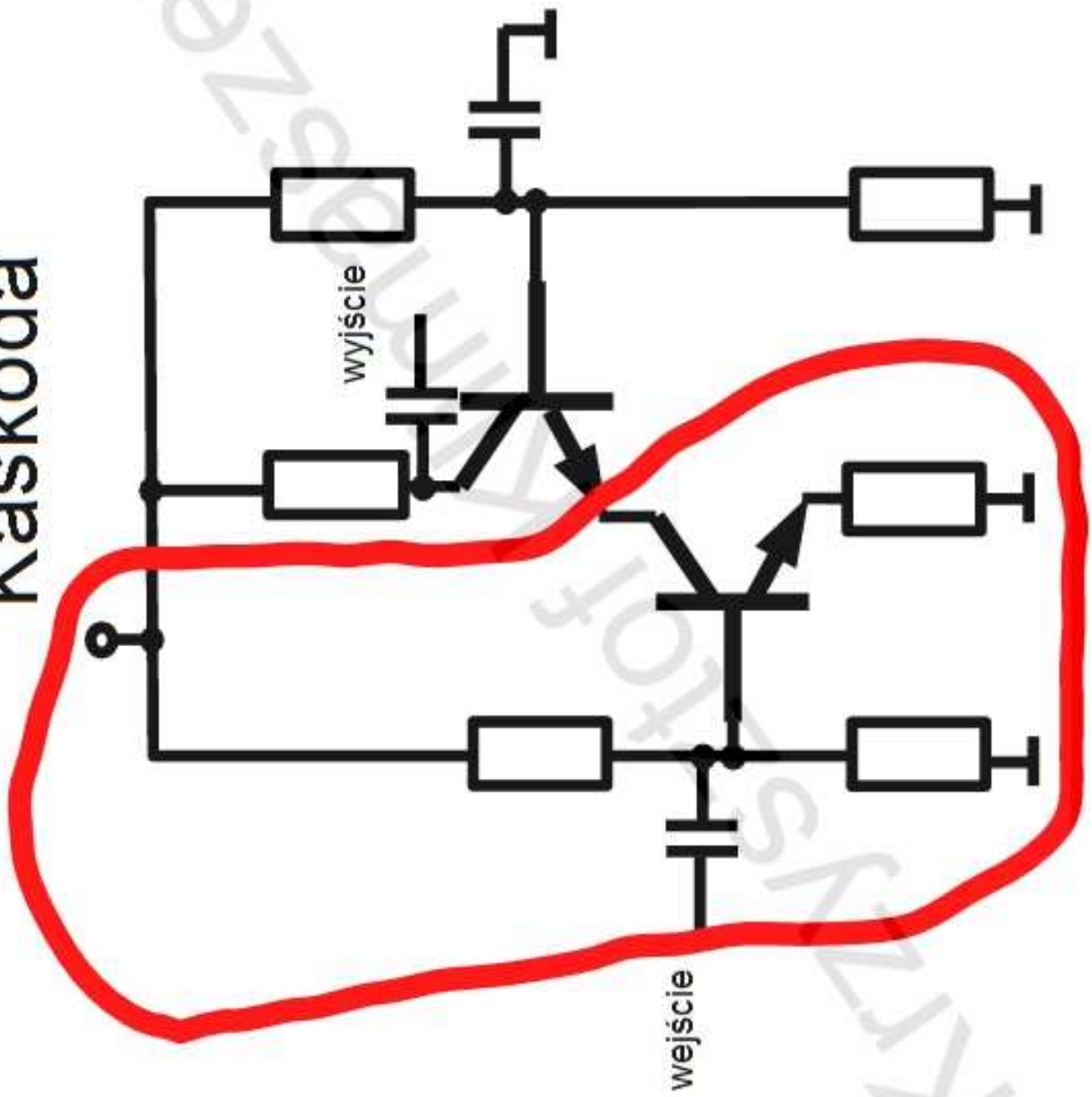
Kaskoda

- Połączenie CE + CB
- użyteczne ze względu na dobrze właściwości częstotliwościowe i liniowość

Kaskoda

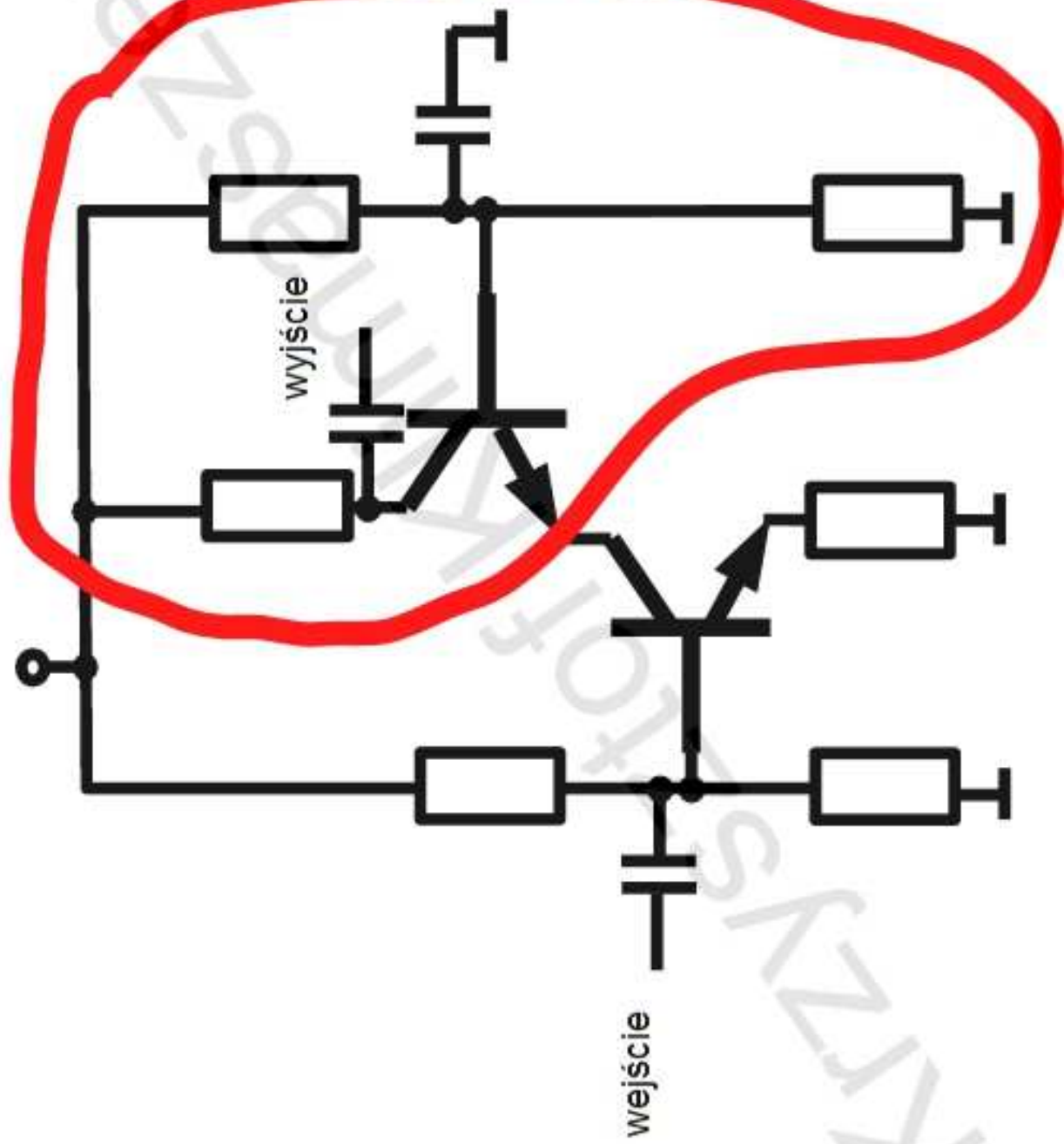


Kaskoda
CE

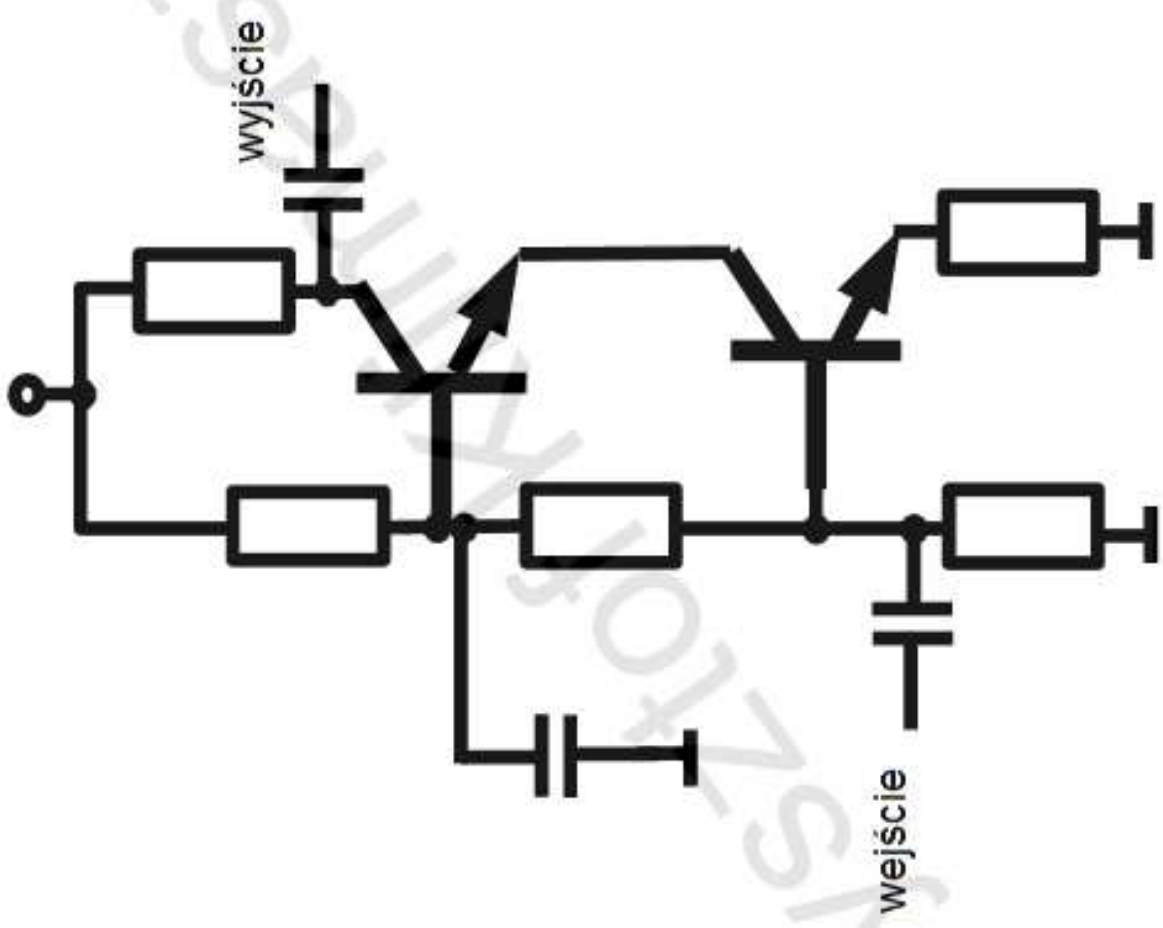


Kaskoda

CB



Kaskoda



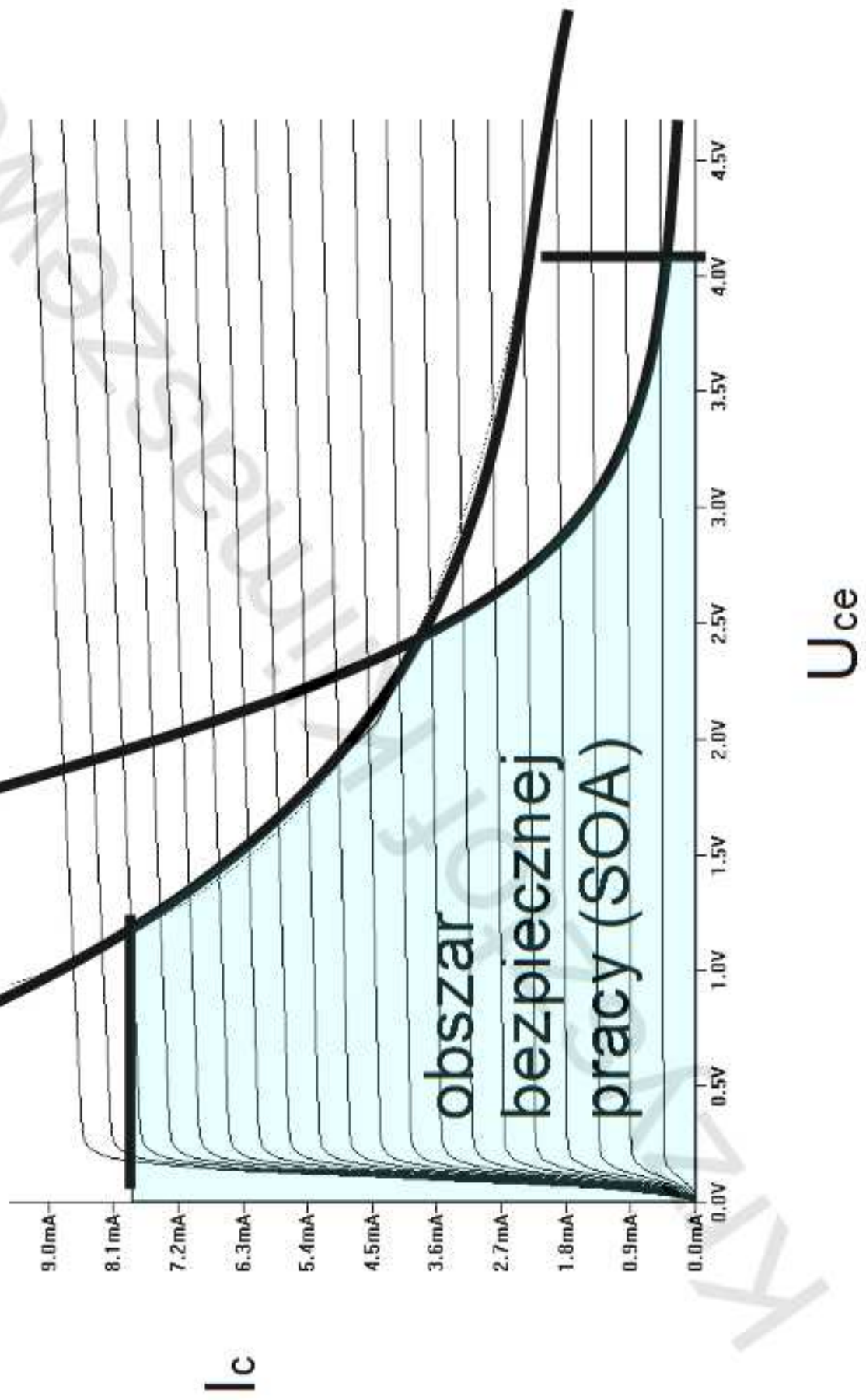
Wzmacniacz mocy

Krysztof Klimaszewski

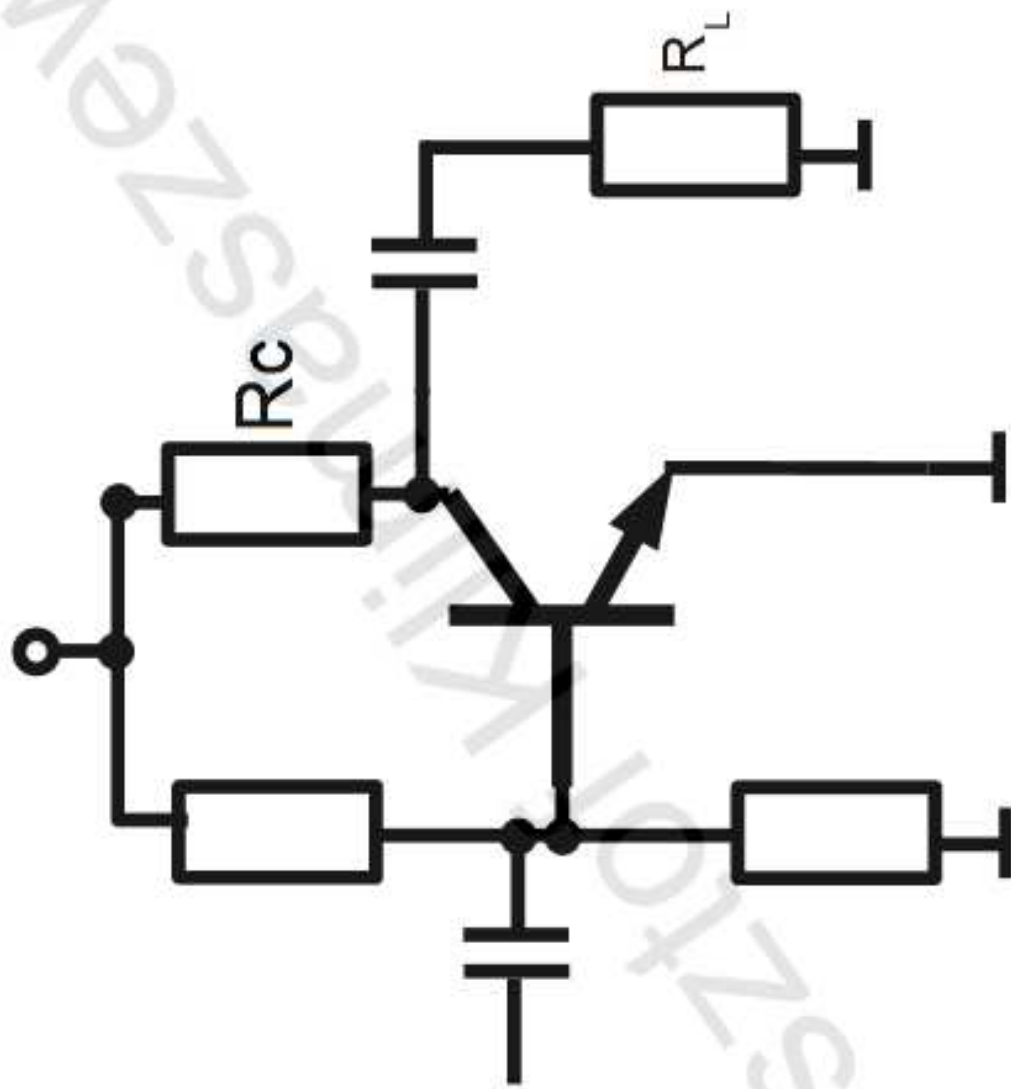
Wzmacniacze mocy

- Sygnały na tyle duże, że nie można zaniedbać wpływu obciążenia na pracę układu
 - różne linie obciążenia dla prądów DC i AC

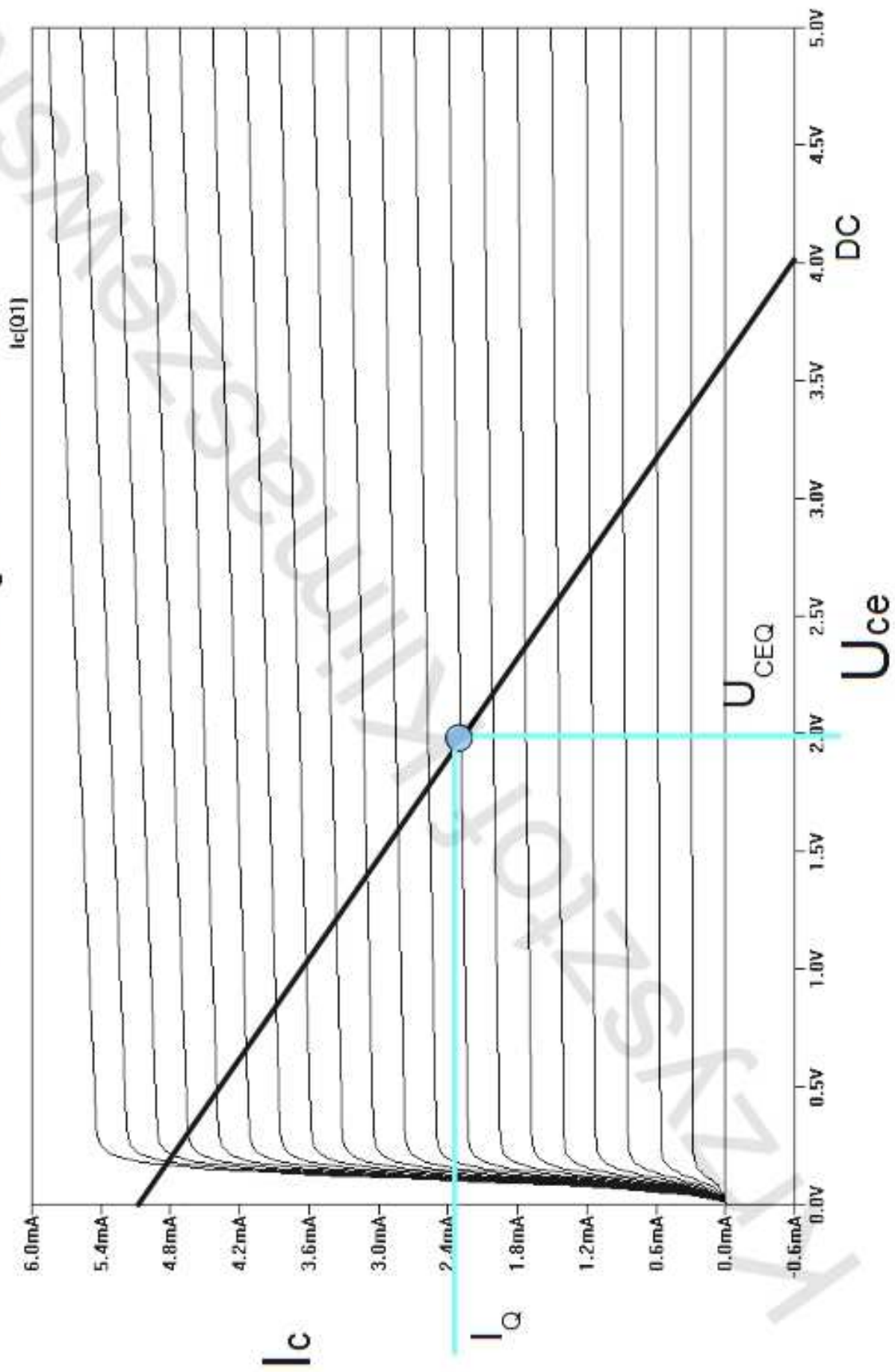
Linia obciążenia



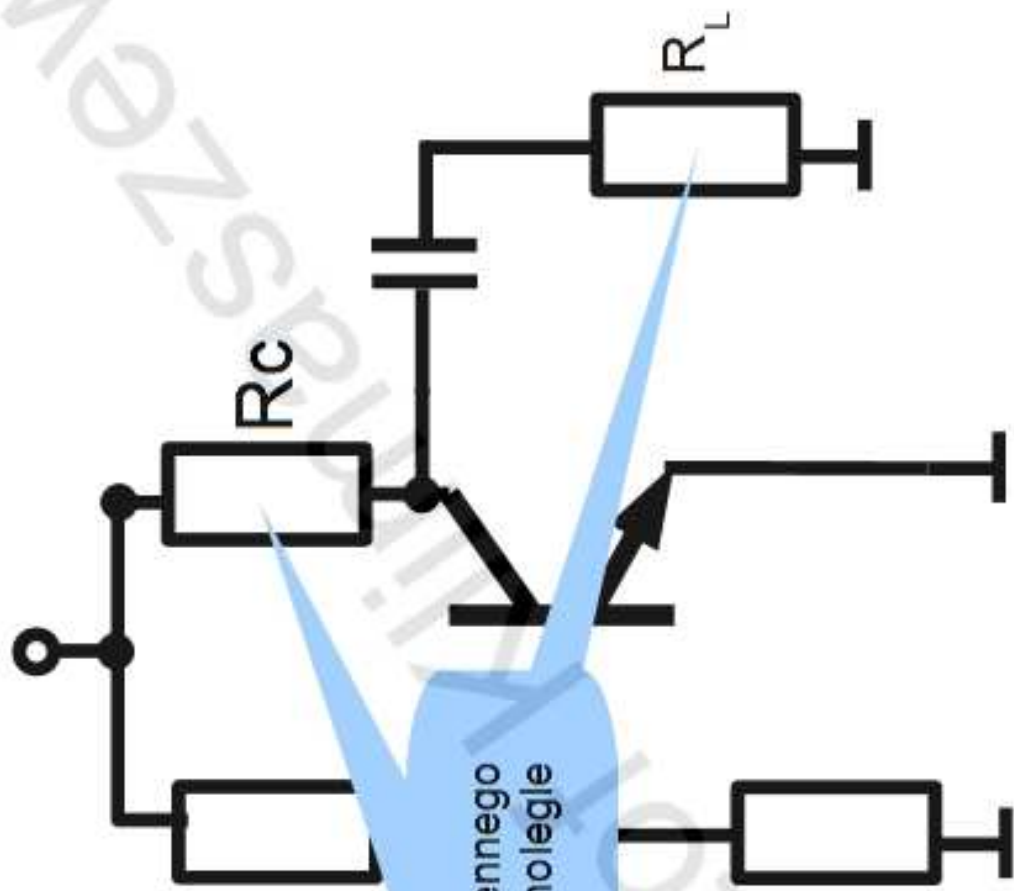
Przykładowy wzmacniacz



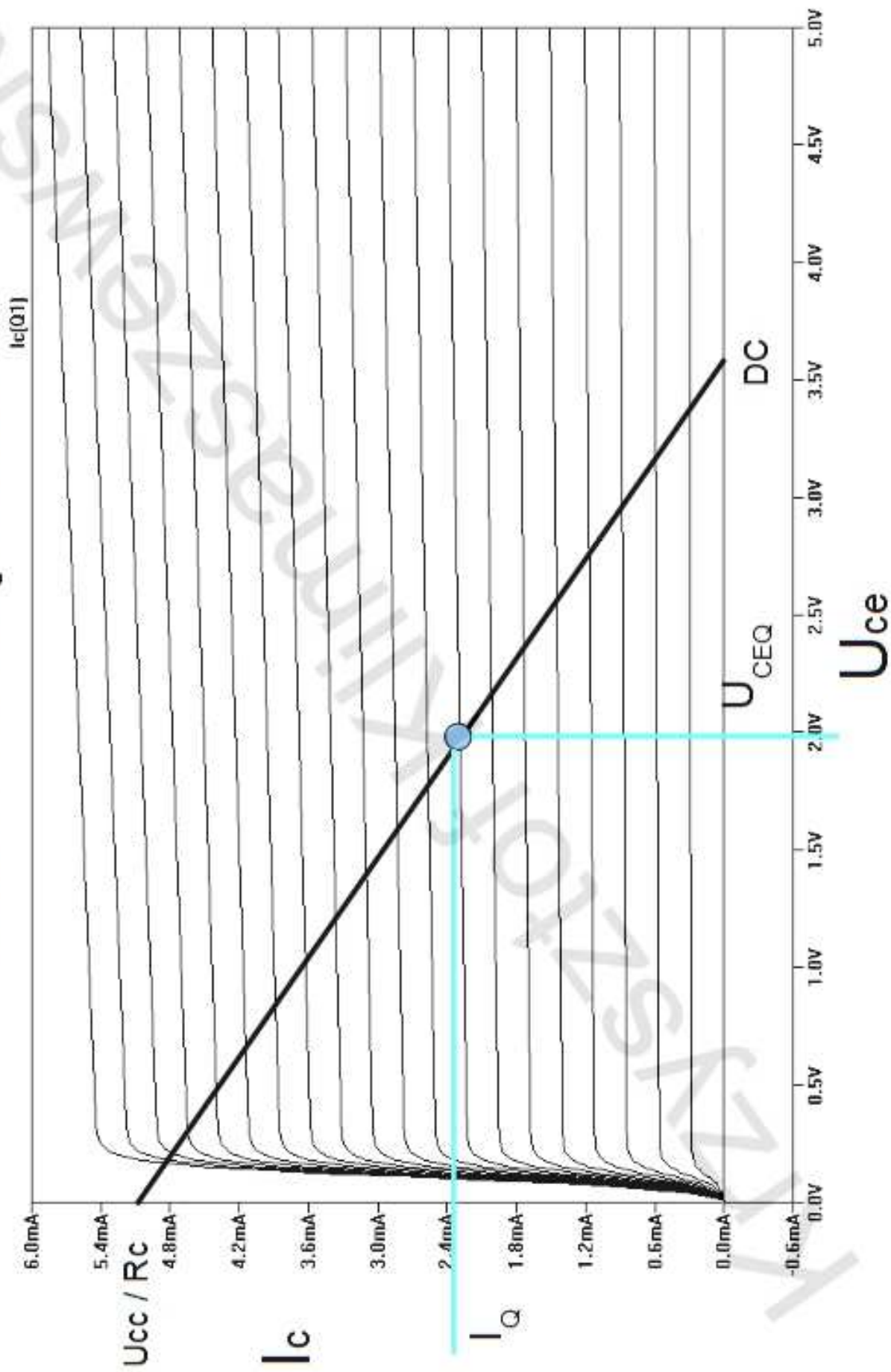
Linia obciążenia



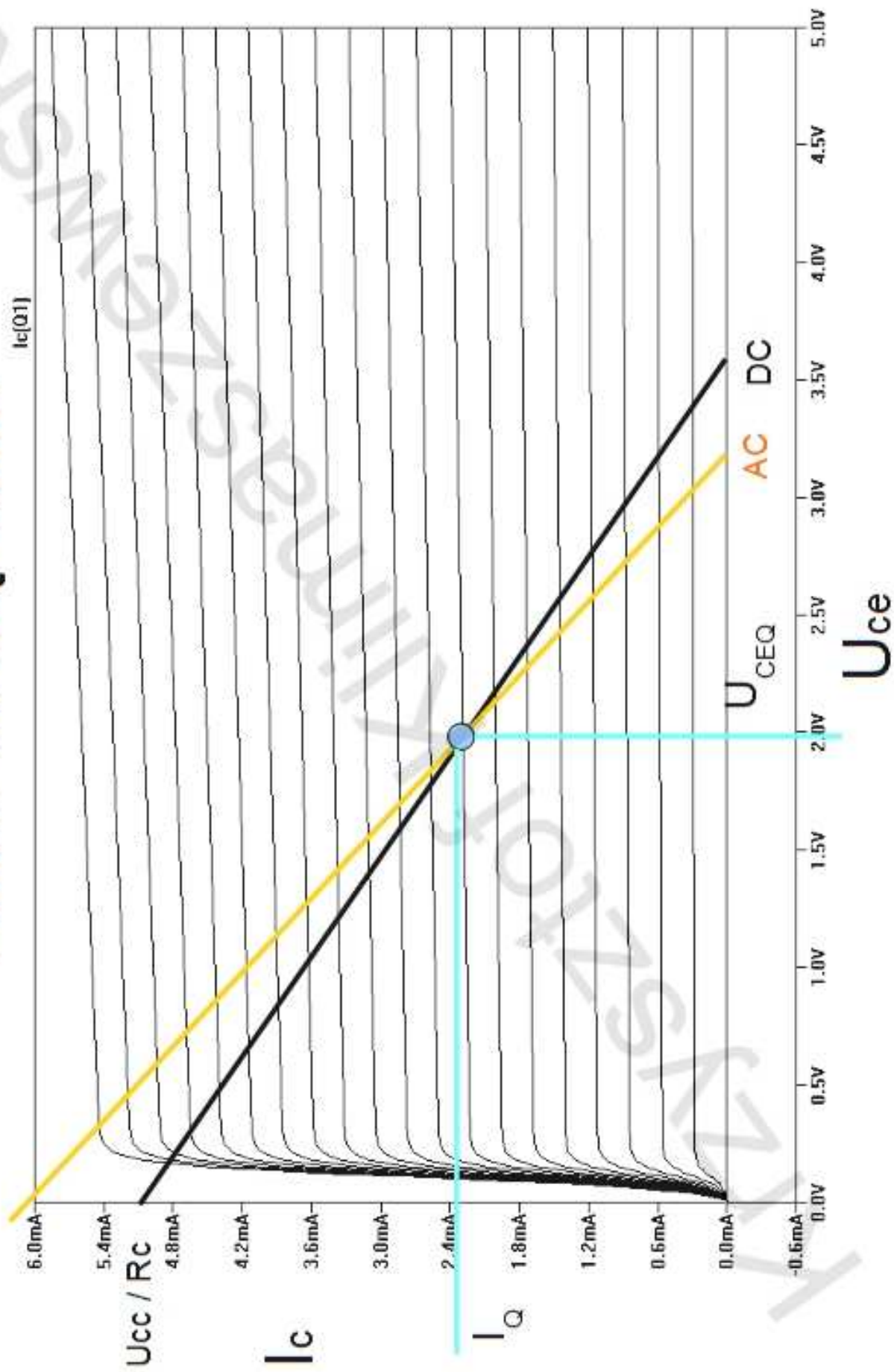
Przykładowy wzmacniacz



Linia obciążenia



Linia obciążenia



Linia obciążenia

$$I_Q + U_{CEQ} / (R_C \parallel R_L)$$

$Ic[\Omega]$

napięcie U_{CE} musi spaść z

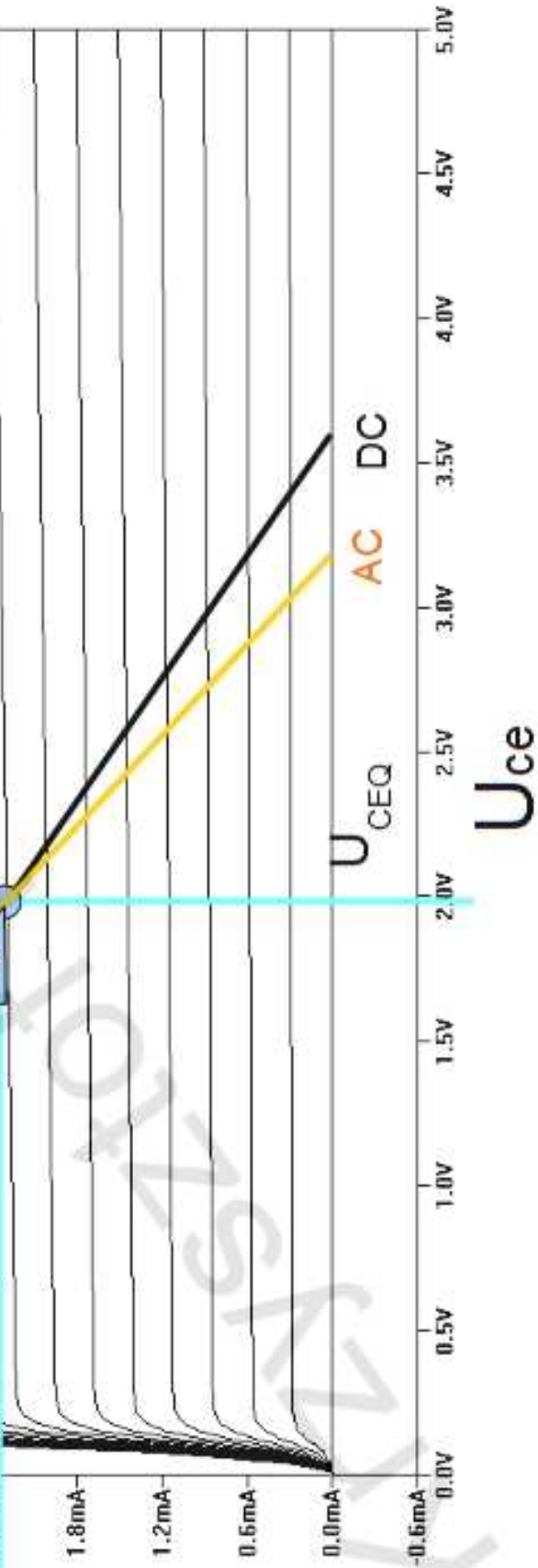
wartości U_{CEQ} do 0 przy

obciążeniu $R_{L(AC)}$

$$\tan(a) = 1/(R_C \parallel R_L)$$

I_c

I_Q



Linia obciążenia

$$I_Q + U_{CEQ} / (R_c \parallel R_L)$$

$I_C [mA]$

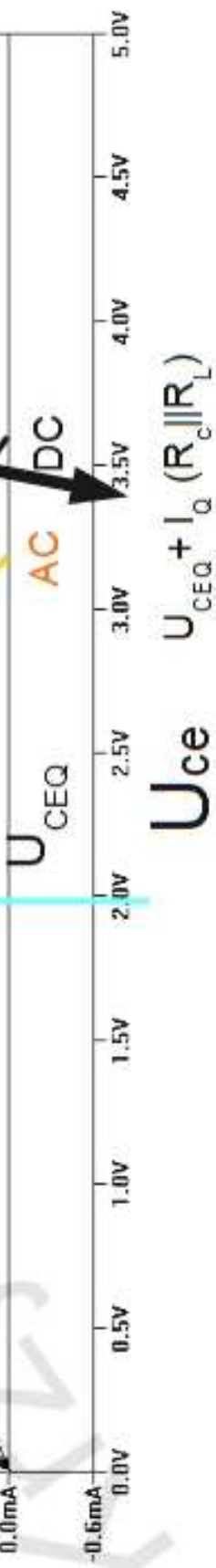
prąd I_C musi spaść z
wartością I_Q do 0 przy
obciążeniu $R_{L(AC)}$
 $\text{ctg}(a) = (R_c \parallel R_L)$

$$U_{CC} / R_C$$

I_C

I_Q

$$I_Q = 2.4 \text{ mA}$$



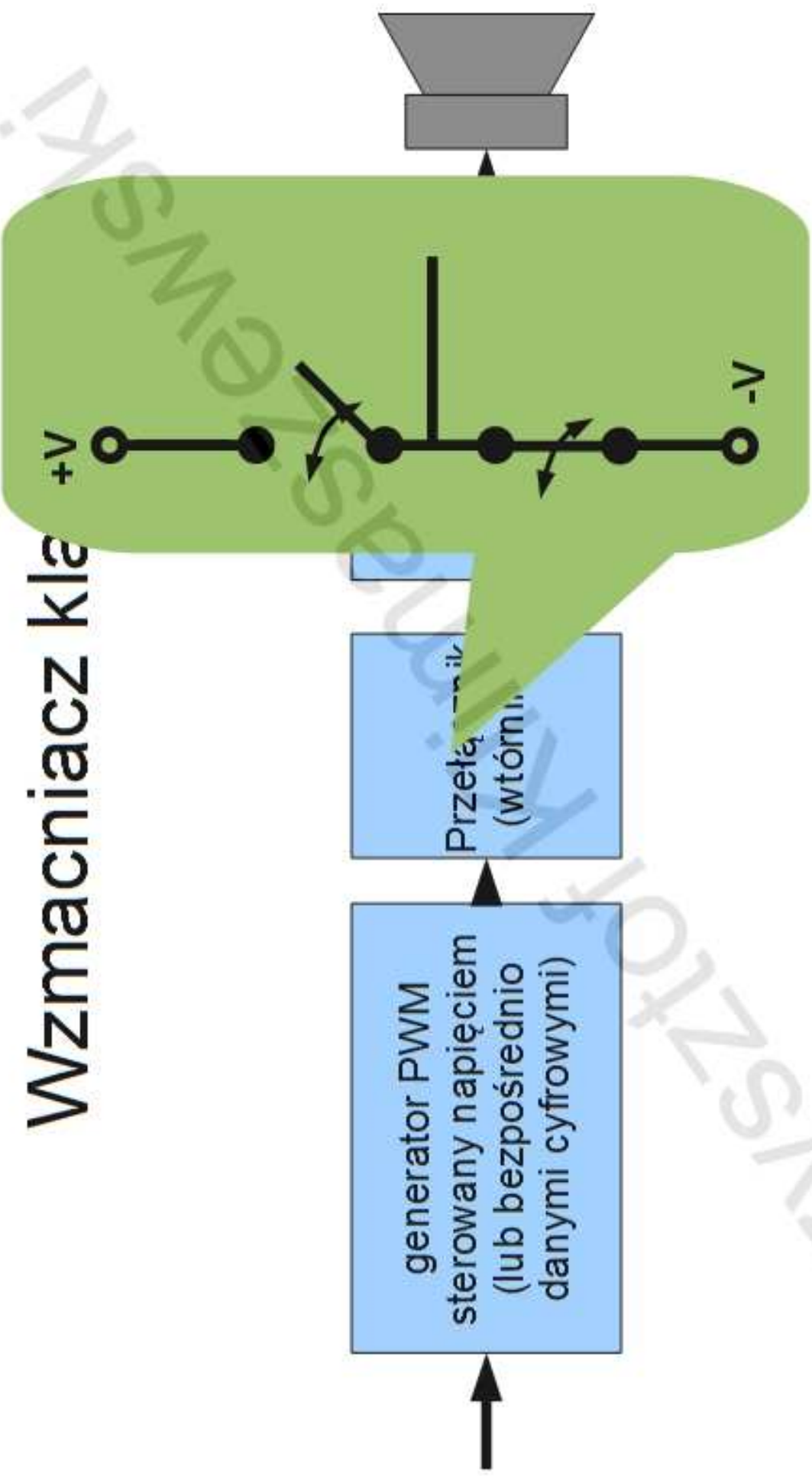
Wzmacniacz klasy D

- Nie próbuje odwzorować dokładnie napięcia wejściowego
- Zmienia wypełnienie PROSTOKĄTNEGO przebiegu wyjściowego tak, aby średnia wartość była równa napięciu wejściowemu
- Sygnał prostokątny podawany na filtr dolnoprzepustowy
- Częstotliwość przebiegu prostokątnego musi być dużo większa niż największa częstotliwość przebiegu wejściowego

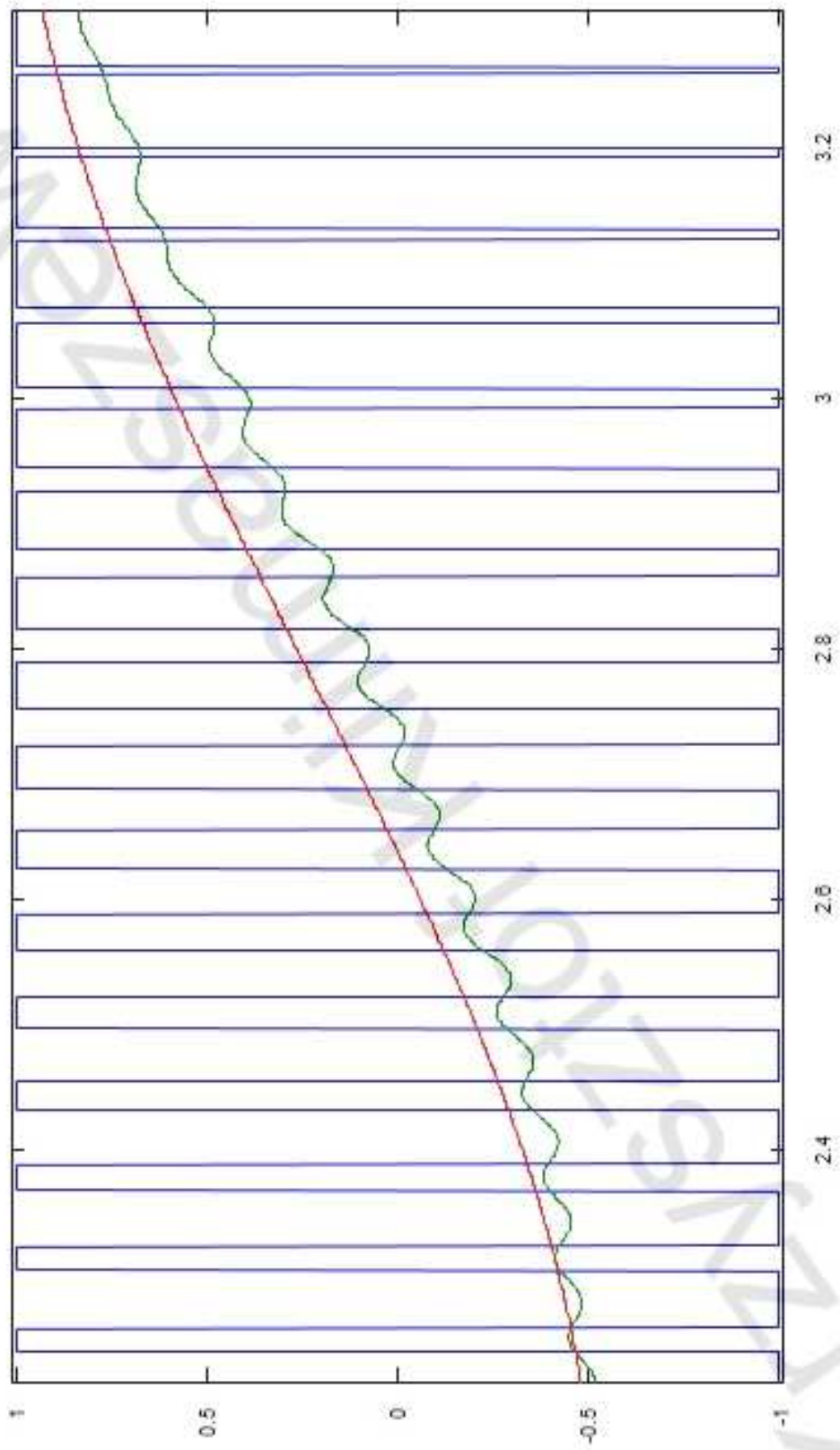
Wzmacniacz klasy D



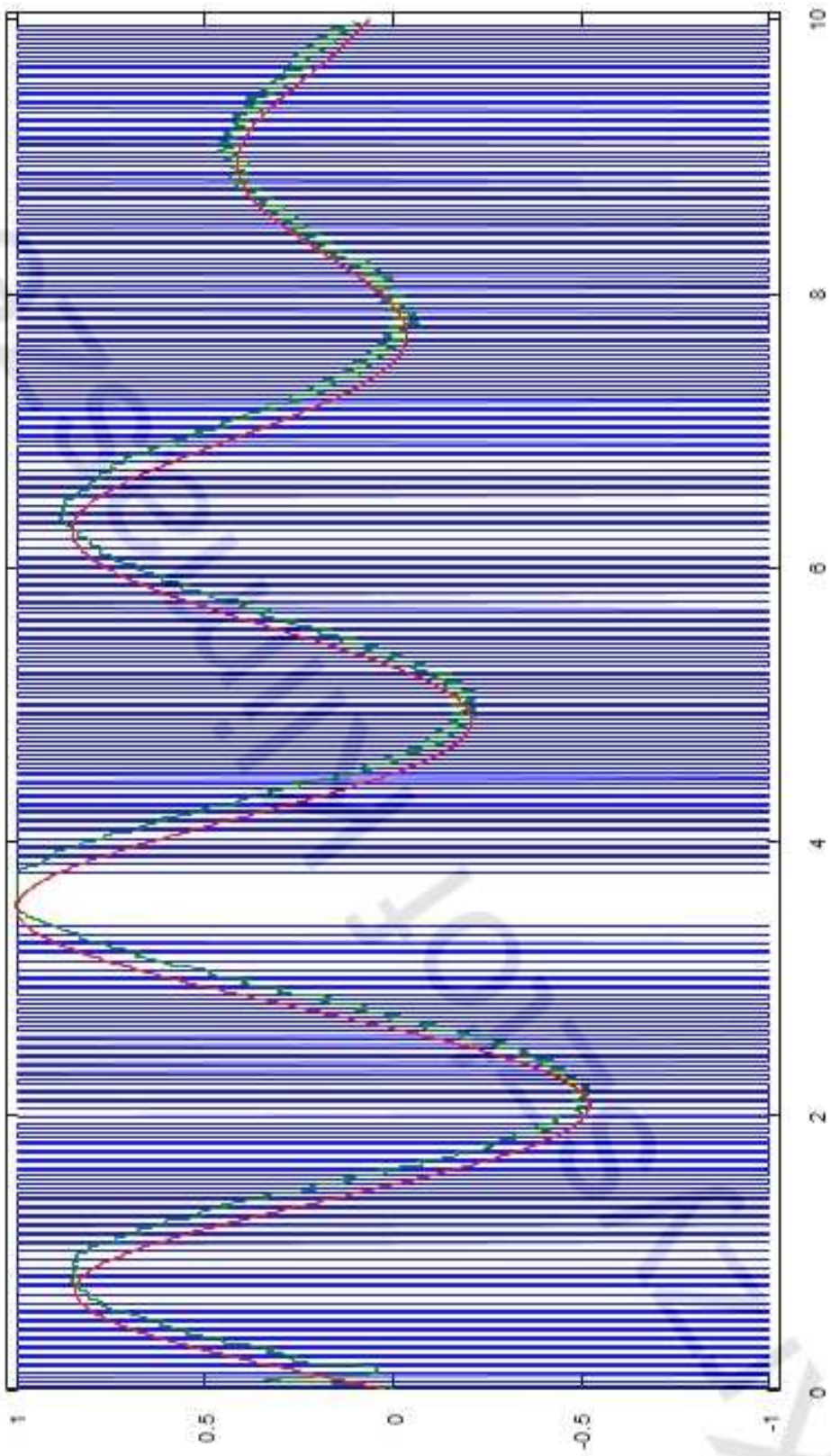
Wzmacniacz klawiszowy



Wzmacniacz klasy D



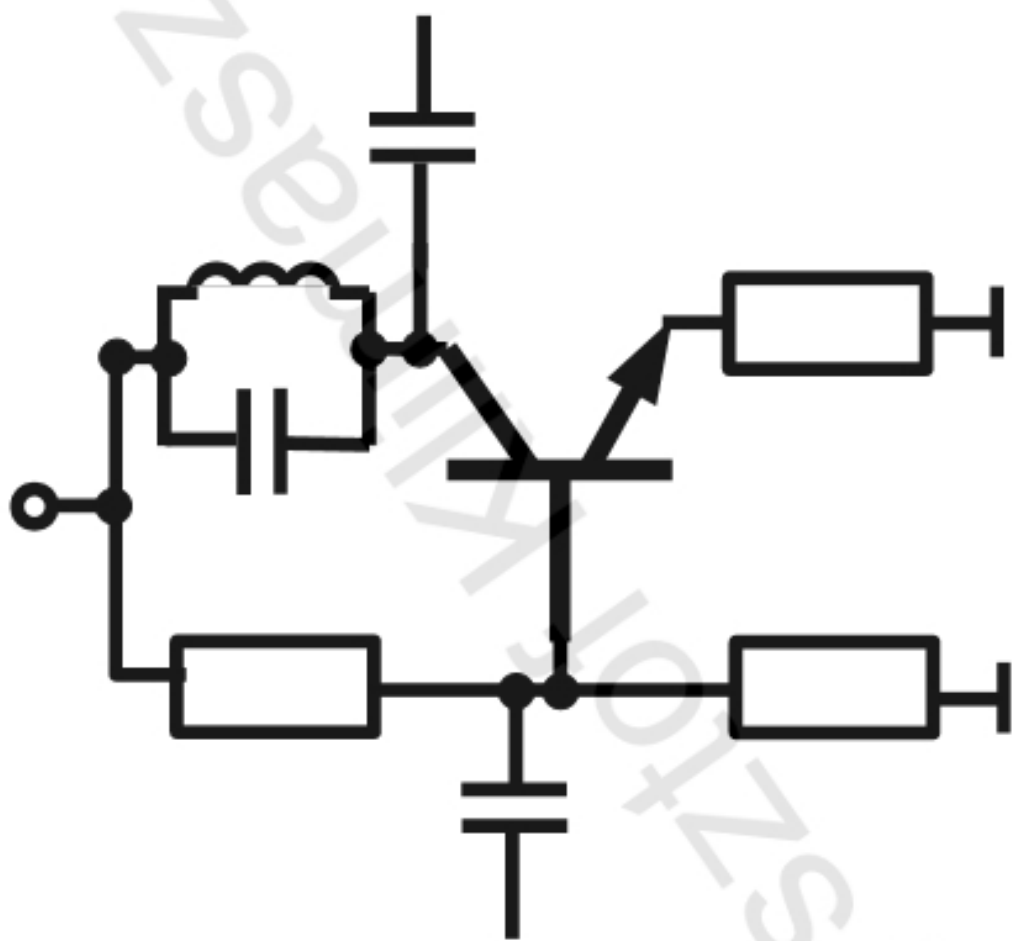
Wzmacniacz klasy D



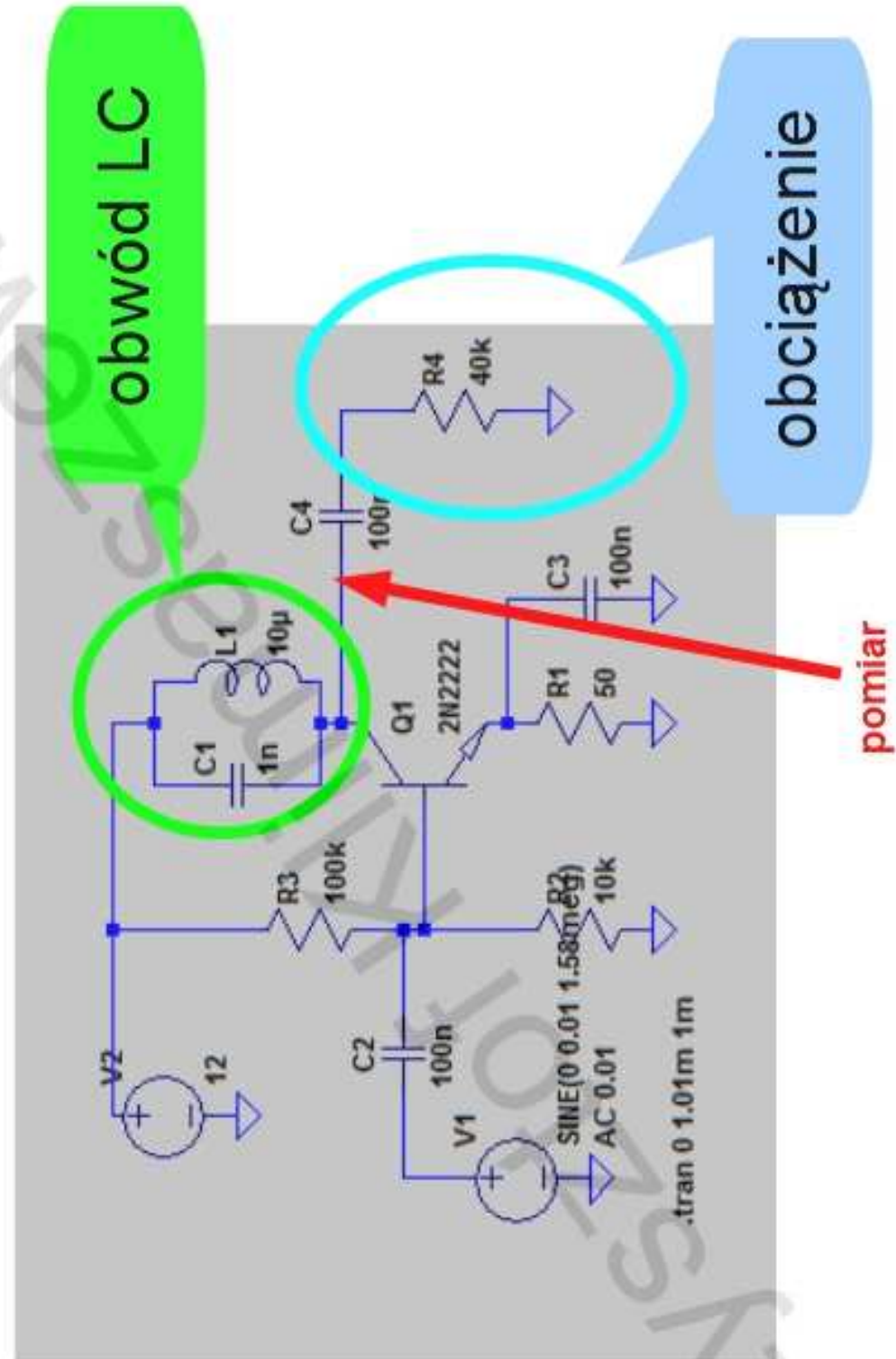
Klasy wzmacniaczy moccy - porównanie

Klasa	zakres fazy przewodzenia pojedynczego elementu wzmacniającego	typowa rzeczywista sprawność
A	360°	5%-20%
B	180°	40% - 70%
AB	210° (typowo)	20% - 40%
D	-	do powyżej 90%

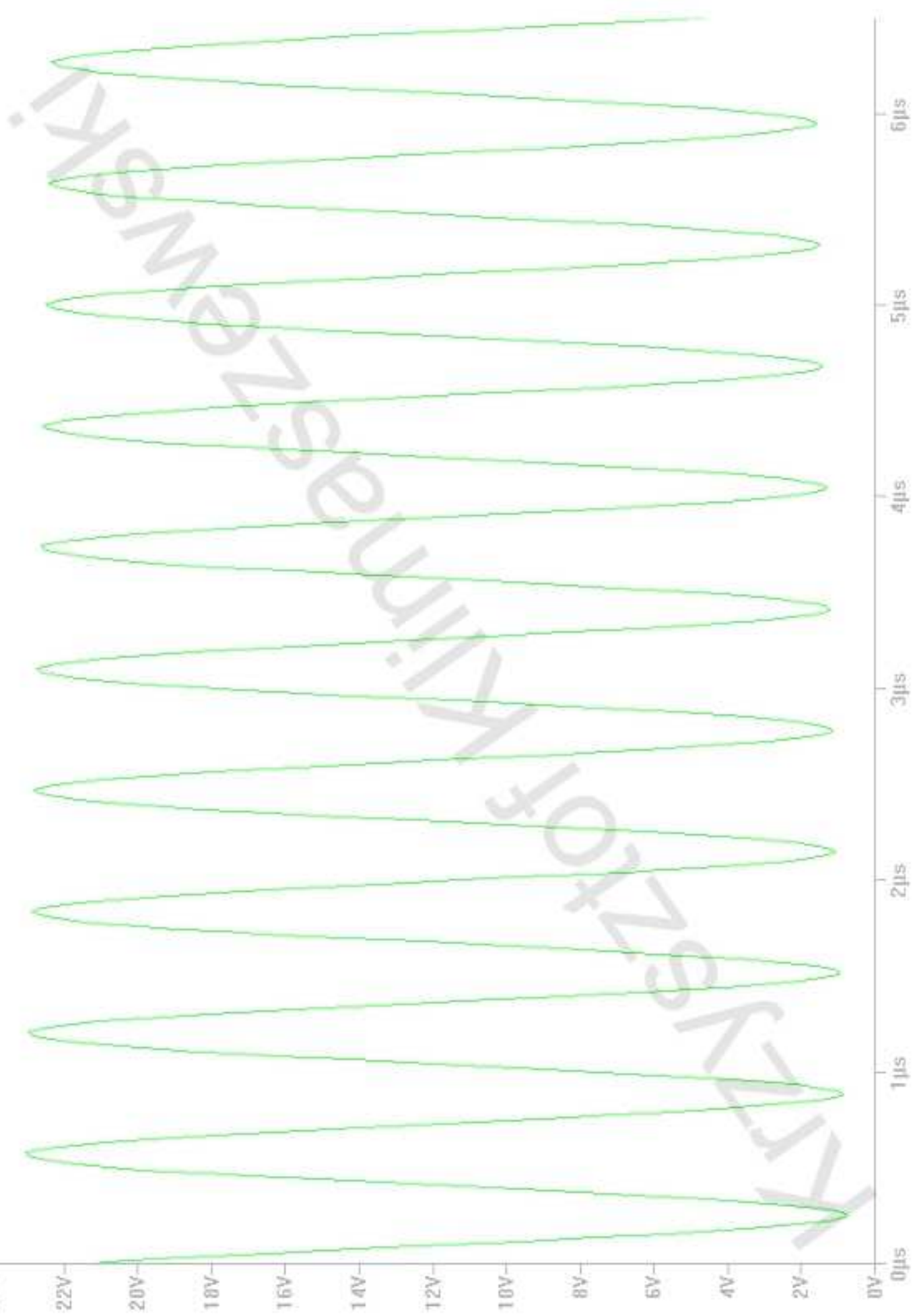
Wzmacniacz z obwodem LC

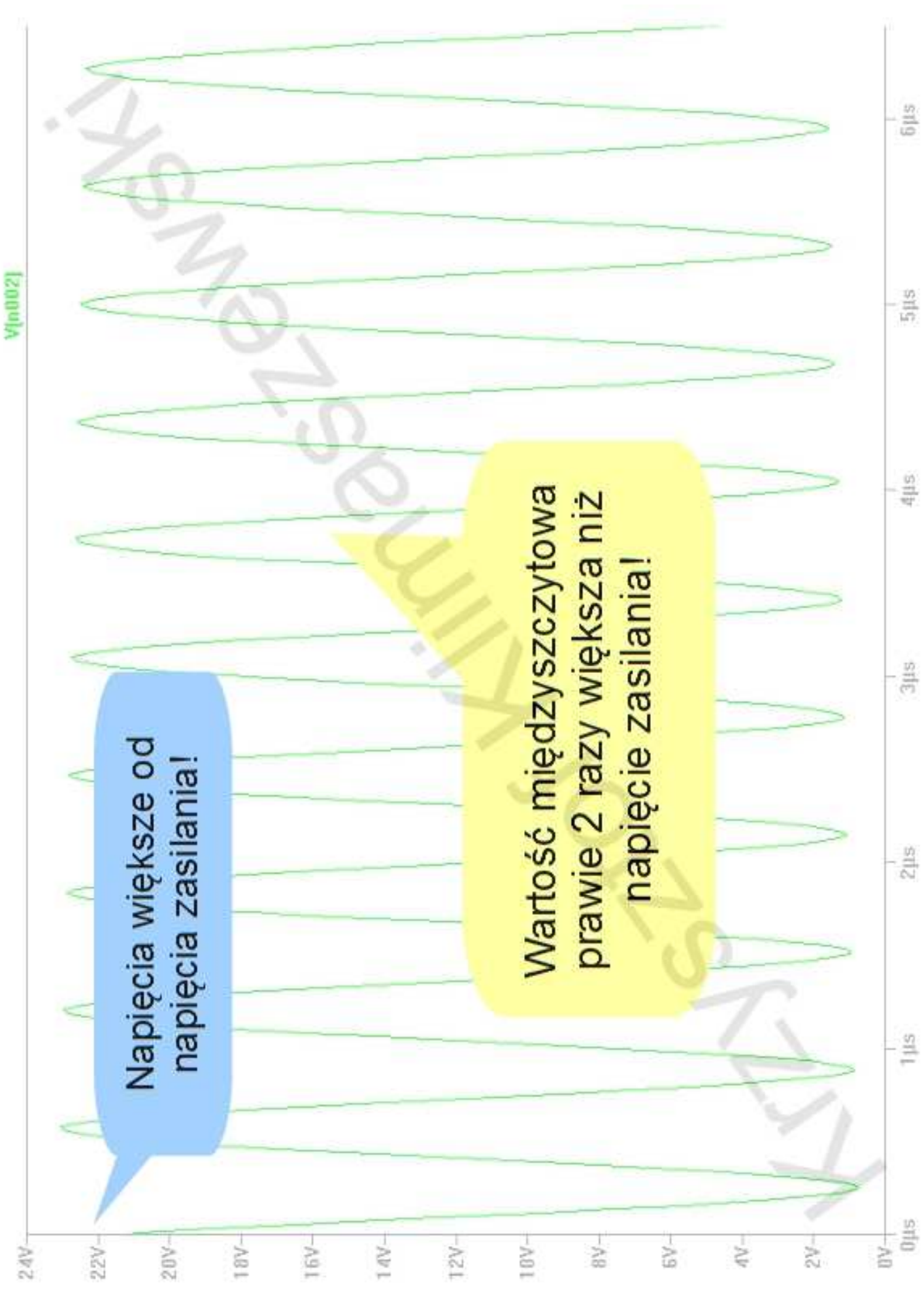


Wzmacniacz z obwodem LC



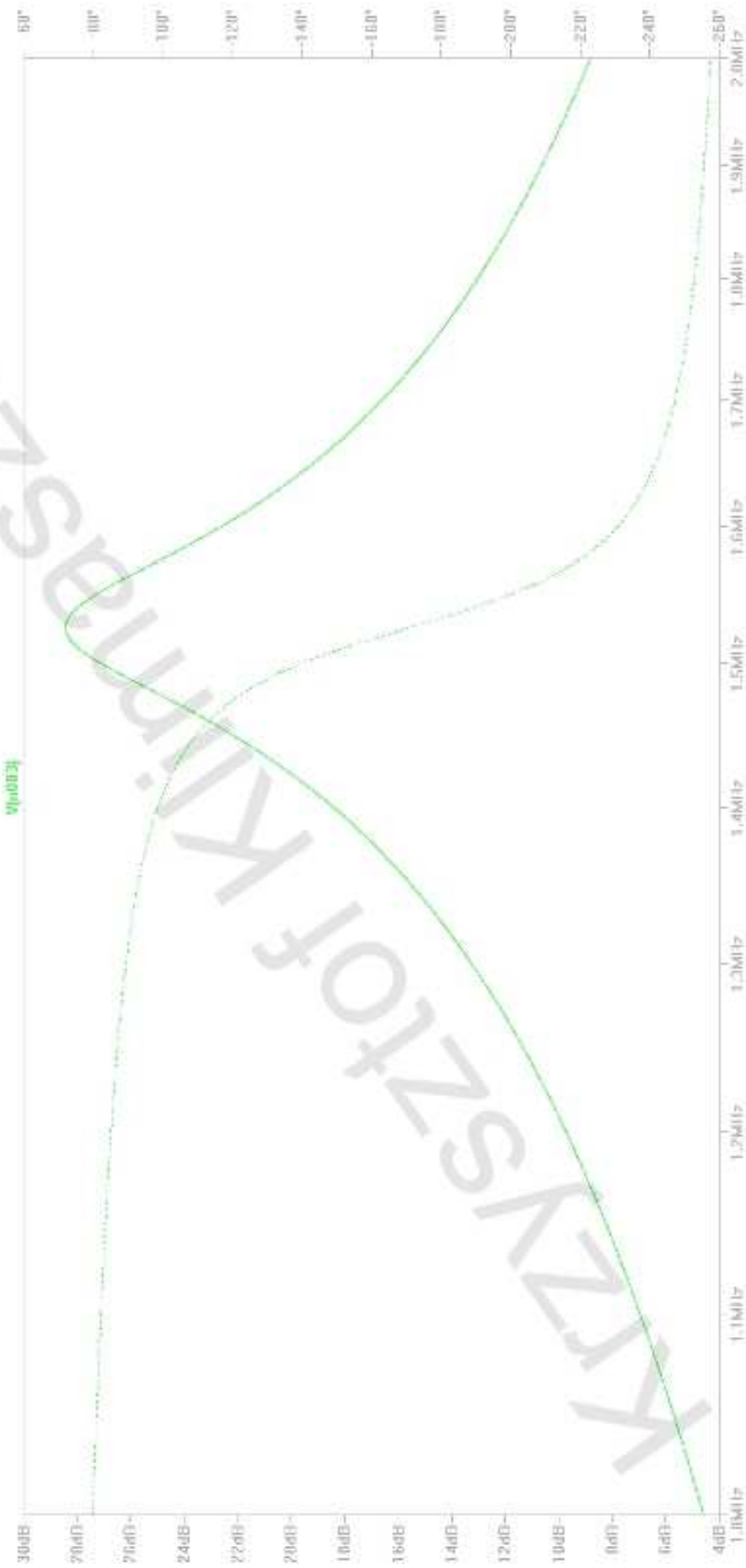
Yield





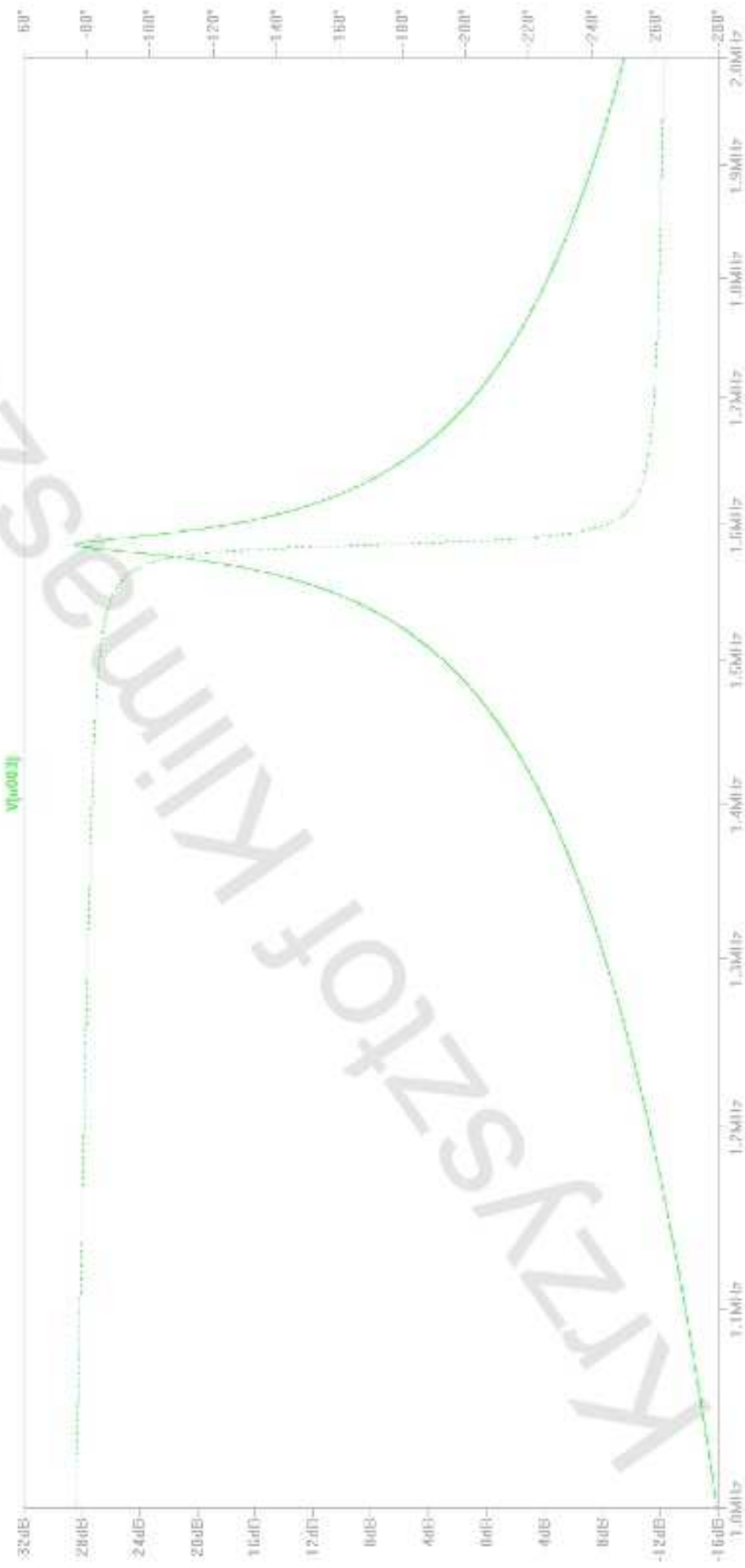
Charakterystyka częstotliwościowa

$$\bullet L = 100\text{uH} \quad C = 0,1\text{nF}$$



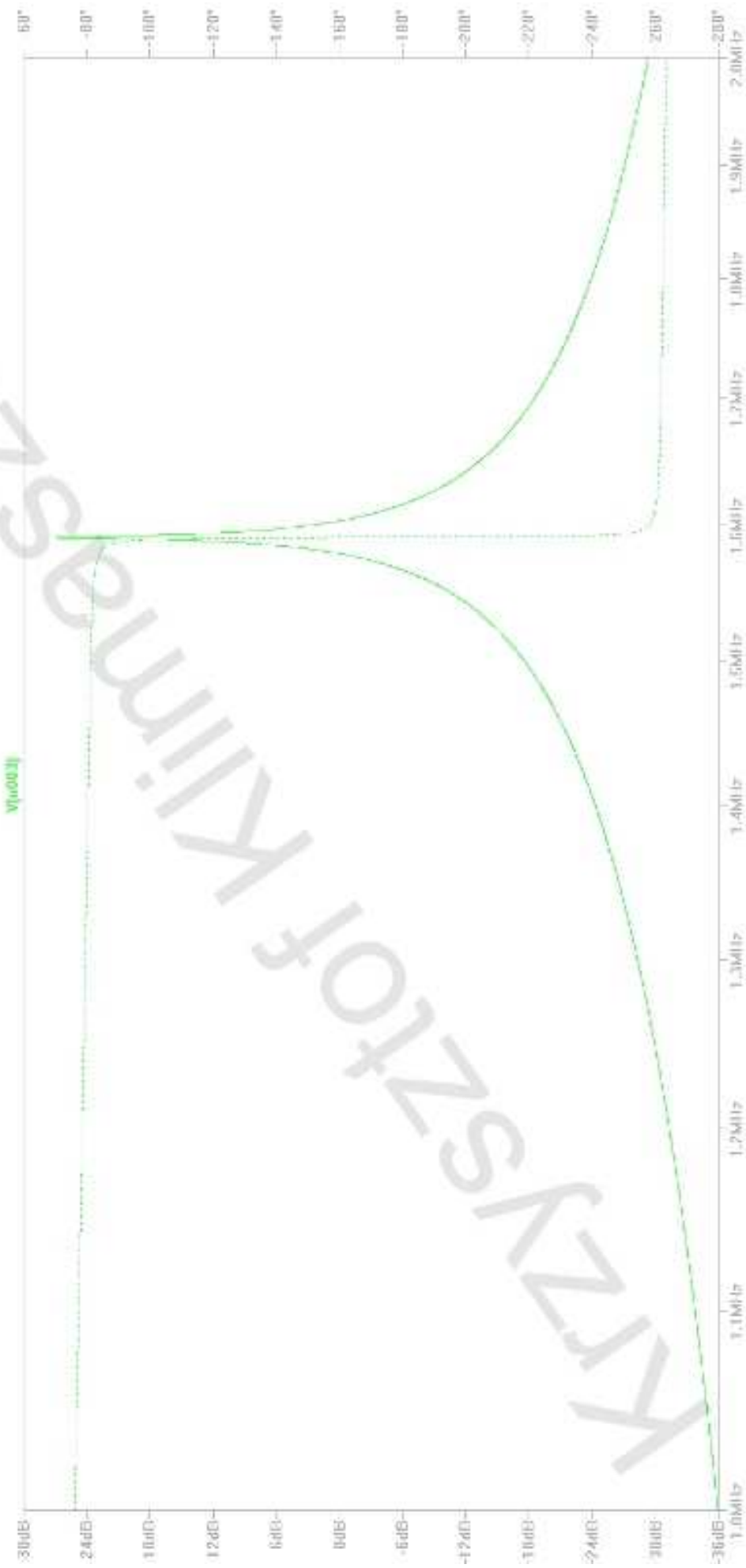
Charakterystyka częstotliwościowa

$$\bullet L = 10 \mu H \quad C = 1 nF$$



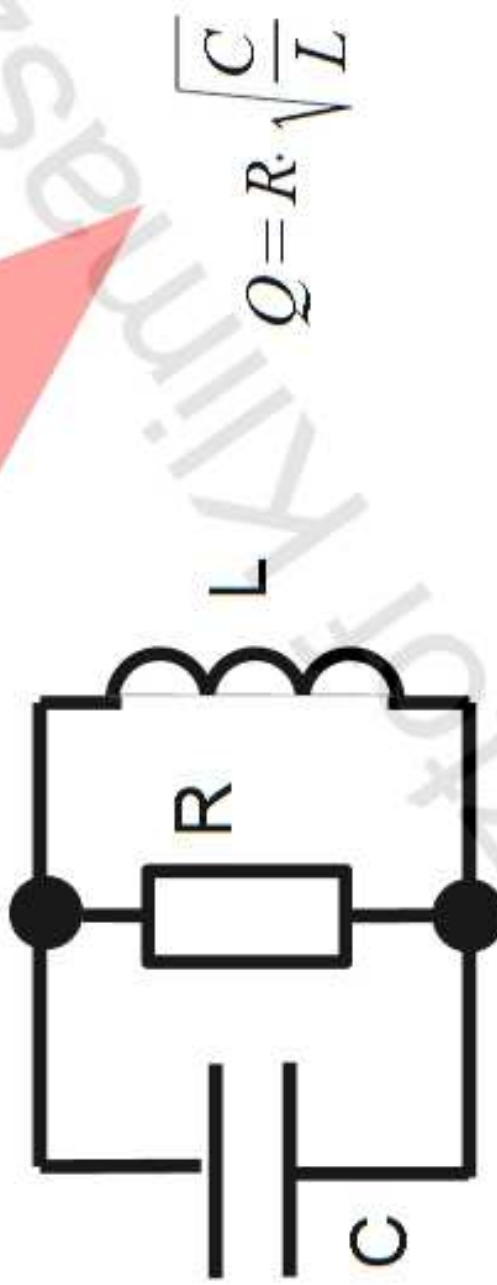
Charakterystyka częstotliwościowa

$$\bullet L = 1 \mu H \quad C = 10 nF$$



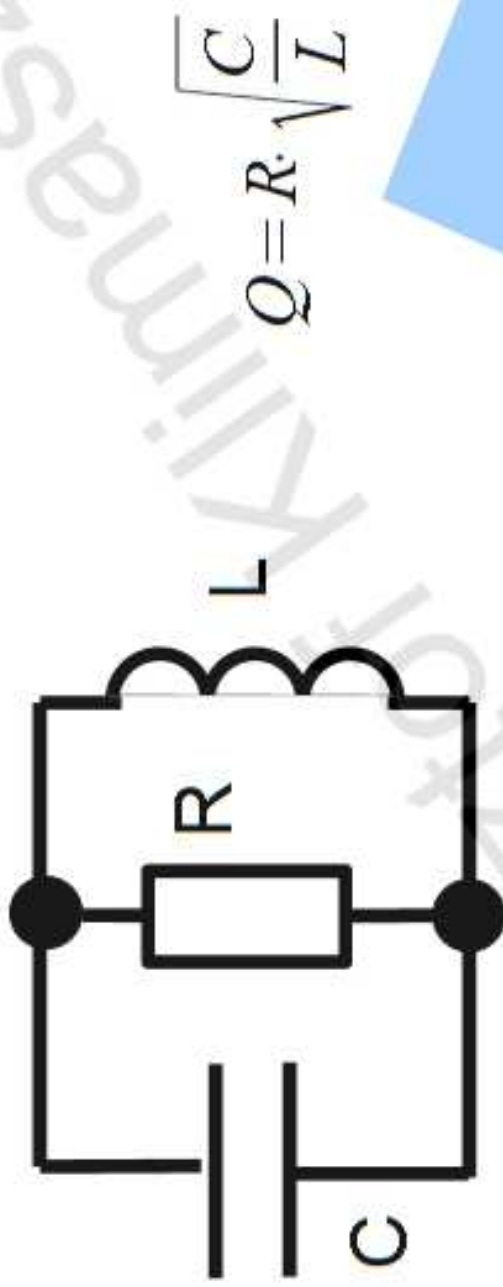
Dobroć równoległego obwodu LC

Przekształcenie wzoru podanego wcześniej



$$Q = R \cdot \sqrt{\frac{C}{L}}$$

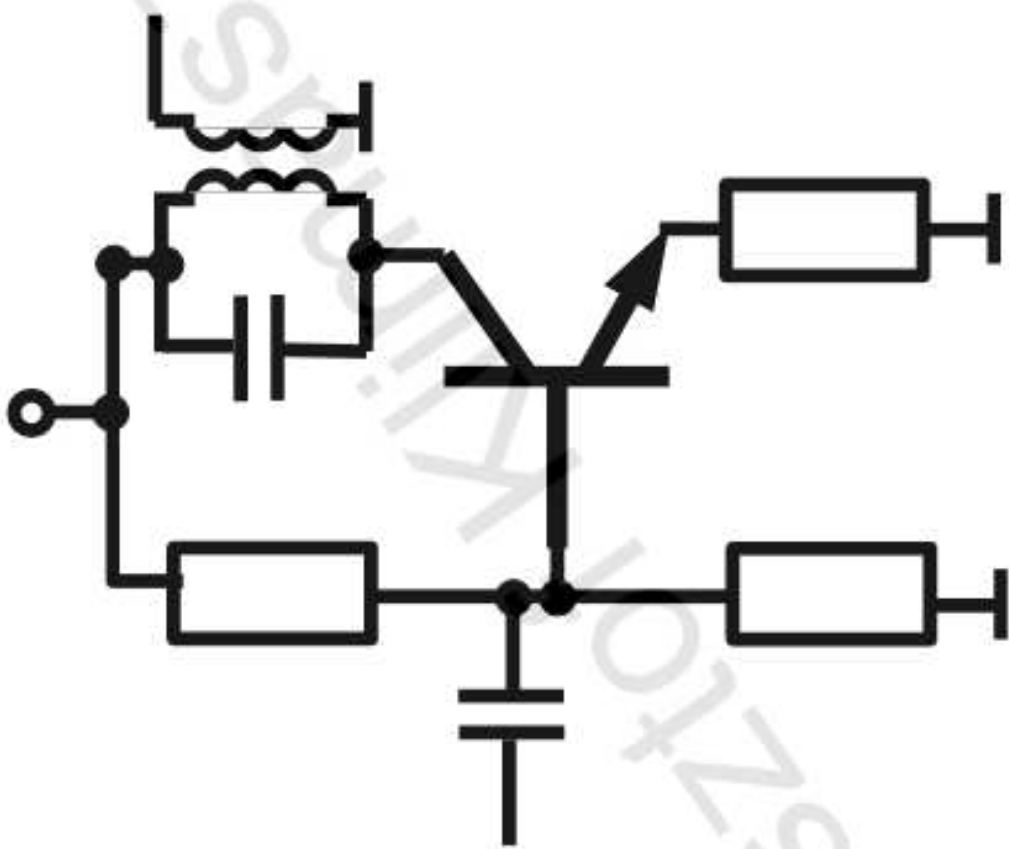
Dobroć równoległego obwodu LC



$$Q = R \cdot \sqrt{\frac{C}{L}}$$

Ten wzór działa TYLKO
dla równoległego obwodu
RLC jak na rysunku!

Sprzężenie magnetyczne



Analogowe Układy Elektroniczne

Krzysztof Klimaszewski

kklima@et.put.poznan.pl

Polanka 3, pokój 118

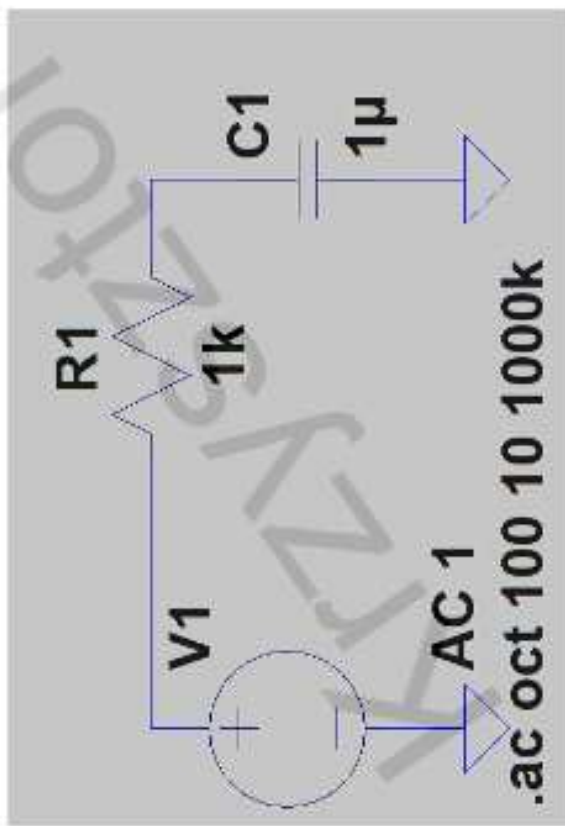
Filtery pasywne

- Filtery RC
 - bardzo łatwe do wykonania
 - szerokie pasmo przejściowe
 - trudność w uzyskaniu stromych charakterystyk
 - ograniczenia wynikające z nieidealności elementów

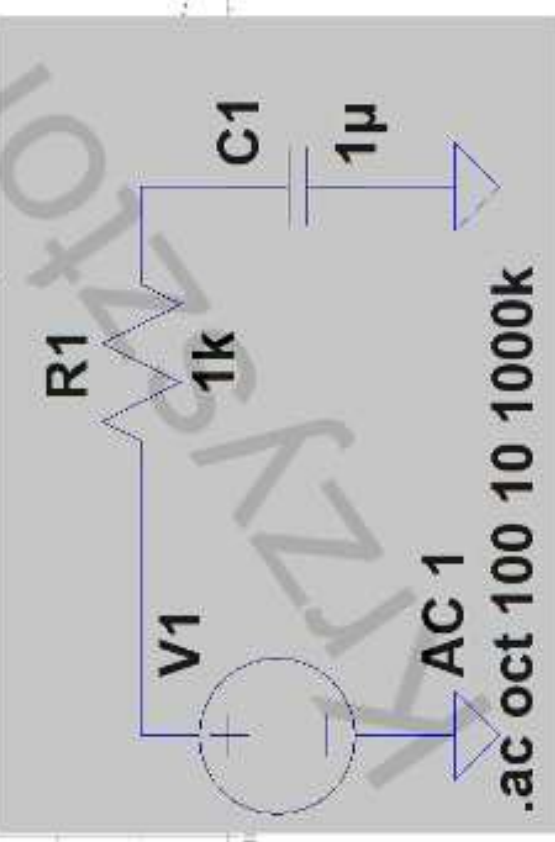
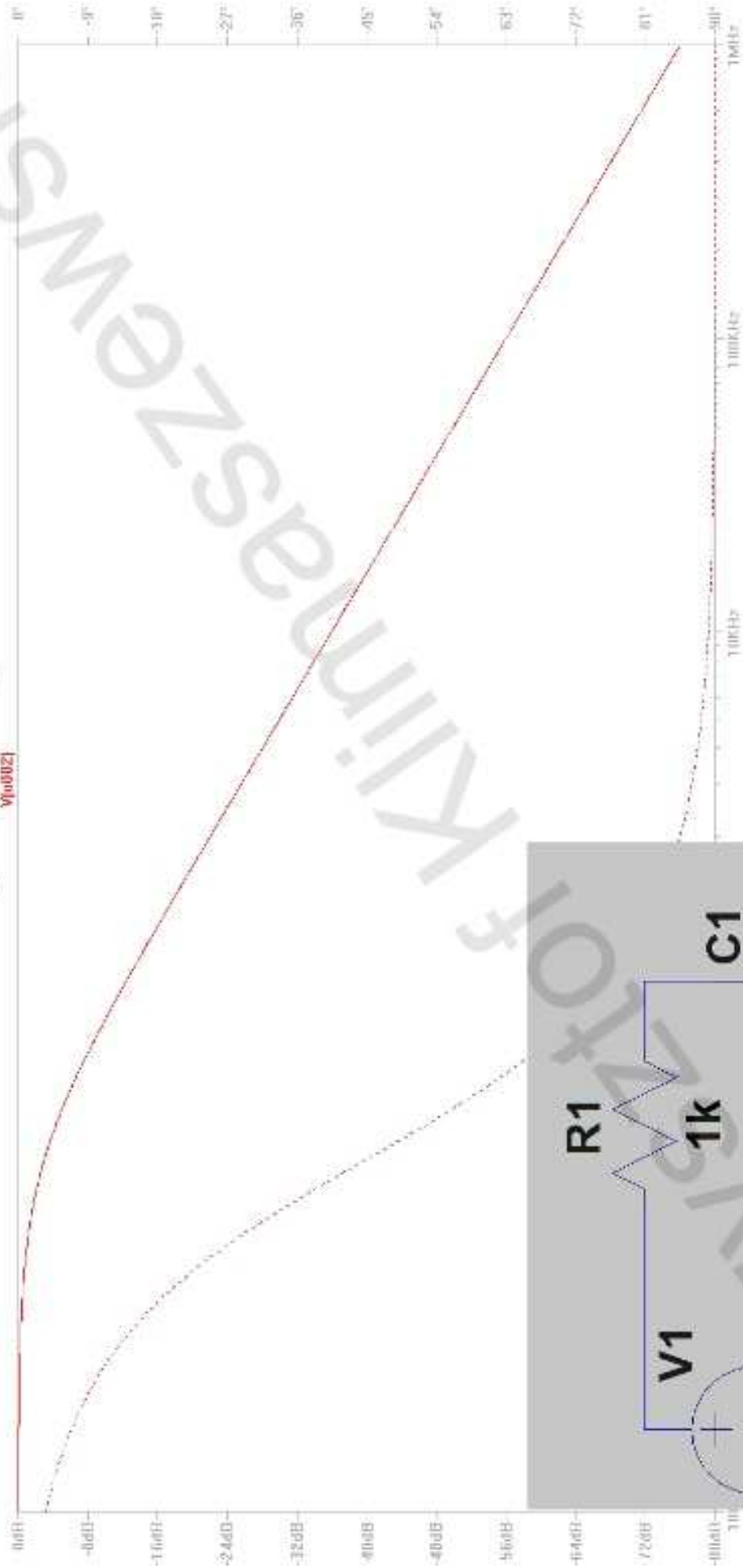
Filtry pasywne

- Filtry RC

- bardzo łatwe do wykonania
- szerokie pasmo przejściowe
- trudność w uzyskaniu istotnych charakterystyk
- ograniczenia wynikające z nieidealności elementów

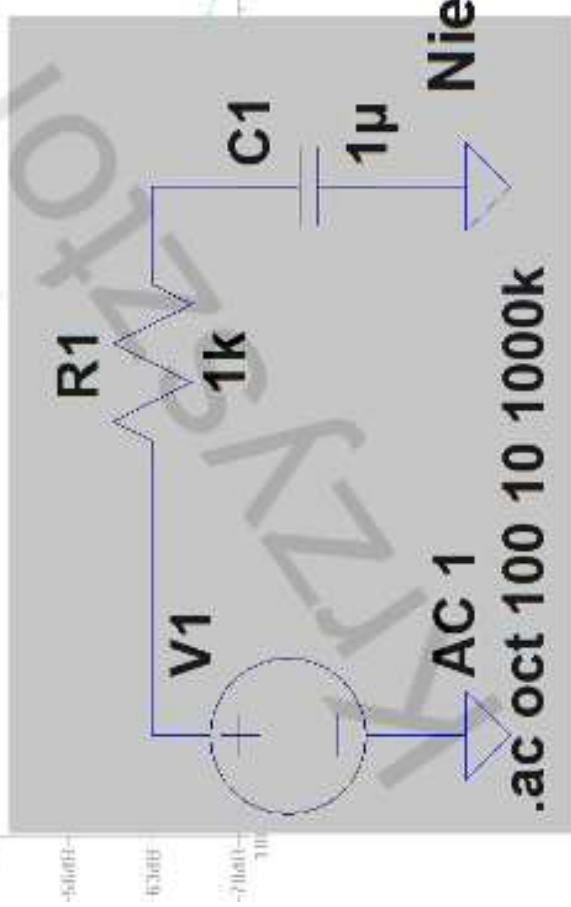
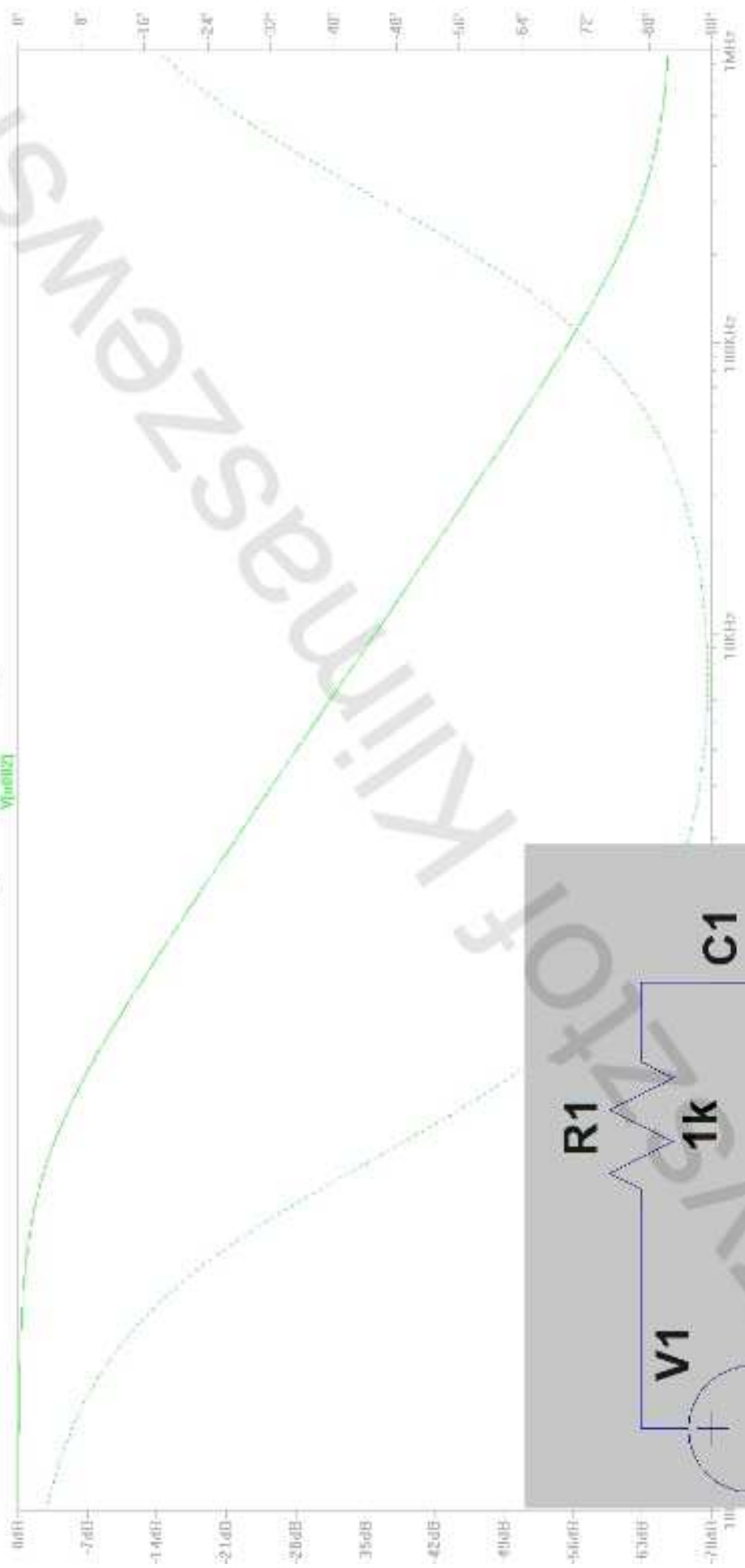


Filtry pasywne



Idealny kondensator: $R_s = 0\Omega$

Filtry pasywne



Nieidealny kondensator: $R_s = 0,5\Omega$

.ac oct 100 10 1000k

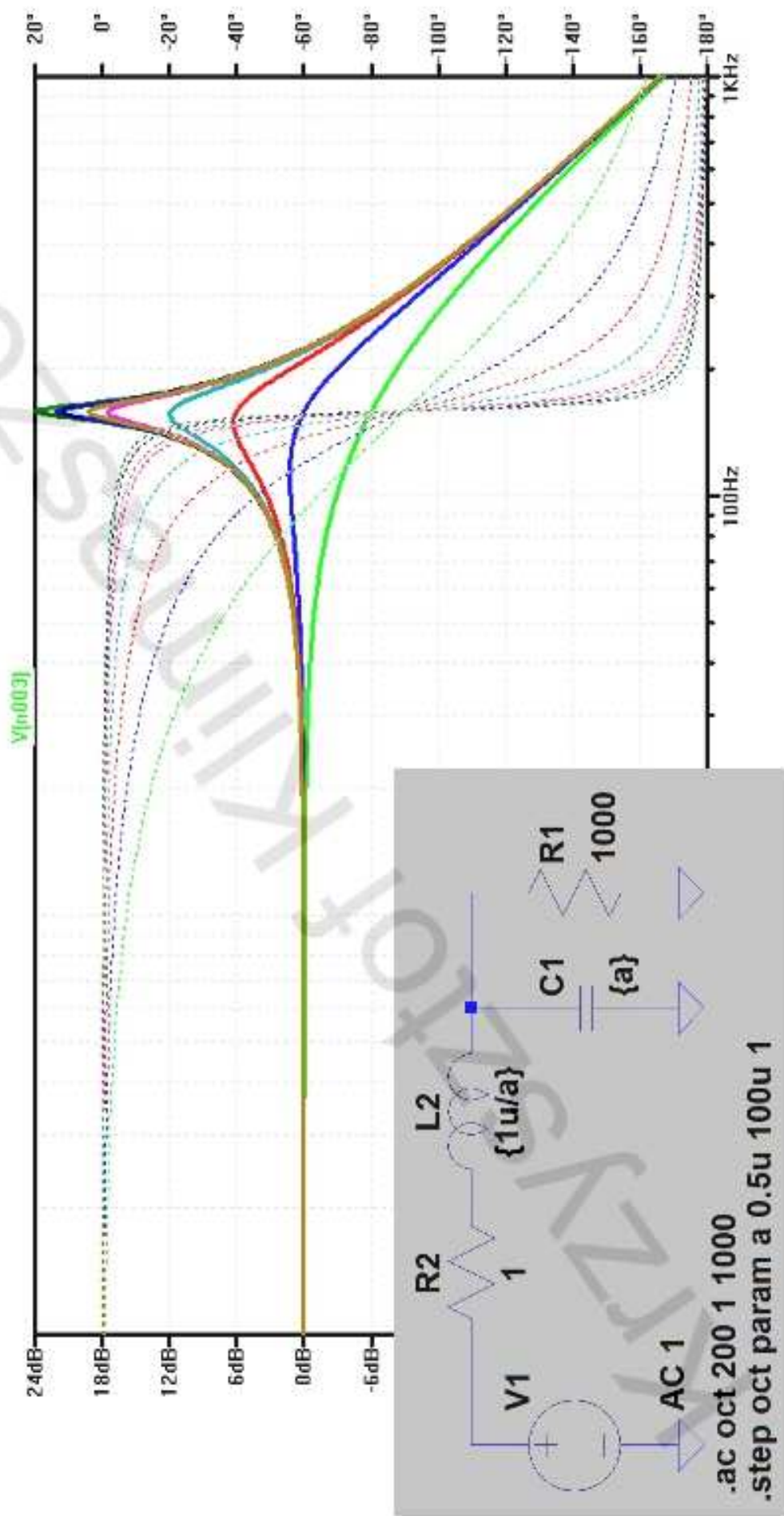
Filtry pasywne

• Filtry LC

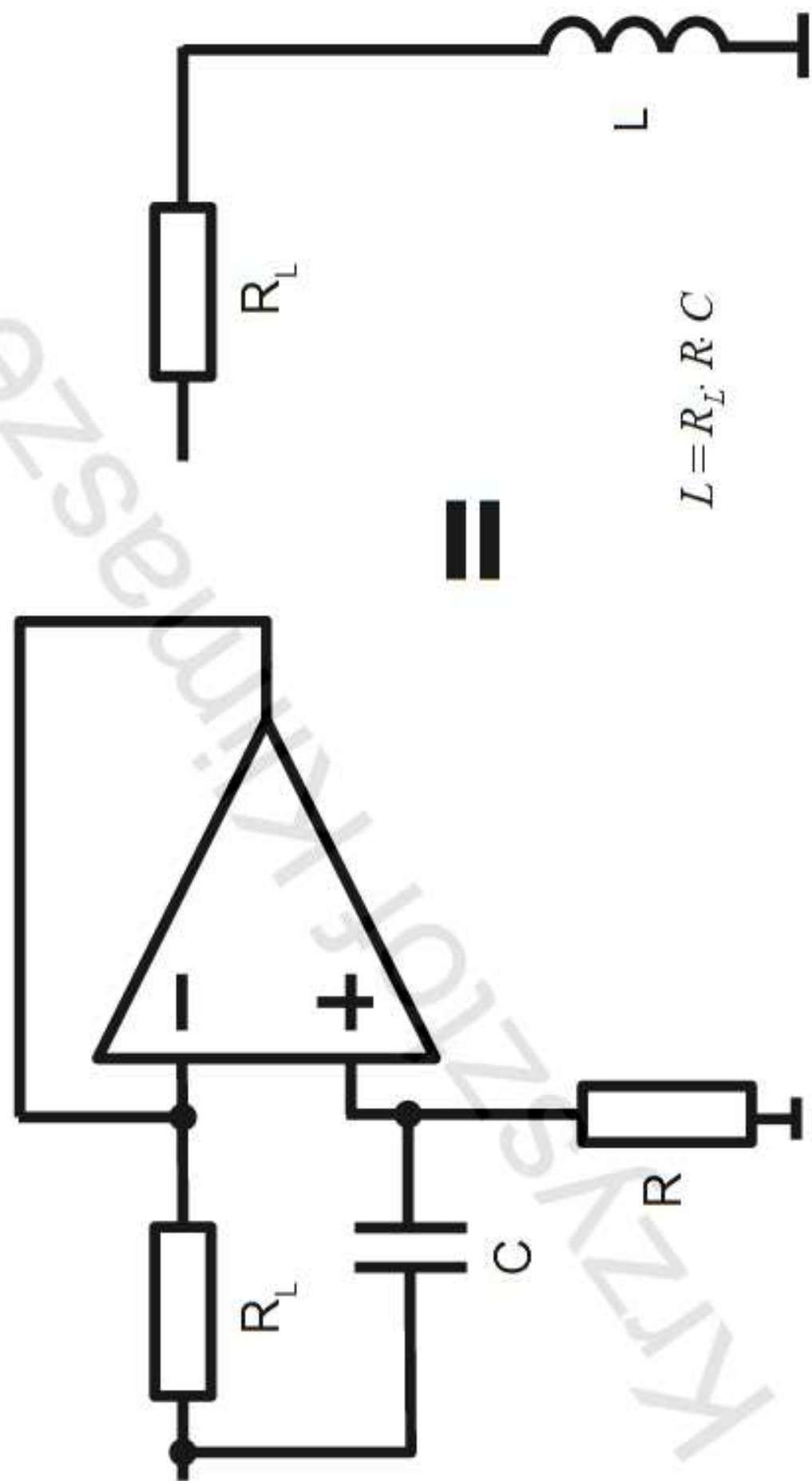
- można otrzymać charakterystykę amplitudową o bardzo płaskim pasmie przepustowym i bardzo wąskim pasmie przejściowym
- dużo elementów
- duża wrażliwość na zmiany wartości elementów
- możliwa bardzo niekorzystna charakterystyka fazowa
 - im lepsza (bardziej prostokątna) charakterystyka amplitudowa, tym mniej liniowa charakterystyka fazowa

Filtry pasywne

- różne dobroci filtrów, zależnie od proporcji L/C

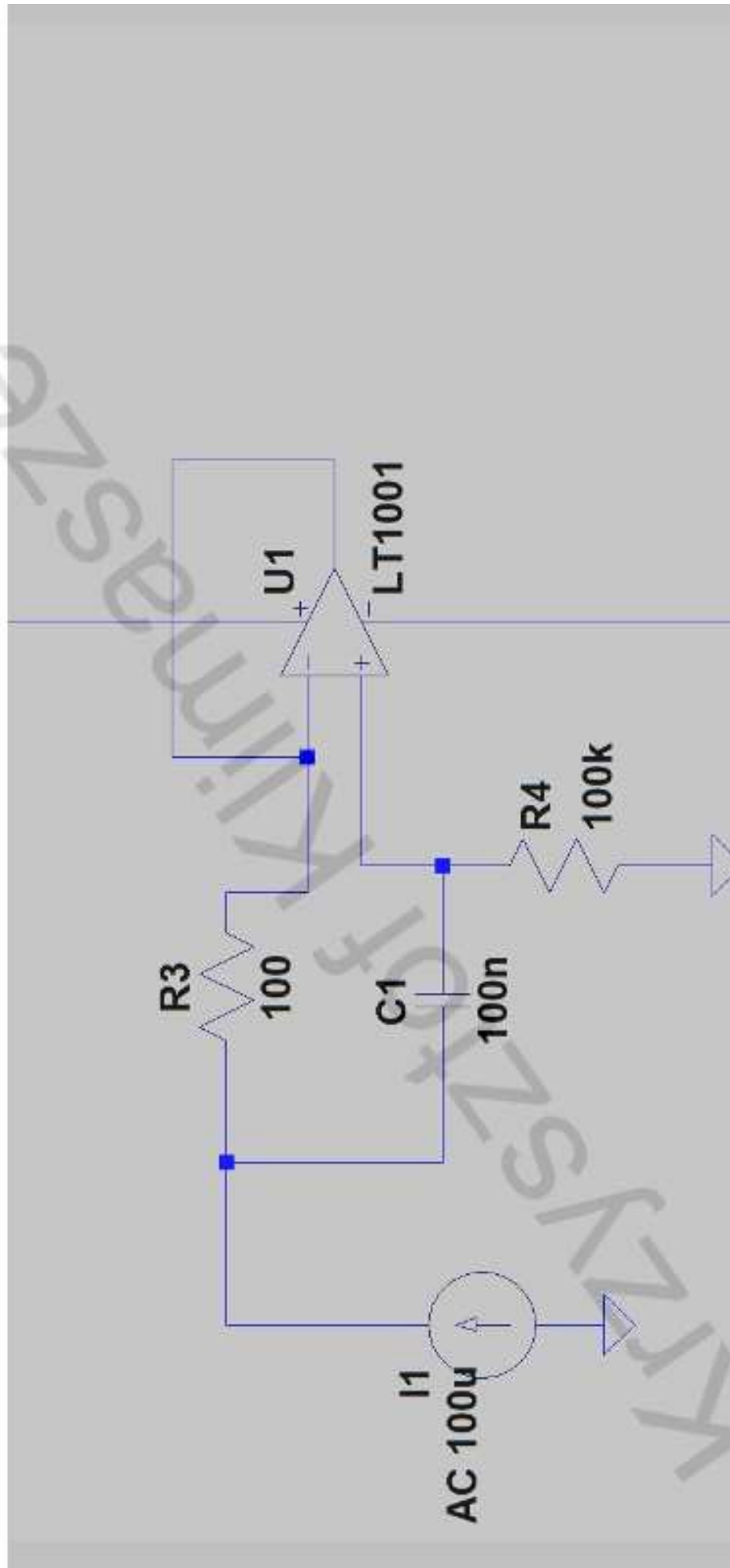


Konwerter impedancji

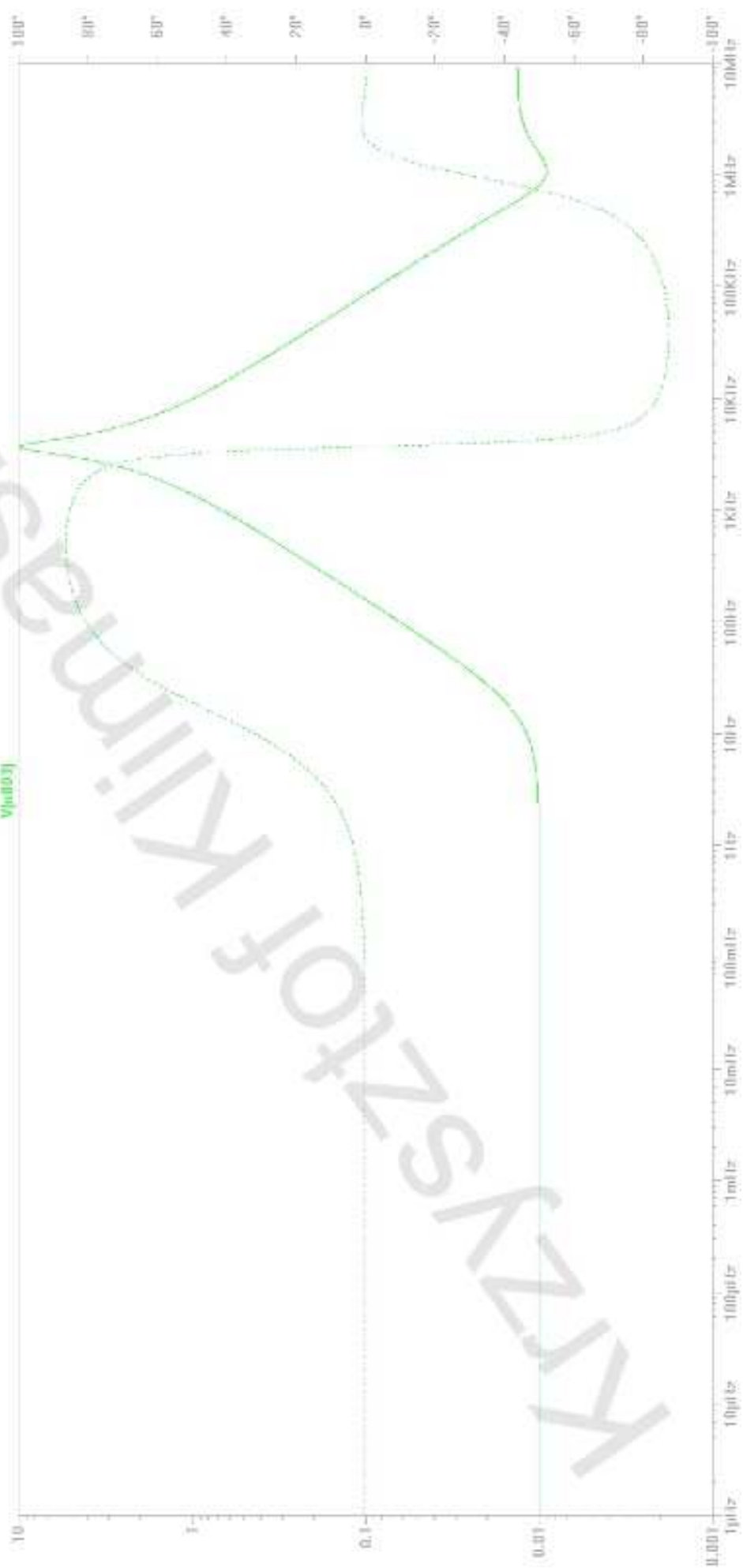


$$L = R_L \cdot R \cdot C$$

Konwerter impedancji

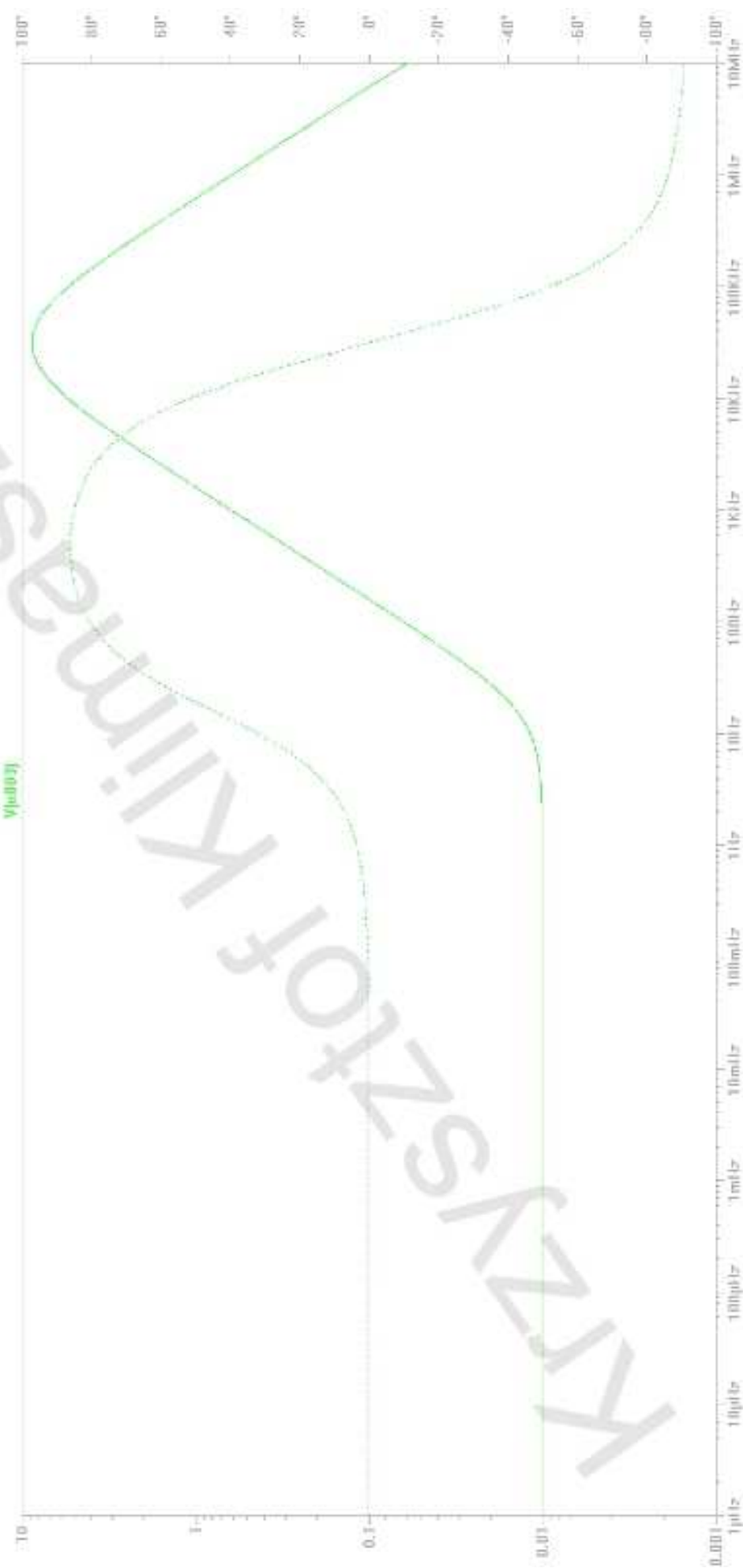


Konwerty impedancji

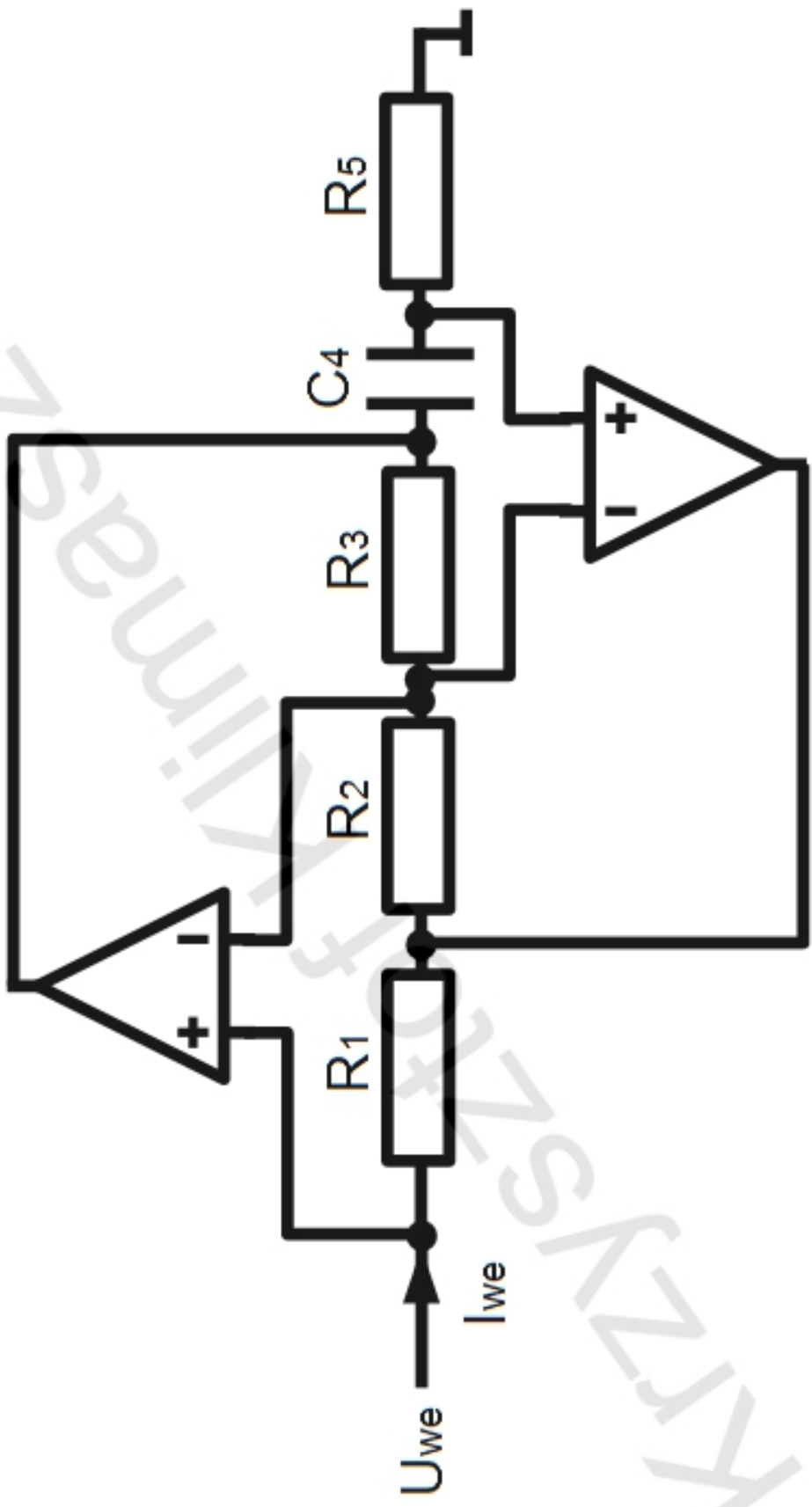


Konwerter impedancji

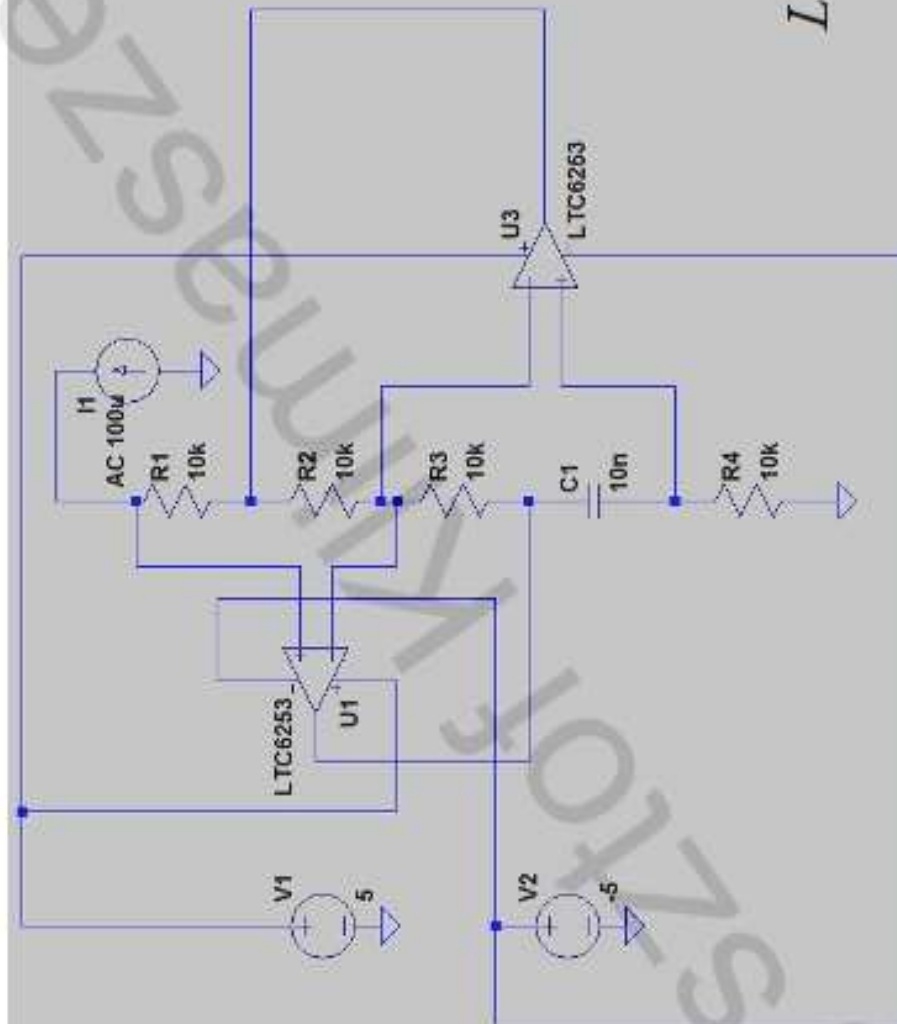
- szybszy wzmacniacz



ogólny konwerter impedancji



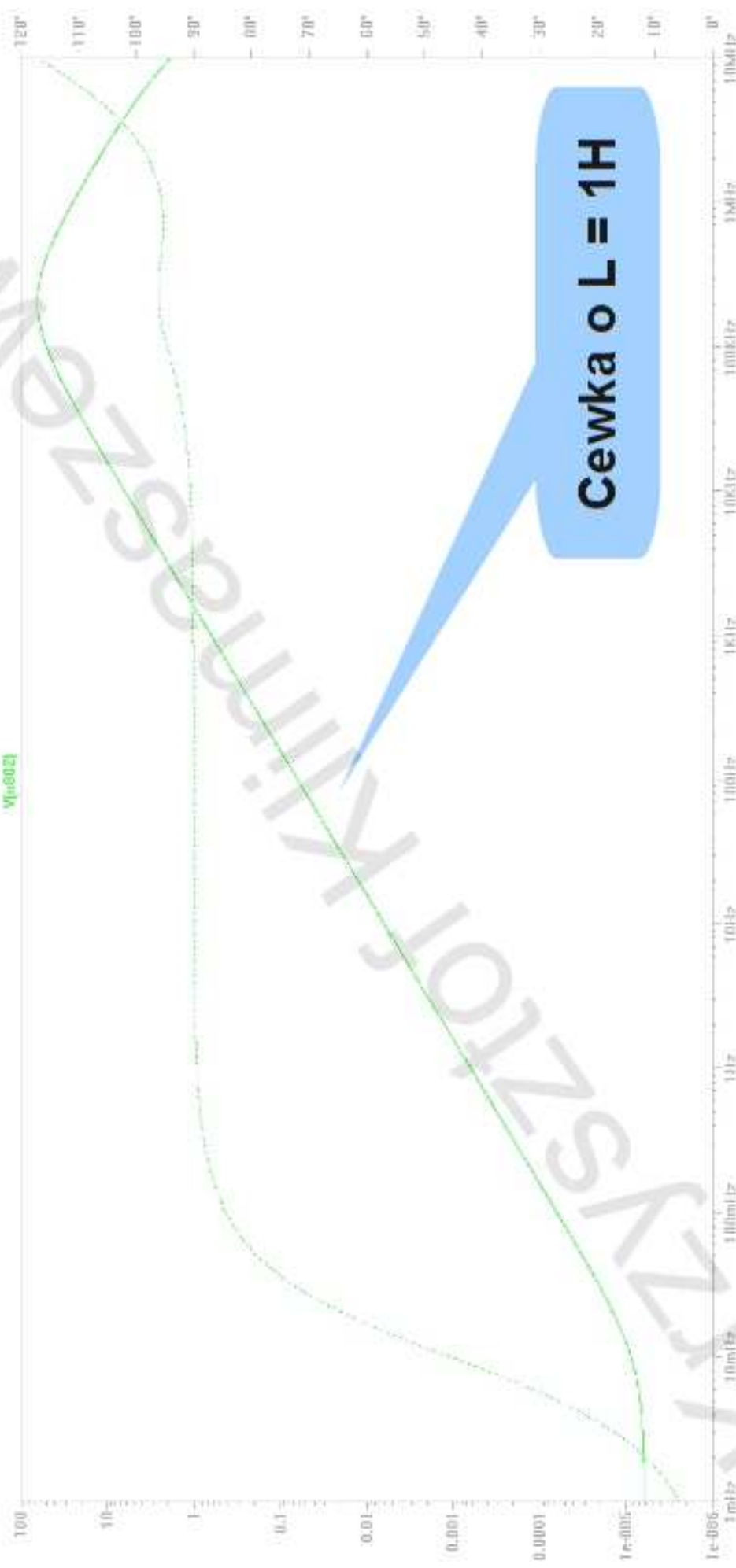
ogólny konwerter impedancji



$$L = \frac{R_1 R_2 R_4}{R_2} C_1$$

ac oct 100 1m 10meg

ogólny konwerter impedancji

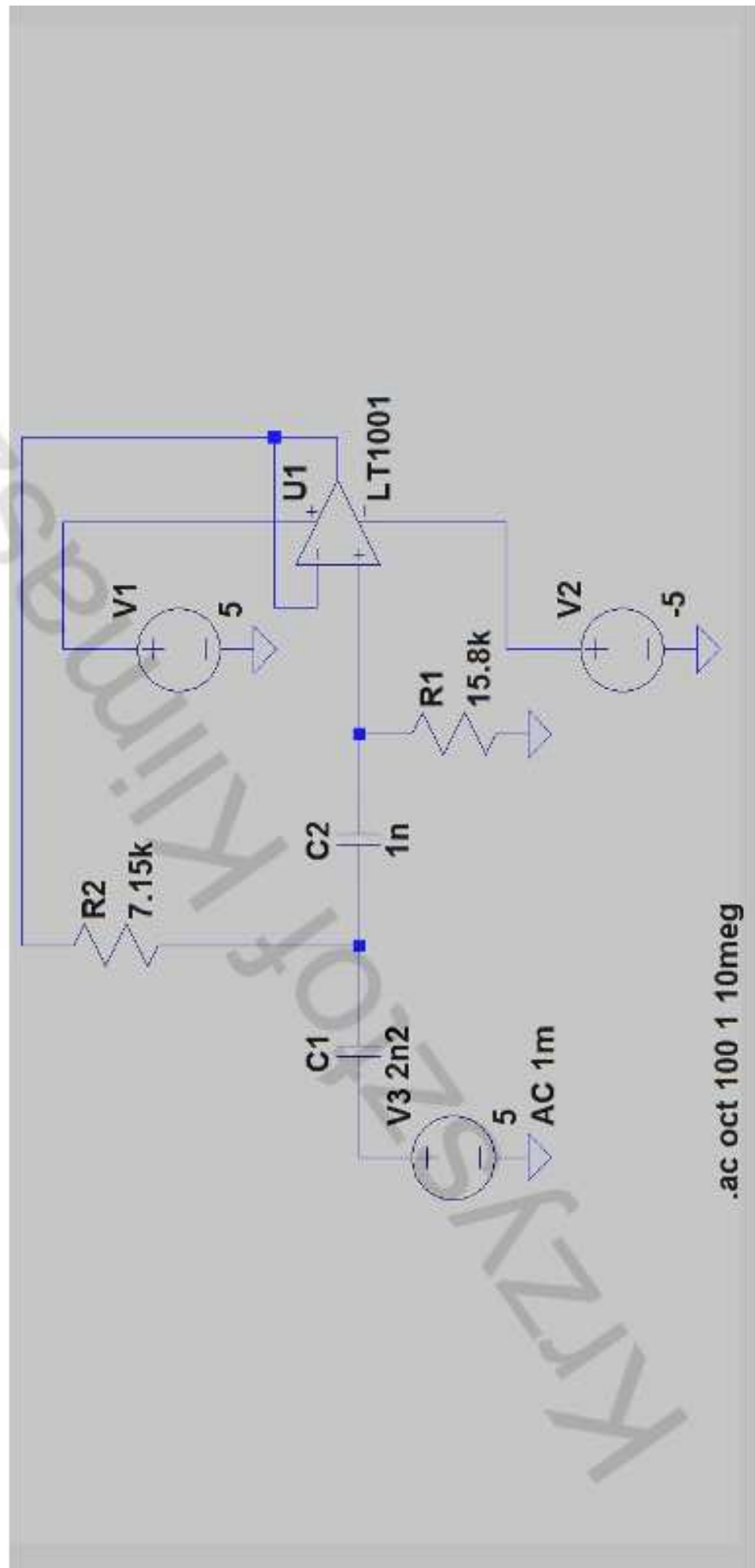


Wpływ wzmacniacza operacyjnego

- filtr górnoprzepustowy
- $f_{gr} = 10 \text{ kHz}$
- aproksymacja Butterwortha

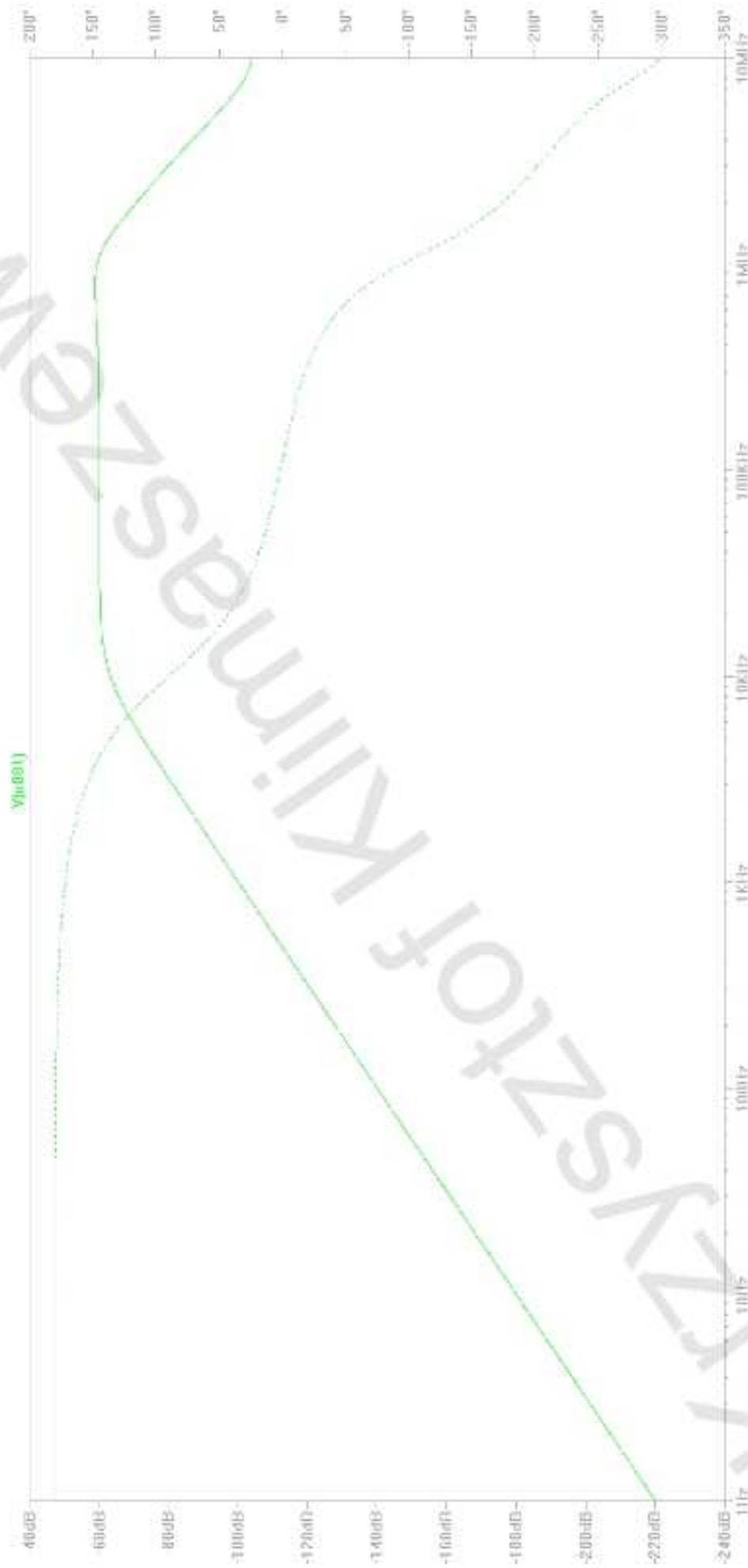
Wpływ wzmacniacza operacyjnego

- realizacja SK (wolny wzmacniacz)



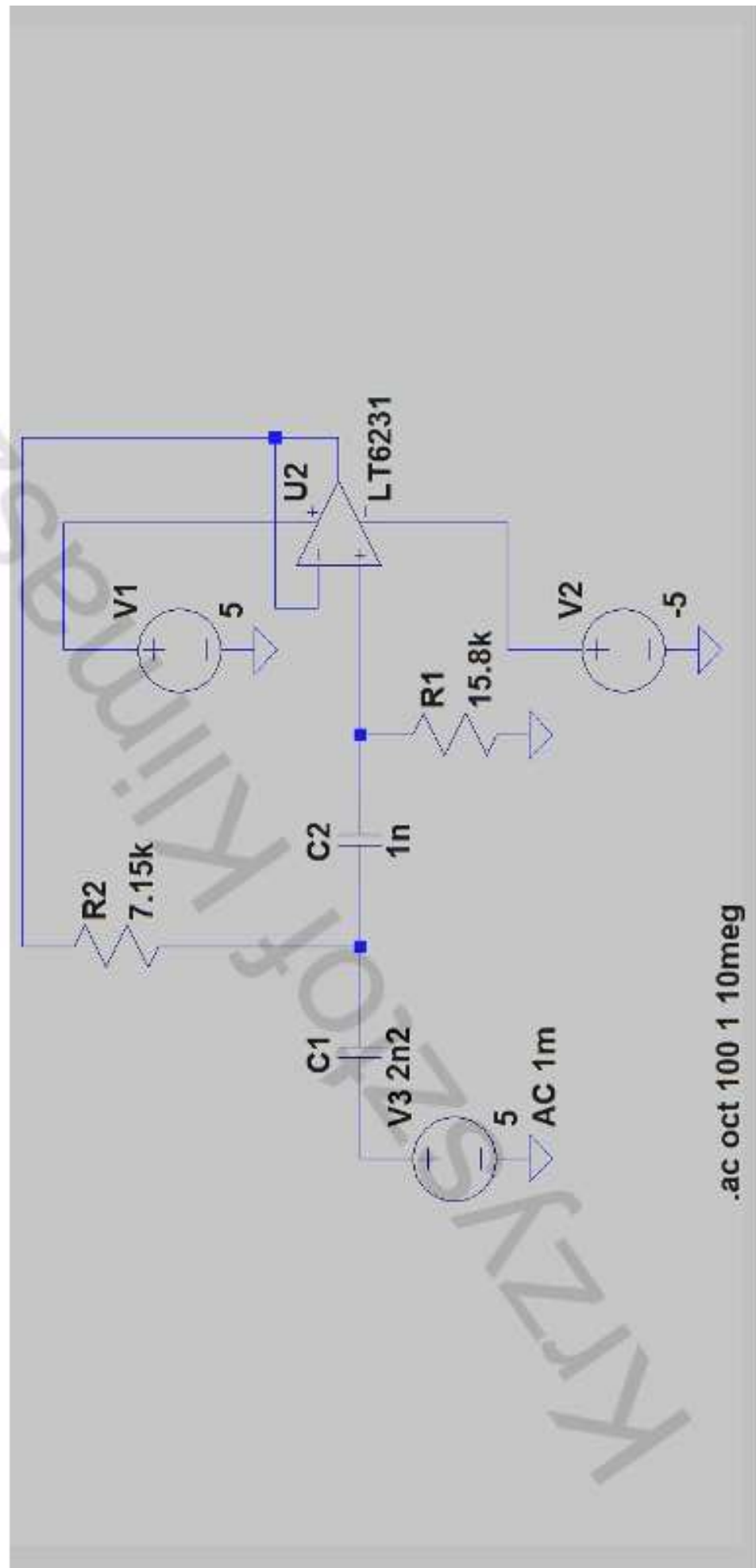
.ac oct 100 1 10meg

Wpływ wzmacniacza operacyjnego

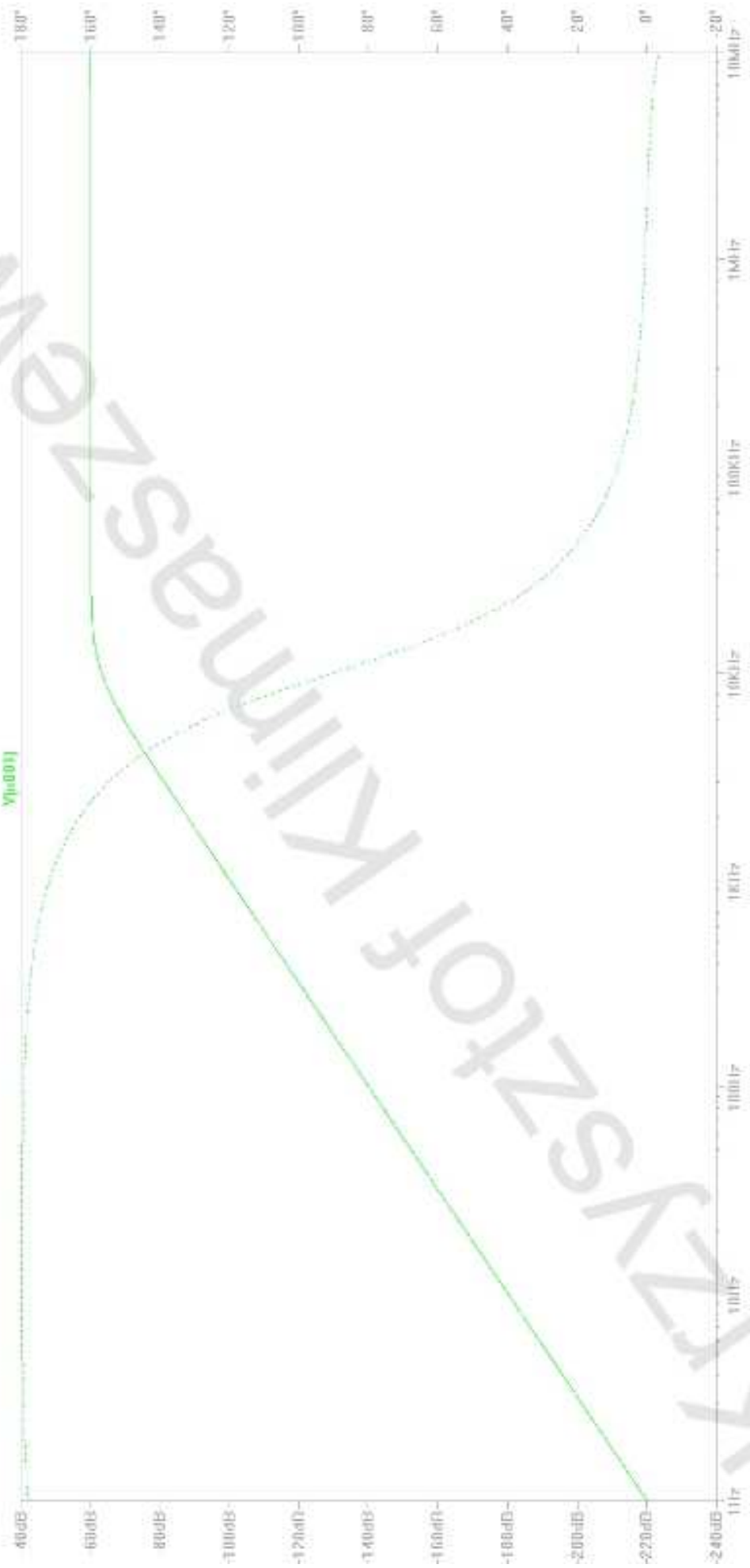


Wpływ wzmacniacza operacyjnego

- realizacja SK (szynki wzmacniacz)

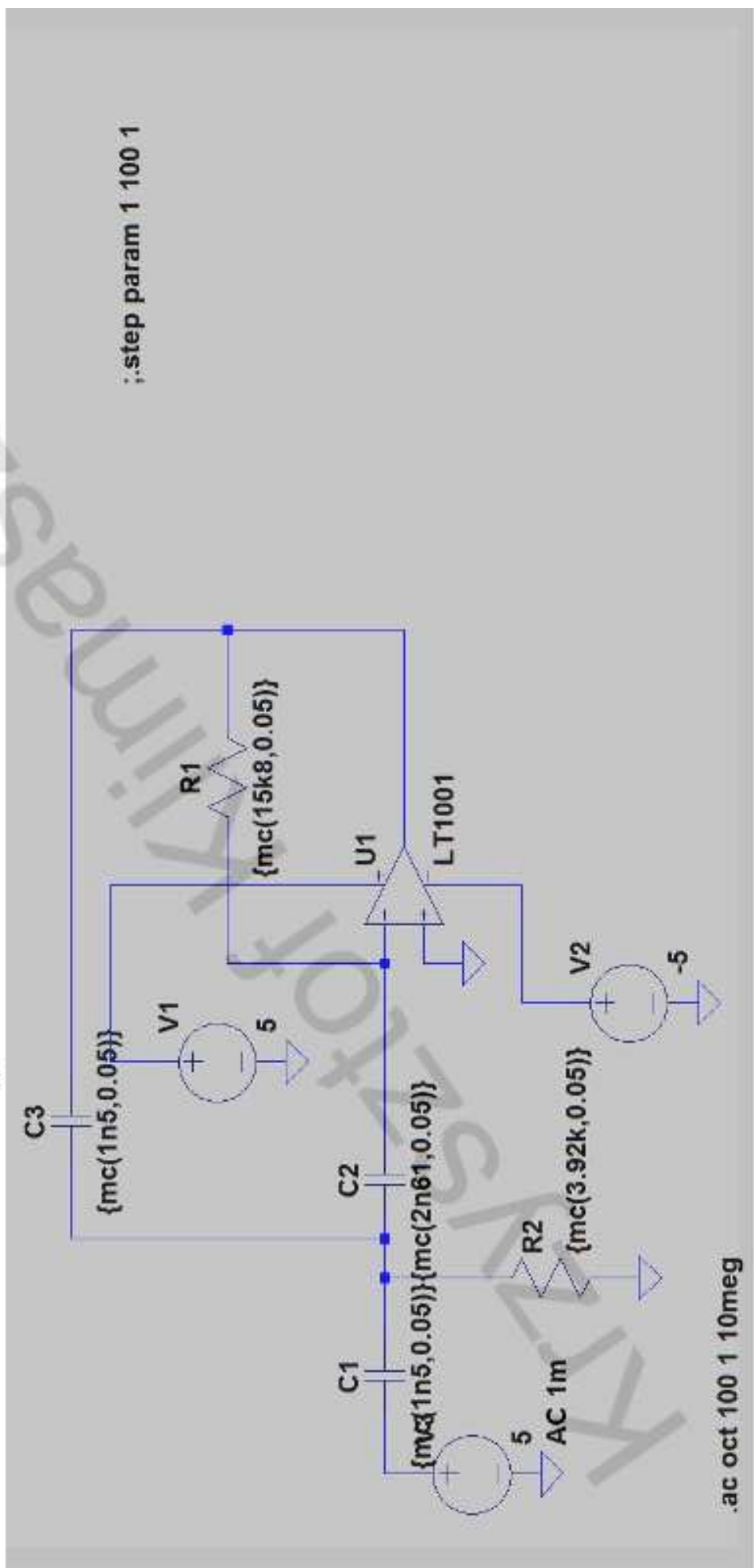


Wpływ wzmacniacza operacyjnego

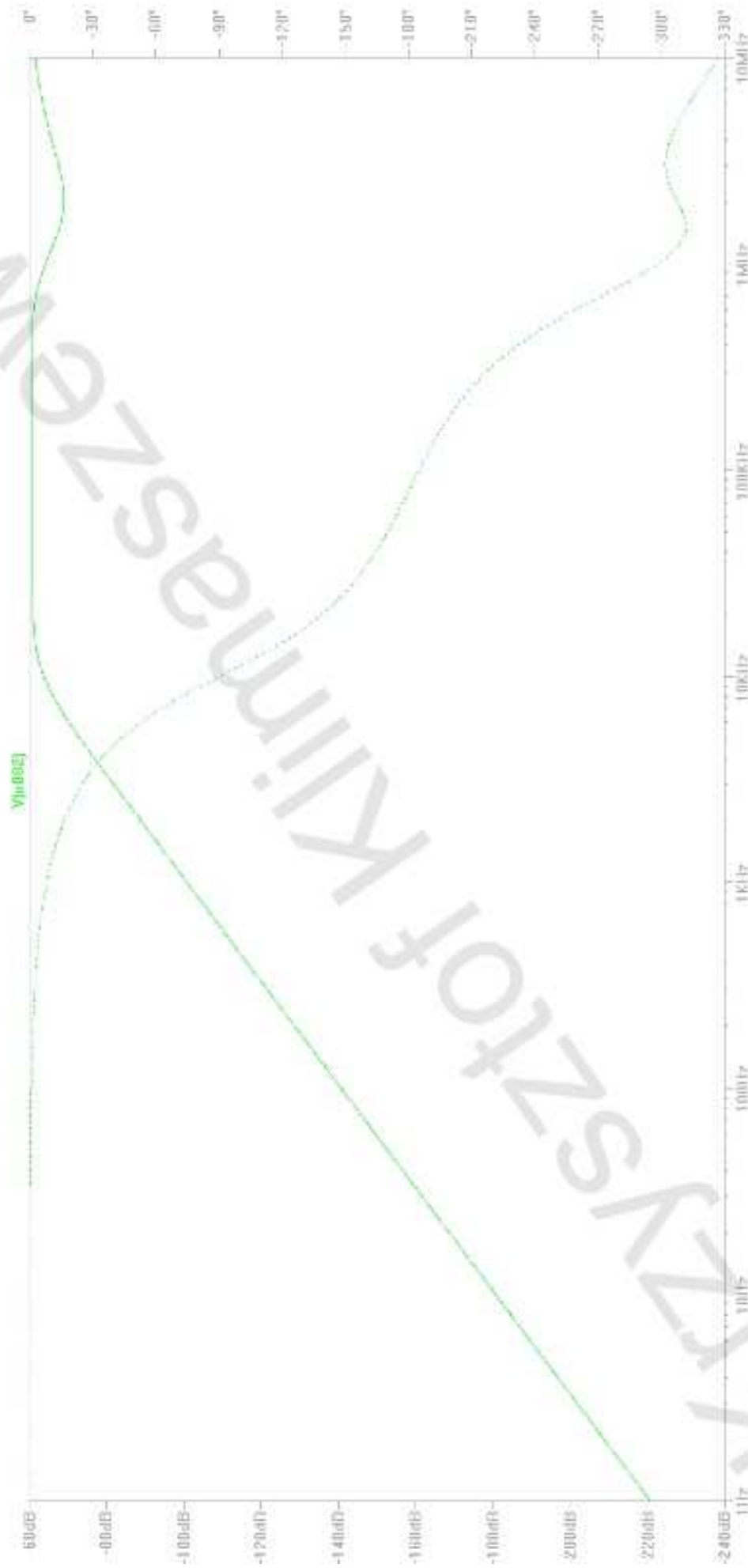


Wpływ wzmacniacza operacyjnego

- realizacja MFB (1 kondensator więcej, wolny wzmacniacz)



Wpływ wzmacniacza operacyjnego



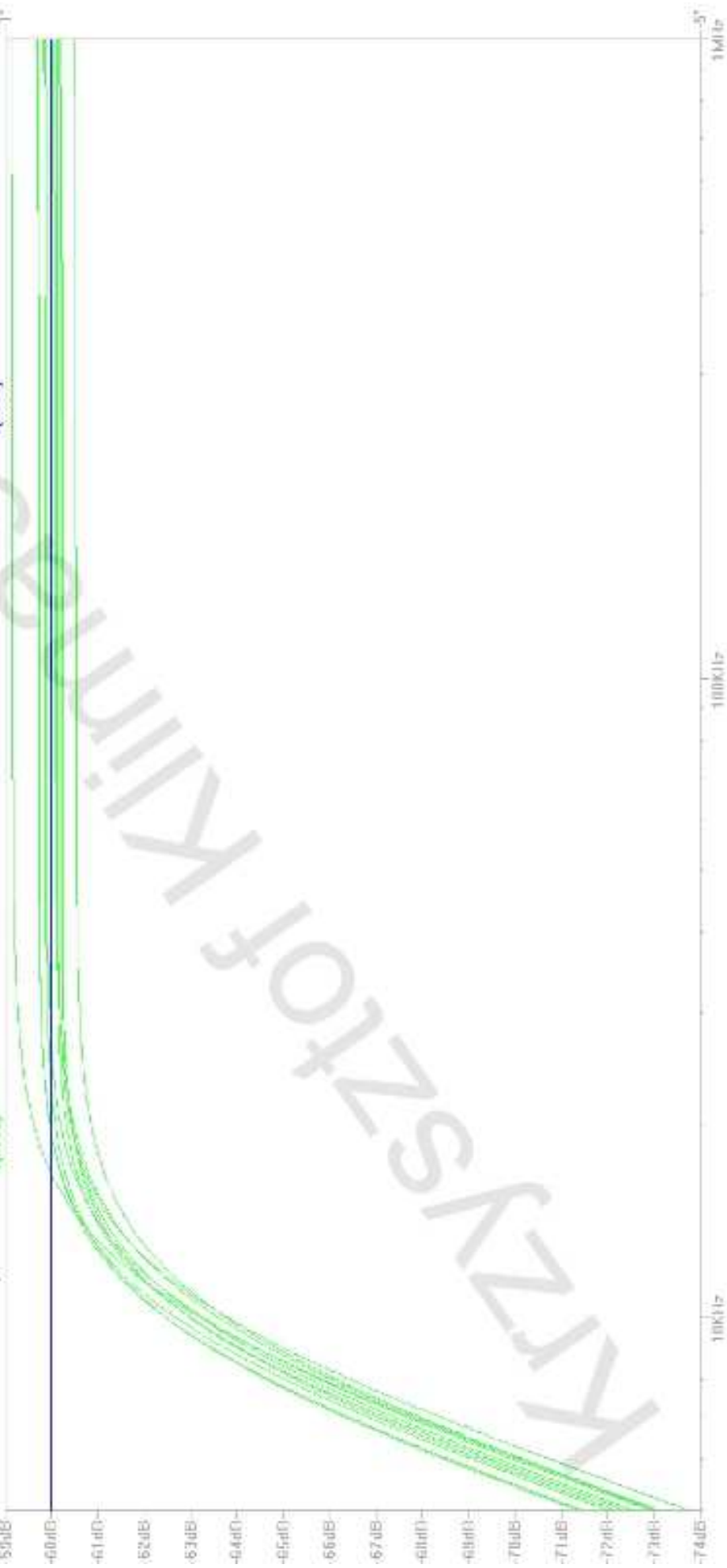
Wpływ wzmacniacza operacyjnego



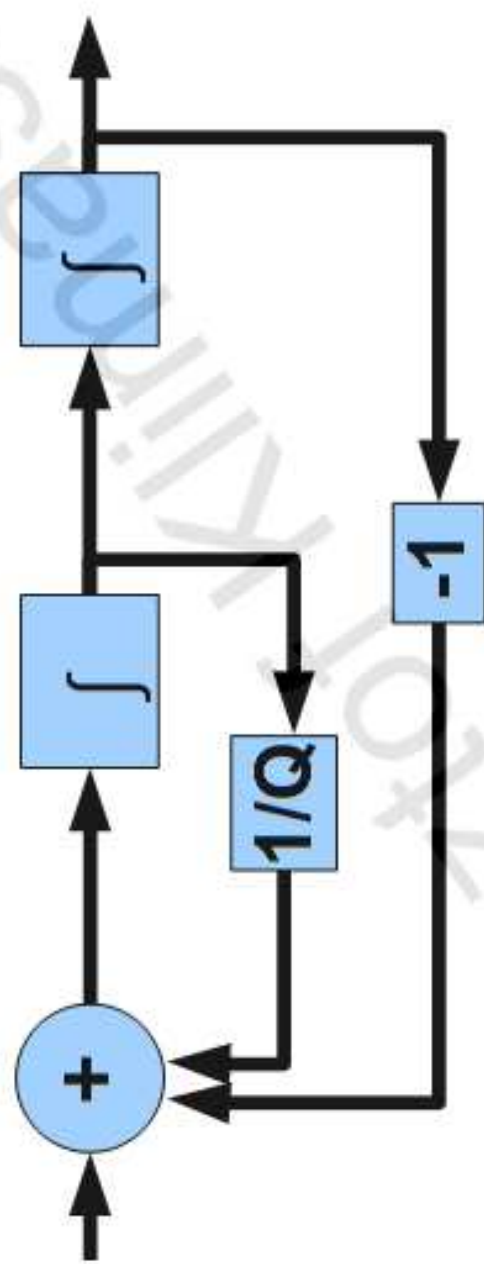
Wrażliwość

- tolerancja elementów 5%

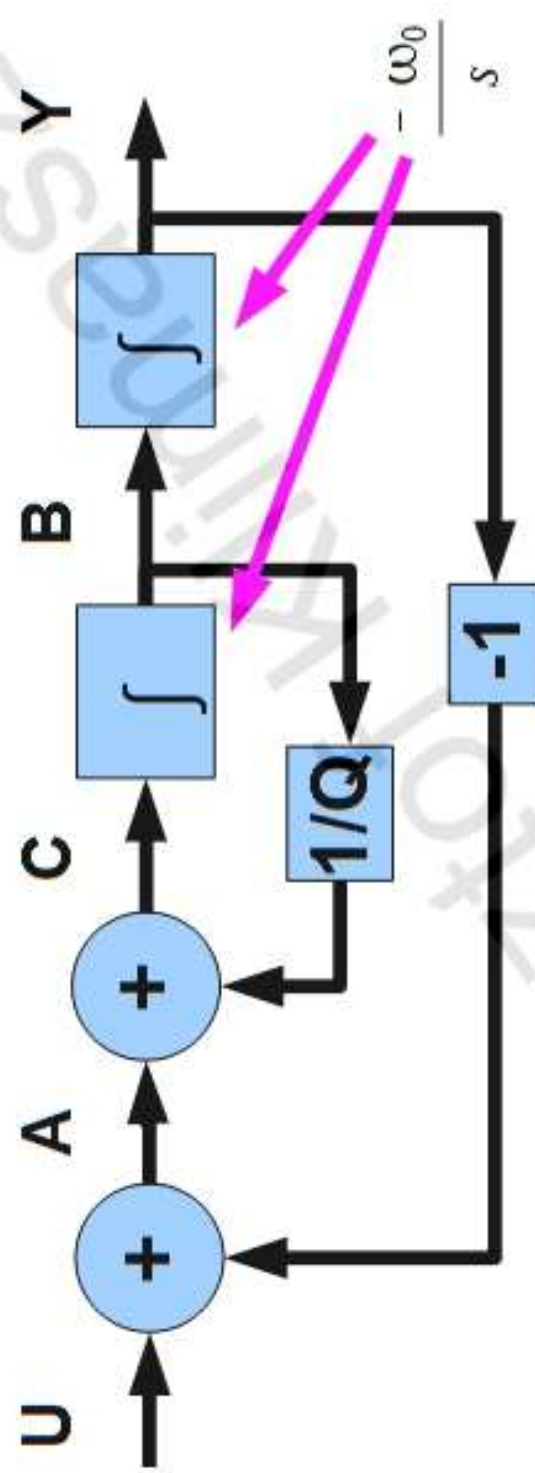
• MFB, HP $V_{(0.002)}$



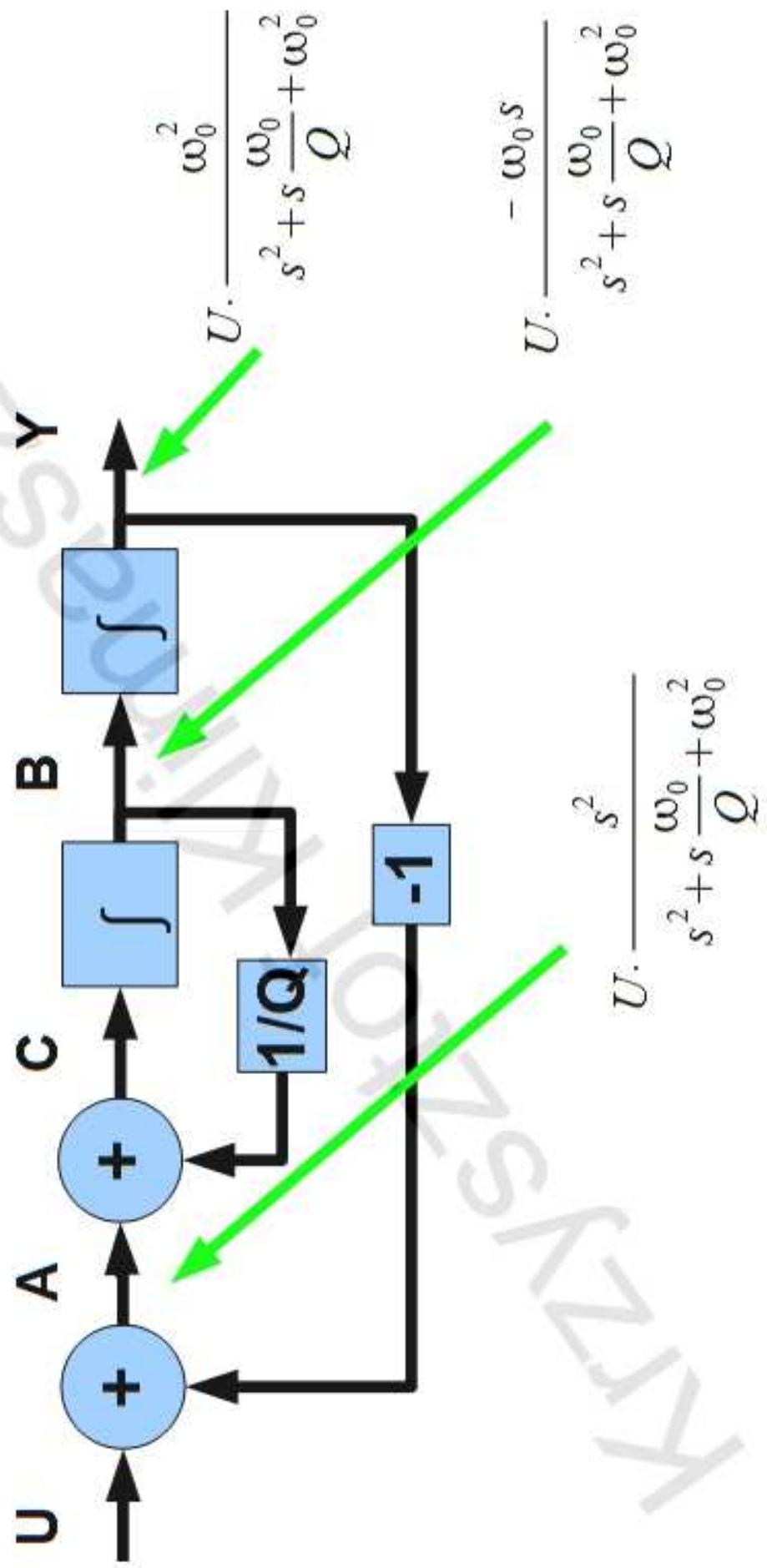
Filtr modelujący zmienne stanu



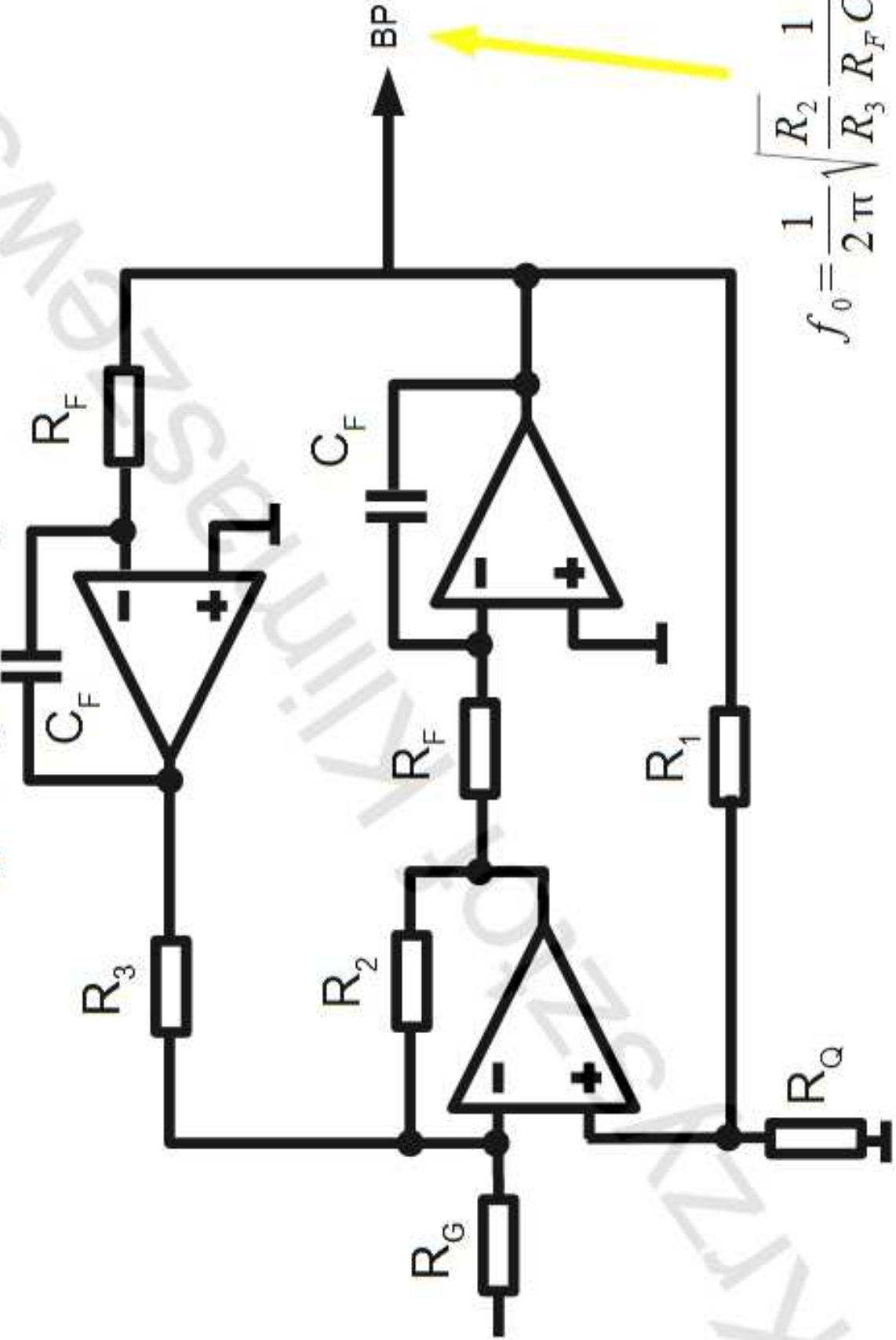
Filtr modelujący zmienne stanu



Filtr modelujący zmienne stanu

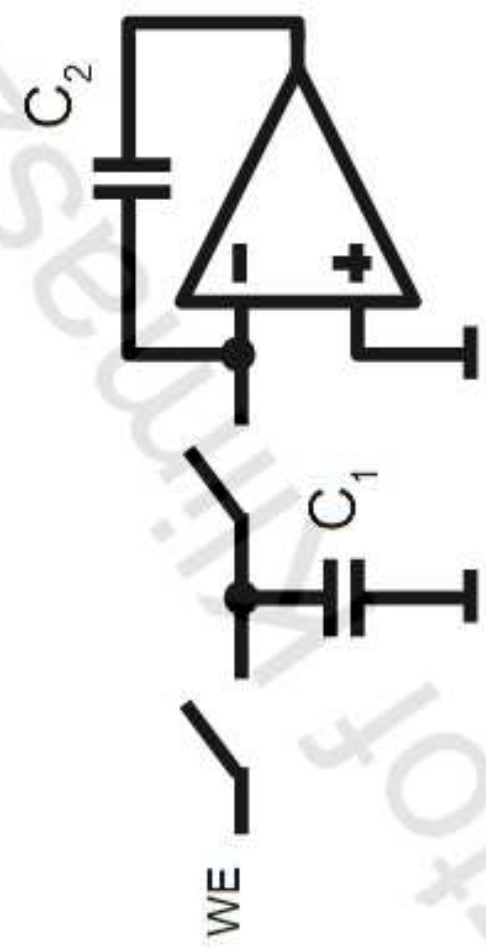


Filtr modelujący zmienne stanu (przykład)



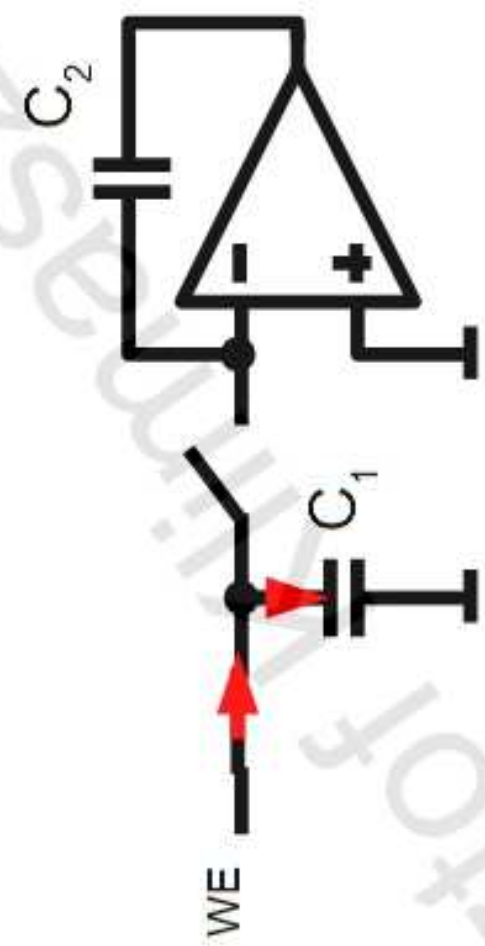
$$f_0 = \frac{1}{2\pi} \sqrt{\frac{R_2}{R_3}} \frac{1}{R_F C_F}$$

Filtr z przetaczonymi pojemnościami



Filtr z przetaczonymi pojemnościami

- Faza 1

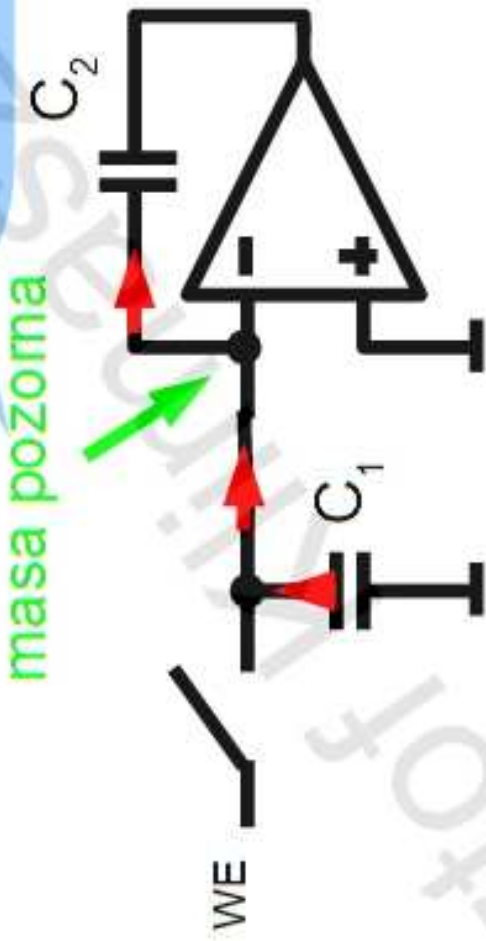


$$U_{C_1} = U_{WE}$$
$$Q_{C_1} = U_{C_1} \cdot C_1$$

Filtr z przetaczonymi pojemnościami

• Faza 2

zatem C_1 rozładowuje się całkowicie

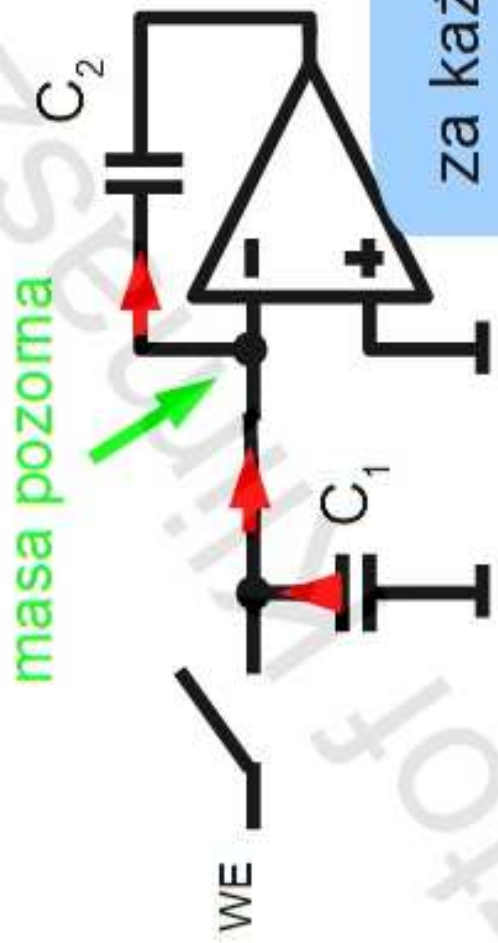


$$\Delta Q_{C_2} = Q_{C_1}$$

$$\Delta U_{WY} = - \Delta U_{C_2} = - \frac{C_1}{C_2} U_{WE}$$

Filtr z przełącznymi pojemnościami

- Faza 2



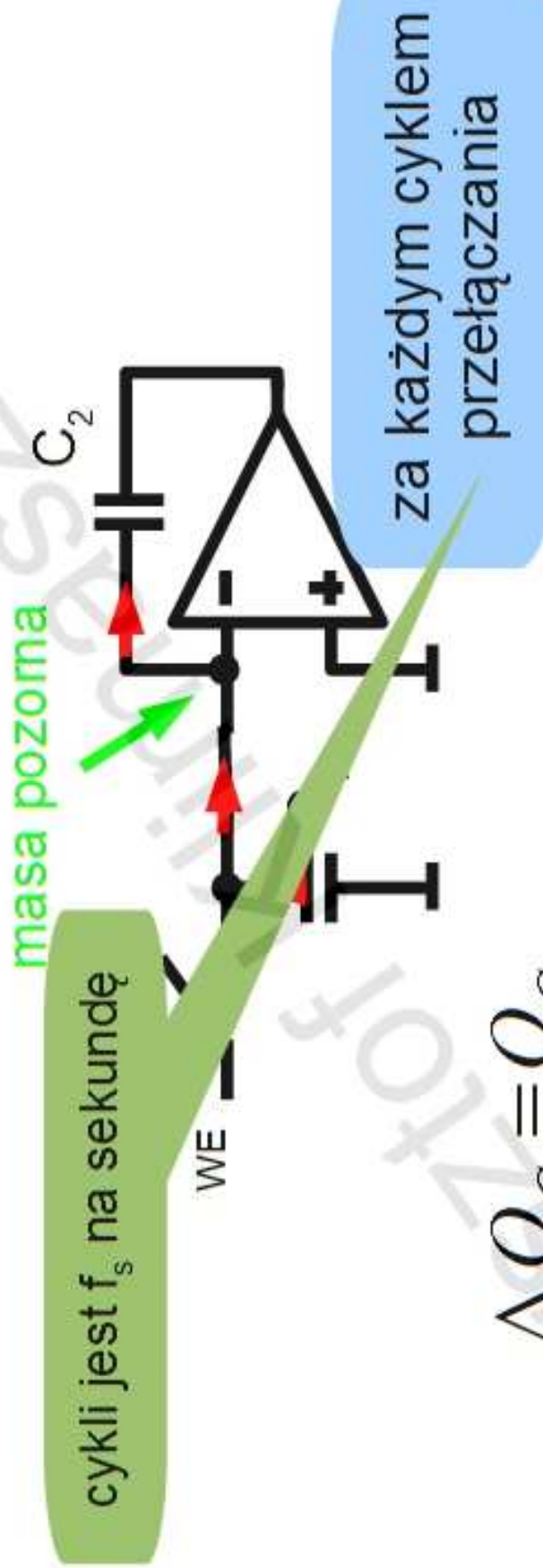
za każdym cyklem
przełączania

$$\Delta Q_{C_2} = Q_{C_1}$$

$$\Delta U_{WY} = - \Delta U_{C_2} = - \frac{C_1}{C_2} U_{WE}$$

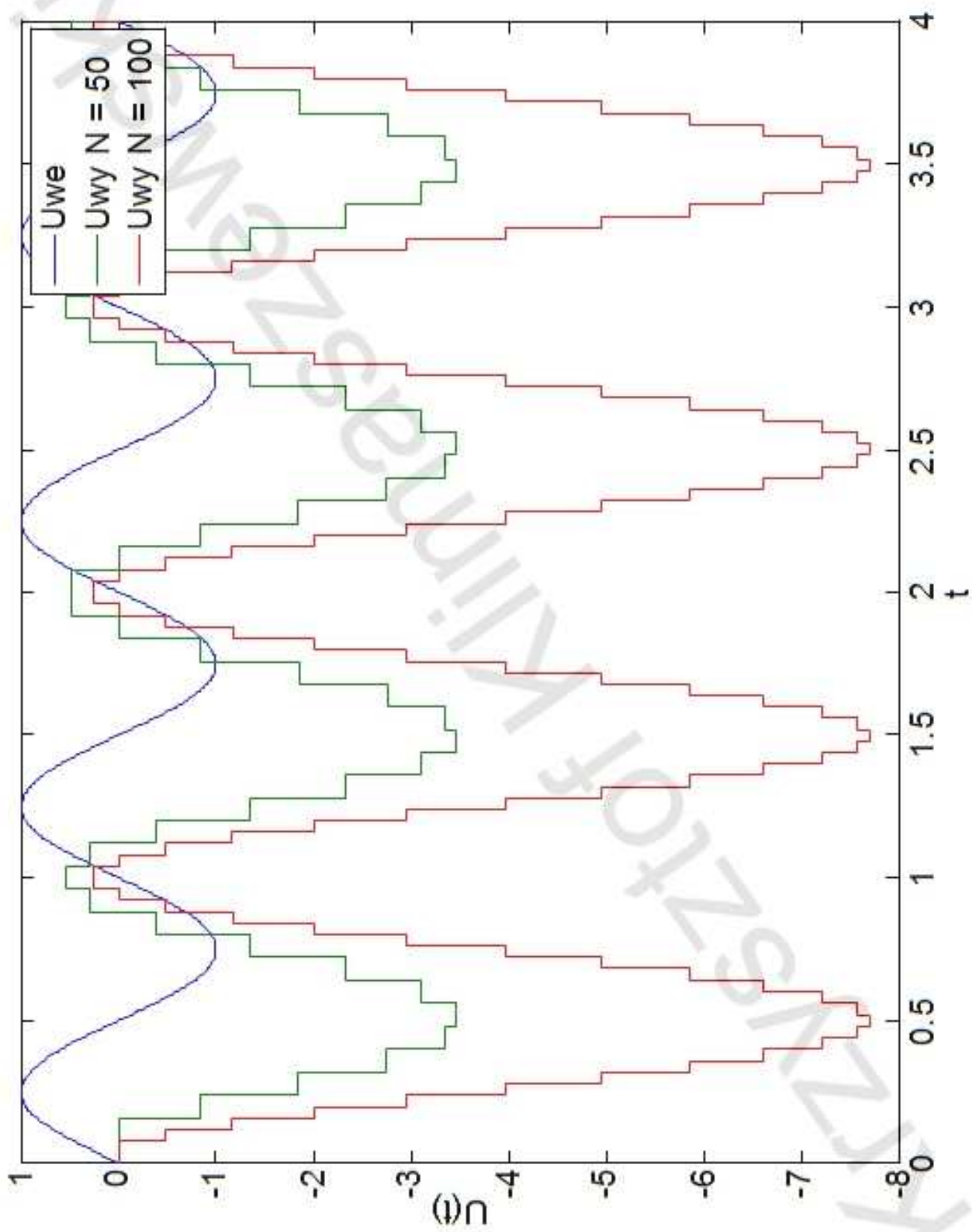
Filtr z przetaczonymi pojemnościami

- Faza 2



$$\Delta Q_{C_2} = Q_{C_1}$$

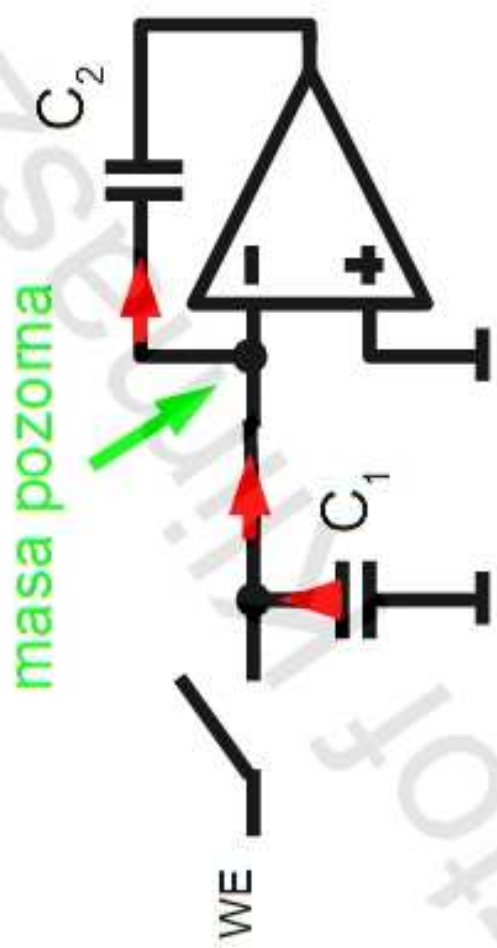
$$\Delta U_{WY} = - \Delta U_{C_2} = - \frac{C_1}{C_2} U_{WE}$$



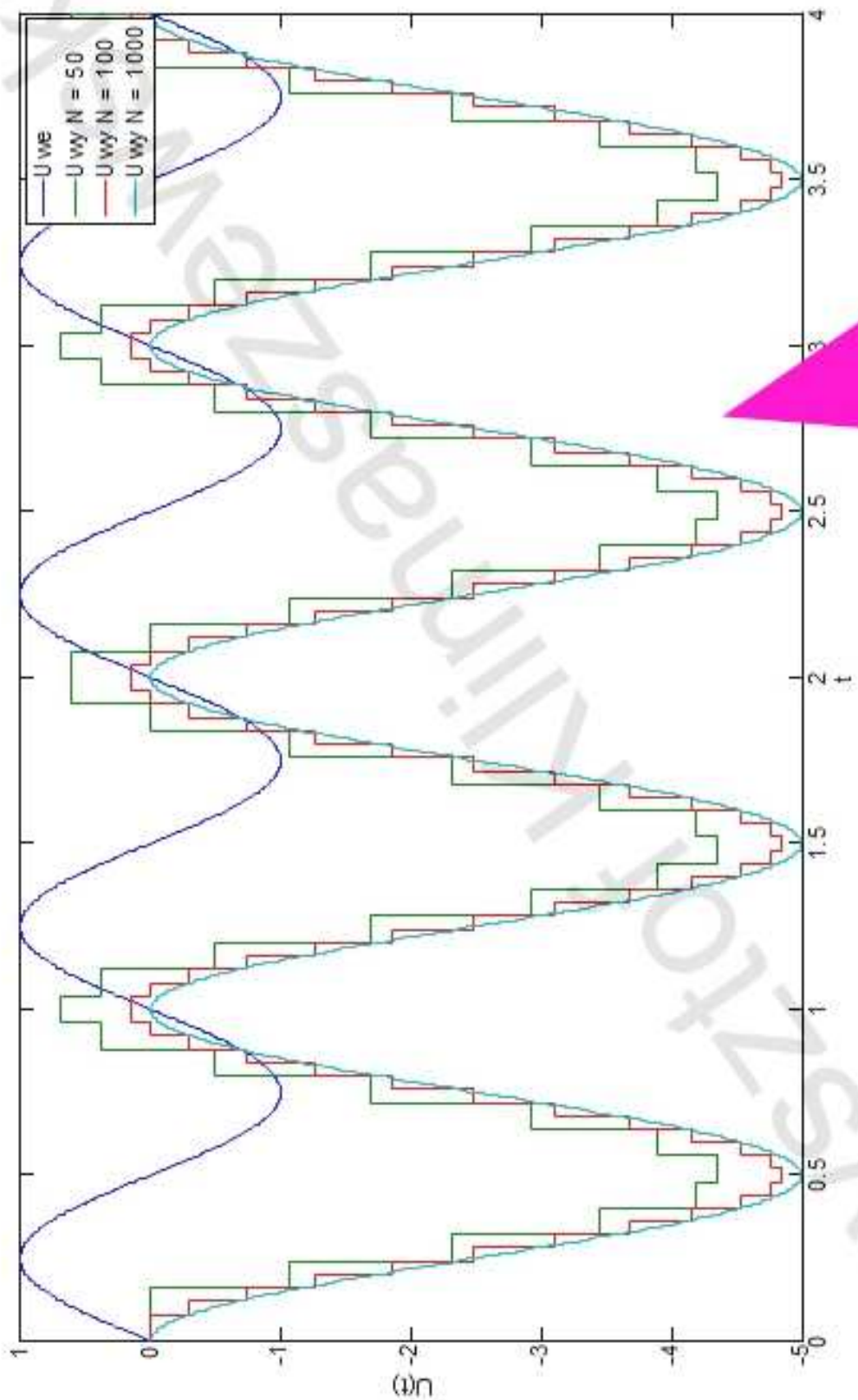
1000000 próbek, próbkowanie co N próbek

Filtr z przetaczonymi pojemnościami

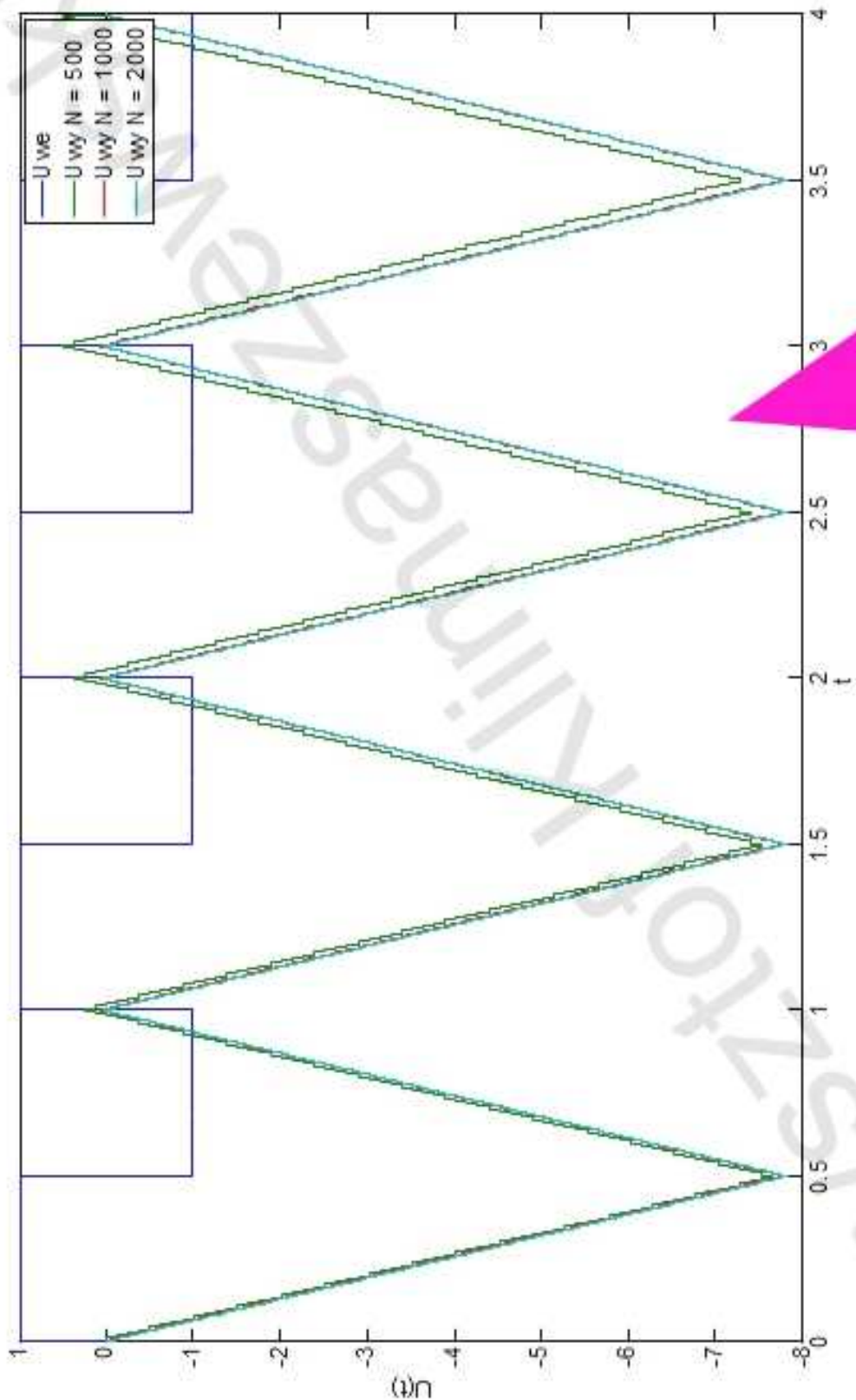
- Faza 2



$$U_{WY} = - \int_s \frac{C_1}{C_2} \cdot \int U_{WE}$$

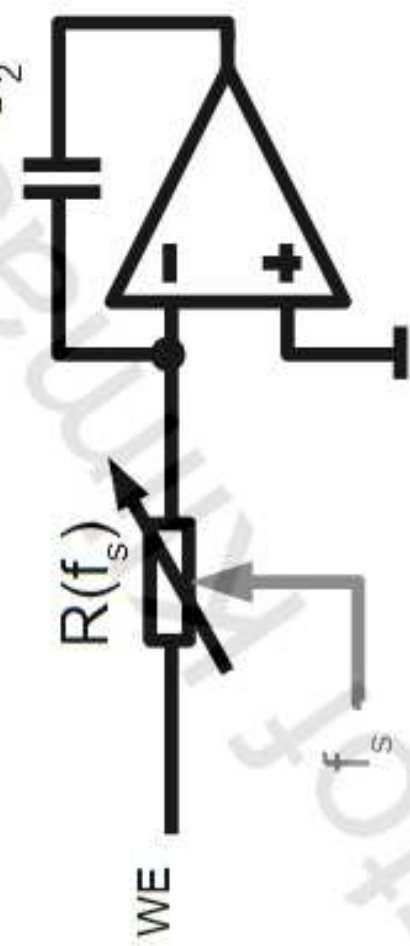


Znormalizowana amplituda przez podzielenie przez częstotliwość



Znormalizowana amplituda przez podzielenie przez częstotliwość

Filtr z przełącznymi pojemnościami



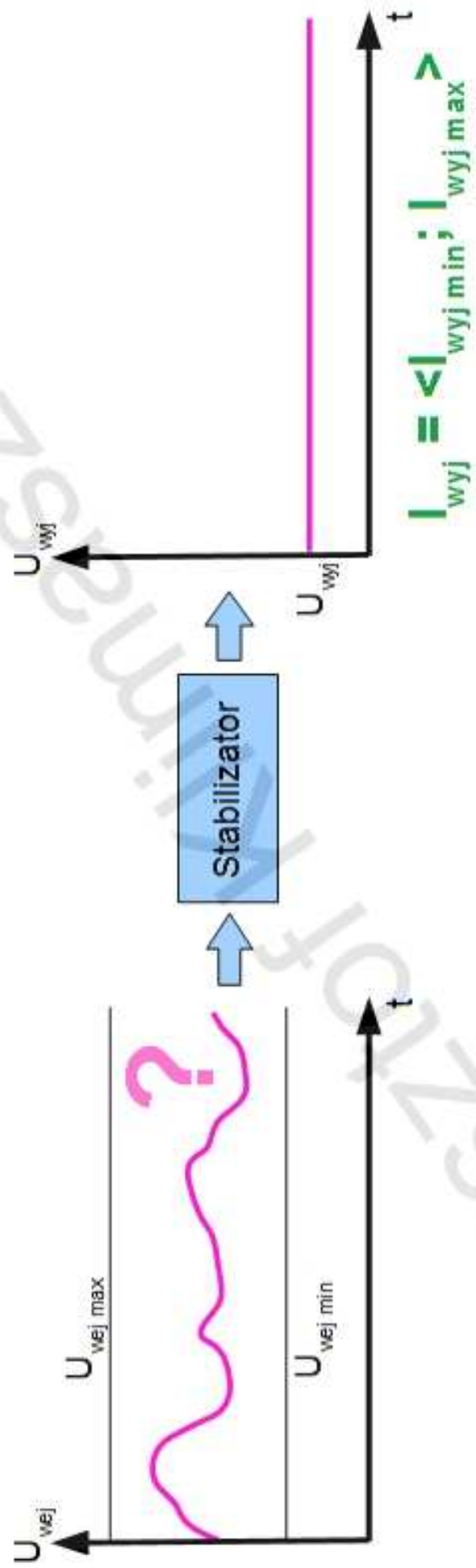
Analogowe Układy Elektroniczne

Krzysztof Klimaszewski

kklima@et.put.poznan.pl

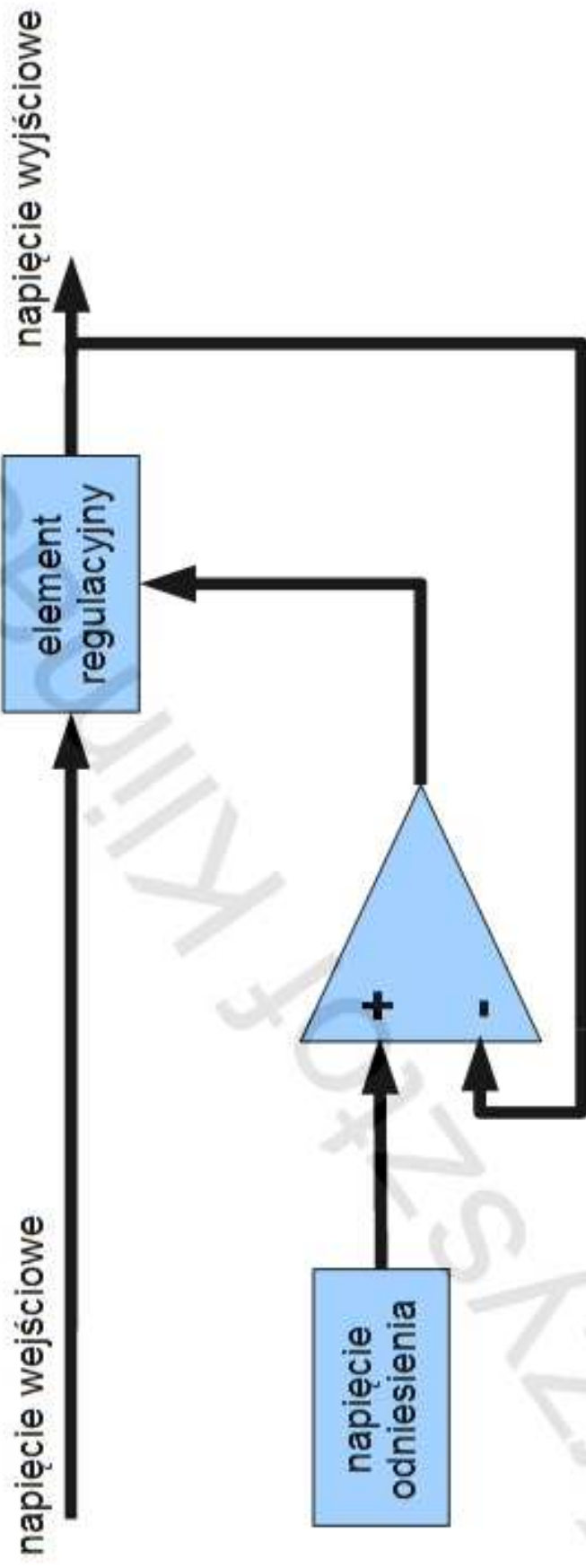
Polanka 3, pokój 118

Zastosowanie stabilizatorów



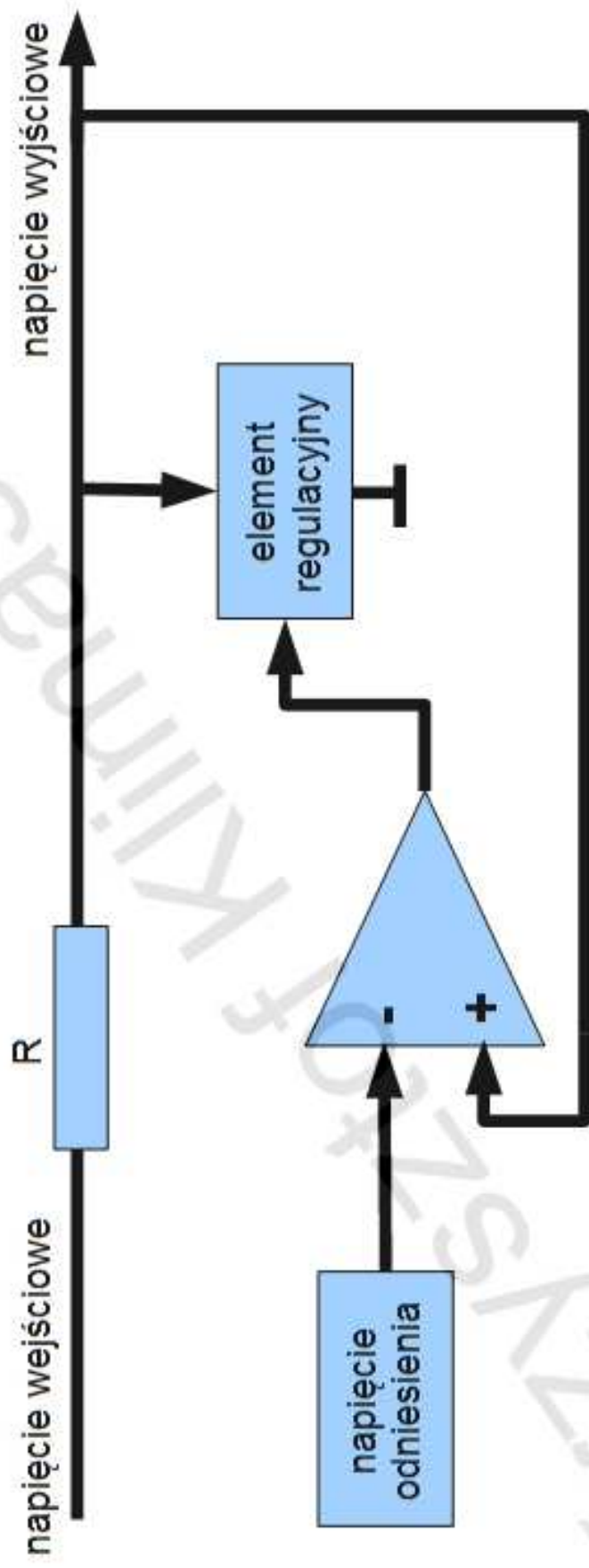
Stabilizatory liniowe

- stabilizator szeregowy

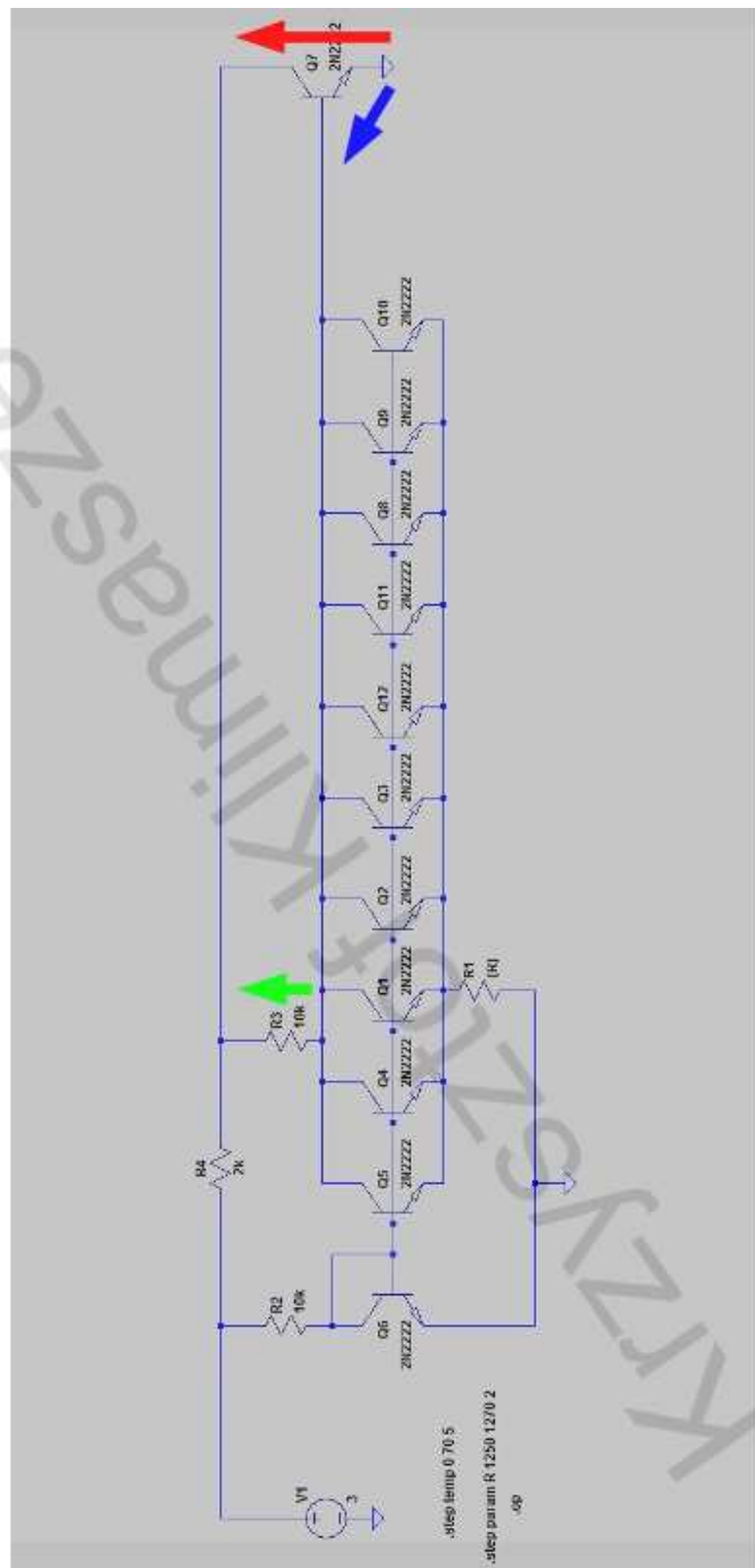


Stabilizatory liniowe

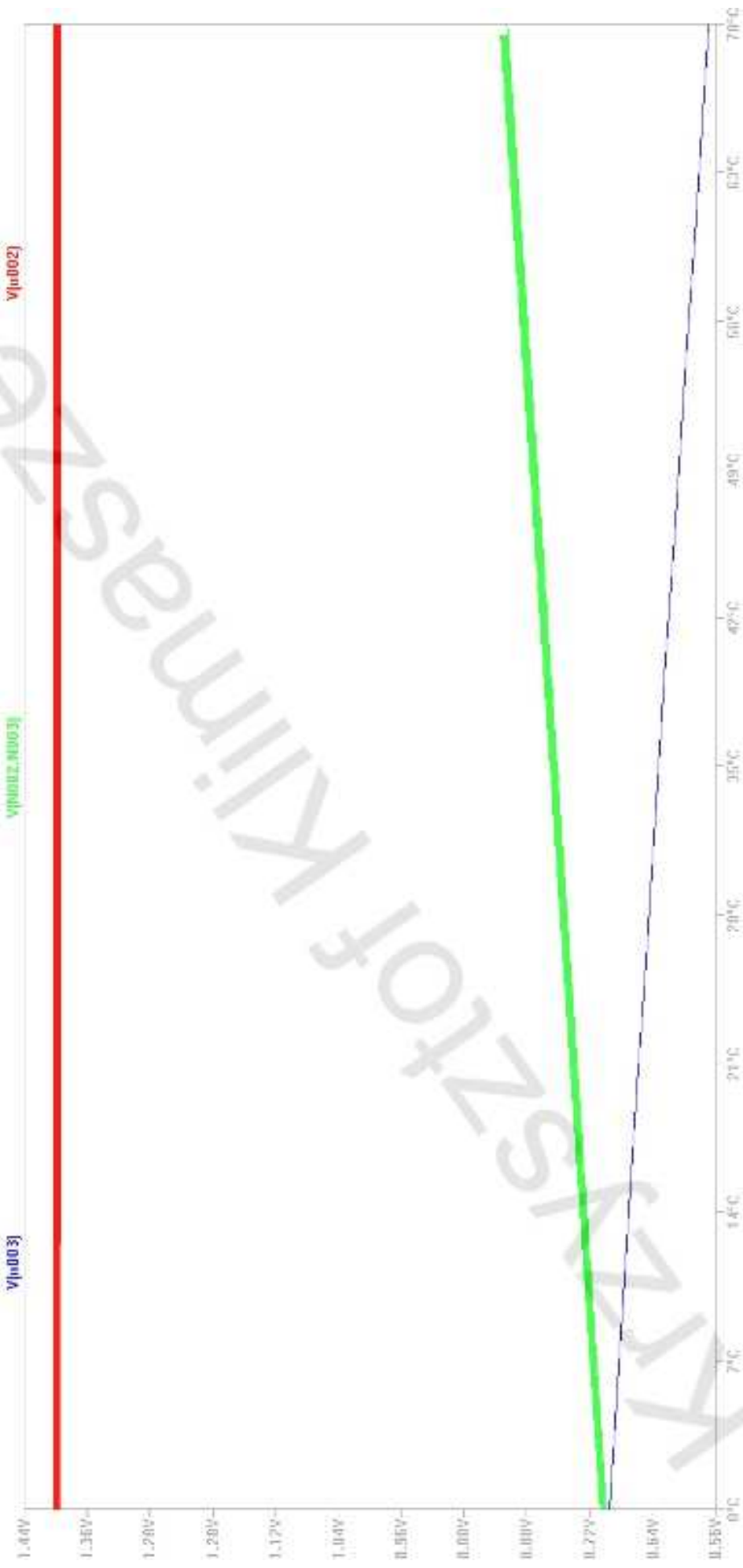
- stabilizator równoległy



Band gap reference



Band gap reference



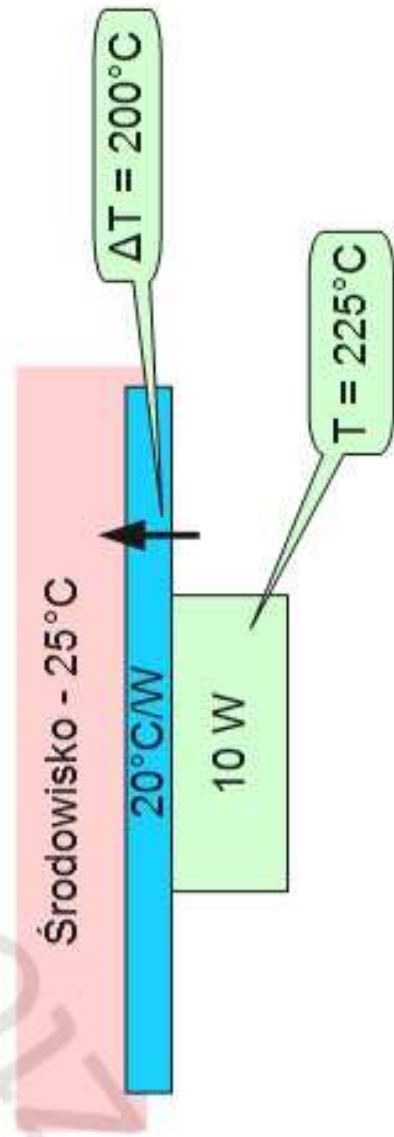
Rezystancja termiczna

- Analogicznie jak dla prądu, napięcia i rezystancji
 - przenoszona moc, różnica temperatur, rezystancja termiczna
 - Rezystancja termiczna liczona w $^{\circ}\text{C/W}$



Rezystancja termiczna

- Analogicznie jak dla prądu, napięcia i rezystancji
 - przenoszona moc, różnica temperatur, rezystancja termiczna
 - Rezystancja termiczna liczona w $^{\circ}\text{C/W}$



Rezystancja termiczna

- Typowe skróty:
 - R_{thJA} – Junction – Ambient (czasem też Θ_{JA} , $R_{\Theta_{JA}}$)
 - R_{thJC} – Junction – Case (czasem też Θ_{JC})
 - R_{thCH} – Case – Heatsink (czasem też Θ_{CH})
 - R_{thHA} – Heatsink – Ambient (czasem też Θ_{HA})
- Typowe ograniczenie:
 - Maksymalna temperatura pracy półprzewodników
 - Na przykład 150°C

Rezystancja termiczna

- Typowe skróty:
 - R_{thJA} – Junction – Ambient (czasem też Θ_{JA} , $R_{\Theta_{JA}}$)
 - R_{thJC} – Junction – Case (czy zależy od fizycznego ułożenia układu)
 - R_{thCH} – Case – Heatsink (czase -z Θ_{CH})
 - R_{thHA} – Heatsink – Ambient (czasem też Θ_{HA})
- Typowe ograniczenie:
 - Maksymalna temperatura pracy półprzewodników
 - Na przykład 150°C

Rezystancja termiczna

- Typowe skróty:

- R_{thJA} – Junction – Ambient
Można bardzo mocno zredukować przez dodanie wentylatora
- R_{thJC} – Junction – Case
- R_{thCH} – Case – Heatsink
- R_{thHA} – Heatsink – Ambient (czasem też Θ_{HA})

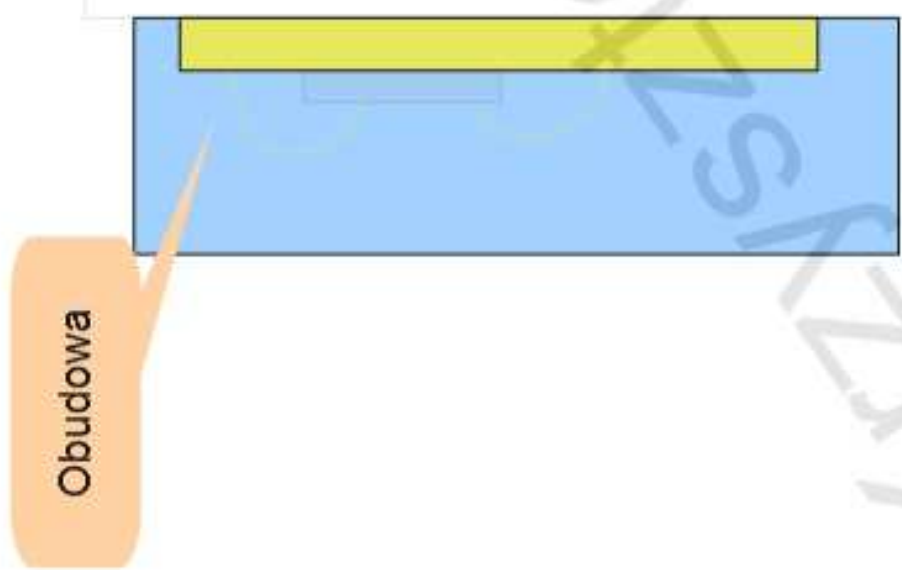
- Typowe ograniczenie:

- Maksymalna temperatura pracy półprzewodników
 - Na przykład 150°C

Rezystancja termiczna



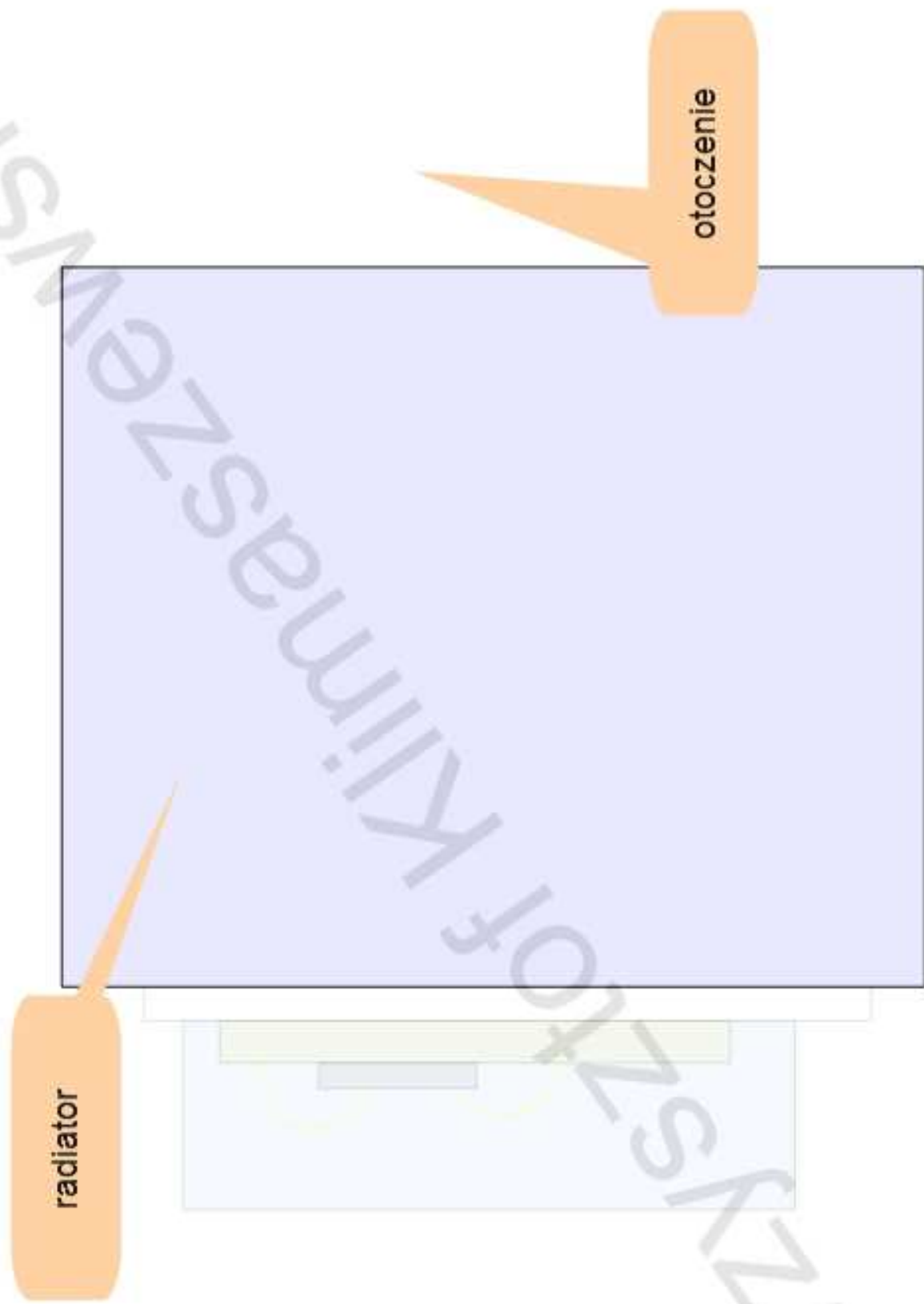
Rezystancja termiczna



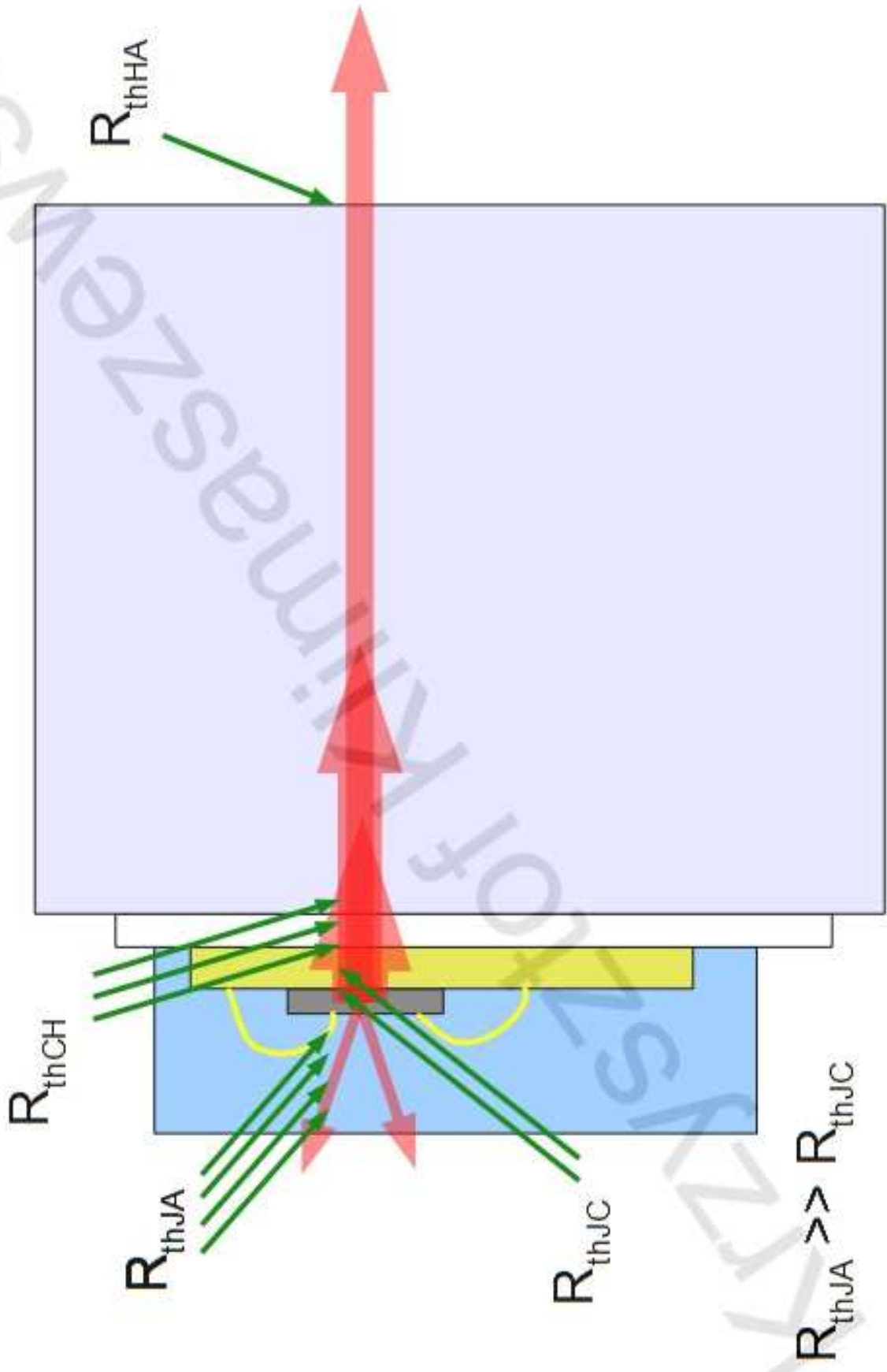
Rezystancja termiczna

podkładka lub
pasta termoprzewodząca

Rezystancja termiczna

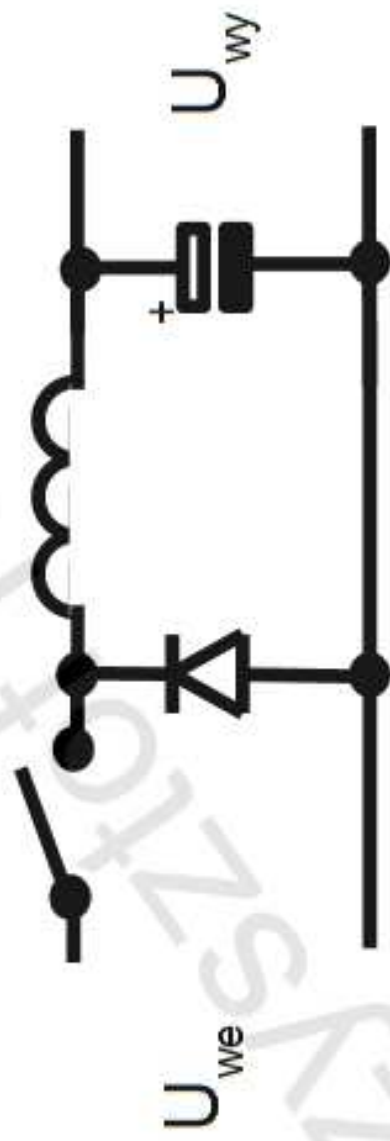


Rezystancja termiczna



Stabilizatory przełączające

- Konfiguracja obniżająca napięcie (*buck converter*)
 - napięcie wyjściowe mniejsze niż napięcie wejściowe



Stabilizatory przełączające

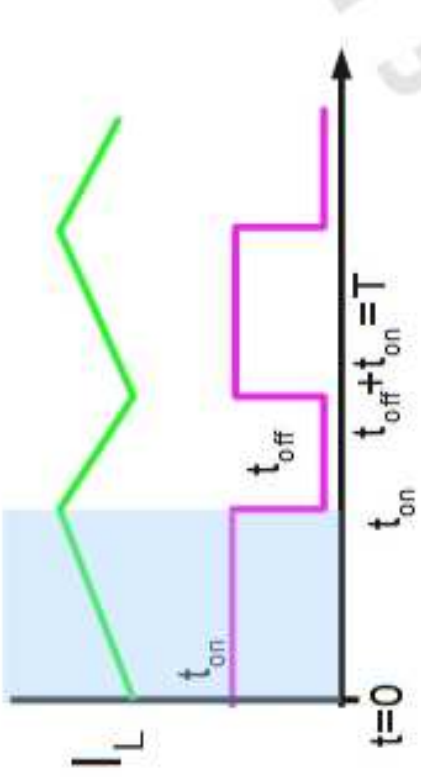
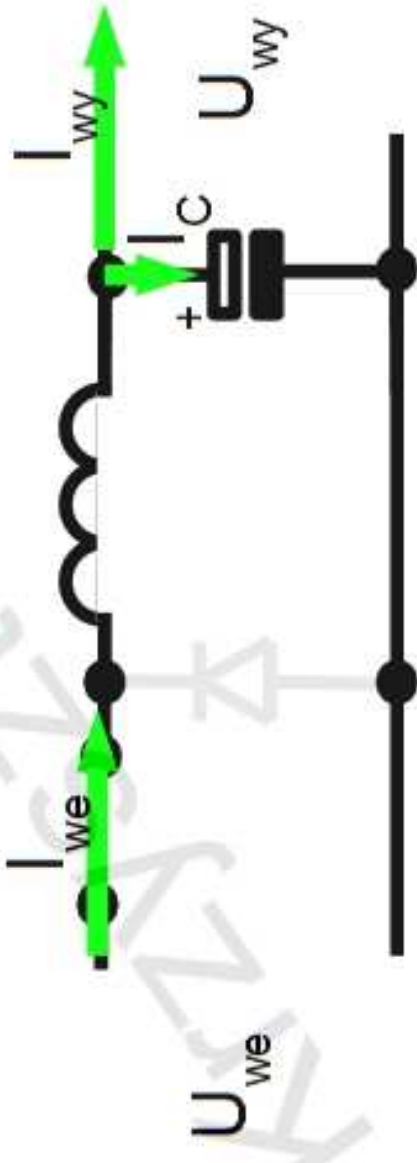
faza 1

$$I_L = \frac{1}{L} \int U_{we} - U_{wy} d\tau$$

prąd cewki narasta do wartości

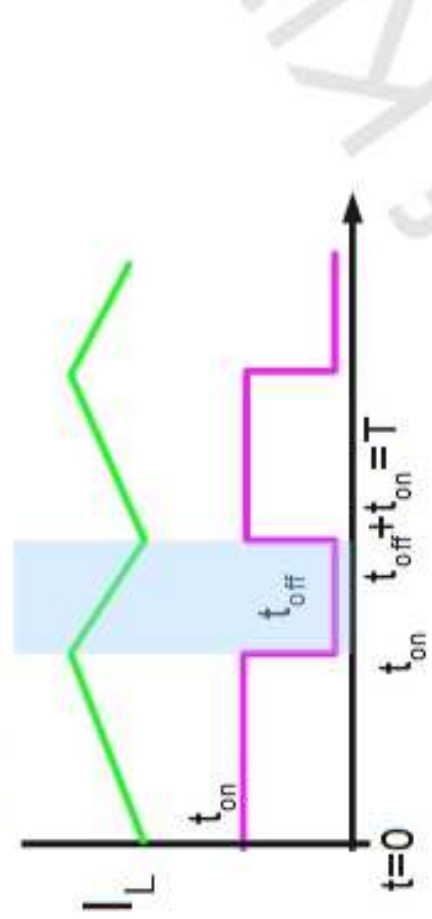
$$I_{LI} = I_{Lo} + \frac{1}{L} (U_{we} - U_{wy}) t_{on}$$

$$U_{we} - U_{wy}$$



Stabilizatory przełączające

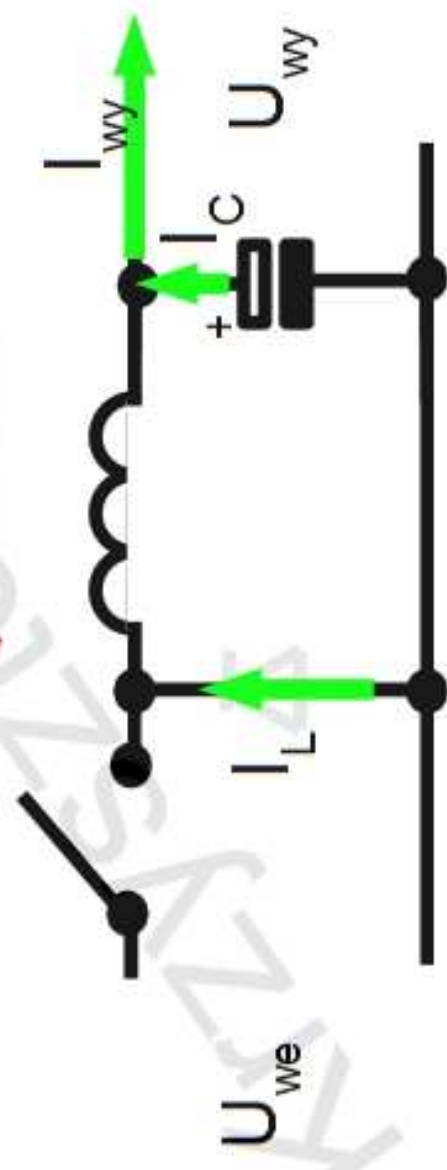
faza 2



$$I_L = \frac{1}{L} \int_i -U_{wy} d\tau$$

prąd cewki opada do wartości

$$I_{L2} = I_{L0} = I_{LI} - \frac{1}{L} (U_{wy}) t_{off}$$



cykl musi się zamknąć – prąd końcowy i początkowy kolejnego cyklu muszą się równać

Przetwornica obniżająca

$$I_{LI} = I_{Lo} + \frac{1}{L} (U_{we} - U_{wy}) t_{on}$$

$$I_{Lo} = I_{LI} - \frac{1}{L} U_{wy} t_{off}$$

$$I_{LI} = I_{LI} - \frac{1}{L} U_{wy} t_{off} + \frac{1}{L} (U_{we} - U_{wy}) t_{on}$$

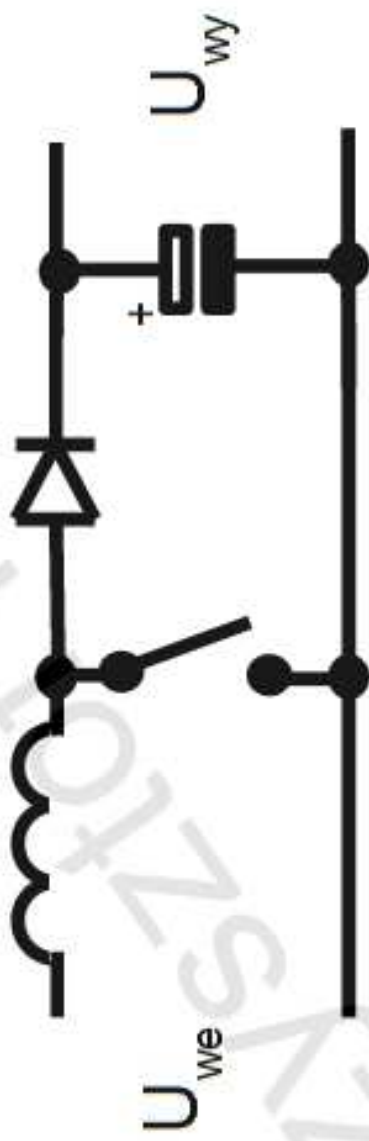
$$\frac{1}{L} U_{wy} t_{off} = \frac{1}{L} (U_{we} - U_{wy}) t_{on}$$

$$U_{wy} = U_{we} \cdot \frac{t_{on}}{t_{on} + t_{off}} = U_{we} \cdot \frac{t_{on}}{T}$$

$$U_{wy} = U_{we} \cdot \frac{t_{on}}{T}$$

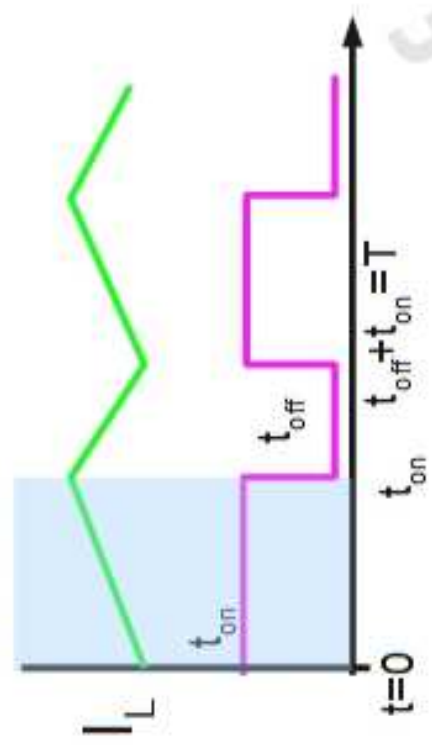
Stabilizatory przełączające

- Konfiguracja podwyższająca napięcie (*boost converter*)
 - napięcie wyjściowe większe (!) niż napięcie wejściowe



Stabilizatory przełączające

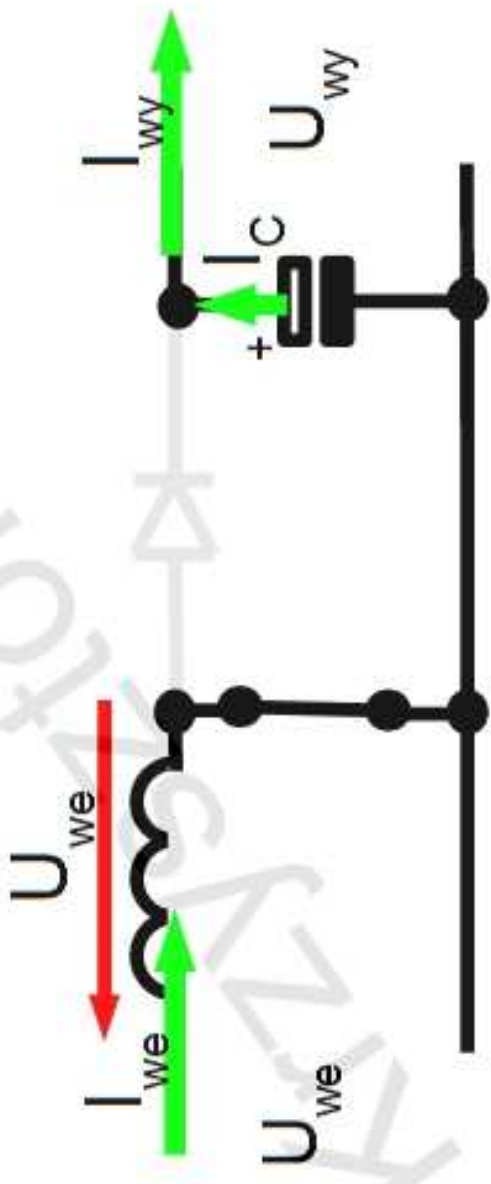
faza 1



$$I_L = \frac{1}{L} \int U_{we} d\tau$$

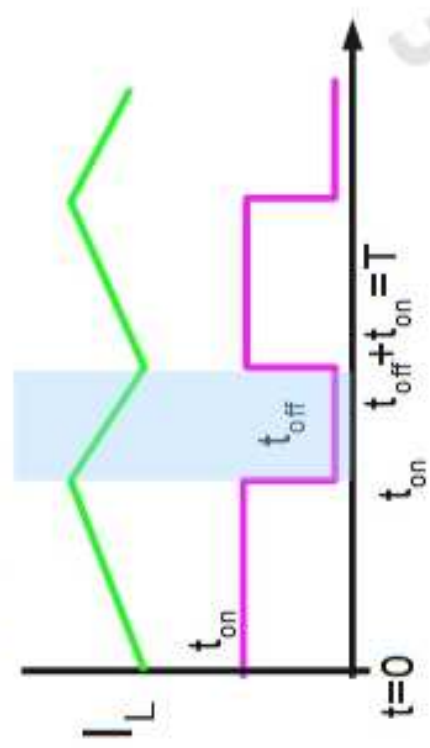
prąd cewki narasta do wartości

$$I_{LI} = I_{L0} + \frac{1}{L} (U_{we}) \cdot t_{on}$$



Stabilizatory przełączające

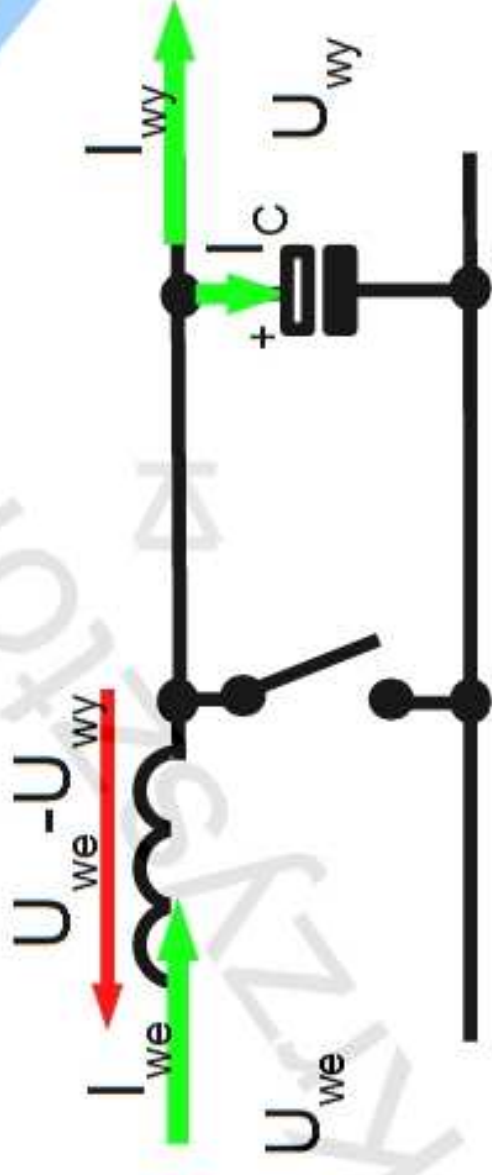
faza 2



$$I_L = \frac{1}{L} \int U_{we} - U_{wy} d\tau$$

prąd cewki opada do wartości

$$I_{L2} = I_{L0} = I_{LI} + \frac{1}{L} (U_{we} - U_{wy}) t_{off}$$



cykl musi się zamknąć – prąd końcowy i początkowy kolejnego cyklu muszą się równać

Przetwornica podwyższająca

$$I_{LI} = I_{Lo} + \frac{1}{L} (U_{we}) t_{on}$$

$$I_{Lo} = I_{LI} + \frac{1}{L} (U_{we} - U_{wy}) t_{off}$$

$$I_{LI} = I_{Lo} + \frac{1}{L} (U_{we} - U_{wy}) t_{off} + \frac{1}{L} (U_{we}) t_{on}$$

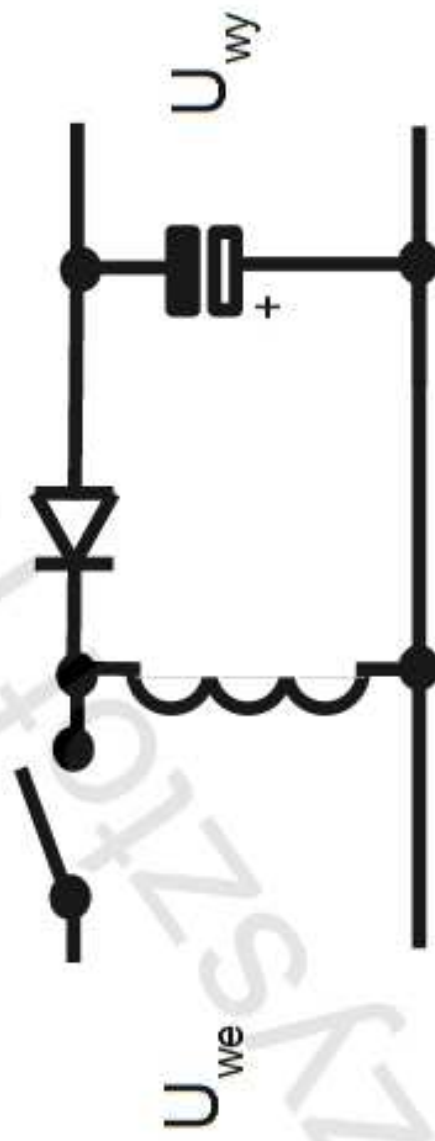
$$\frac{1}{L} (U_{we} - U_{wy}) t_{off} = - \frac{1}{L} (U_{we}) t_{on}$$

$$U_{wy} = U_{we} \cdot \frac{t_{on} + t_{off}}{t_{off}} = U_{we} \cdot \frac{T}{t_{off}}$$

$$U_{wy} = U_{we} \cdot \frac{T}{t_{off}}$$

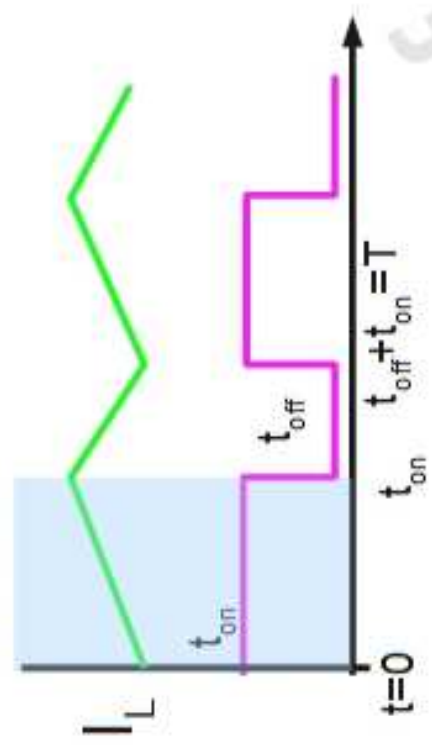
Stabilizatory przetwarzające

- Konfiguracja odwracająca napięcie (*buck-boost converter*)
 - wartość bezwzględna napięcia wyjściowego większa lub mniejsza niż napięcia wejściowego,**ODWROTNĄ POLARYZACJĄ**



Stabilizatory przełączające

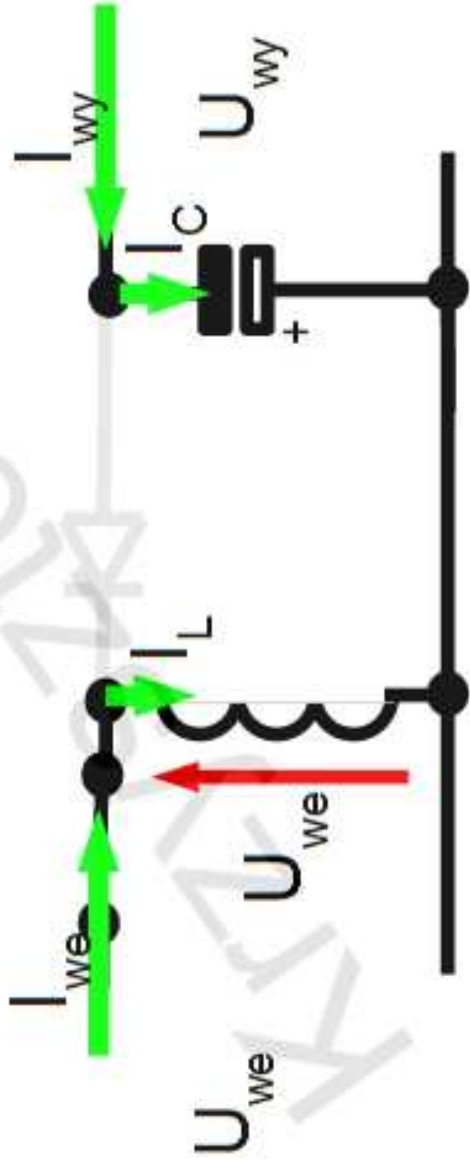
faza 1



$$I_L = \frac{1}{L} \int U_{we} d\tau$$

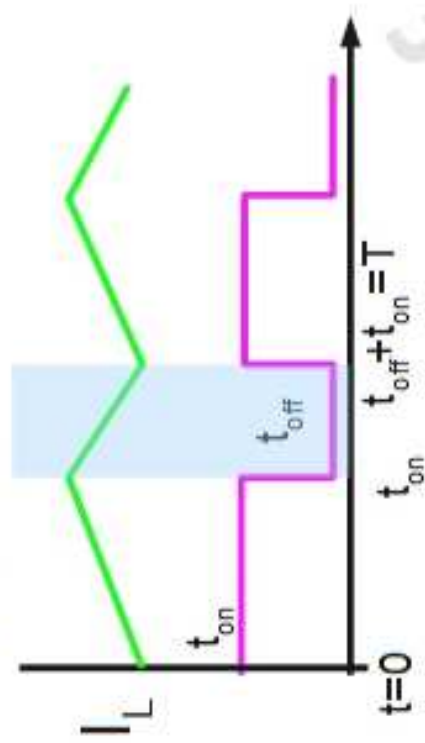
prąd cewki narasta do wartości

$$I_{LI} = I_{L0} + \frac{1}{L} (U_{we}) \cdot t_{on}$$



Stabilizatory przełączające

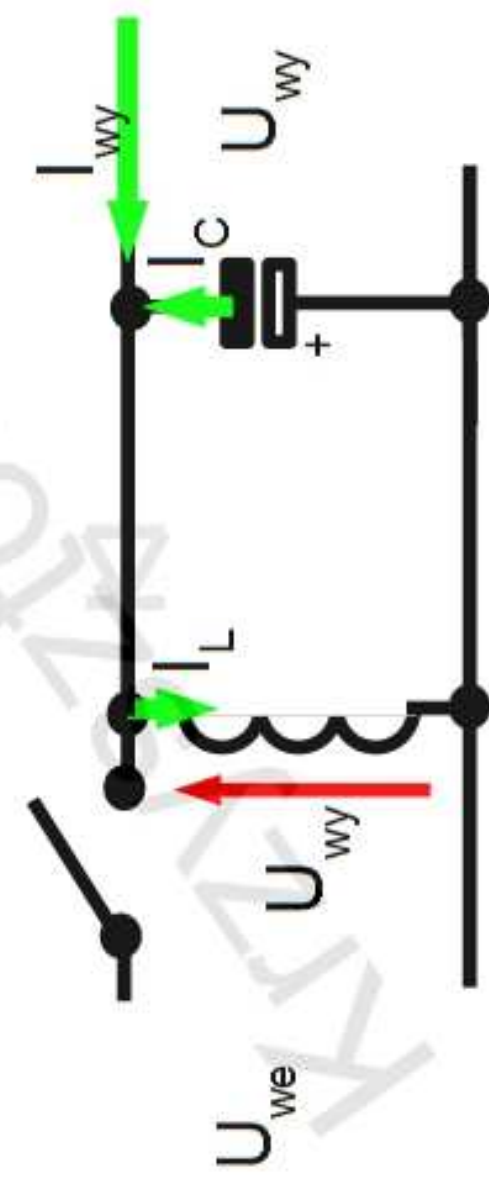
faza 2



$$I_L = \frac{1}{L} \int U_{wy} d\tau$$

prąd cewki opada do wartości

$$I_{L2} = I_{L0} = I_{L1} + \frac{1}{L} (U_{wy}) t_{off}$$



cykl musi się zamknąć – prąd końcowy i początkowy kolejnego cyklu muszą się równać

Przetwornica odwracająca

$$I_{LI} = I_{Lo} + \frac{1}{L} (U_{we}) t_{on}$$

$$I_{Lo} = I_{LI} + \frac{1}{L} (U_{wy}) t_{off}$$

$$I_{LI} = I_{LI} + \frac{1}{L} (U_{wy}) t_{off} + \frac{1}{L} (U_{we}) t_{on}$$

$$\frac{1}{L} (U_{wy}) t_{off} = - \frac{1}{L} (U_{we}) t_{on}$$

$$U_{wy} = - U_{we} \cdot \frac{t_{on}}{t_{off}}$$

Analogowe Układy Elektroniczne

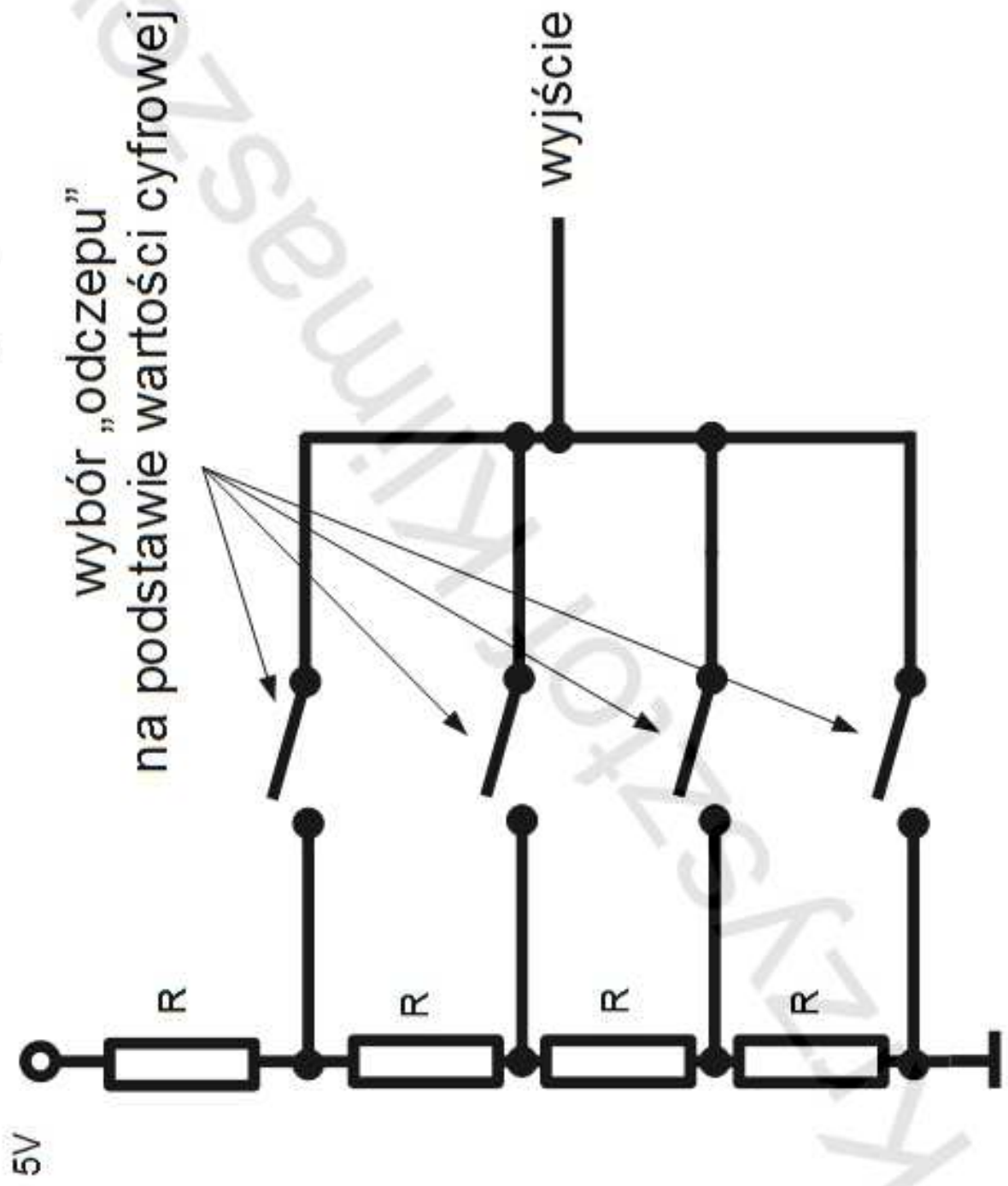
Krzysztof Klimaszewski

kklima@et.put.poznan.pl

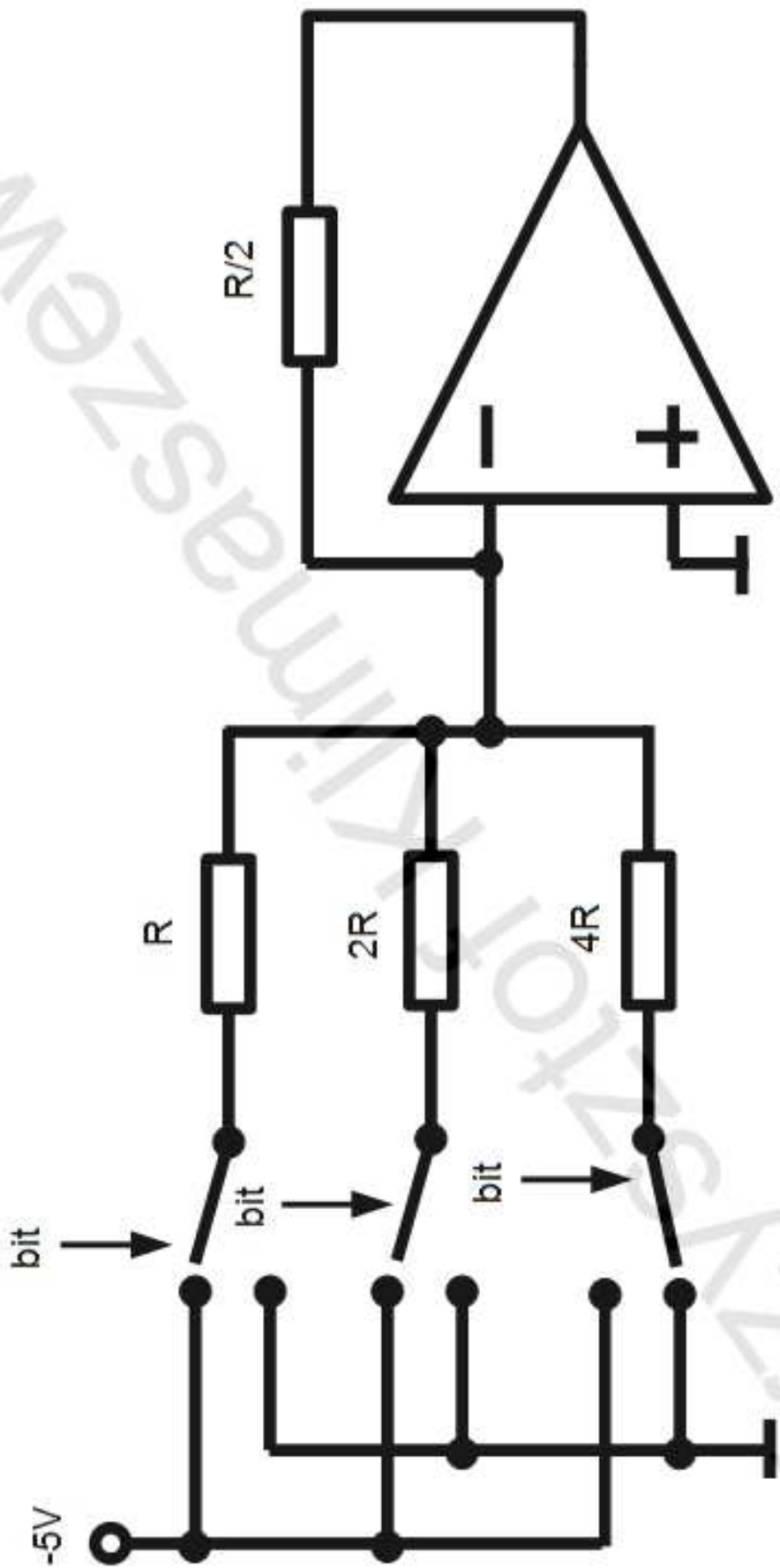
Polanka 3, pokój 118

Dzielnik napięcia

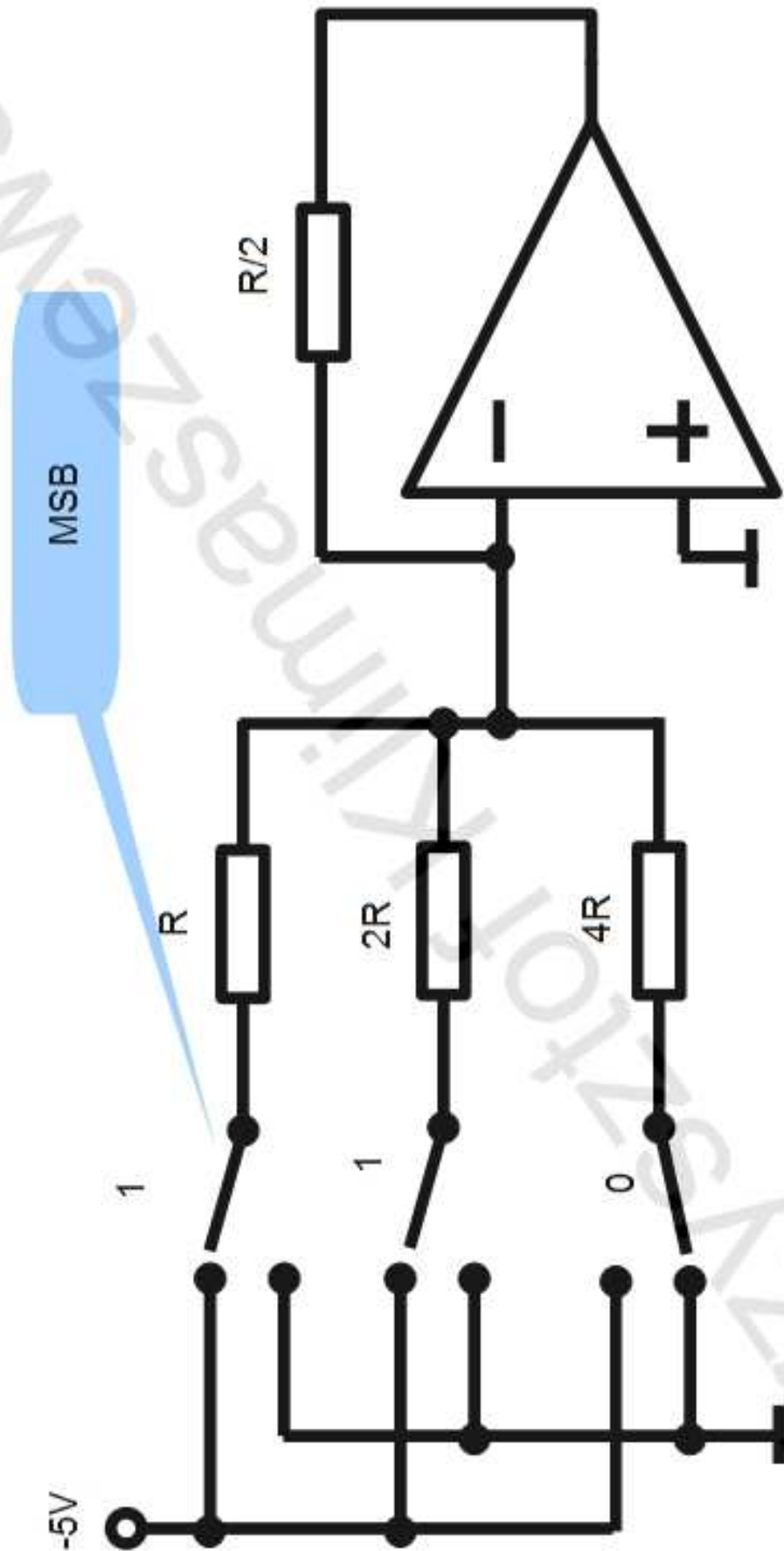
wybór „odczepu”
na podstawie wartości cyfrowej



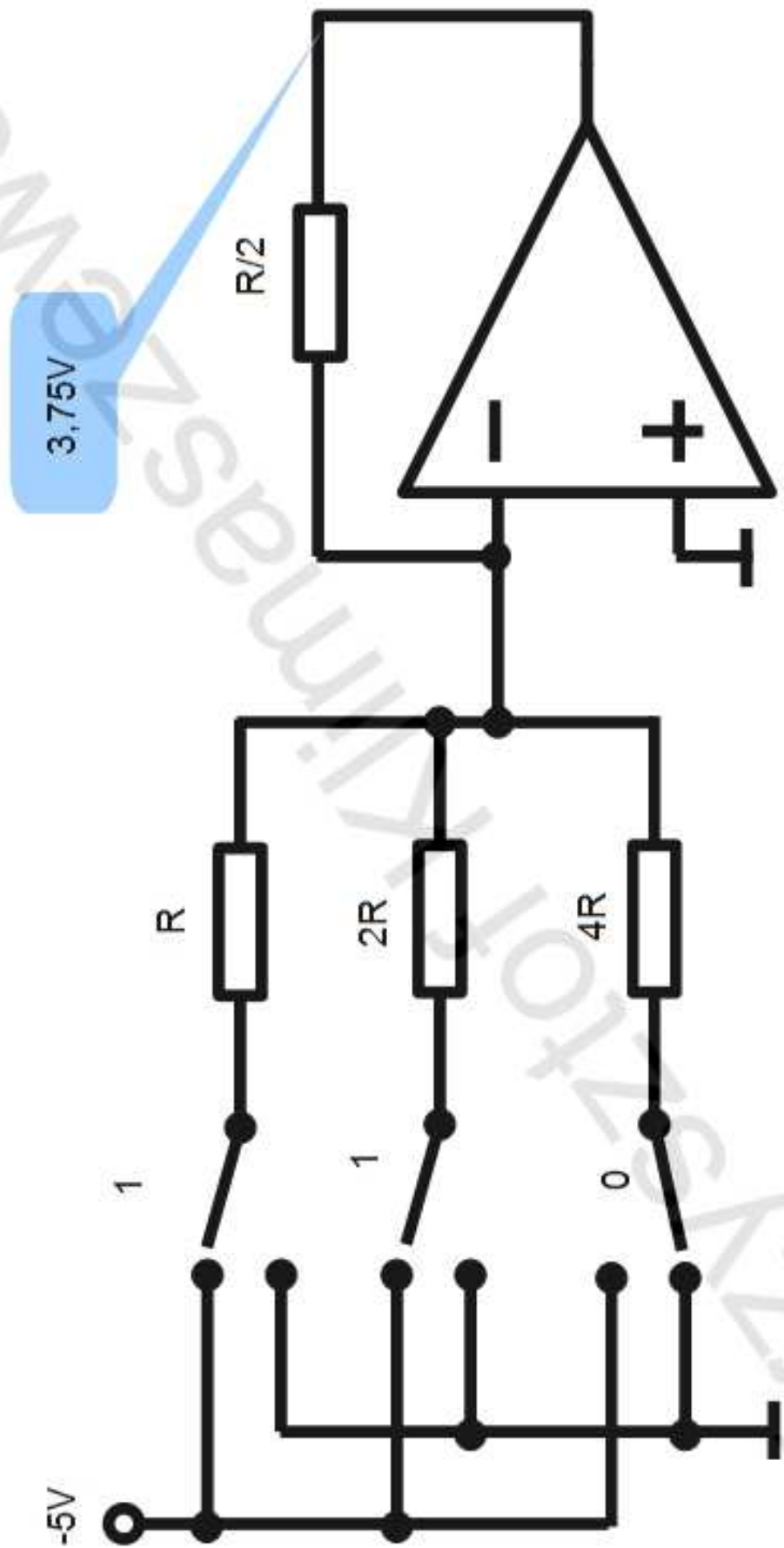
Przetwornik z rezystorami wagowymi



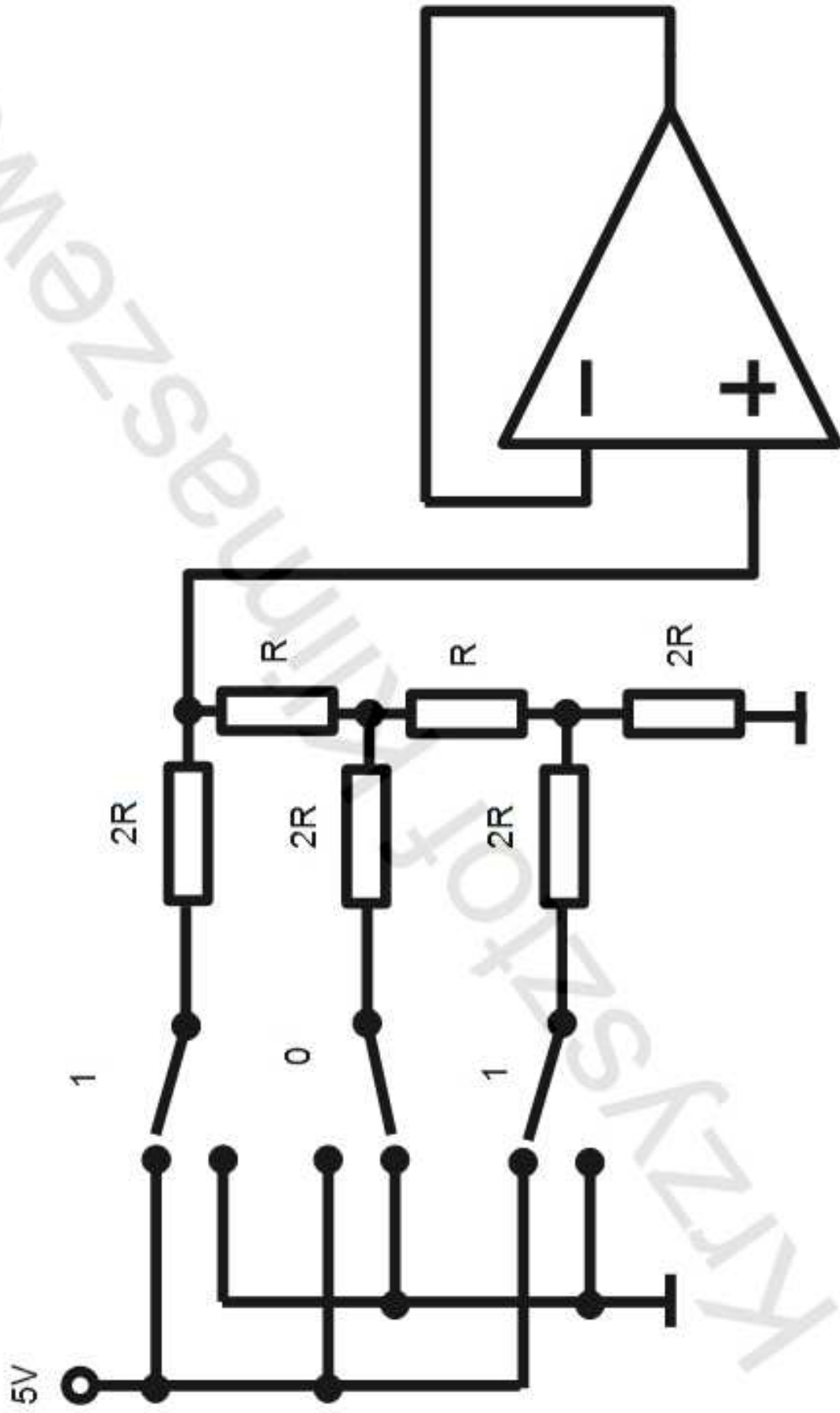
Przetwornik z rezystorami wagowymi



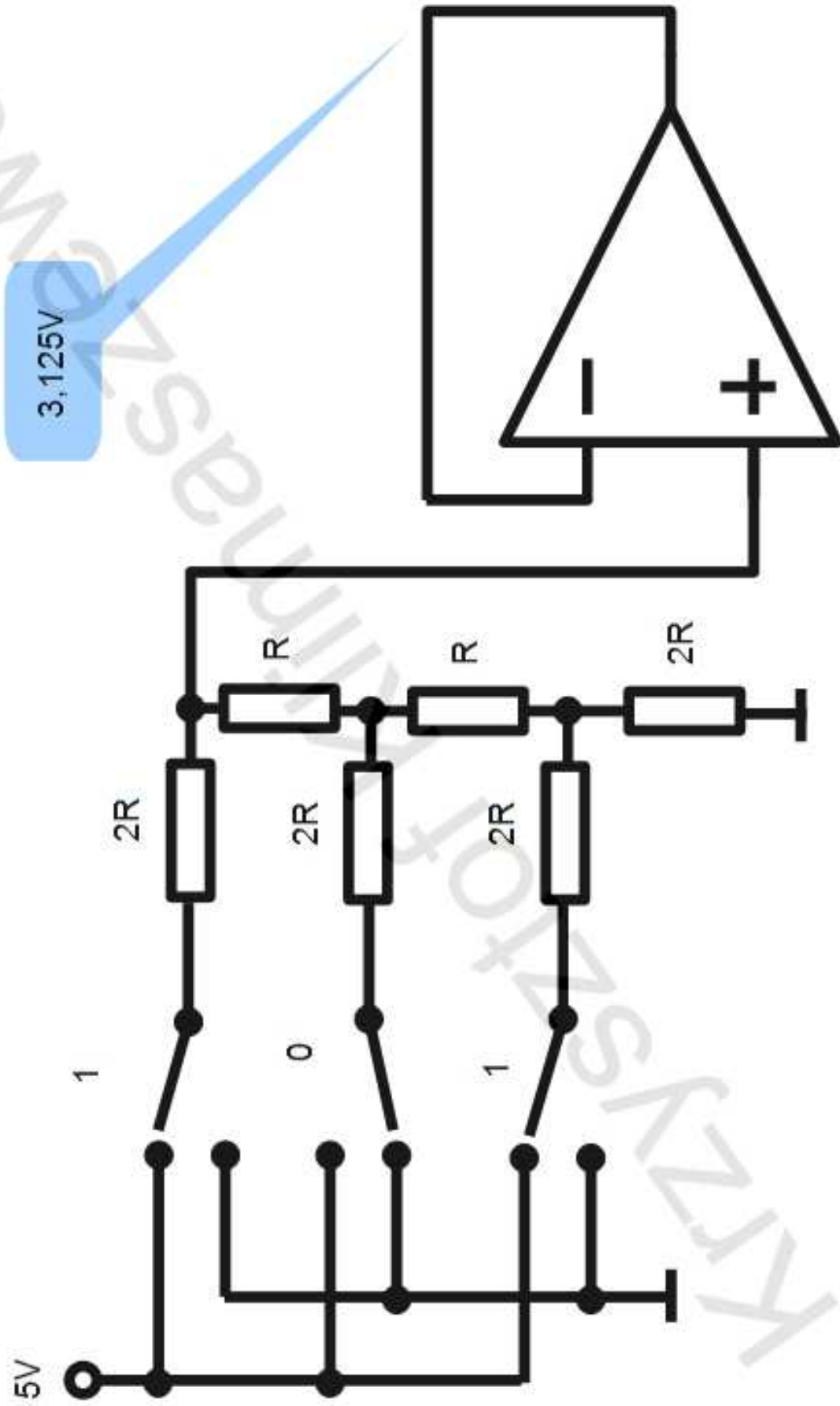
Przetwornik z rezystorami wagowymi



Drobinka R-2R



Drabinka R-2R

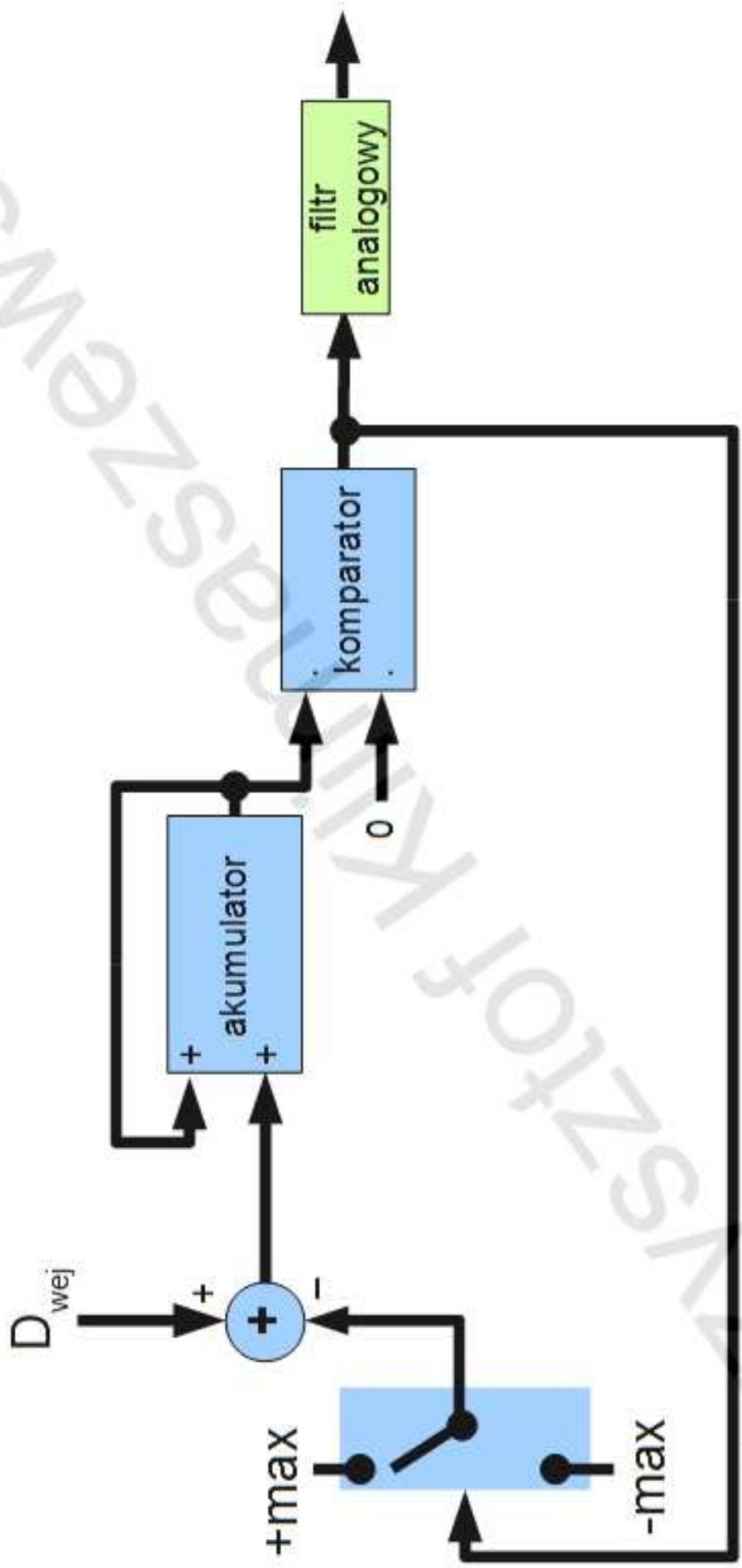


układ PWM

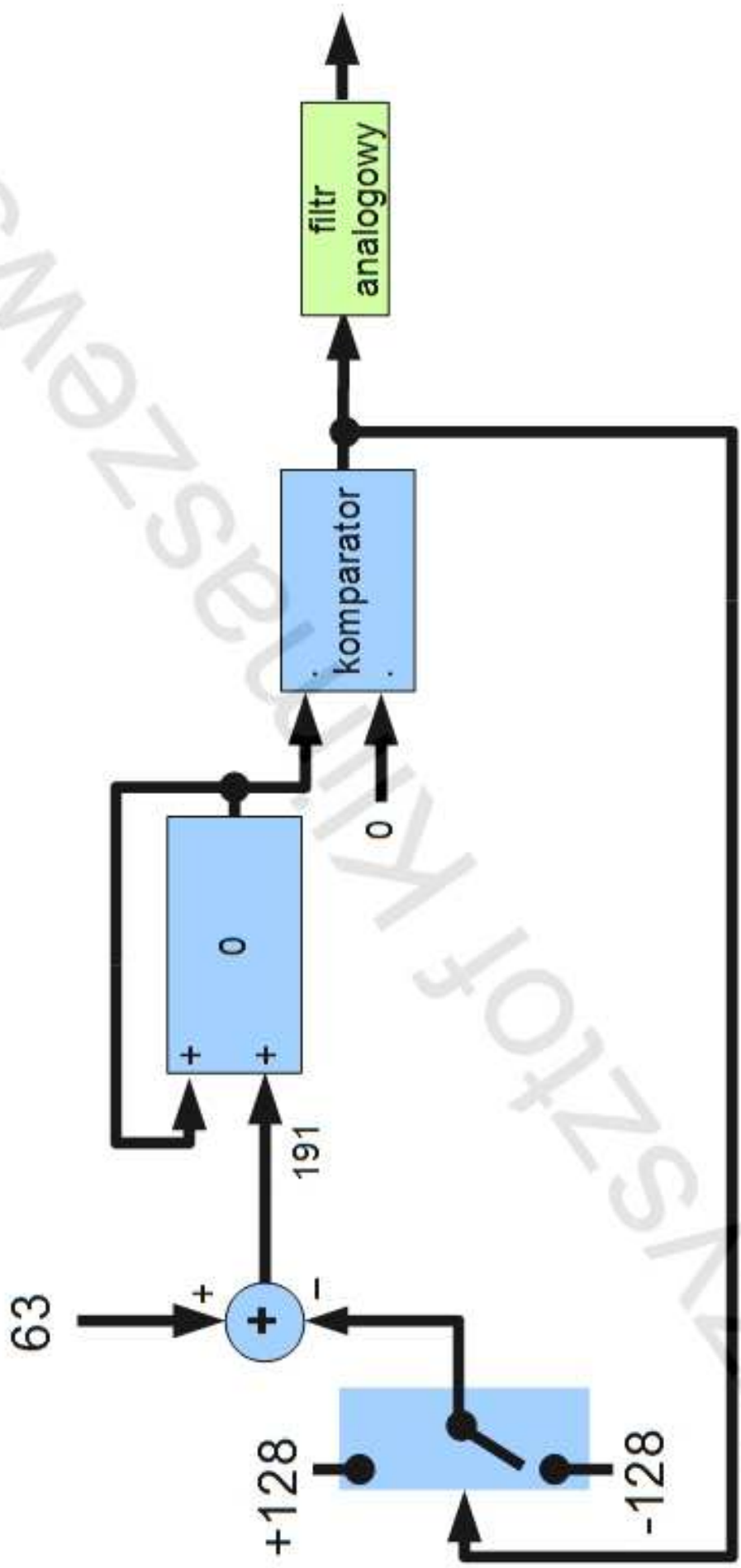
- podobnie, jak we wzmacniaczu klasy D



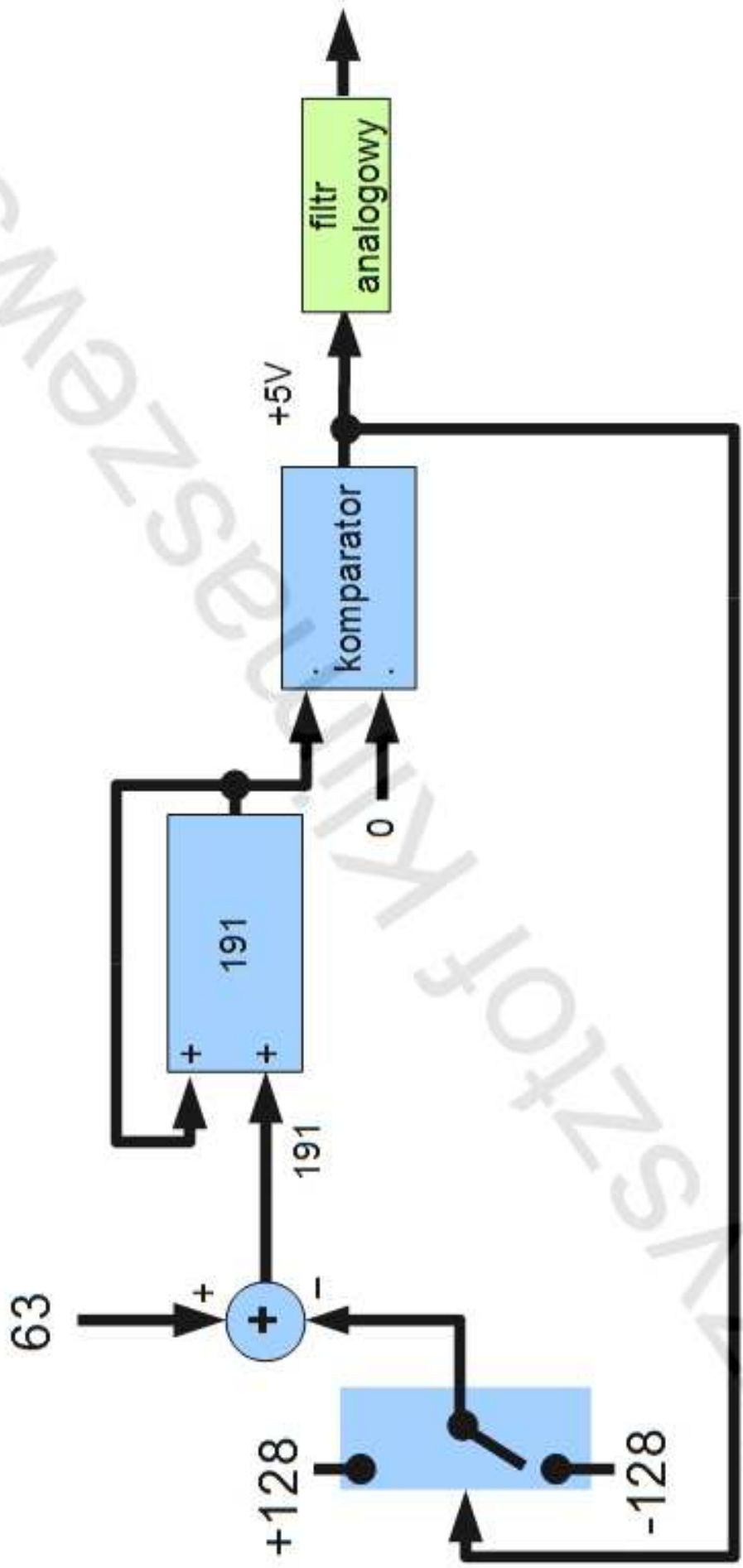
układ delta-sigma ($\Delta\Sigma$)



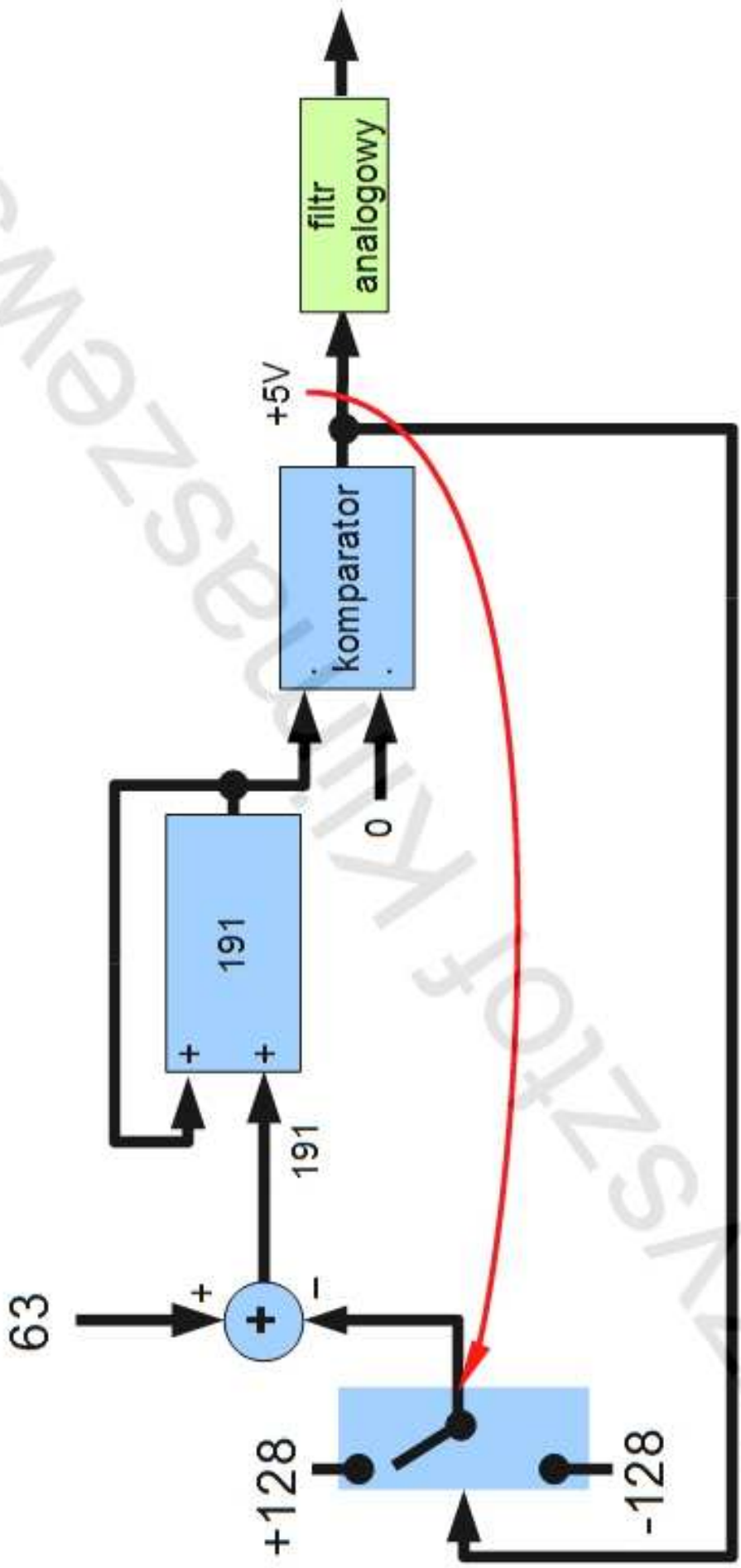
układ delta-sigma ($\Delta\Sigma$)



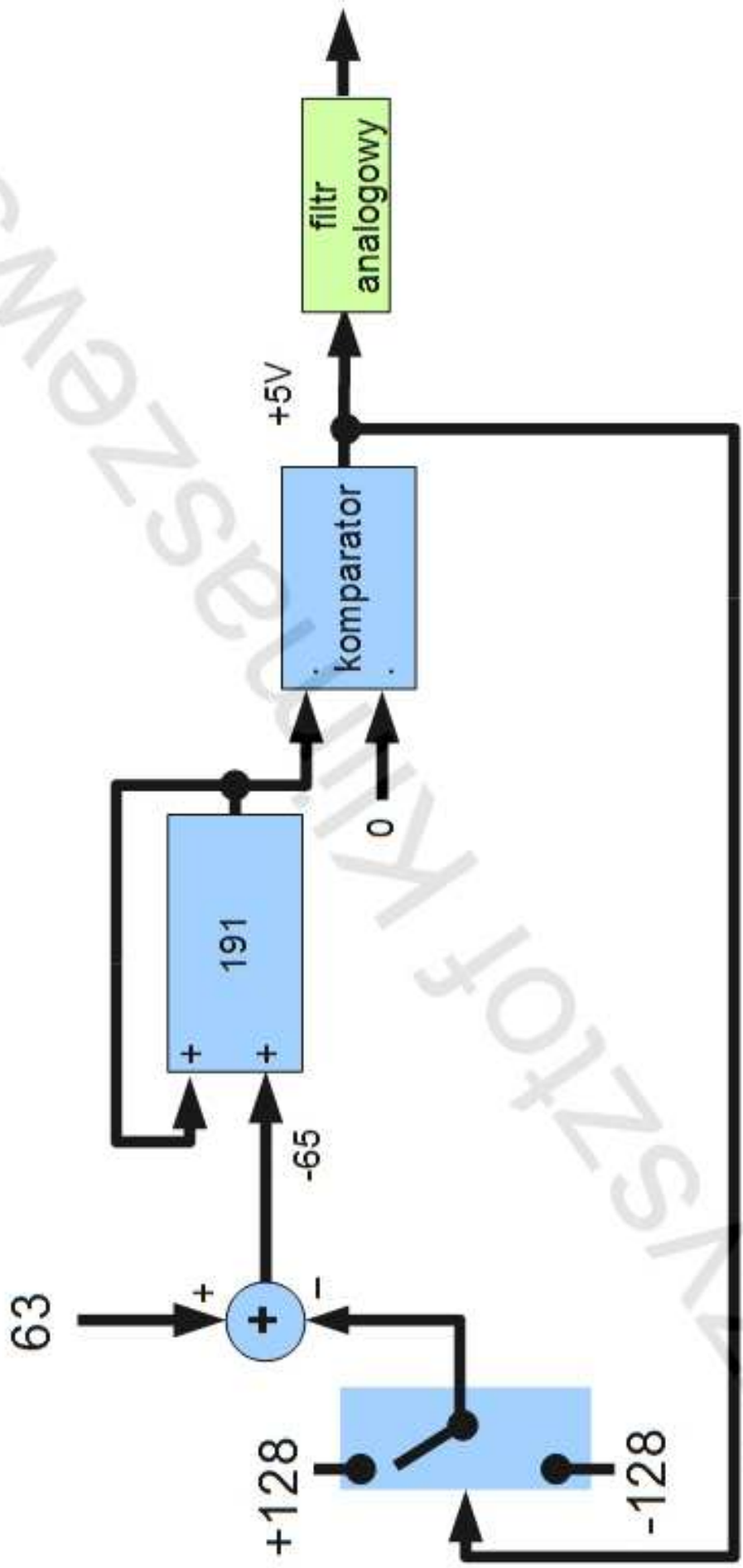
układ delta-sigma ($\Delta\Sigma$)



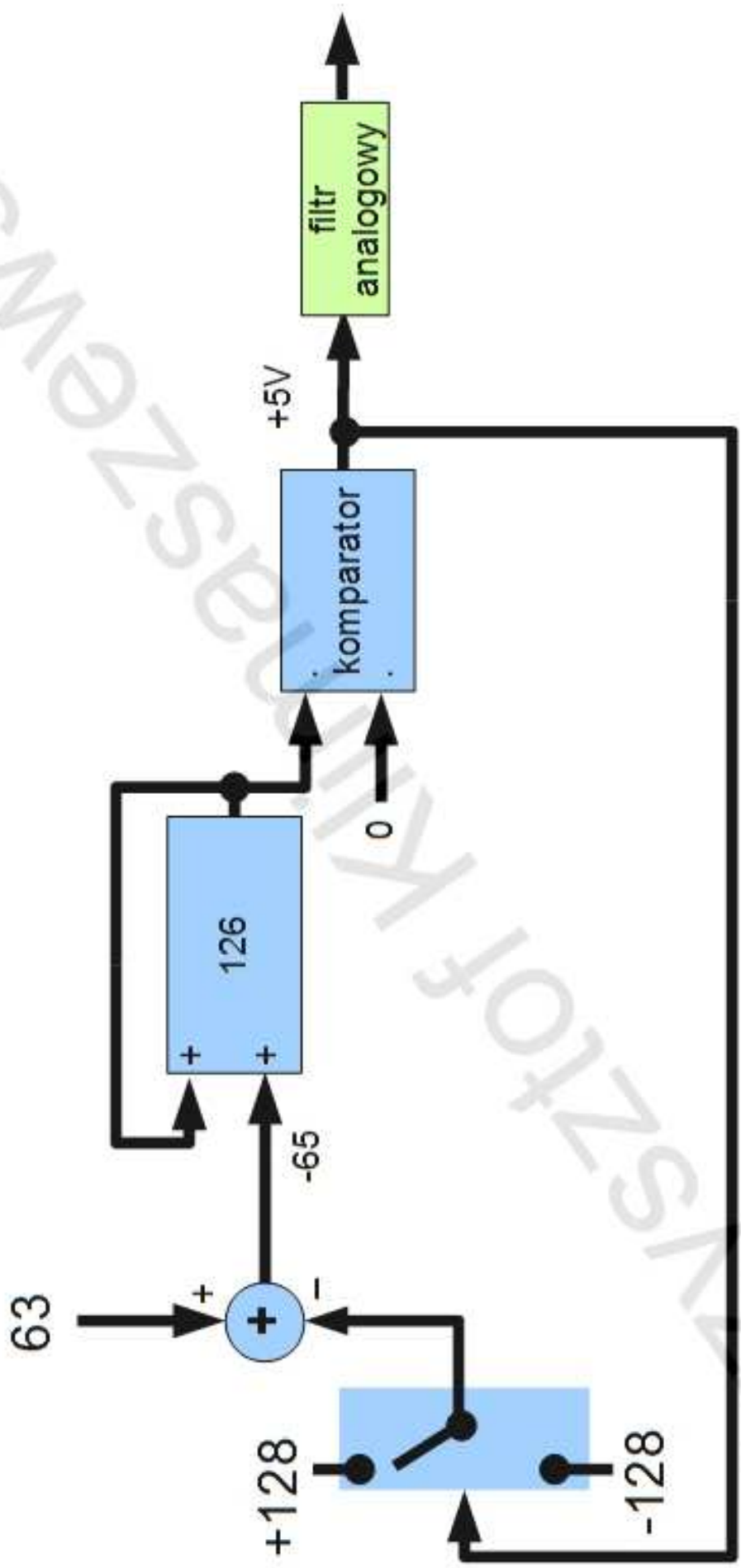
układ delta-sigma ($\Delta\Sigma$)



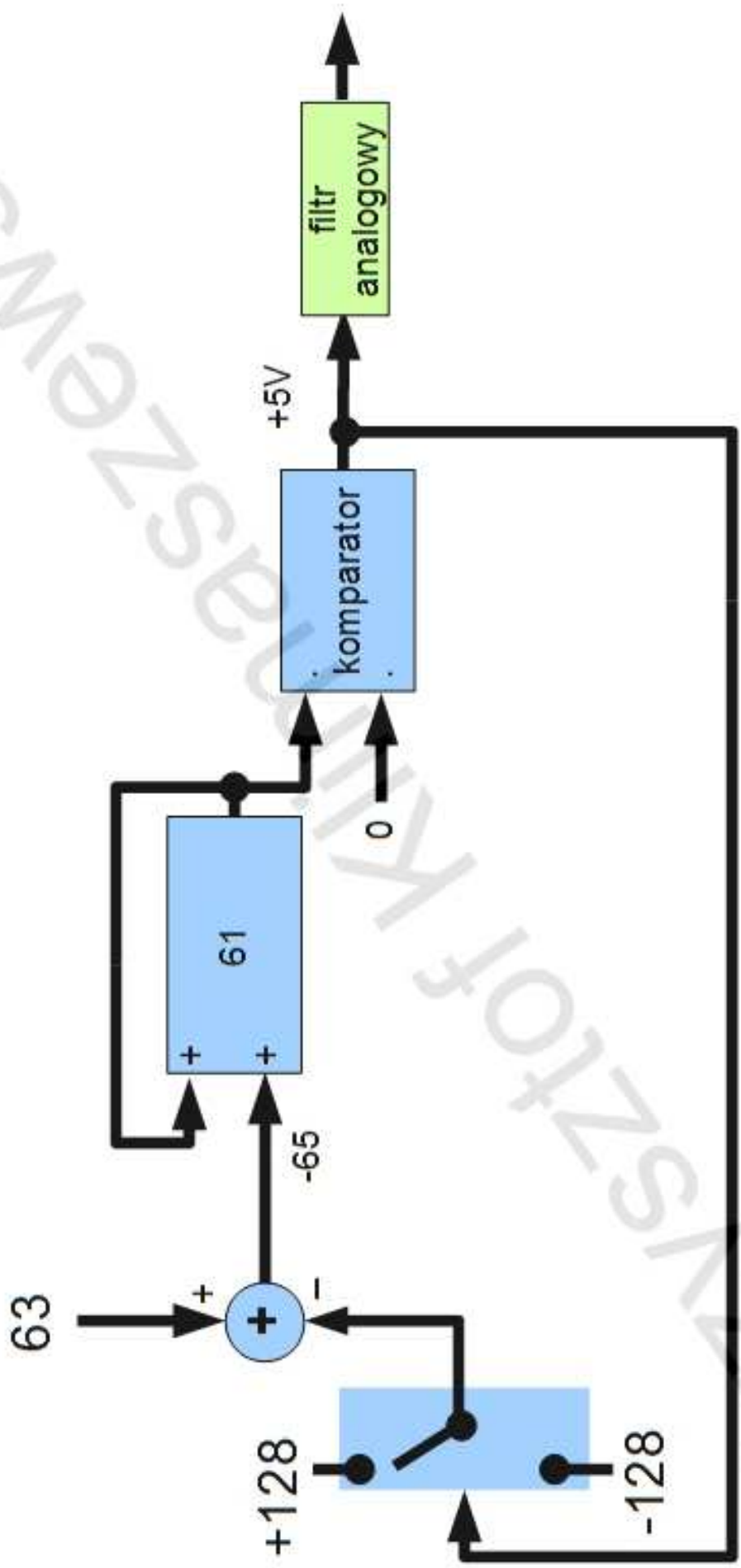
układ delta-sigma ($\Delta\Sigma$)



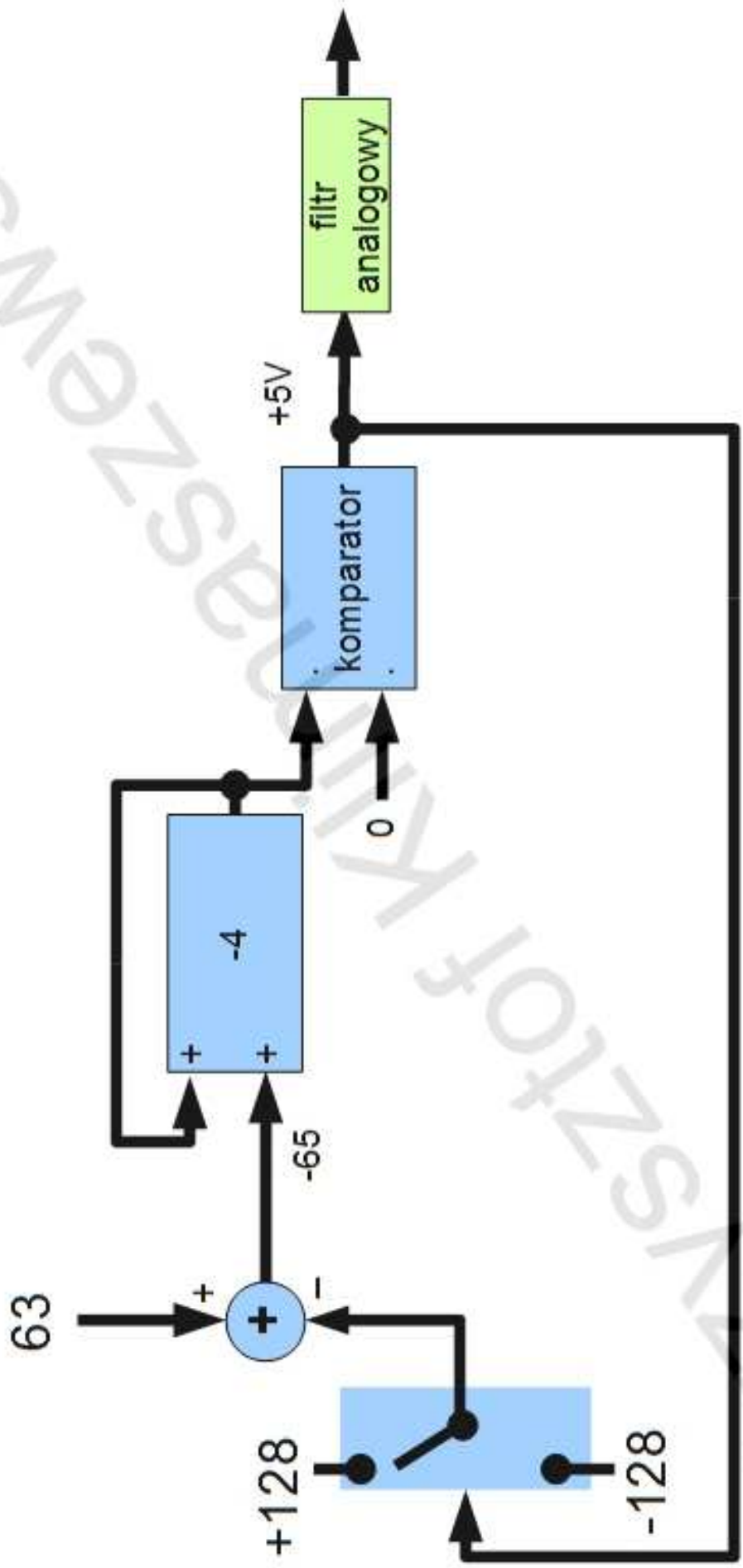
układ delta-sigma ($\Delta\Sigma$)



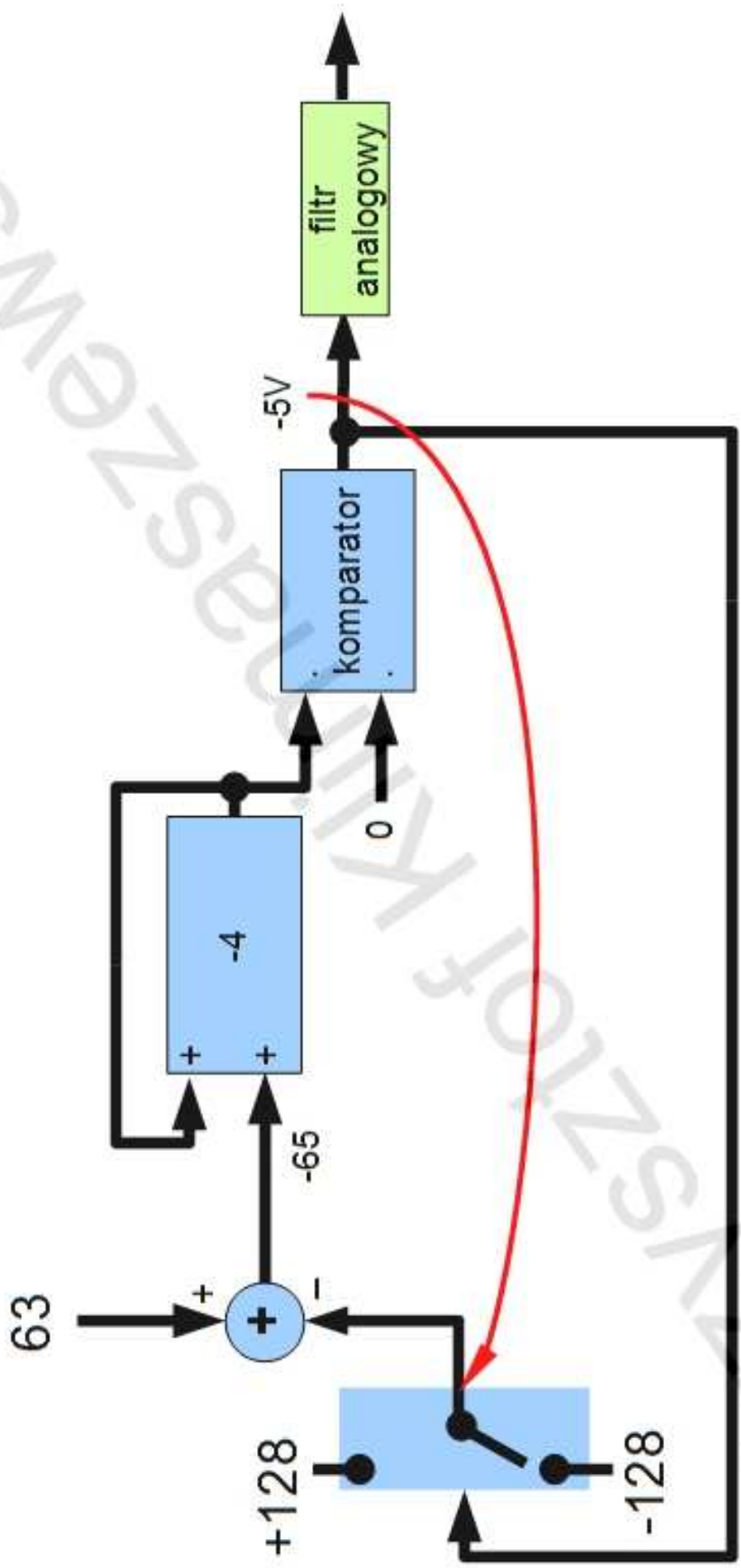
układ delta-sigma ($\Delta\Sigma$)



układ delta-sigma ($\Delta\Sigma$)



układ delta-sigma ($\Delta\Sigma$)

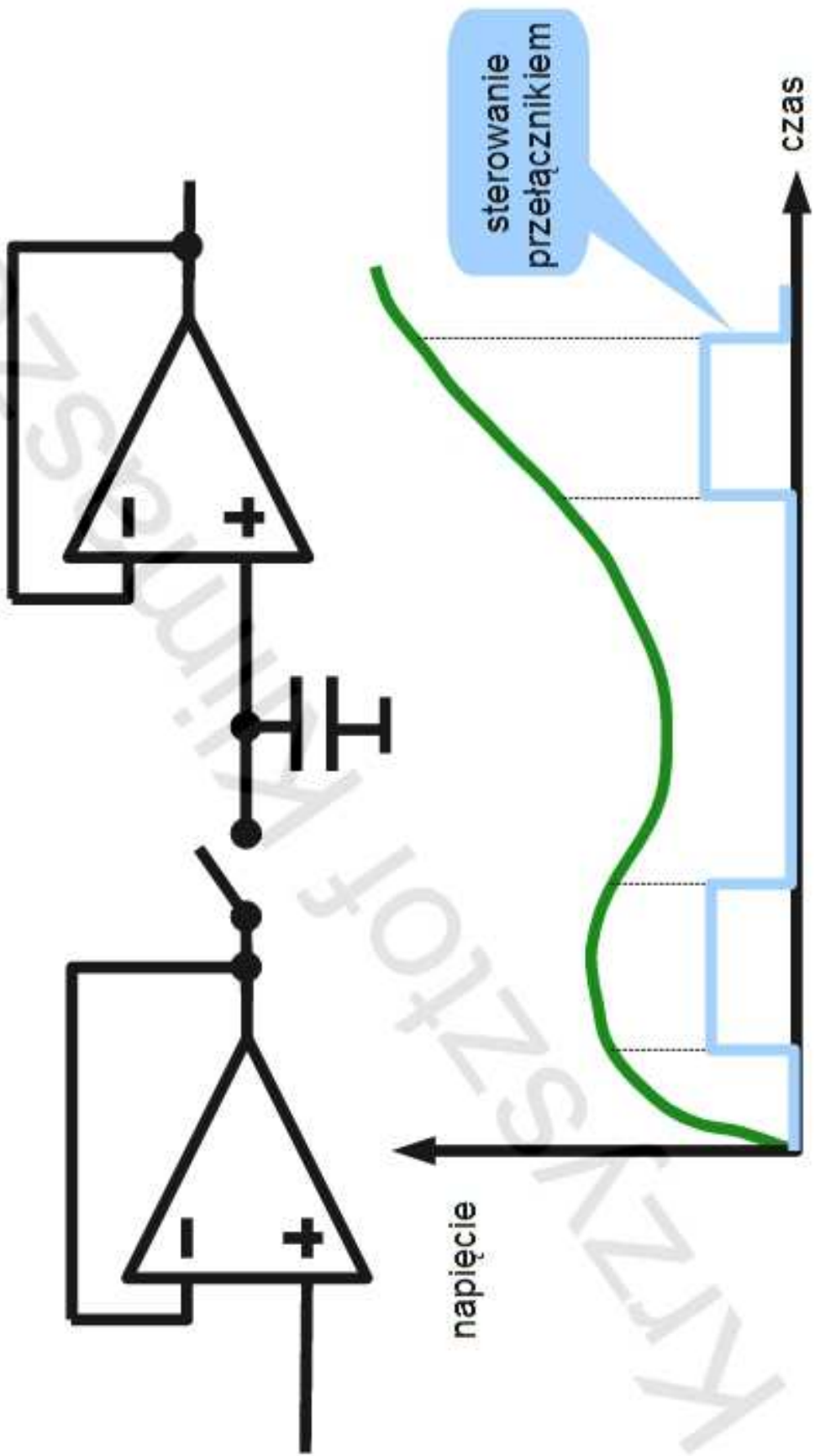


układ delta-sigma ($\Delta\Sigma$)

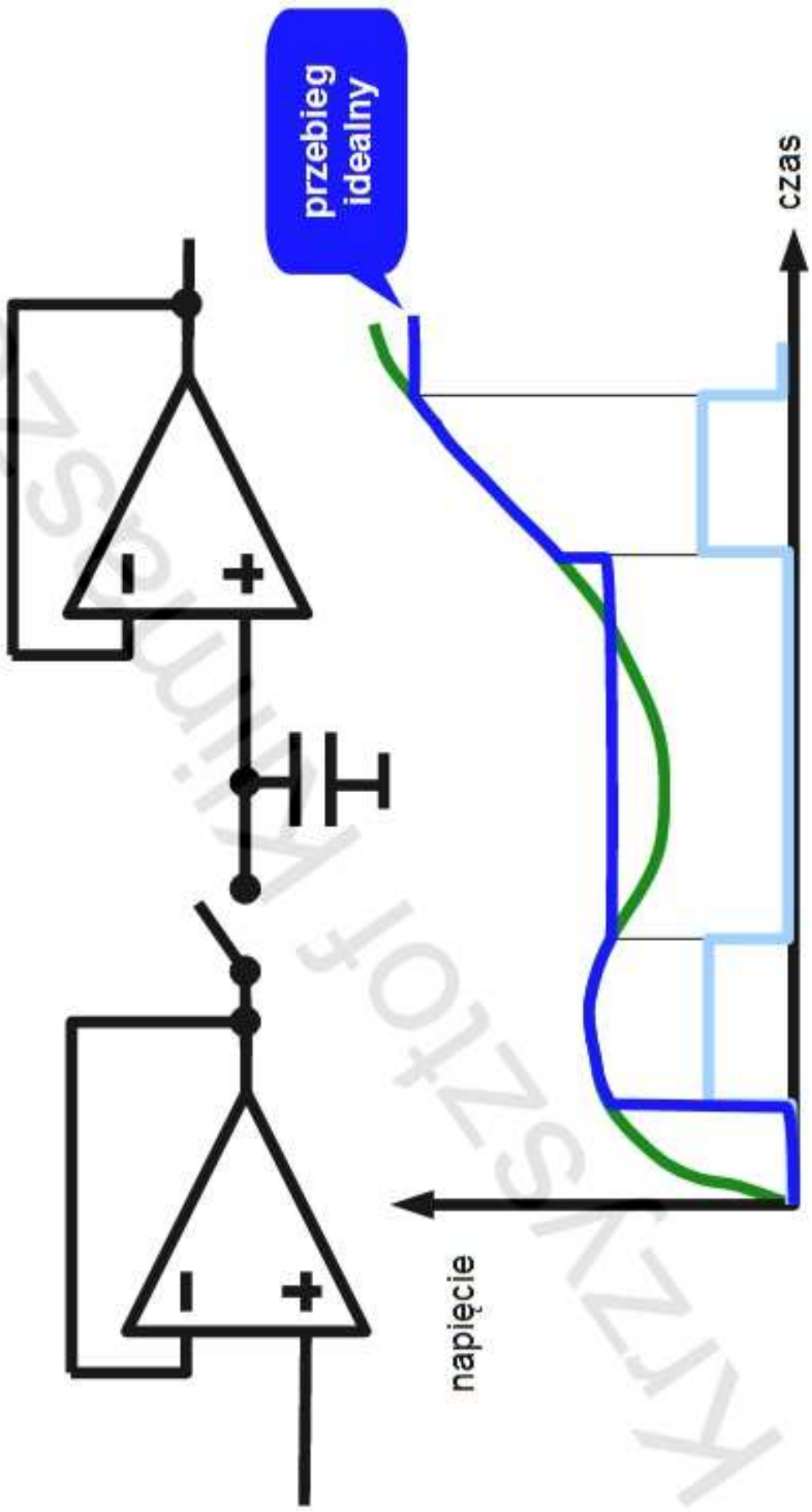
Uref wejście	5 V	<- zakres od 0 do 127
Wartość wyjściowa wejście akumulatora	2,45 V	
	akumulator	wyjście komparatora
191	0	-5
-65	191	5
-65	126	5
-65	61	5
-65	-4	-5
191	187	5
-65	122	5
-65	57	5
-65	-8	-5
191	183	5
-65	118	5
-65	53	5
-65	-12	-5
191	179	5
-65	114	5
-65	49	5
-65	-16	-5

Po odfiltrowaniu filtrem dolnoprzepustowym otrzymujemy napięcie wyjściowe

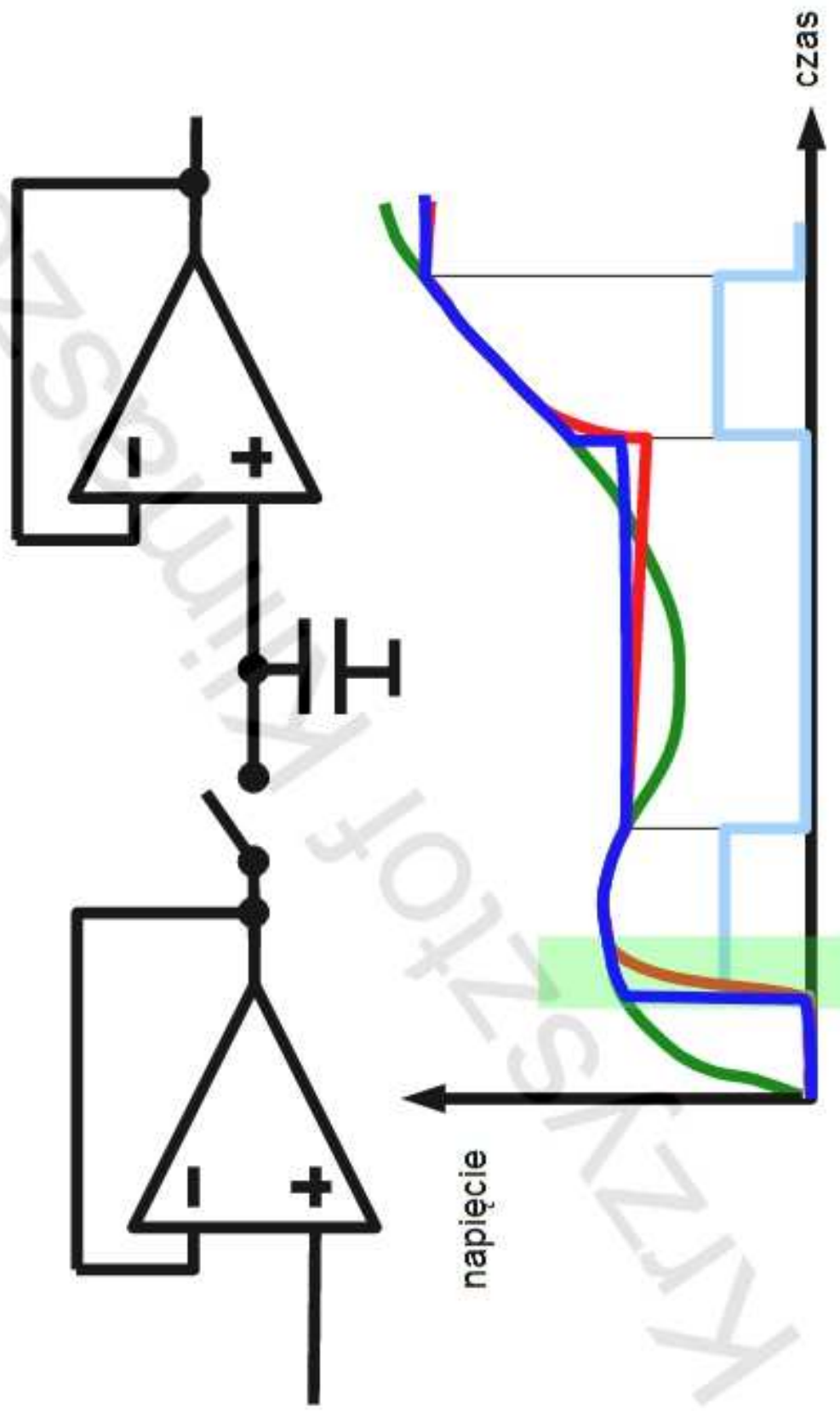
Układ próbkujuco-pamiętający



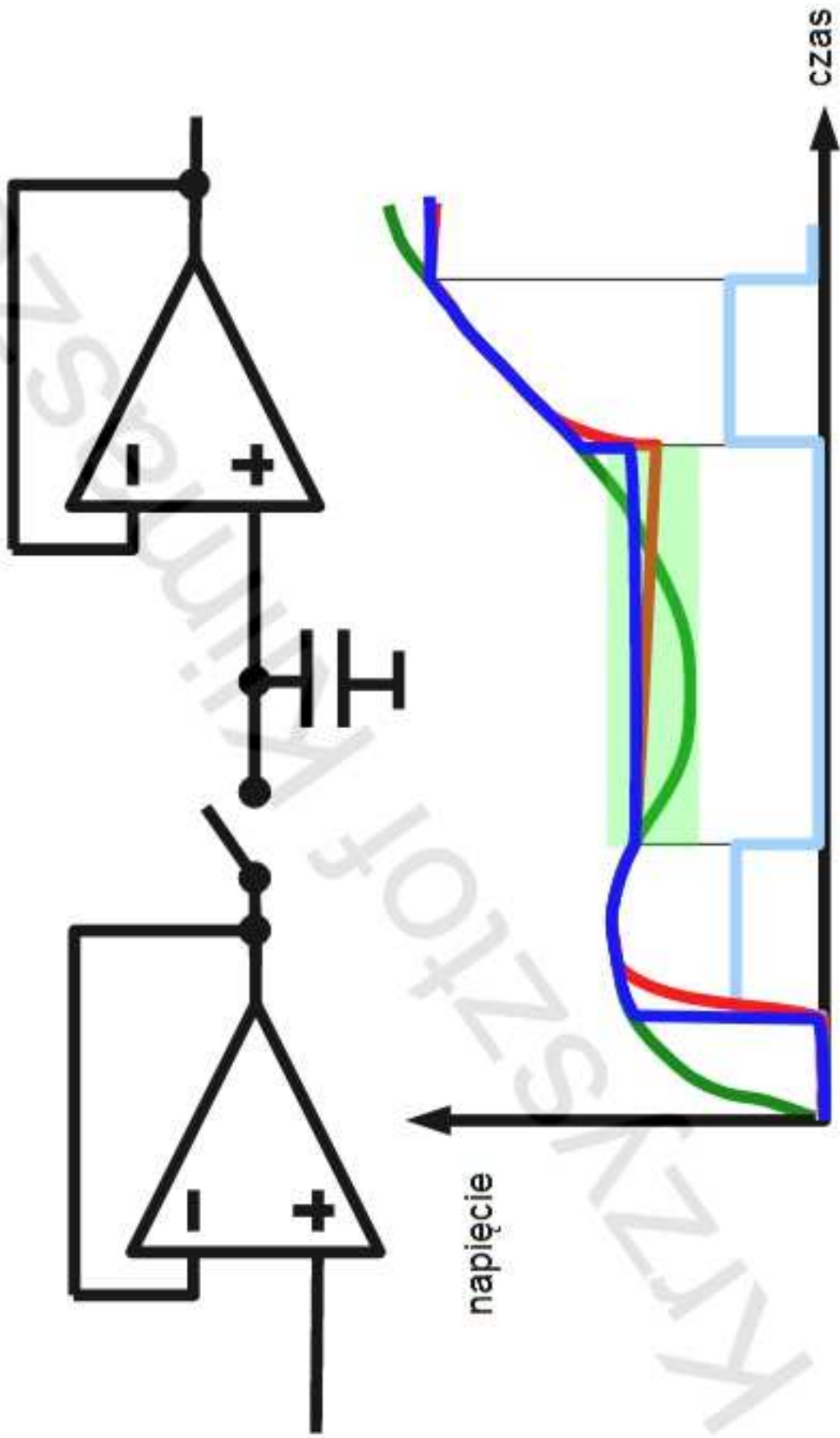
Układ próbkujuco-pamiętający



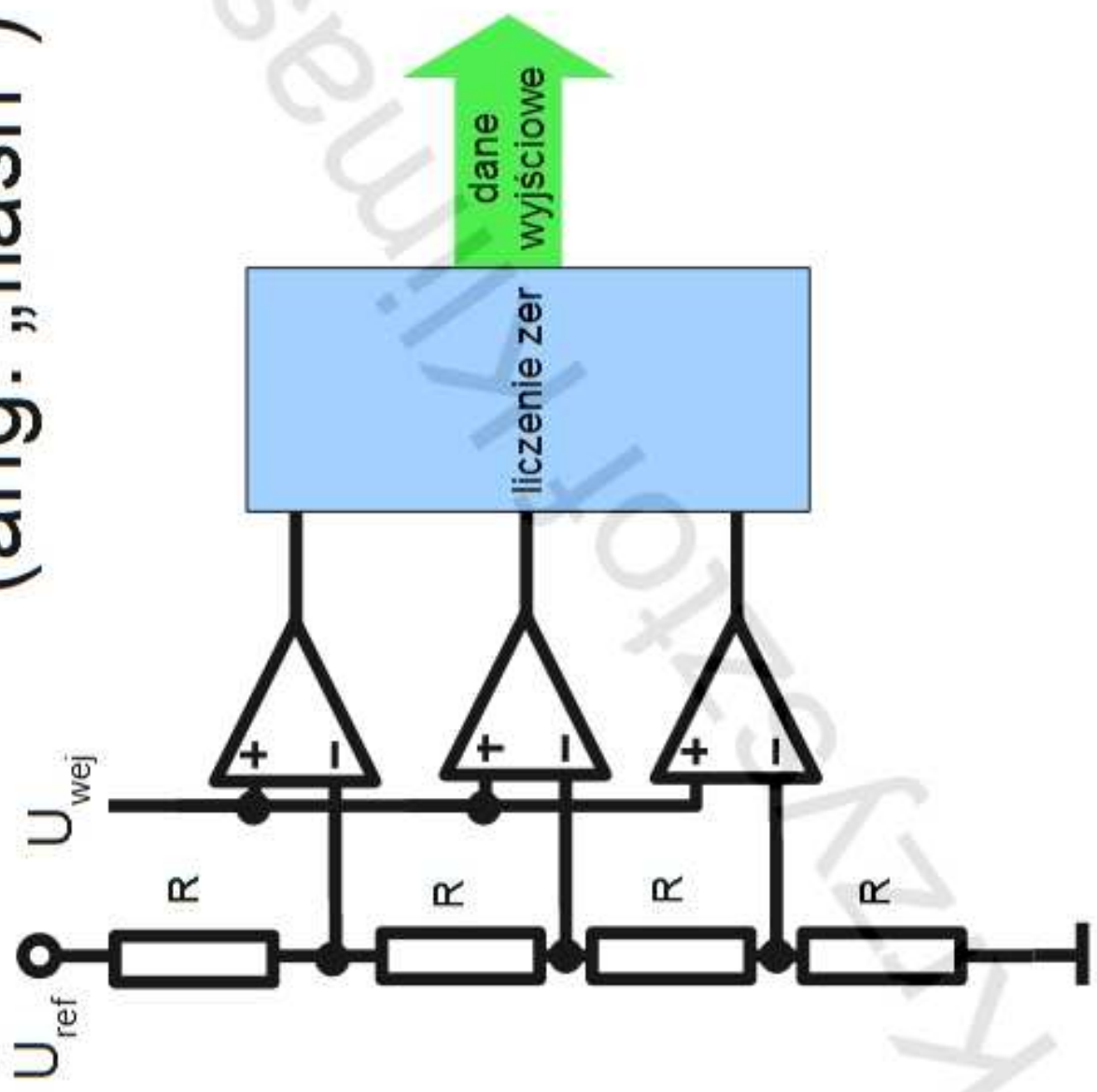
Układ próbkujuco-pamiętający



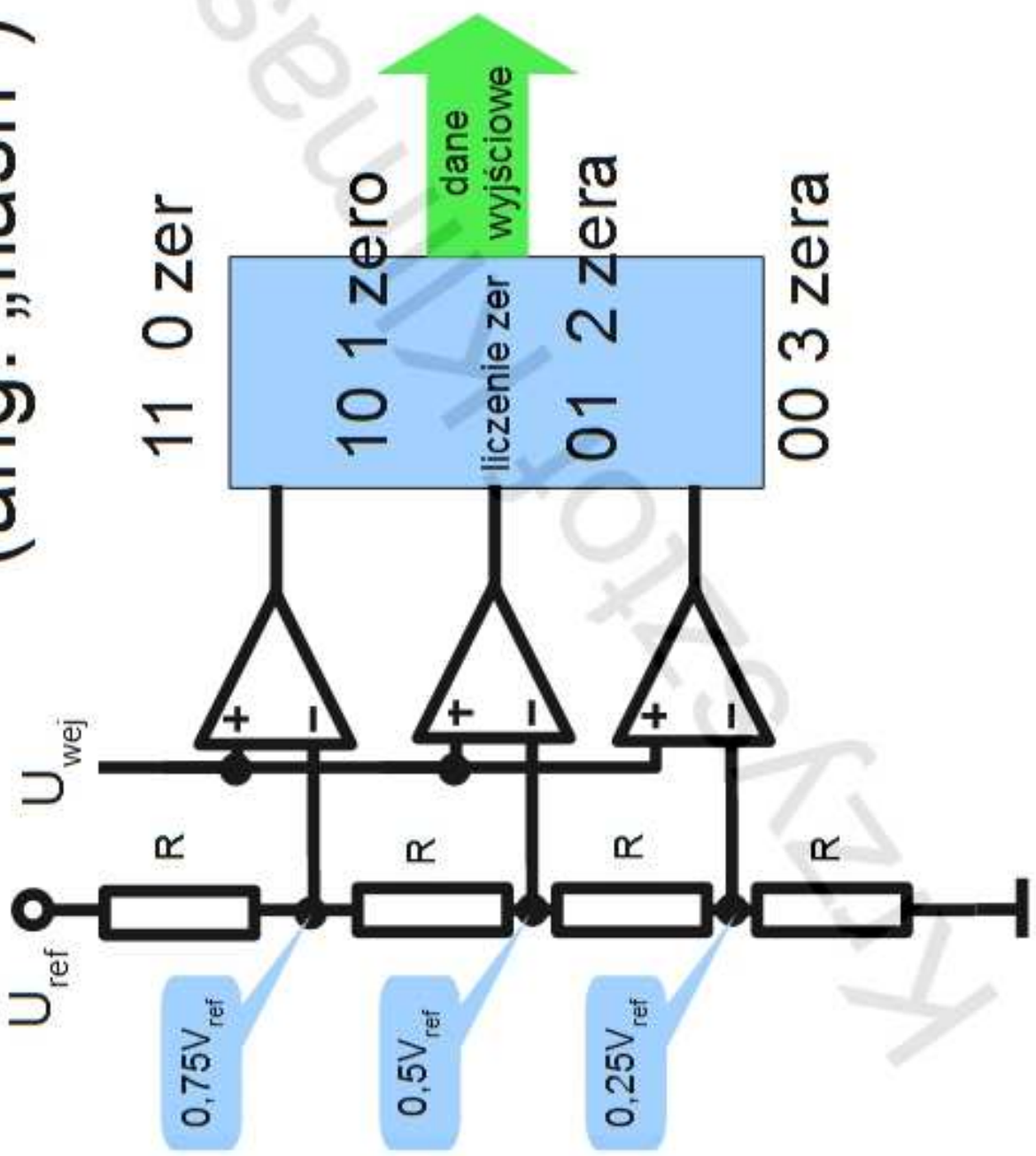
Układ próbkujuco-pamiętający



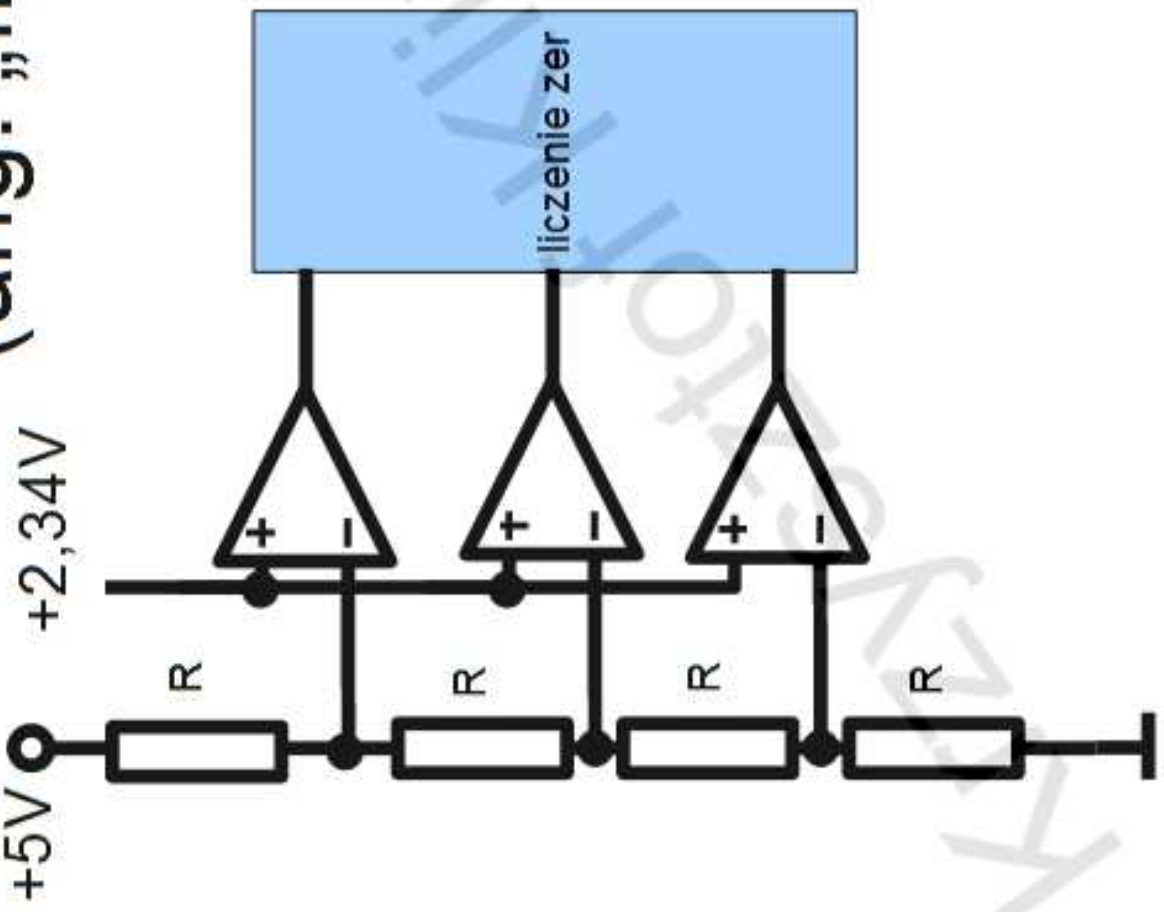
Przetwornik równoległy (ang. „flash”)



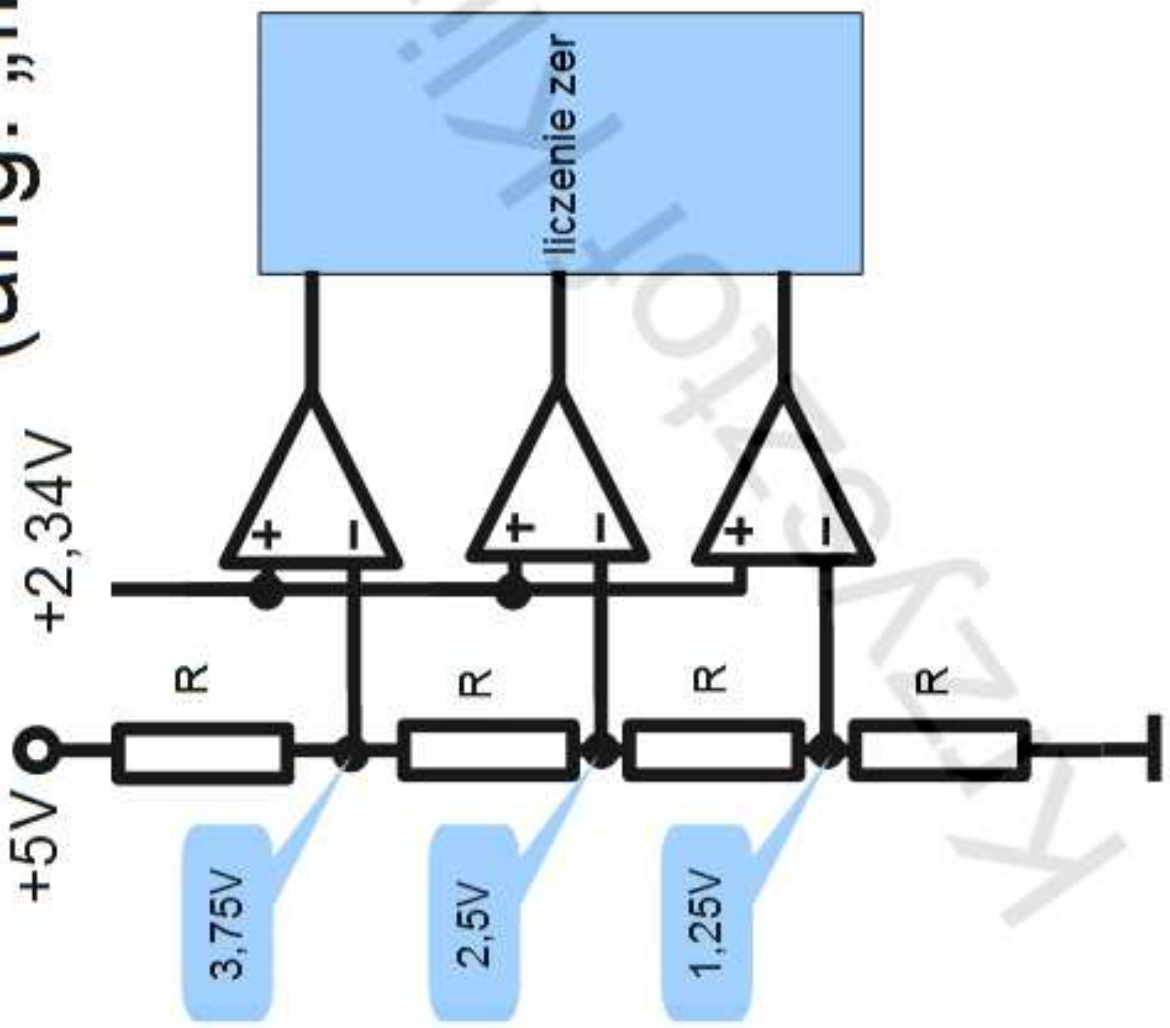
Przetwornik równoległy (ang. „flash”)



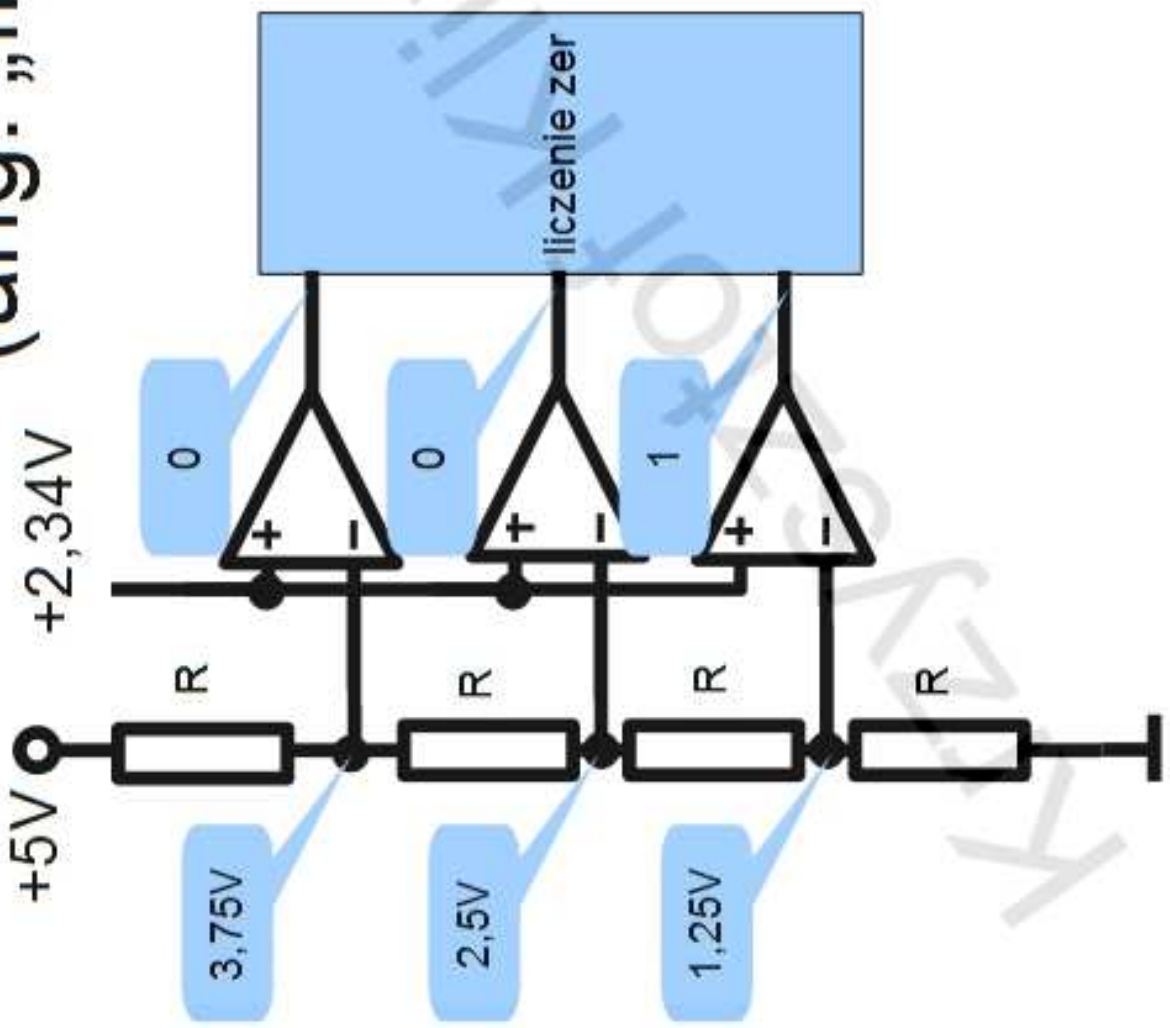
Przetwornik równejły (ang. „flash”)



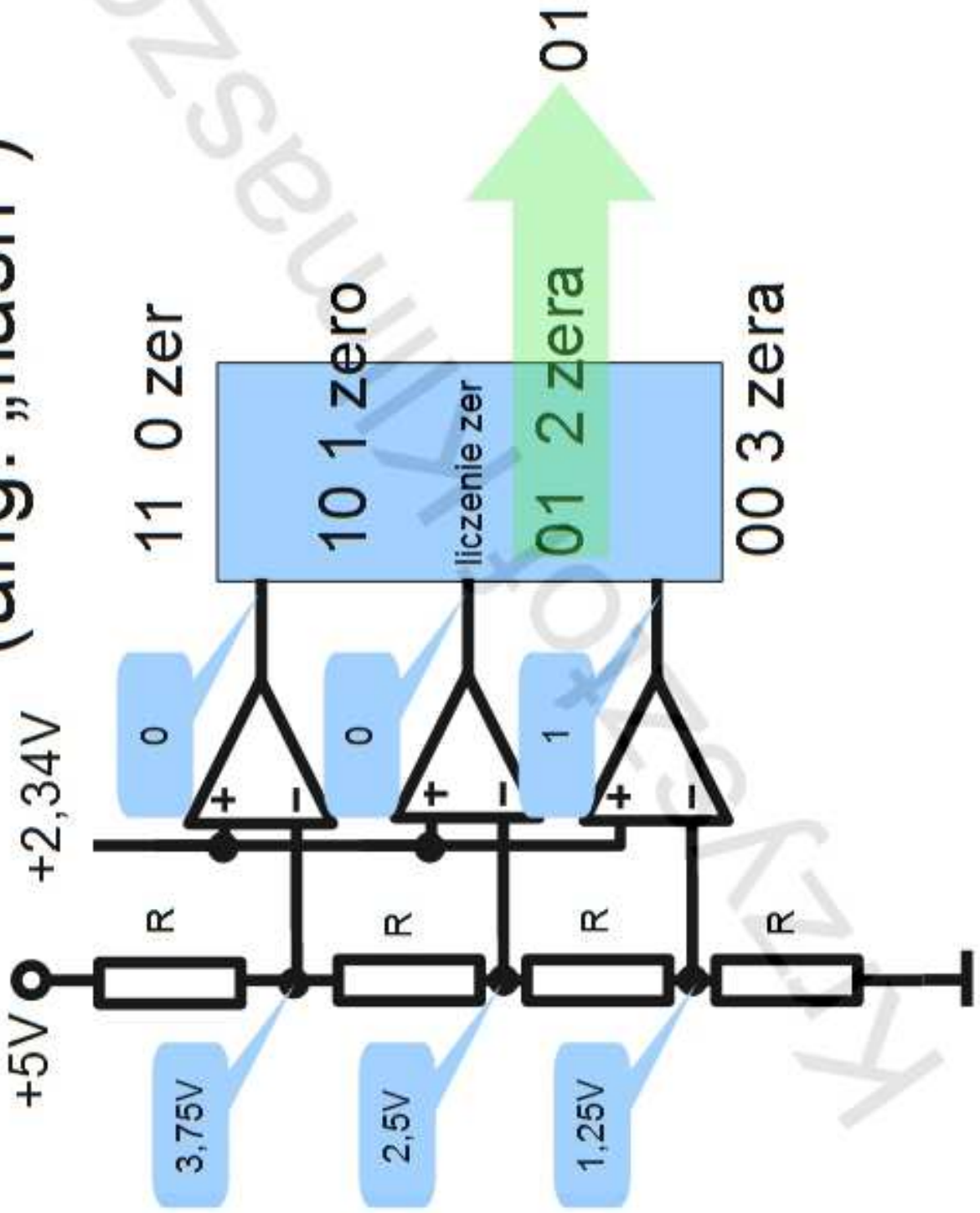
Przetwornik równejły (ang. „flash”)



Przetwornik równoległy (ang. „flash”)

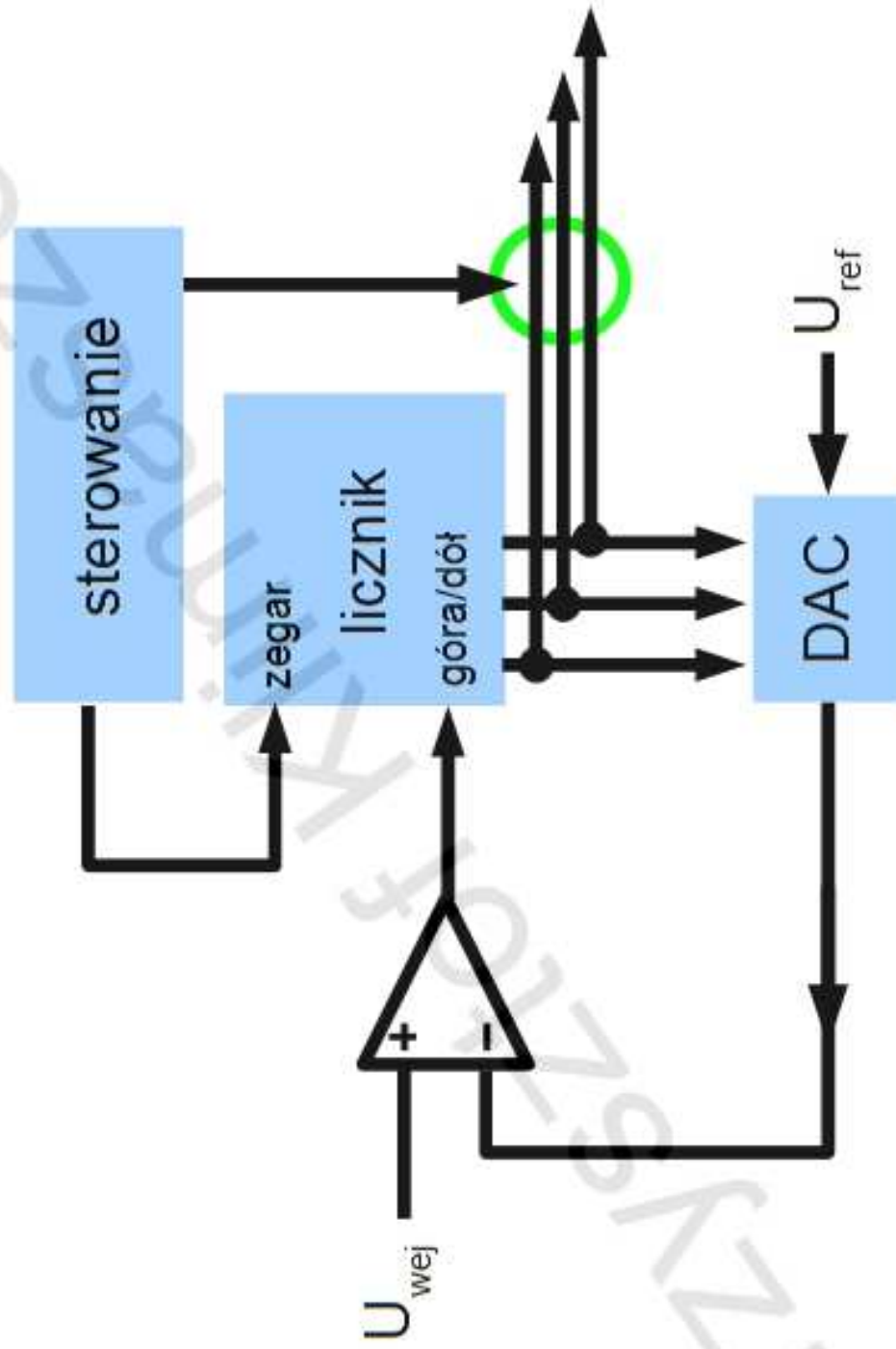


Przetwornik równoległy (ang. „flash”)



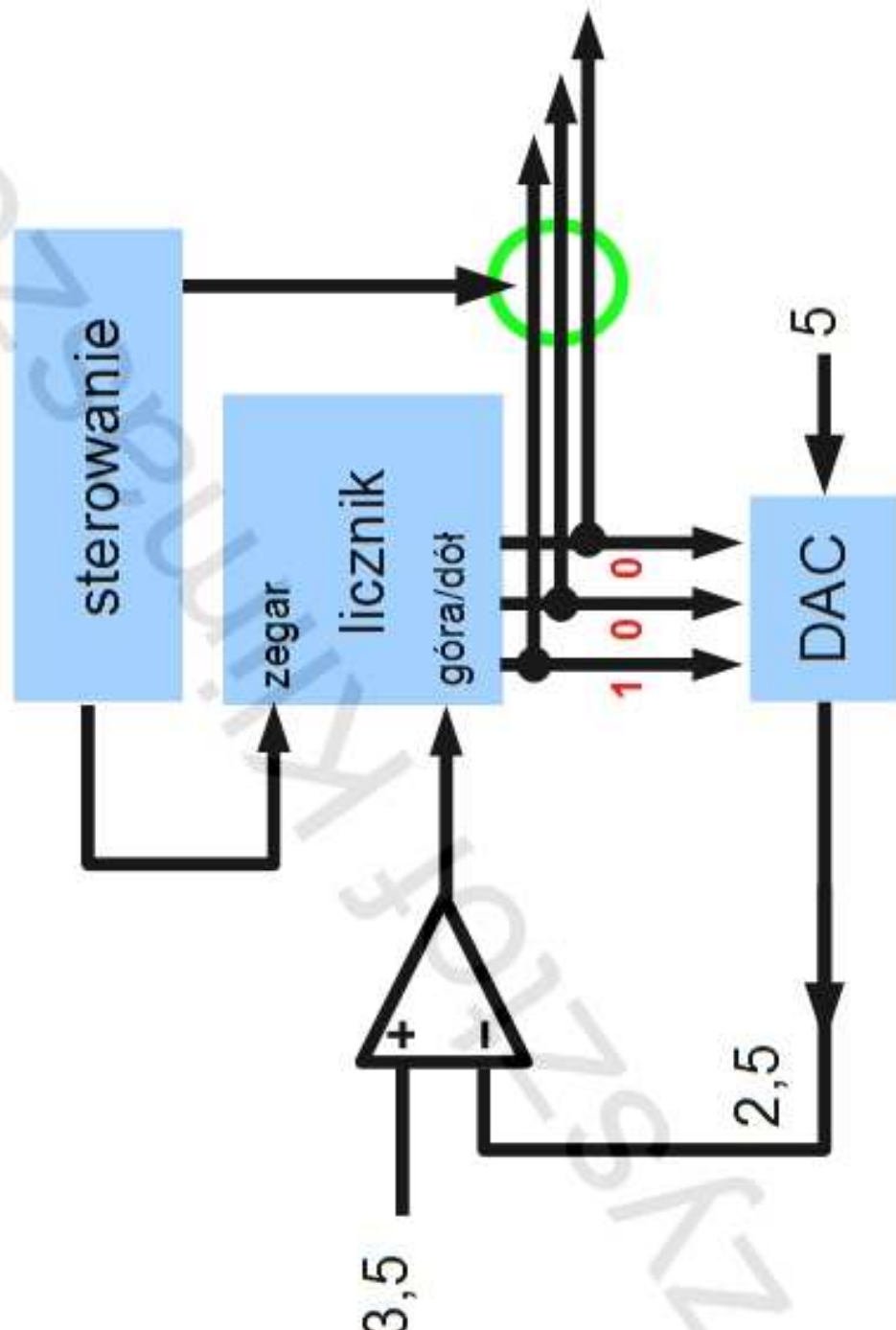
Przetwornik z sukcesywną aproksymacją

- SAR : Successive Approximation Register



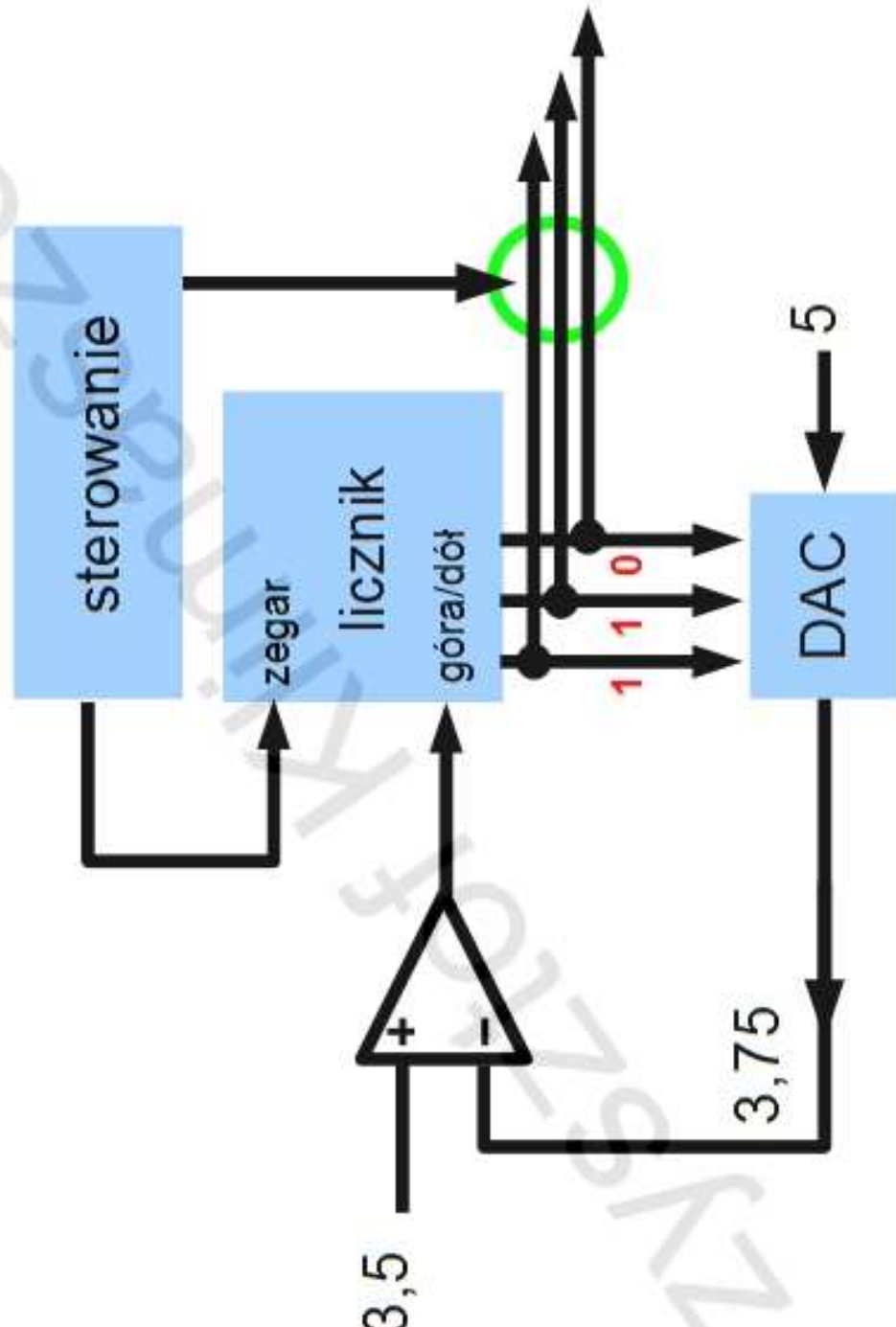
Przetwornik z sukcesywną aproksymacją

- SAR : Successive Approximation Register



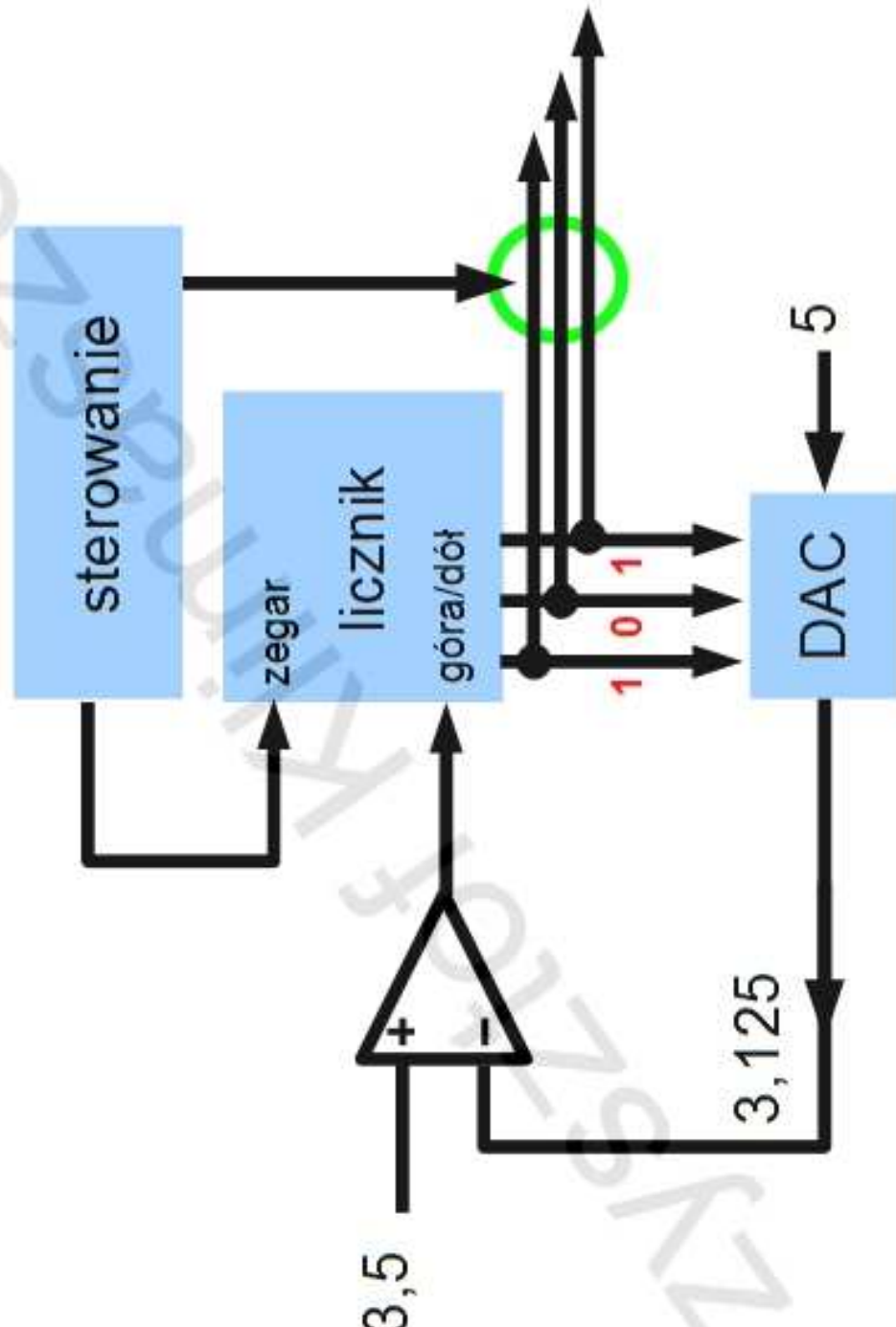
Przetwornik z sukcesywną aproksymacją

- SAR : Successive Approximation Register



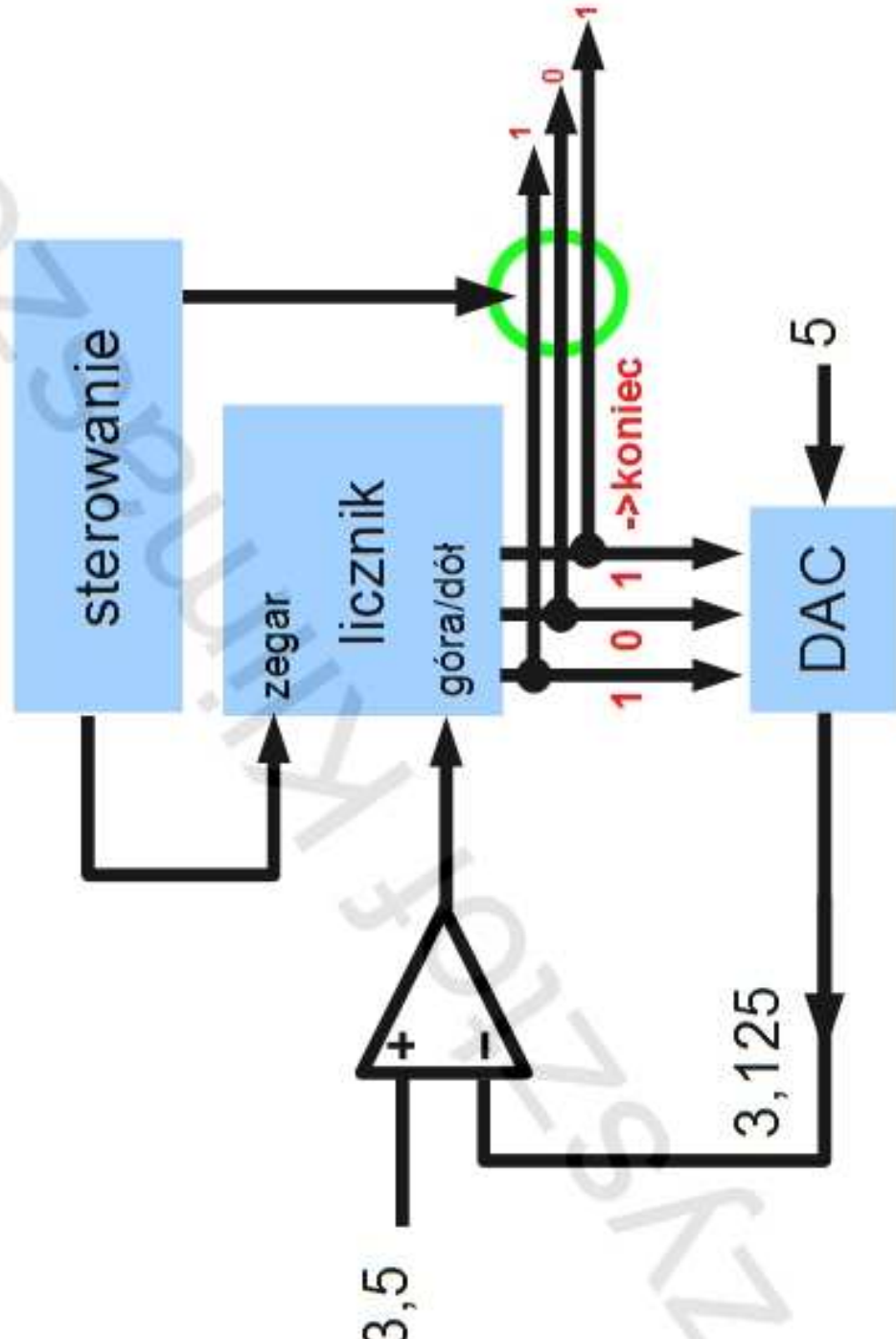
Przetwornik z sukcesywną aproksymacją

- SAR : Successive Approximation Register



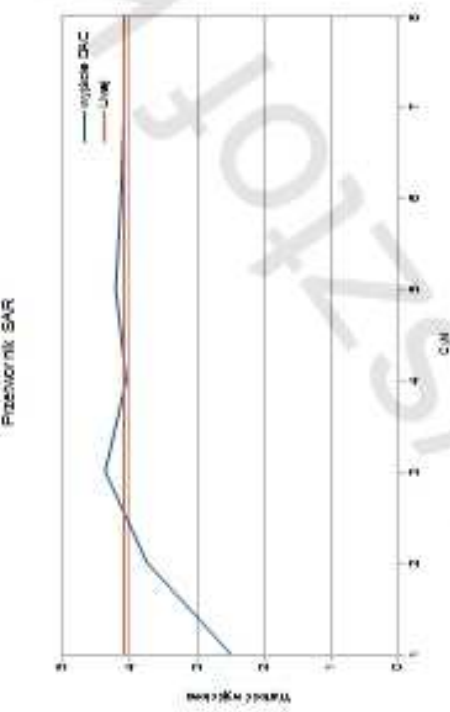
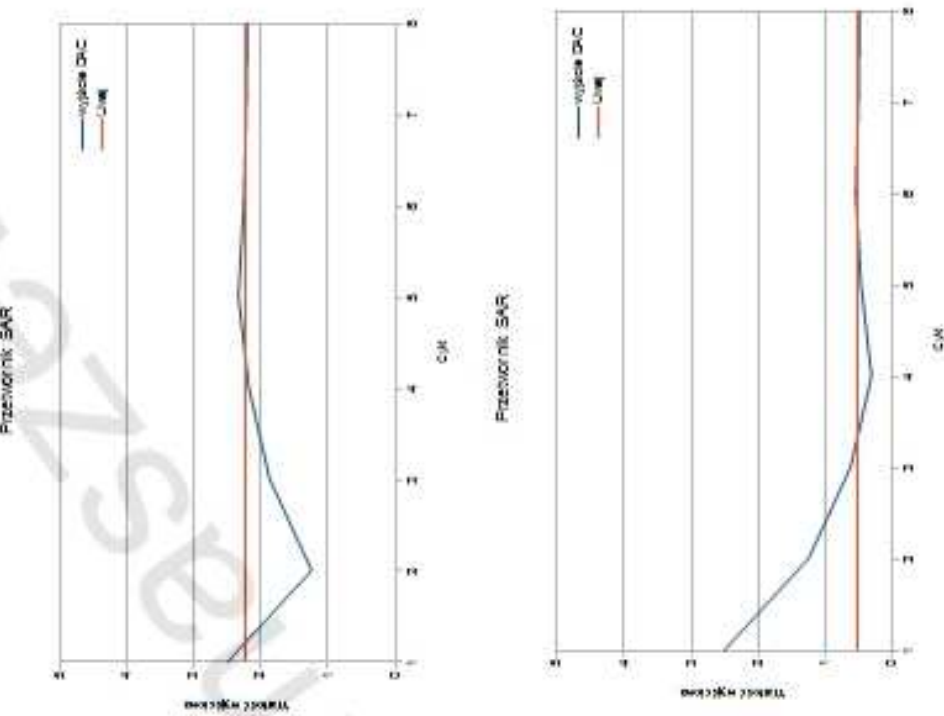
Przetwornik z sukcesywną aproksymacją

- SAR : Successive Approximation Register



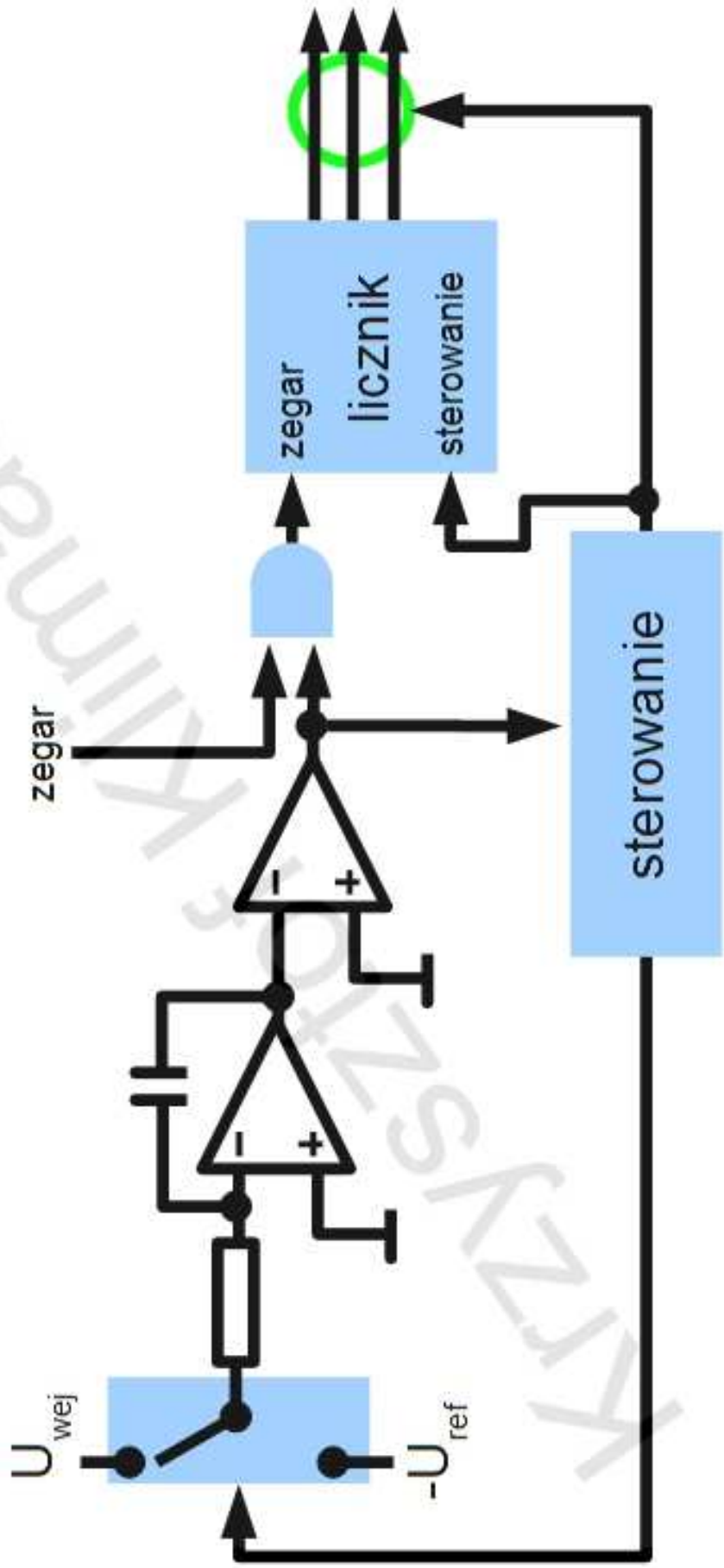
Przetwornik z sukcesywną aproksymacją

- SAR 8 bitowy, przykłady:



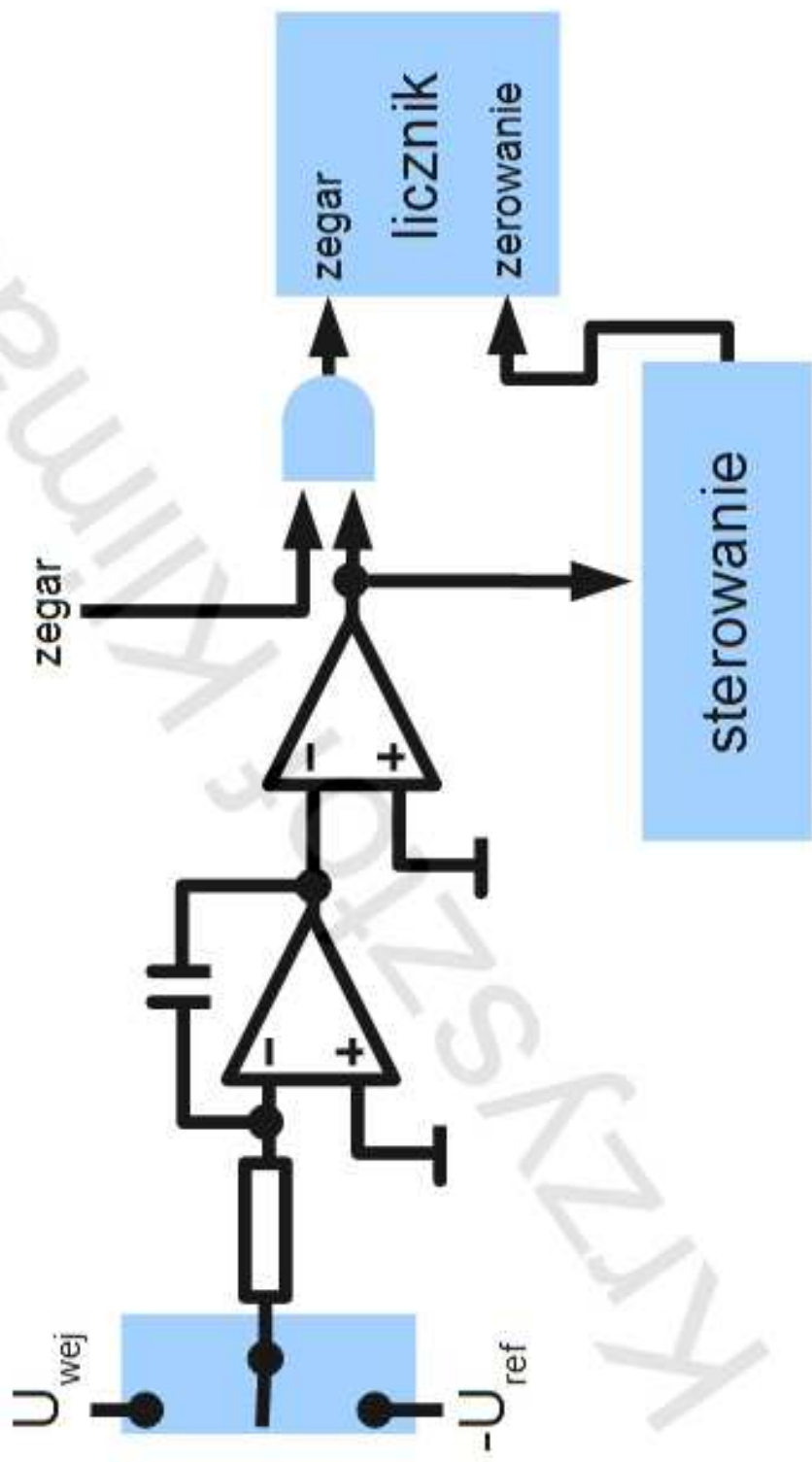
Przetwornik całkujący

- Przetwornik z podwójnym całkowaniem



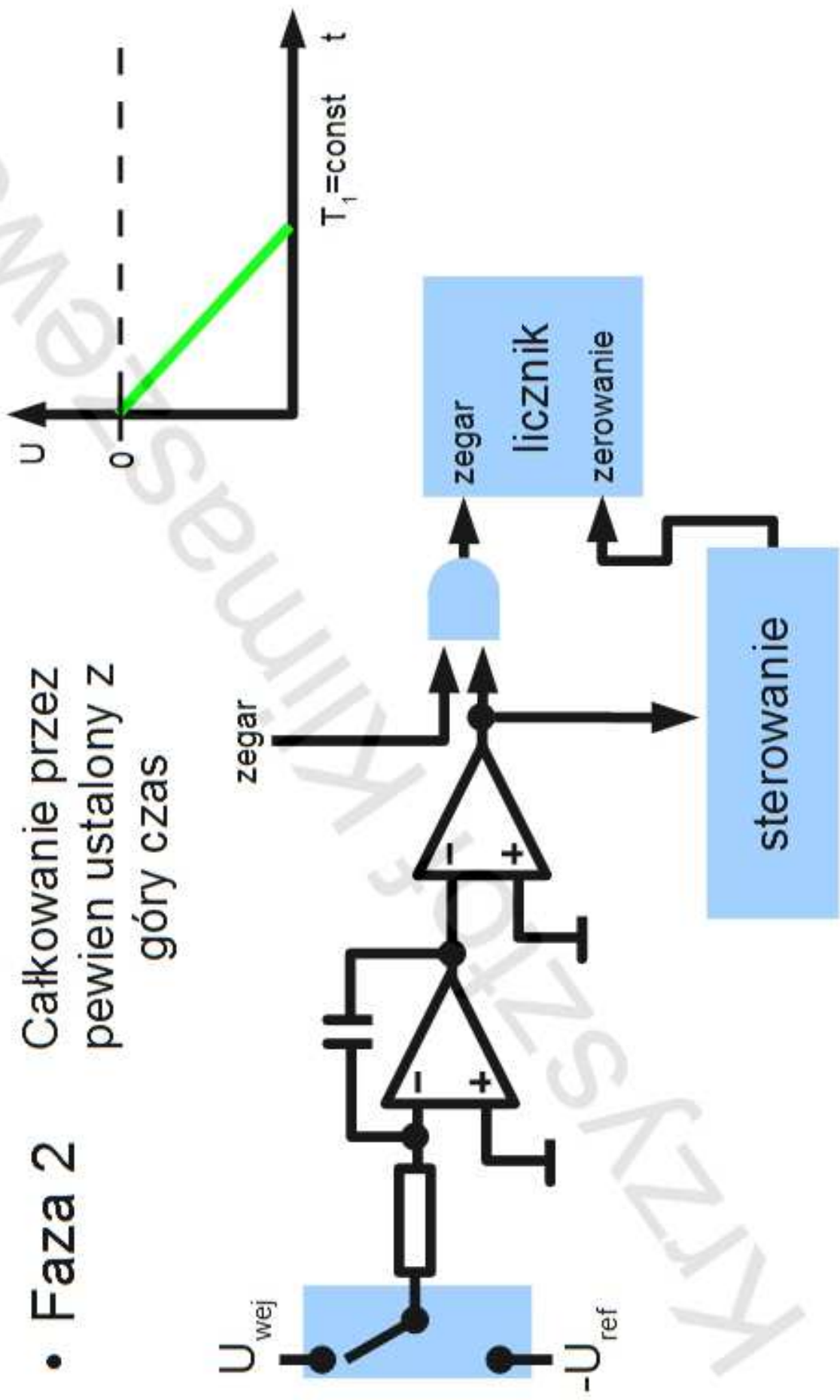
Przetwornik z podwójnym całkowaniem

- Faza 1 Zerowanie licznika i integratora



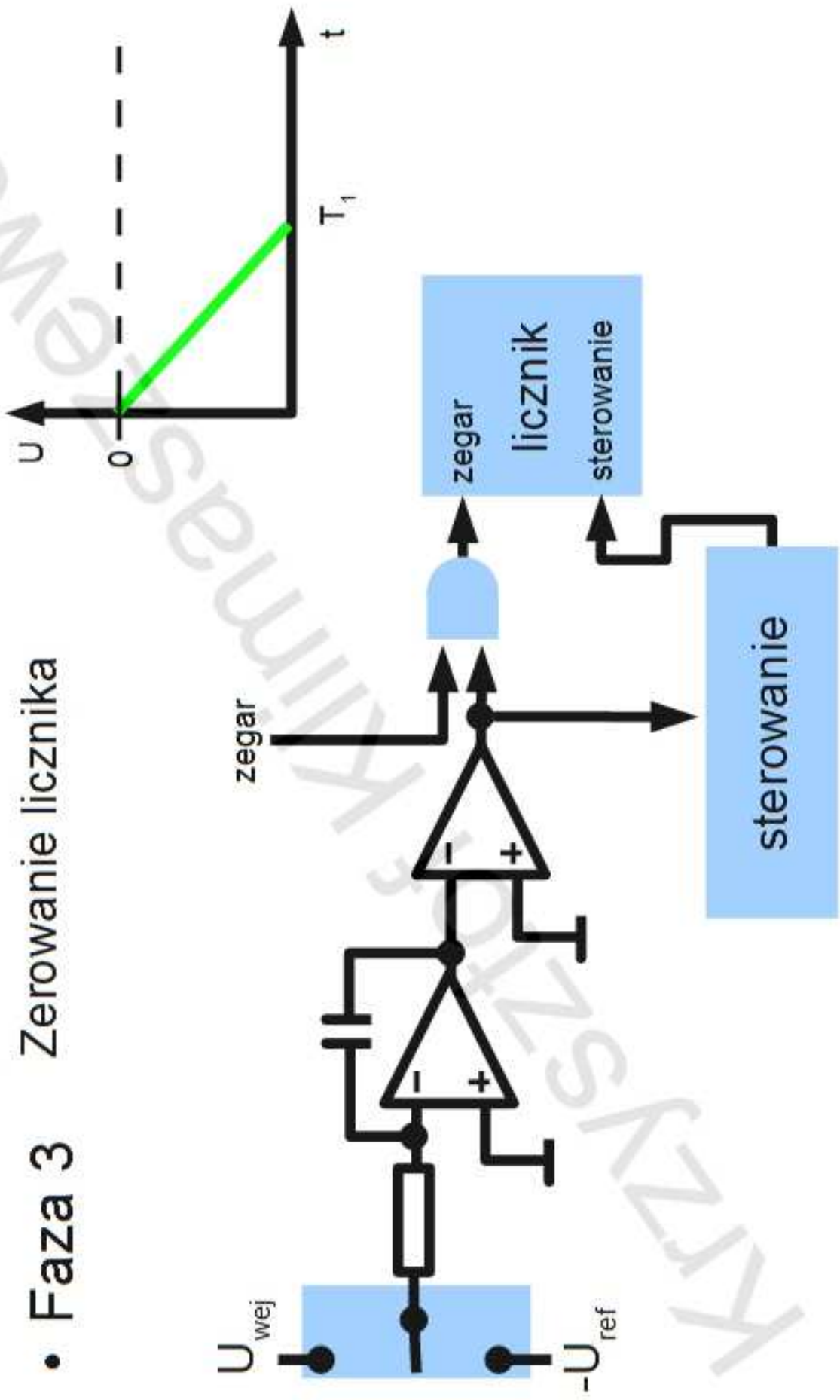
Przetwornik z podwójnym całkowaniem

- Faza 2 Całkowanie przez pewien ustalony z góry czas



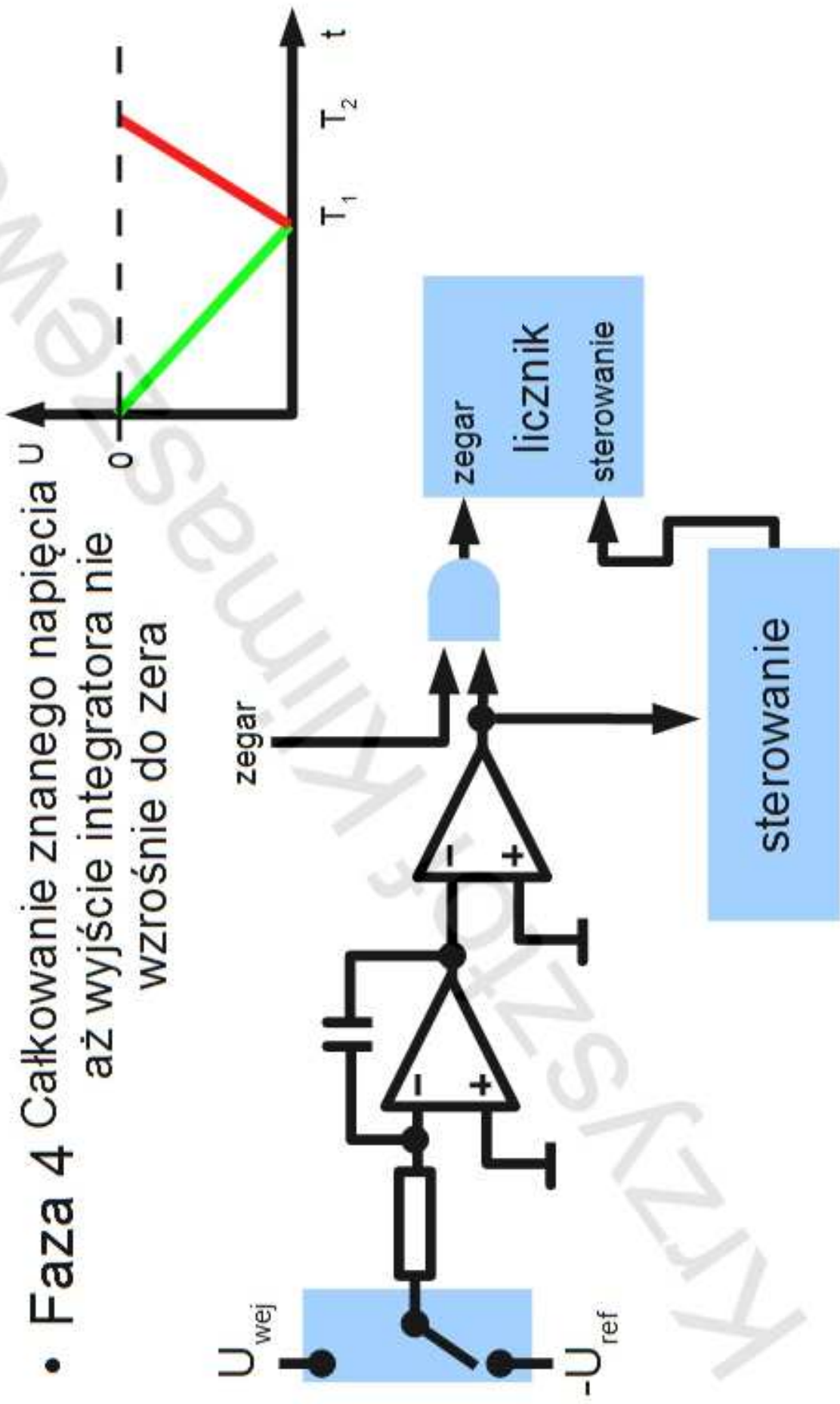
Przetwornik z podwójnym całkowaniem

- Faza 3 Zerowanie licznika



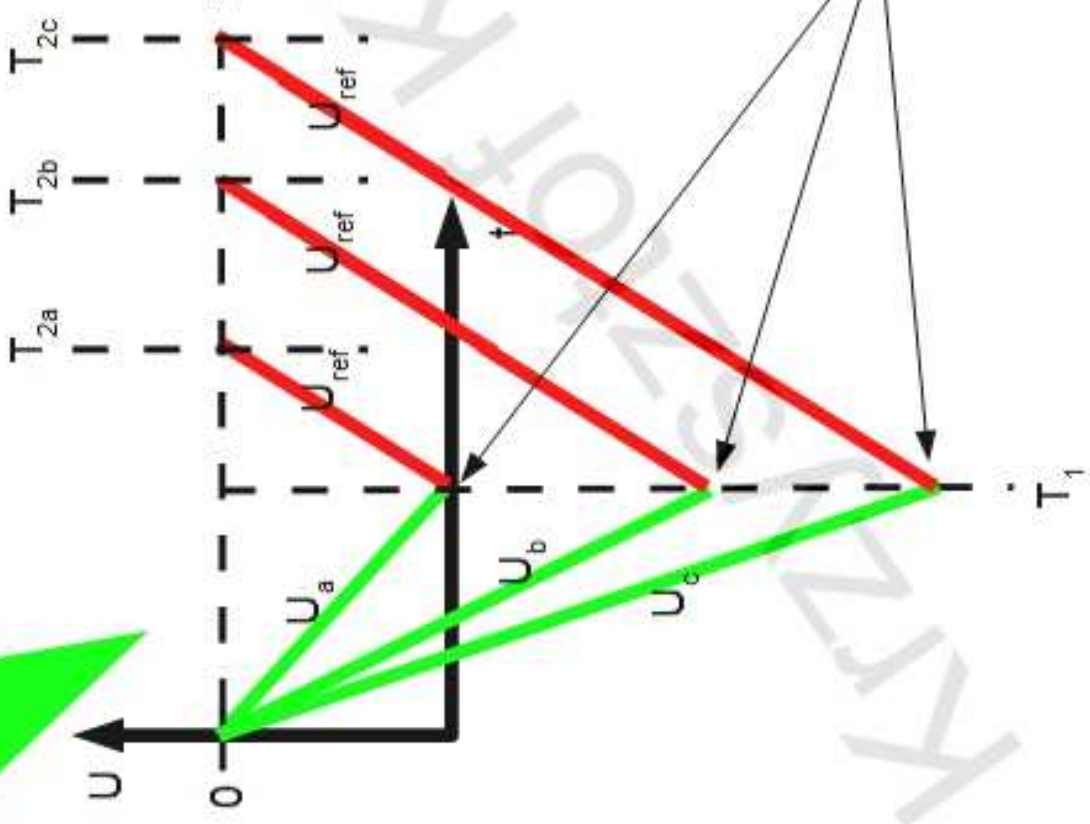
Przetwornik z podwójnym całkowaniem

- Faza 4 Całkowanie znanego napięcia aż wyjście integratora nie wzrośnie do zera



Przetwornik z podwójnym całkowaniem

zmienne nachylenie



takie samo nachylenie

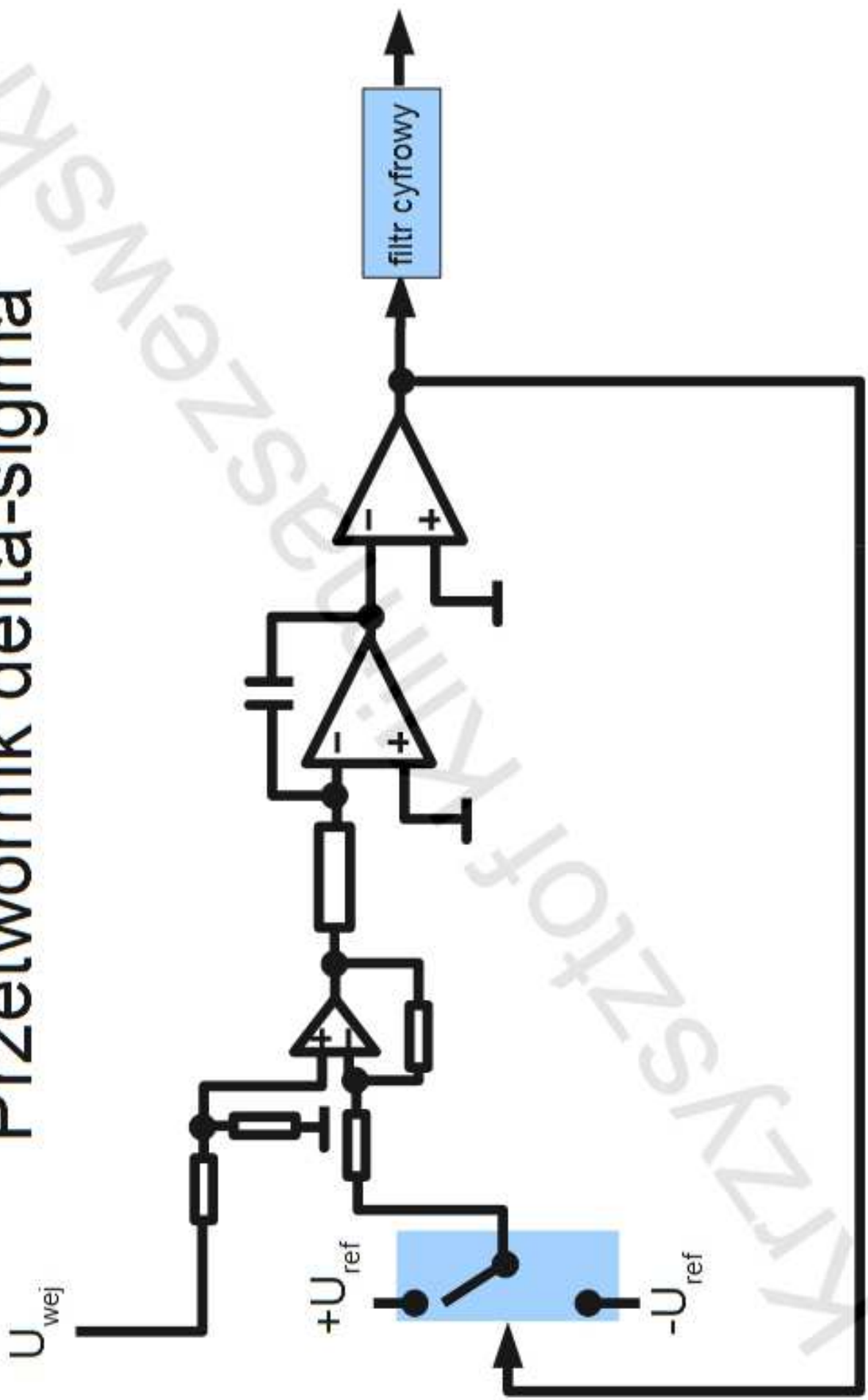
$$\frac{1}{RC} U_{w\dot{q}j} T_1 = \frac{1}{RC} U_{ref} (T_2 - T_1)$$

$$T_1 U_{w\dot{q}j} = U_{ref} (T_2 - T_1)$$

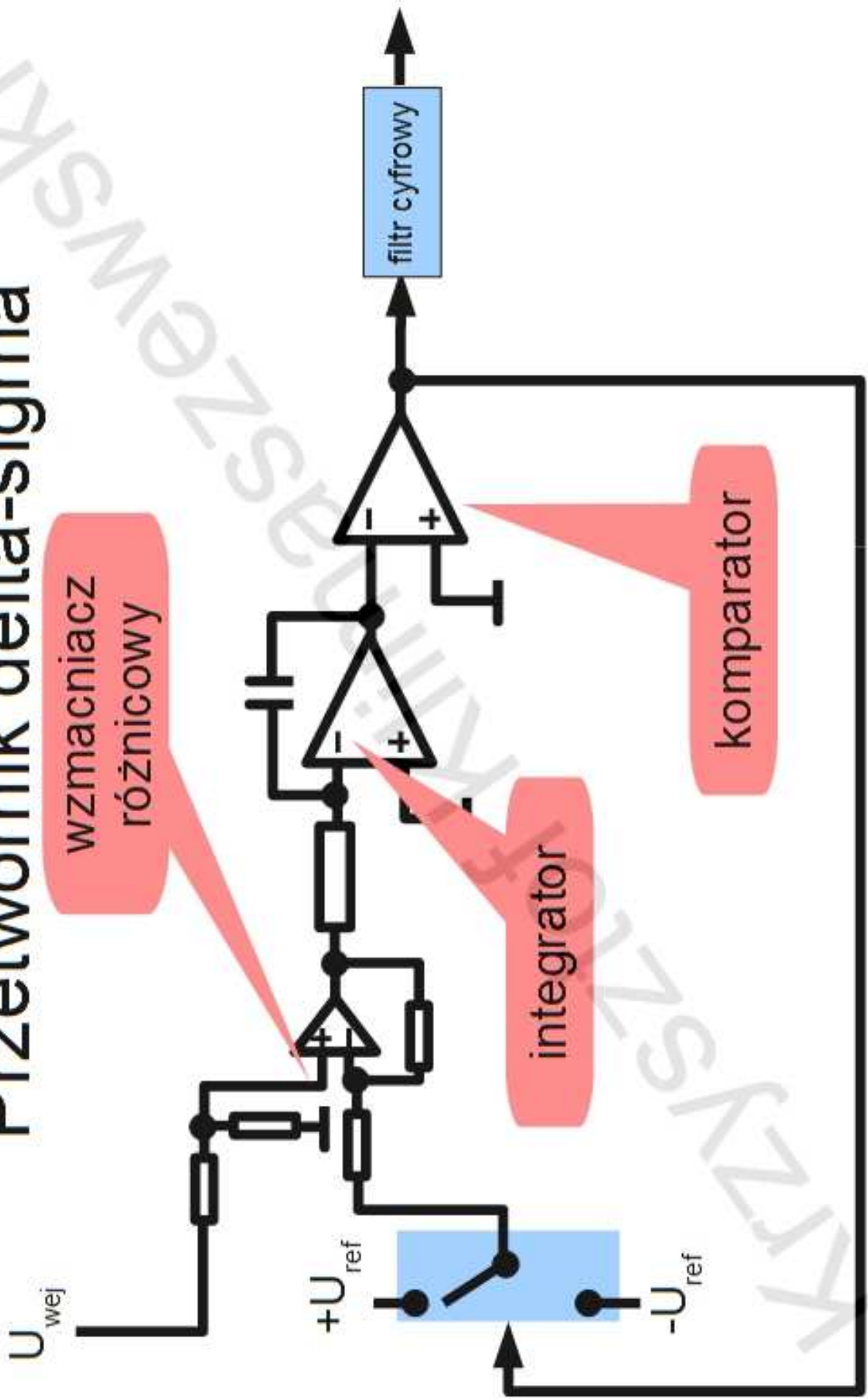
$$(T_2 - T_1) = T_1 \frac{U_{w\dot{q}j}}{U_{ref}}$$

$$U = -\frac{1}{RC} \int U_{w\dot{q}j} dt = -\frac{1}{RC} U_{w\dot{q}j} T_1$$

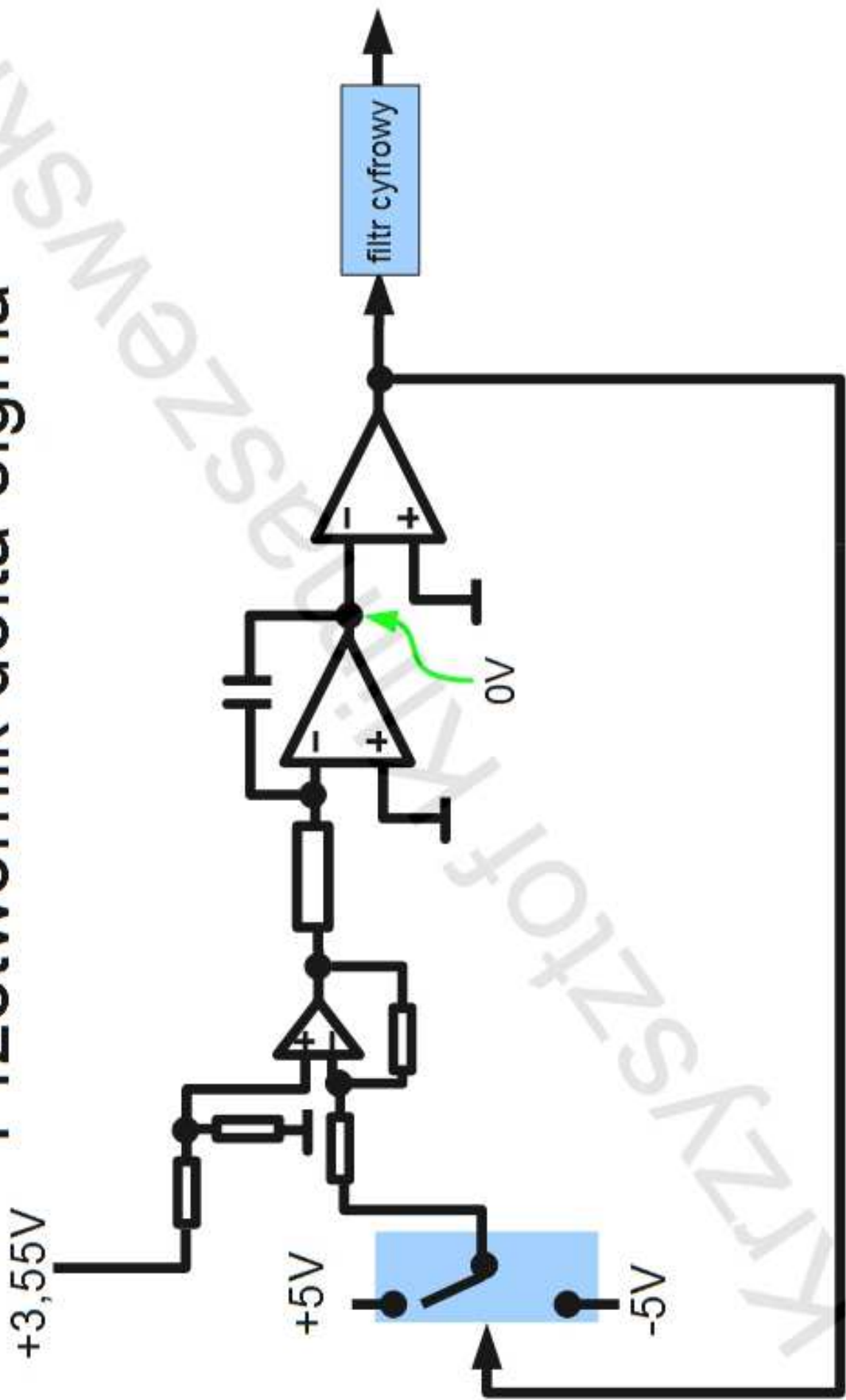
Przetwornik delta-sigma



Przetwornik delta-sigma

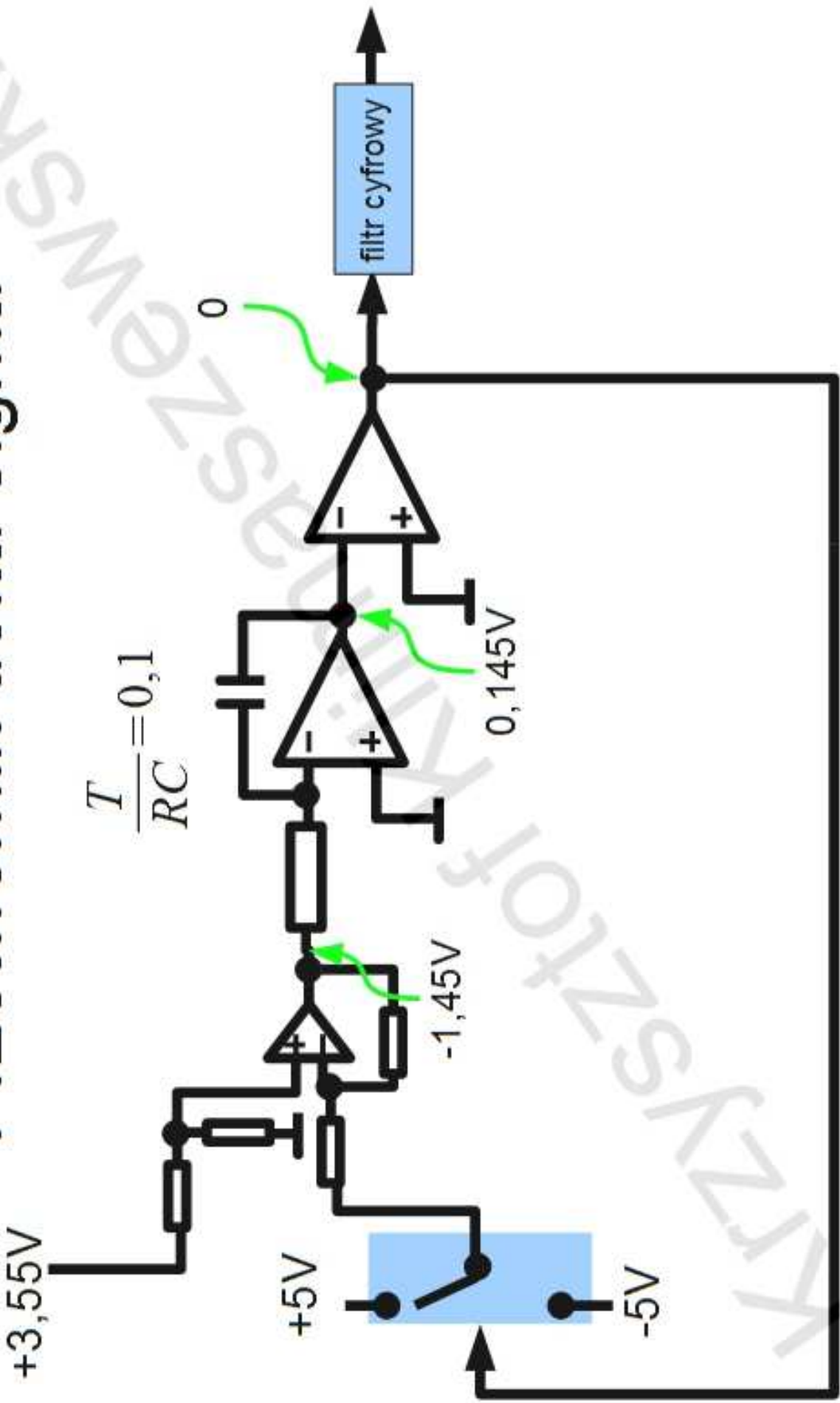


Przetwornik delta-sigma



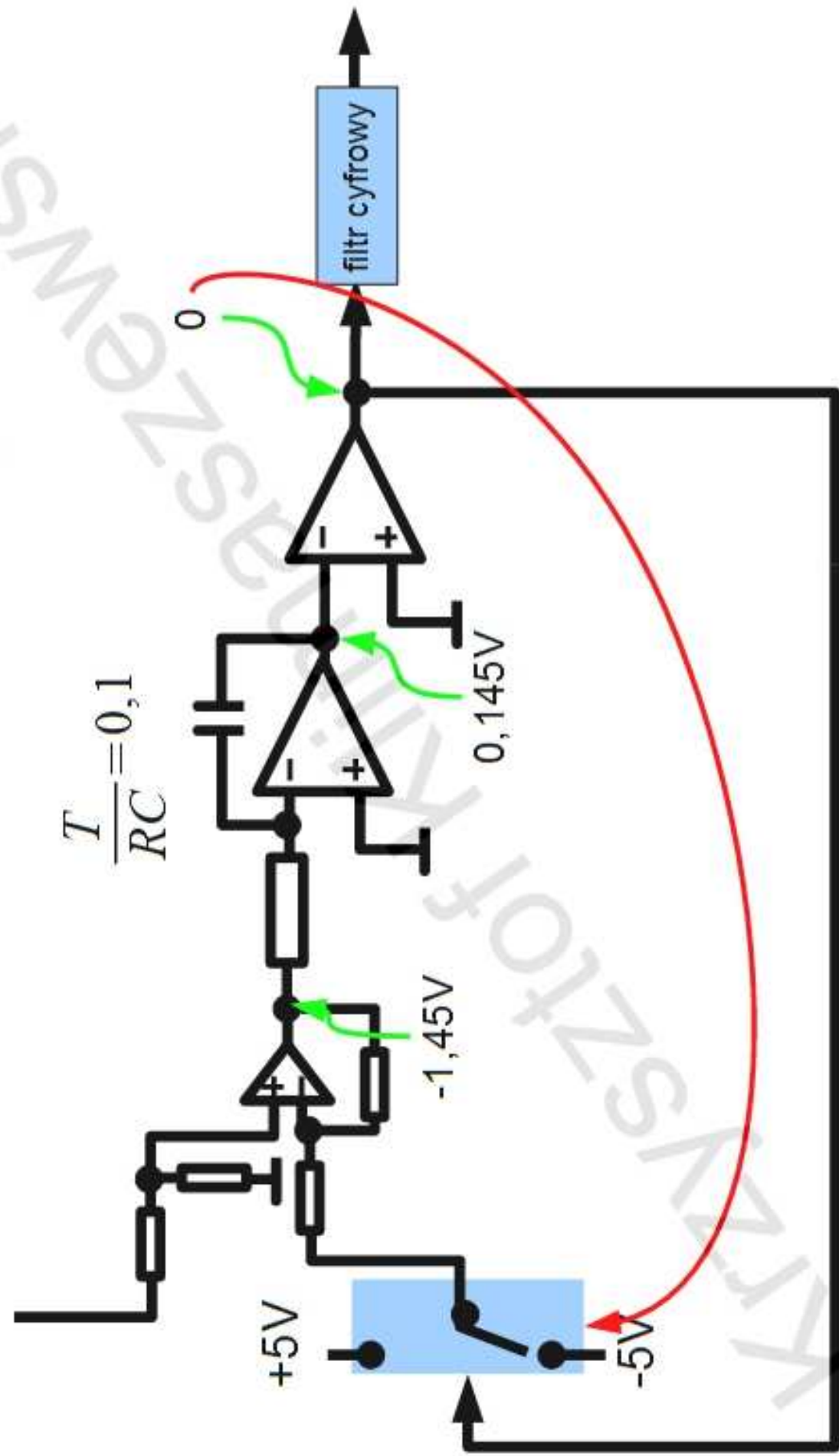
Przetwornik delta-sigma

$$\frac{T}{RC} = 0,1$$



Przetwornik delta-sigma +3.55V

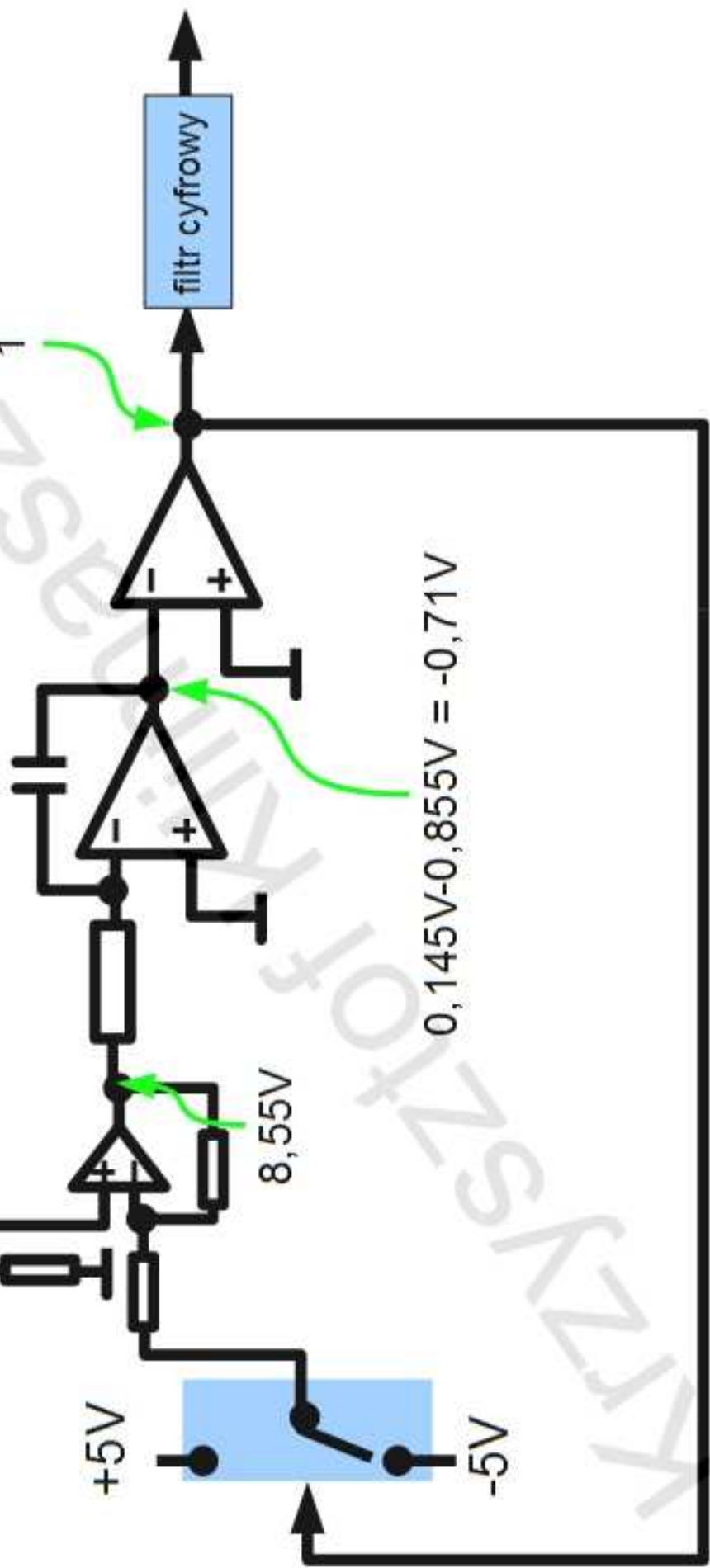
$$\frac{T}{RC} = 0,1$$



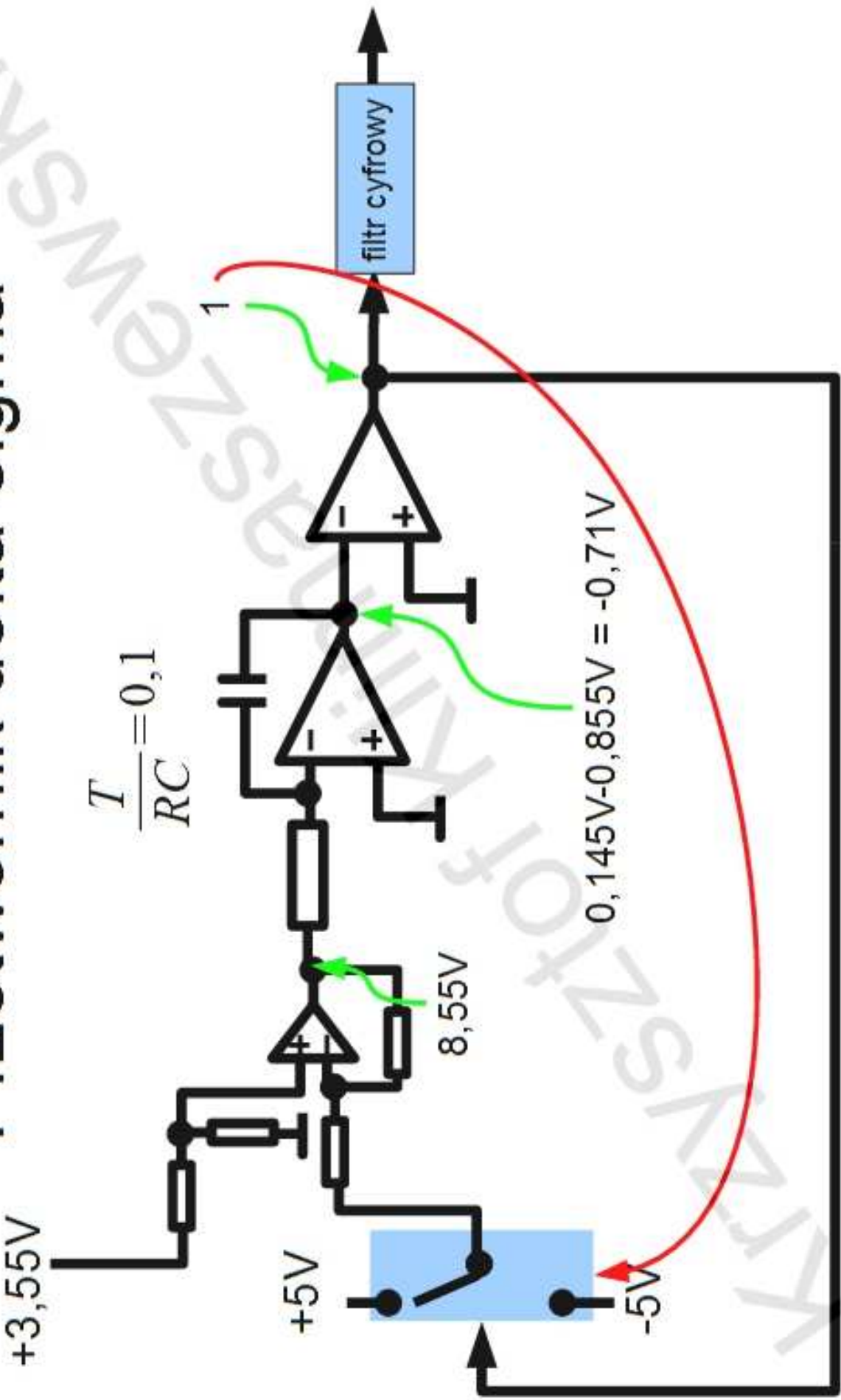
Przetwornik delta-sigma

$$\frac{T}{RC} = 0,1$$

+3,55V

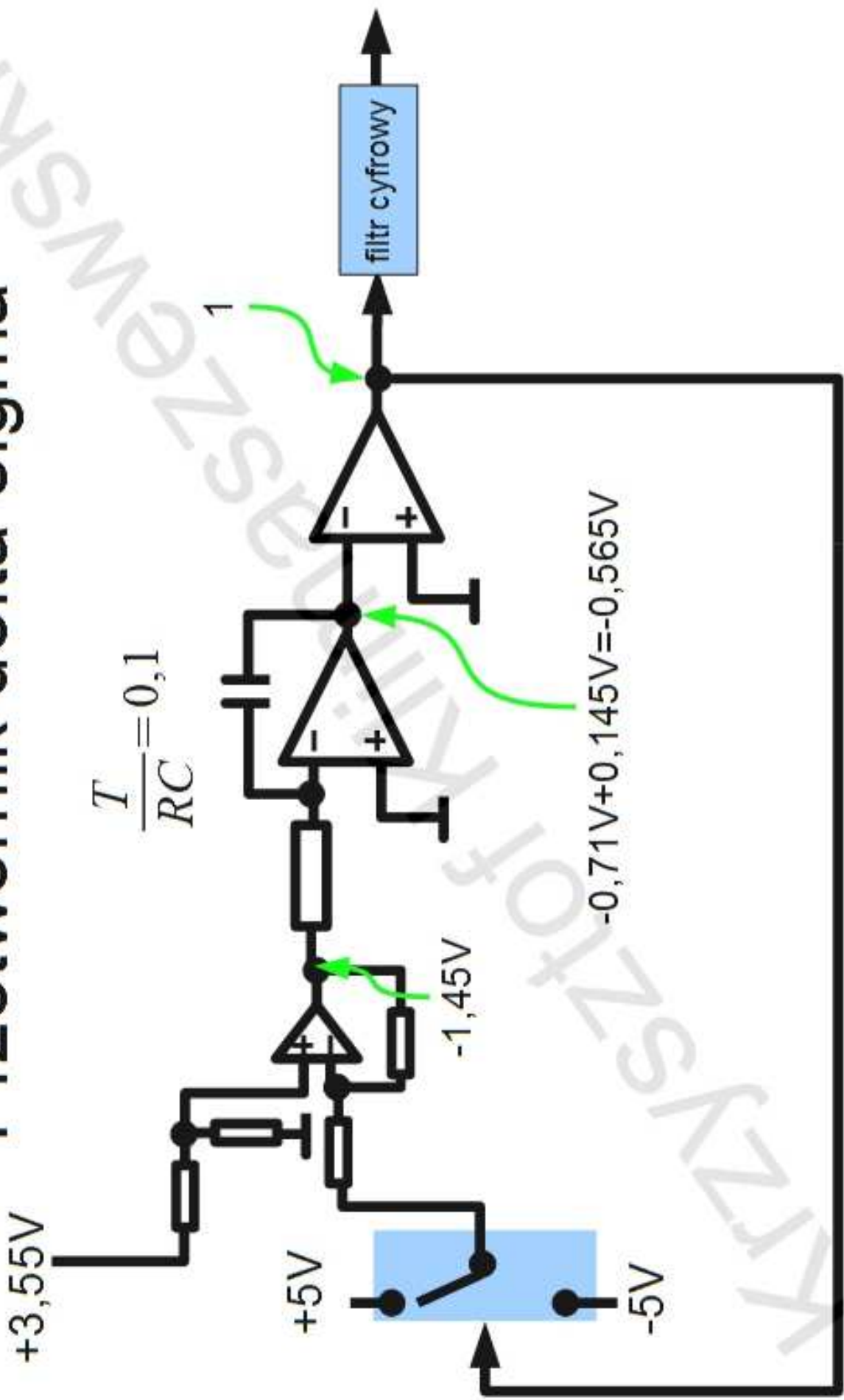


Przetwornik delta-sigma



Przetwornik delta-sigma

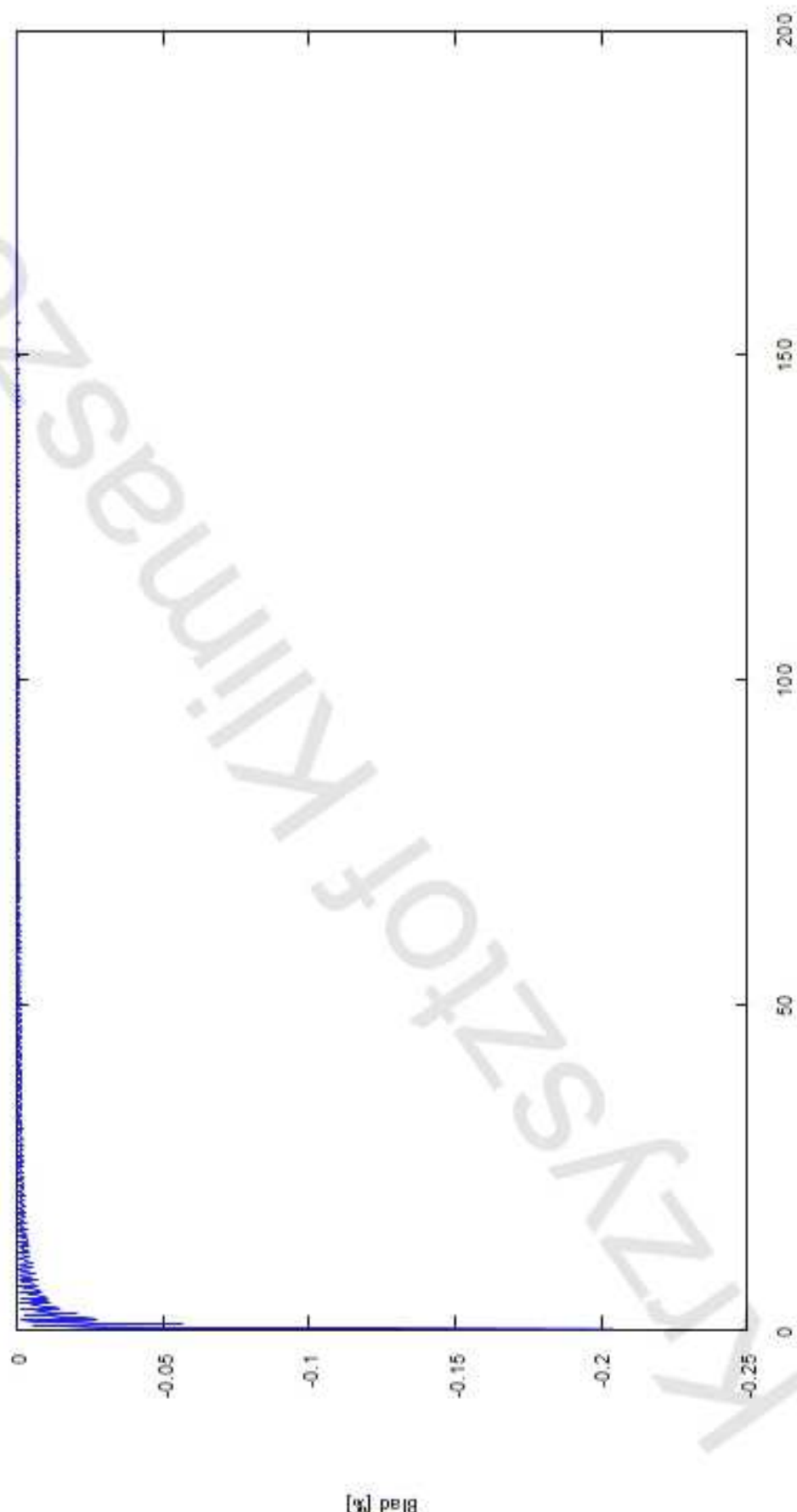
$$\frac{T}{RC} = 0,1$$



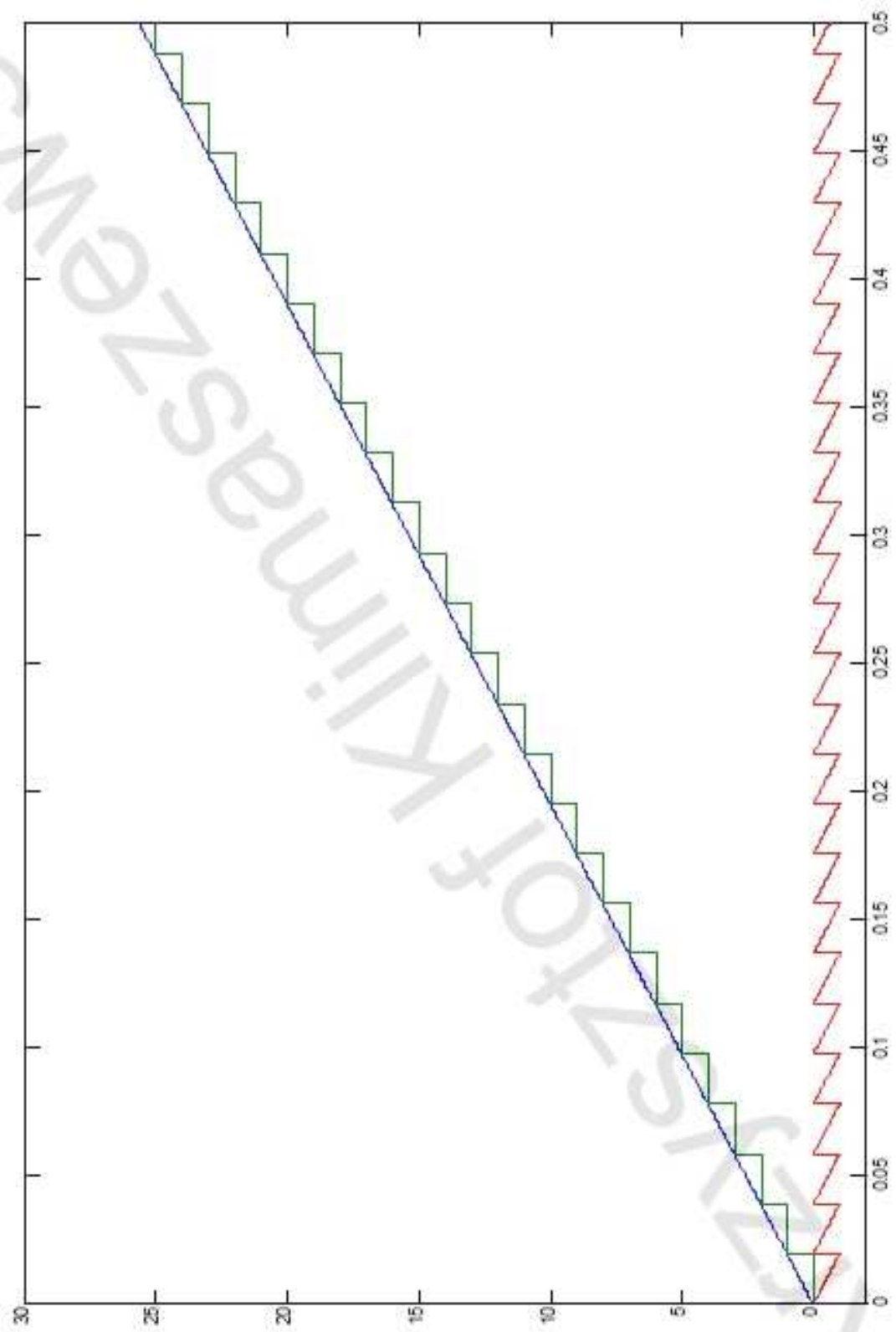
Przetwornik delta-sigma

Uwej =	3,55					
Uref=	5					
T/RC =	0,1					
Uwyo -	Uwej	Uwyroz	Uwyjint	kompator	WYNIK	
5				0,000		
5	3,55	-1,45	0,145	0	-1	3,550
-5	3,55	8,55	-0,710	1	1	
5	3,55	-1,45	-0,565	1	1	
5	3,55	-1,45	-0,420	1	1	
5	3,55	-1,45	-0,275	1	1	
5	3,55	-1,45	-0,130	1	1	
5	3,55	-1,45	0,015	0	-1	
-5	3,55	8,55	-0,840	1	1	
5	3,55	-1,45	-0,695	1	1	
5	3,55	-1,45	-0,550	1	1	
5	3,55	-1,45	-0,405	1	1	
5	3,55	-1,45	-0,260	1	1	
5	3,55	-1,45	-0,115	1	1	
5	3,55	-1,45	0,030	0	-1	
-5	3,55	8,55	-0,825	1	1	
5	3,55	-1,45	-0,680	1	1	
5	3,55	-1,45	-0,535	1	1	
5	3,55	-1,45	-0,390	1	1	

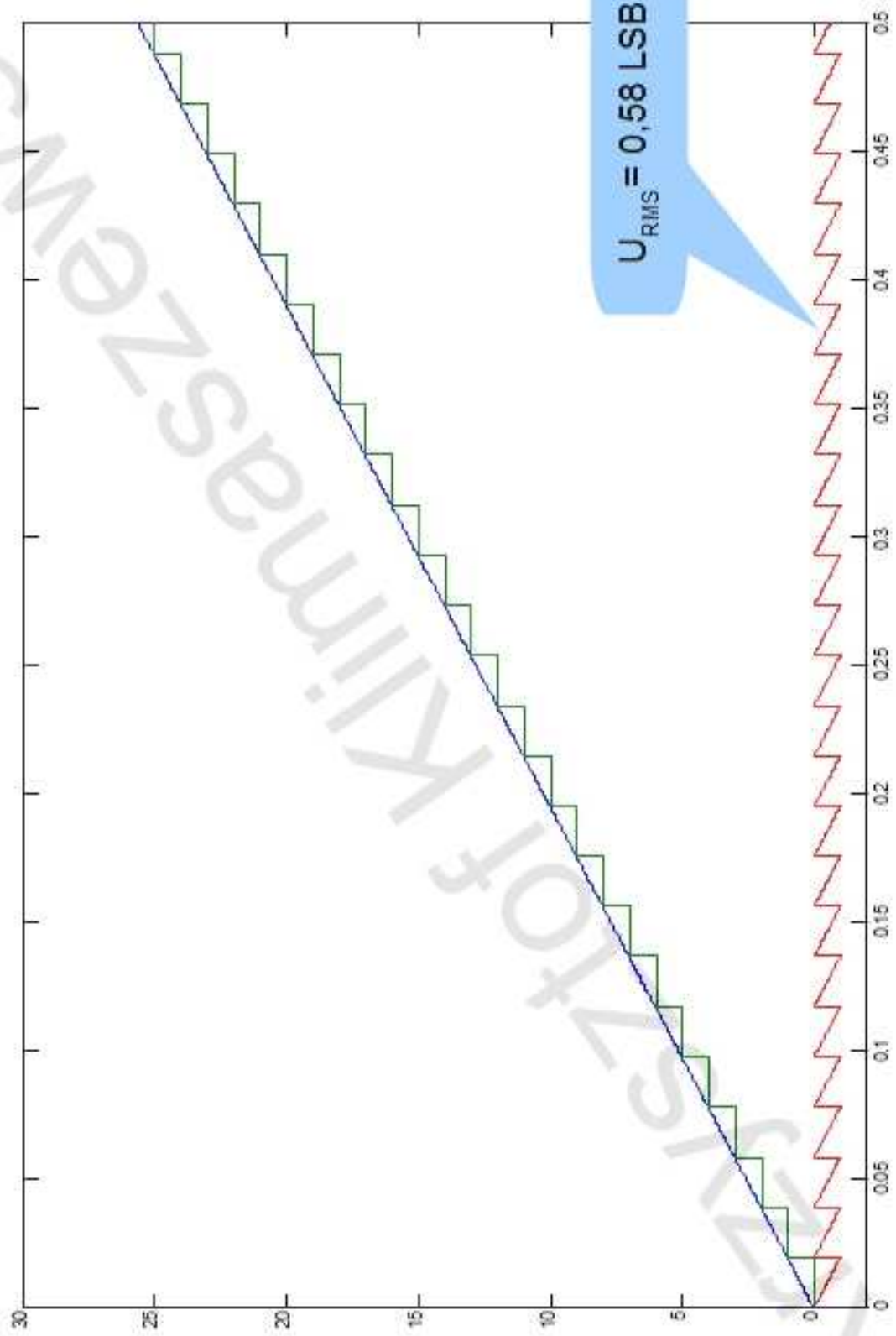
Przetwornik delta-sigma



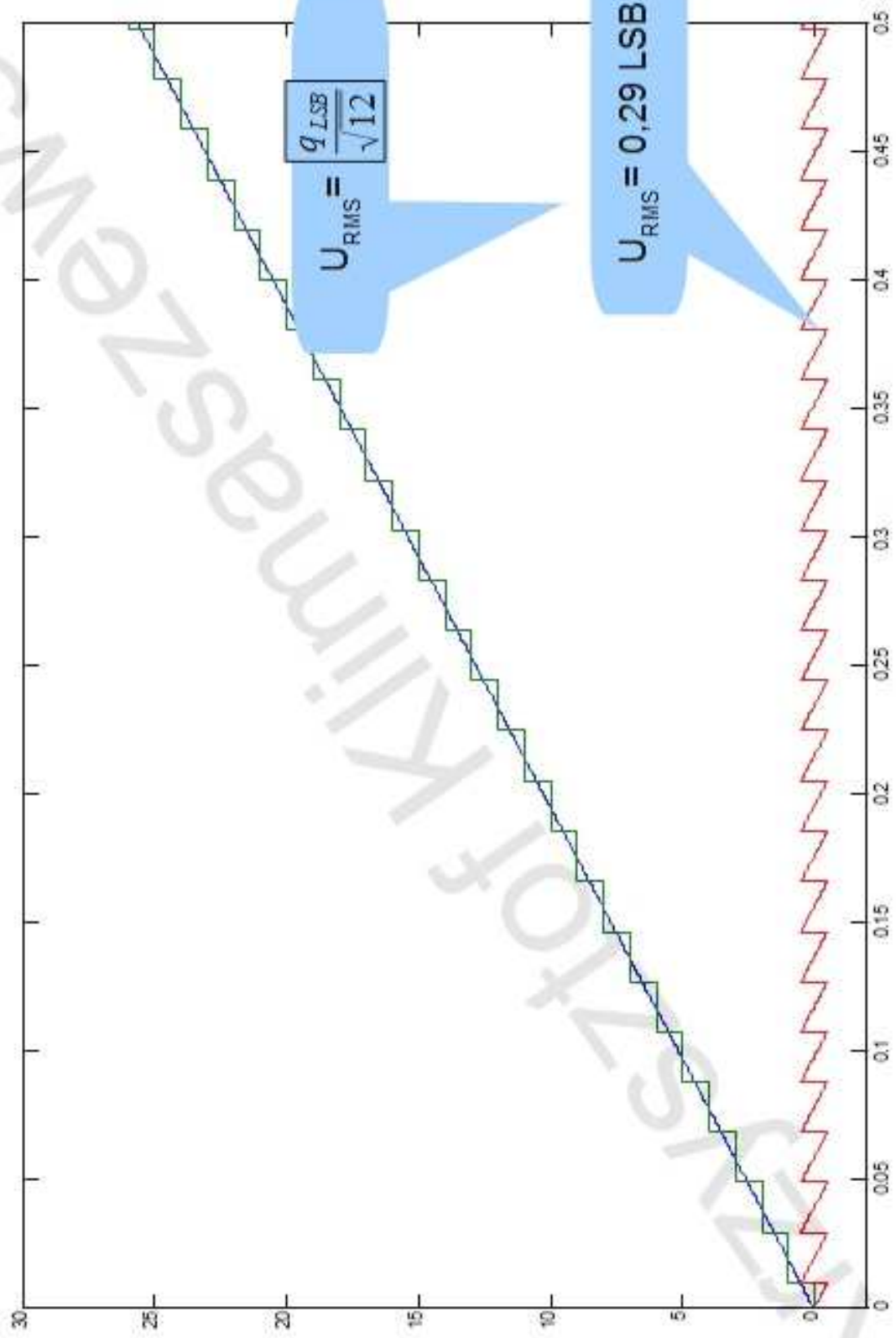
Szum kwantowania



Szum kwantowania



Szum kwantowania



Szum kwantowania

